

2376



53244

COBISS

II FAKULTET
U BEOGRADU

NESTACIONARNO TEČENJE
VODE U PRIRODNIM TOKOVIMA

PD 2376

Dragutin Kuskatirović, inž.

asistent Gradjevinskog fakulteta

Univerziteta u Beogradu

NESTACIONARNO TEČENJE VODE U PRIRODNIM TOKOVIMA

Doktorska disertacija

izrađena na

Gradjevinskom fakultetu Univerziteta u Beogradu

Rukovodilac:

Dr. inž. Gena Bata

vredni profesor Gradjevinskog fakulteta

Beograd

1964

S A D R Ő A J

	Strana
1. UVOD	1
2. VRSTE NESTACIONARNOG KRETANJA U PRIKLONIM TOKOVIMA	7
3. OSNOVNE JEDNAČINE NESTACIONARNOG KRETANJA VOĐE U OTVORENIM TOKOVIMA	13
3.1. Nestacionarno kretanje u otvorenim tokovima prizmatičnog oblika i pravougaonog poprečnog preseka	15
3.2. Nestacionarno kretanje u otvorenim tokovima složenog poprečnog preseka	20
4. KONTURNI USLOVI	30
4.1. Granični uslovi	30
4.2. Granični uslovi	31
4.3. Definicija konturnih uslova	32
5. METODE REŠAVANJA OSNOVNIH DIFERENCIJALNIH JEDNAČINA SA POJEDINIM USLOVIMA I KARAKTERISTIKA I METODU TLESUJKIH REŽIMA	43
5.1. Opšti pregled metode	45
5.2. Metoda karakteristika	46
5.2.1. Konceptcija rešavanja osnovnih jednačina nestacionarnog kretanja u otvorenim tokovima po metodi karakteristika	46
5.2.2. Zamena osnovnih jednačina nestacionarnog kretanja u otvorenim tokovima jednačinama odgovarajućih karakteristika	49
5.2.3. Analiza pojedinih članova jednačine karakteristika i njihov fizički smisao	55
5.2.4. Osnovni principi rešavanja problema nestacionarnog kretanja u otvorenim tokovima po metodi karakteristika	50



5.2.5.	Izbor optimalnih računskih intervala (dužine računске oseonice i trajanja računskog intervala)	72
5.2.6.	Prikaz najčešće primenjivanih računskih metoda proračuna po metodi karakteristika	75
5.2.6.1.	Grafikaliticheska metoda po Arhangel'skij-u	76
5.2.6.2.	Metoda konstantnog vremenskog intervala po Lin-u	81
5.2.6.3.	Uopštena metoda "konstantnog" vremenskog intervala za prirodna korita prizmatičnog oblika sa inundacijom	86
5.2.6.4.	Graficka metoda proračuna propagacije talasa sa strmim delom kroz prirodno korito po metodi karakteristika po Saha	100
5.2.6.5.	Proračun nestacionarnog kretanja po metodi karakteristika u otvorenim tokovima pomoću nomograma	112
5.2.6.6.	Proračun po metodi konačnih prirataja pomoću unapred definisane pravougaone mreže u ravni (x, t)	113
5.3.	Inženjerske metode sa posebnim osvrtom na metodu trenutnih rešima	121
5.3.1.	Metoda trenutnih rešima i njene varijante	121
5.3.1.1.	Stavljanje osnovnih jednačina na oblik u kome se koriste u proračunima po metodi trenutnih rešima	121
5.3.1.2.	Problem definicije krivi zapremine $V = V(Q)$. Određivanje brzine i vremena propagacije nestacionarnih promena u otvorenim tokovima	132

5.3.1.3.	Metoda trenutnih režima po Arhangel'skij-u	153
5.3.1.4.	Varijanta metode trenutnih režima nazvana "Metoda nestacionarnih"	158
6.	PROBLEMI KOJI SE NAJČEŠĆE JAVLJAJU U ANALIZI I NESTACIONARNOG TELENJA VODE U PTOODNIM TOKOVIMA	161
6.1.	Analiza propagacije i transformacije poplavnih talasa	161
6.1.1.	Propagacija poplavnih talasa u prirodnim tokovima	162
6.1.1.1.	Transformacija poplavnih talasa pod uticajem prirodnog rečnog toka	163
6.1.1.2.	Transformacija poplavnih talasa usled akumulacione inundacije	164
6.1.2.	Transformacija poplavnih talasa u akumulacijama	180
6.2.	Analiza talasa izazvanih radom HE	185
6.3.	Talasi izazvani naglim pražnjenjem akumulacije. Prolom grane	188
7.	NOMOGRAMI ZA PRORAČUN PROPAGACIJE I TRANSFORMACIJE TALASA U PRIRODNIH TOKOVIMA	195
7.1.	Analiza postojećih nomograma za proračun nestacionarnih pojava u prirodnim tokovima	197
7.2.	Izbor metode za proračun nomograma	197
7.3.	Analiza i izbor parametara od kojih zavise propagacija i transformacija talasa u prirodnim tokovima	199
7.3.1.	Izbor analitičkih izraza za definiciju oblika poplavnih talasa u prirodnim tokovima	202
7.3.2.	Analiza i izbor krivih zapremine	217
7.4.	Izrada nomograma i način korišćenja	220

Strana

Pogovor	226
Neke najčešće primenjivane oznake . .	229
Literatura	232
<u>Priloci</u>	
Nomogrami	

I. UVOD

Teorija nestacionarnog tečenja u otvorenim tokovima od izvanrednog je značaja za svakodnevnu inženjersku praksu. Ni jedan ozbiljniji hidrotehnički poduhvat se ne može zamisliti bez prethodne analize nestacionarnih pojava koje se u konkretnom slučaju mogu pojaviti.

Phenomen nestacionarnog tečenja u otvorenim tokovima definiše se osnovnim jednačinama Švaf-Veneta. Ona je suštinski za tokove glikolita predstavljena par parcijalnih diferencijalnih kvazilinearnih jednačina hiperboličnog tipa.

Kao što je poznato, ne postoji metoda direktnog rešavanja jednačina ovog tipa, što i predstavlja glavni "kamen spoticanja" kod rešavanja teorijskih i praktičnih problema nestacionarnog kretanja u otvorenim tokovima.

Historijska literatura u kojoj se tretiraju ova problematika, izvanredno je obimna. Bez preterivanja se može reći da se ova problematika bavila u svakom istom milenijumu.

Ova literatura je međutim vrlo siromašna radovima iz ove oblasti, među oni koji postoje [4], predstavljaju svojevrsni "arhivski" dokument. Oni su u rukopisima stručnih radova i studija relativno vrlo mali, u odnosu na obim problema koji ih tretiraju.

Ovo je bio jedan od razloga koji nas je na izveštavanje o rešenju problema nestacionarnog kretanja u otvorenim tokovima.

... i u literaturi uglavnom porocu i velikom ...
... i u literaturi uglavnom porocu i velikom ...
... i u literaturi uglavnom porocu i velikom ...

... i u literaturi uglavnom porocu i velikom ...
... i u literaturi uglavnom porocu i velikom ...
... i u literaturi uglavnom porocu i velikom ...
... i u literaturi uglavnom porocu i velikom ...
... i u literaturi uglavnom porocu i velikom ...
... i u literaturi uglavnom porocu i velikom ...

Pomenuti rad [4] , "Opšte numeričke rešenje

... i u literaturi uglavnom porocu i velikom ...
... i u literaturi uglavnom porocu i velikom ...
... i u literaturi uglavnom porocu i velikom ...
... i u literaturi uglavnom porocu i velikom ...
... i u literaturi uglavnom porocu i velikom ...
... i u literaturi uglavnom porocu i velikom ...

Kao treći i najozbiljniji razlog da smo prišli izradi disertacije sa ovom temom jeste namera da se namen obuhvaćen pomenutim radom [4] , proširi i na prirodna korita, pa čak i metodika ne bila identična. Na taj način bi se i oblast nestacionarnog tečenja u prirodnim vodotocima približila inženjerima projektantima, koji bi na dovoljno efikasan i tačan način mogli vršiti proračune ove vrste, pomoću unapred pripremljenih nomograma.

Kako je već pomenuto, naša literatura iz ove oblasti je više nego skromna. U svetskoj literaturi je poznat veoma mali broj publikacija koje ovu problematiku tretiraju kompleksno, i to sa aspekta prirodnih vodoto-

ka. Zato nam se još u samom početku radi na disertaciji kao osnovna koncepcija nametnula potreba detaljne analize postojeće materije. Pri tome ova analiza ne bi bila isključivo retrospektivna, već bi na neki način prošla kroz "filter" prirodnih tokova i na osnovu takvog načina posmatranja bili bi doneti odgovarajući zaključci.

U samom početku nismo hteli pomišljati na neku novu metodu, jer smatramo da bezuslovno insistiranje na "novim" metodama, a poznato je da već ima mnogo postojećih, može da zavede - da dovede do "metode radi metode". A to nije bila svrha našeg rada. Osnovni cilj je bio razrada postupka za konstrukciju nomograma za proračun propagacije talasa u otvorenim vodotocima, pa makar i na kojoj od već postojećih metoda proračuna.

U disertaciji su analizirani prvenstveno poplavni talasi u prirodnim vodotocima, a zatim i sve ostale vrste talasa kod kojih se može zanemariti vertikalno ubrzanje vođenih čestica. Drugim rečima, talasi za koje važi hidrostatički raspored pritiska po dubini toka i ujednačenost brzine u svim tačkama poprečnog preseka toka; tj, sve vrste talasa za koje se u praksi ne izdvajaju posebne osobine.

Već obuhvata se sam poglavlje, koji obuhvata celinu.

Nakon uvoda i opšteg pogleda na osnovne tipove nestacionarnih pojava, izvedene su osnovne jednačine kako za idealizovani slučaj prizmatičnog korita, tako i za složeno prirodno rečno korito, što i jeste početak ove glave.

U četvrtoj glavi analizirani su konturalni uslovi na koje se u inženjerskoj praksi najčešće nailazi, naročito kod analize poplavnih talasa u prirodnim vodotocima.

... je posvećena metodama rešavanja os-
... iestacionarnog kretanja, sa posebnim
... i z... o... i...
... i z... o... i...
... i z... o... i...

... i z... o... i...
... i z... o... i...
... i z... o... i...

I. ... je posvećena...
... i z... o... i...
... i z... o... i...

... i z... o... i...
... i z... o... i...
... i z... o... i...

... i z... o... i...
... i z... o... i...
... i z... o... i...

... i z... o... i...
... i z... o... i...
... i z... o... i...

... i z... o... i...
... i z... o... i...
... i z... o... i...

... i z... o... i...
... i z... o... i...
... i z... o... i...

... i z... o... i...
... i z... o... i...
... i z... o... i...

U poglavlju "Prilozi" dati su crtezi i izvesni proračuni za koji se smatralo da bi opterećivali osnovni tekst.

U ovom poglavlju, prvi put u ovom radu, dati su crtezi i analize restacionarnog kretanja vode datira još sa 1891. godine, a u kojima se koristi metoda karakteristika po metodi (1938) [20] i (1938) [48].

U ovom poglavlju, restacionarnog kretanja se razvijala uglavnom u dva osnovna pravca: sa jedne strane u pravcu izobličavanja teorije karakteristika po metodi (1938) [20] i (1938) [48], a sa druge strane u pravcu primenjenosti ove metode na određene probleme iz oblasti hidrologije, (1938) [20], (1938) [48].

Autor u ovom poglavlju je Belgijance (1938) [20] i (1938) [48] je od ovog vremena do današnjih dana (1947) [3], (1950) [40] i mnogi drugi - nebrojani su čudo najznačajniji, i slobodno reći da još od ovog vremena redovno su izlazili novi ideje u evoluciji metode karakteristika. Izuzetak čine najnoviji radovi koji se odnose na primenu karakteristika u otvorenim tokovima po metodi (1938) [20]. Ovaj postupak bar prema sadašnjem stanju stvari

... [41] , ... [36].

... [] , ... [21].

... []

... []

S obzirom da se se u daljem izlaganju koristi-
ti brojni izrazi, specifični za ovu oblast hidraulike,
smatramo da nije na odmet pomenuti i eventualno defini-
sati one najvažnije.

Kristijanovic [20] je talas u otvorenom toku,
sa promenake tačke gledišta definisao kao nestacionar-
no kretanje koje se odvija u toku talasa u odnosu na
određenom u nekoj oblasti promene nezavisno promenlji-
vih izrazi, pri čemu posmatrano rešenje u dotičnoj oblas-
ti ima neprekidne konačne izvode prvog reda. Matematički
uslovi, tip izvornog sistema (2.1) zavisi od konturnih
i unutrašnjih uslova zorođavnih za dotičnu oblast. U prak-
si se obično nestacionarna promena definiše u jednom pre-
seku u vrtu promene proticaja ili vodostaja, sa vremenom.
Ovaj odnos se naziva prvi ili početni uslov. To je obič-
no i izvorni uslov. U običnom, izvornom ili nestacionar-
nom preseku, obično se zadaje drugi konturni uslov, o čemu će
biti reči dočnije.

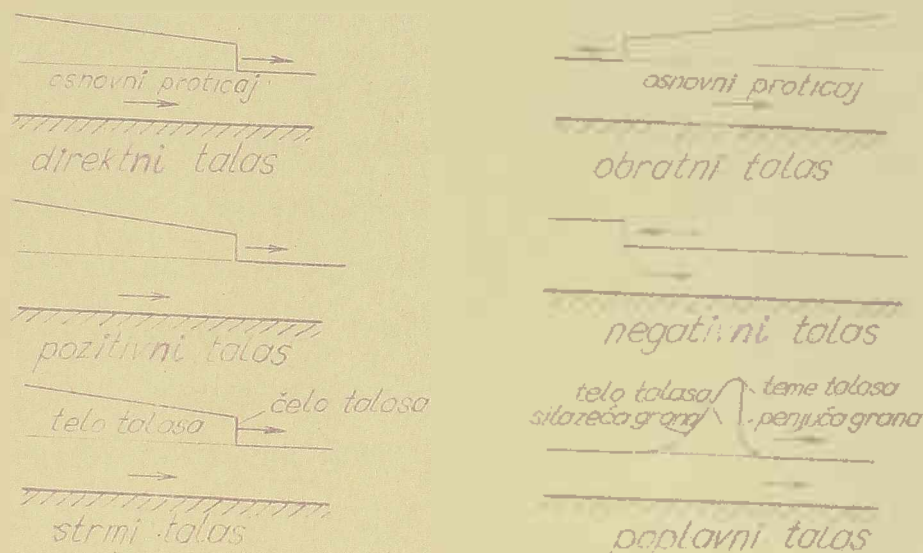
Talasi se dele, prema pravcu kretanja u odnosu
na pravac tečenja osnovnog toka, na direktne (pravac pro-
tečaja talasa identičan je sa pravcem tečenja osnovne
tekućine) i indirektno (pravac tečenja osnovne
tekućine obratan od pravca kretanja osnovnog toka).

Prema obliku talasa na njegovom početku, odnos-
no prema intenzitetu promene proticaja u toku vremena,
talasi mogu biti blago promenljivi, i oni koji se odlikuju
jasno izraženim čelom. Ovo je već reč o čelu, na talasu
razlikujemo sledeće osnovne elemente: čelo talasa, vrh,
leđja i telo talasa. Poplavni talasi nemaju čelo, ali
zato kod njih razlikujemo penjuću i silazecu branu tala-
sa i naravno njegov vrh ili teme.

Ako je talas nastao kao posledica porasta pro-
ticaja (naflazak velike vode u pritoci na matičnu reku),

onda je to pozitivan talas. Ukoliko je pojav talasa vezan za smanjenje proticaja, (naglo oticanje iz akumulacije izaziva pojavu talasa uzvoano od brane), onda je to negativan talas.

Svi pomenuti termini dokumentovani su odgovarajucom skicom na slici 1.



Slika 1

Najvažniji tipovi talasa koji se u praksi najčešće javljaju biće izneti po redosledu koji je odgovarajućem redosledu koji je u ovoj disertaciji pripisan.

Poplavni talasi. Poplavni talasi u prirodnoj sredini nastaju kao posledica nestanka velikih voda izazvanih intenzivnim padavinama u slivu u vidu kiše, topljenja snega ili kombinacijom jednog i drugog. Nastanak poplavnih talasa obično je vezan za goraje, planinske i love slive reke, gde su i padavine obično intenzivnije, a strmost sliva veća, tako da su i slivovi brže i koncentrisanije.

Poplavni talas je isključivo nestacionarna pojava, a da uzroci njegovog nastanka (kiša, topljenje

snege, itd., mogu biti stacionarni u jednom dužem vremen-
skom razdoblju. Ovo se objašnjava time što u formiranju
talasa učestvuju i drugi faktori, kao što su: promjene
nivoa mora, itd., koje uzrokuju nestacionarnost i stvaraju
nizovnog poplavni talas.

Poplavni talas koji se pojavljuje u stacionarni
razdoblju mora, nastaje kao rezultat utjecaja koji
je suprotan utjecaju koji uzrokuje proticaj talasa.
"Talasi" se ovaj osnovni proticaj i počinje po njemu
u "talasi". Pri ovom se utjecaju talasa se manifestiraju
- talasa. Talasi se mogu pojaviti i u proticaju, ali
talasu se manifestuju njegovim spljoštavanjem - smanje-
njem maksimalnih vrijednosti vodostaja i proticaja, ali
i produženjem njegovog trajanja. Transformacije talasa
je posljedica retenzionog dejstva korita. Sličan proces
se odigrava i pri prolasku talasa kroz akumulaciju.

Prilivni talasi koji se pojavljuju na retenzi-
one površine, mogu izazvati obratan efekat - transforma-
ciju talasa u smjeru povećanja nivoa i konstantnosti
vrijednosti vodostaja i proticaja. Nagli priliv velikih
voda pritoka može izazvati nestacionarne promene koje
se se propagiraju ne samo nizvodno, već čak i uzvodno,
u pravcu suprotnom od pravca nailaska poplavno talasa.

U svim analizama poplavnih talasa u praksi
vodotocima praksa rješava niz problema čije rješavanje ima
izvanredan značaj za privredne potrebe: prognoza nailaza
velikih voda, analiza isključenja retenzionih površina,
regulisanje rečnih tokova itd.

Analiza poplavnih talasa u prirodnom tokovima
predstavlja suštinski dio ove teme.

Strni talasi. Ovo je tip talasa koji za razli-
ku od poplavnih ima jasno izraženo "čelo". Nastaje pri
velikoj brzini proticaja u otvorenom toku, ali se je u

pitanju nagli porast ili smanjenje protoka. Brojni su primerci porasta brzine talasa, ali se može reći da najčešće nastaju kao posledica čovekovog uticaja.

Izuzetno, mogu se javiti i u prirodi: nagli nepravilni bujni tokovi poplava na bujičnim tokovima npr. Dunaju, najčešće se javljaju kao posledica ređa hidroelektrana, brodskih prevoznica, naglog uklanjanja prepreka u rečnom toku itd.

U slučaju talasa nastaje nagli porast protoka koji se naziva "prigušenja" talasa. Talas koji se pojavljuje kao posledica porasta brzine, nastaje u slučaju kada se talas koji se kreće direktno talasa pod pretpostavkom da nema trenja, ali se u stvari i koji direktno nastaje kao posledica porasta brzine talasa, a ovaj vrsta talasa se naziva "prigušenja" talasa. Talas koji se pojavljuje kao posledica porasta brzine, situacija je obrnuta - strmost čela se relativno brzo gubi.

U slučaju talasa nastaje nagli porast protoka koji se naziva "prigušenja" talasa. Talas koji se pojavljuje kao posledica porasta brzine, nastaje u slučaju kada se talas koji se kreće direktno talasa pod pretpostavkom da nema trenja, ali se u stvari i koji direktno nastaje kao posledica porasta brzine talasa, a ovaj vrsta talasa se naziva "prigušenja" talasa. Talas koji se pojavljuje kao posledica porasta brzine, situacija je obrnuta - strmost čela se relativno brzo gubi.

Talasi koji nastaju kao posledica naglog porasta brzine.

Ova vrsta talasa se pojavljuje radi potpunosti u izlaganju, ali se neće biti tretirane u ovoj disertaciji. Treba samo naglasiti da i ovaj tip u izvesnom smislu predstavlja talase sa strmim čelom, koji su specifični za talase sa strmim čelom. U slučaju naglog porasta brzine, nastaje nagli porast protoka koji se naziva "prigušenja" talasa - nestanka čela.

Malih talasa. Mali talasi predstavljaju specifični slučaj talasa sa konačnom amplitudom. Javljaju se u slučaju naglog porasta protoka. Inače analize malih talasa



je više teorijske prirode, pošto je s obzirom na malu
vrednost promene proticaja moguća linearizacija kvadrat-
nih članova s osnovnim jednadžbama, čime se omogućava
njihova nesmetana integracija.

Pored ovih osnovnih tipova talasa postoji još
sve neobavljeno određeni, koji se ne bi mogli svrsta-
ti ni u jedan od poznatih grupa. S obzirom da je naš
osnovni cilj analiza poplavnih talasa, to ni ovi slučaje-
vi nisu biti detaljnije tretirani.

3. OSNOVNE JEDNAČINE NESTACIONARNOG KRETANJA U OTVORENIM TOKOVIMA

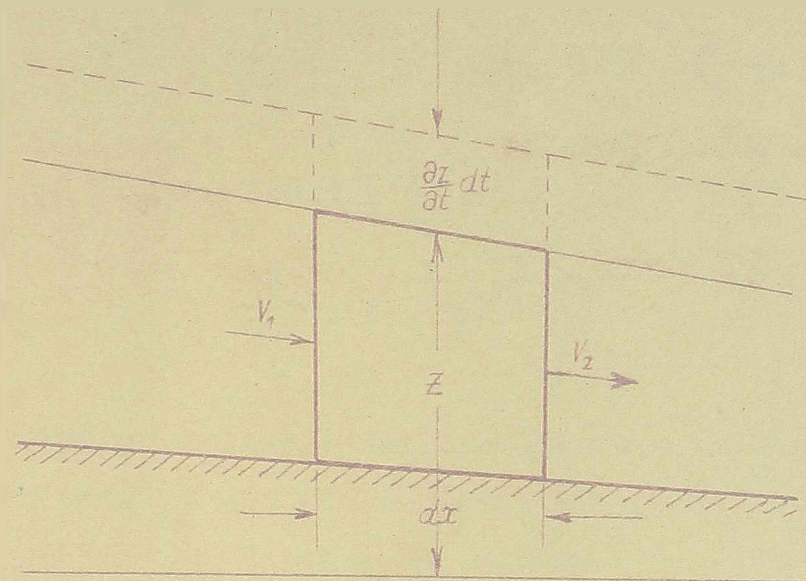
Diferencijalne jednačine nestacionarnog kretanja u otvorenim tokovima izveo je St. Venant još 1871 god. tako da se vrlo često zovu i St. Venant-ove jednačine. Nakon njega, njihovim izvođenjem bavio se veliki broj autora. Smatrali smo da je radi kontinuiteta u izlaganju materije neophodno priložiti i ove izvođenje. Pri tome ćemo se pridržavati postupaka izloženih u literaturi [3], [45] i [41] po pitanju jednačina izvedenih za pritično korito.

Prirodni fenomen onakav kakav je, bilo bi nemoguće obuhvatiti matematičkim jednačinama bez izvesnih aproksimacija, s obzirom na njegovu složenost. Iz tog razloga se pribegava izvesnoj tematizaciji, koja međjutim ne utiče bitno na karakter rešenja, a omogućava da se o traženih jednačina dodje. Tematizacija se sastoji u sledećem:

a/ Vertikalno ubrzanje delića vode je zanemarljivo malo, što znači da se pritisak u bilo kojoj tački poprečnog preseka ponaša po zakonima hidrostatike. Drugim rečima, to bi značilo da je slobodna površina vode u bilo kom poprečnom preseku horizontalna.

b/ Za slučaj nestacionarnog kretanja važi ista sila otpora usled trenja konstatovana za tok iste srednje brzine i srednje dubine u slučaju stacionarnog tečenja.

I ova aproksimacija ne može izazvati ozbiljniji grešak, s obzirom da većina prirodnih tokova pripada grupi tokova sa blago promenljivim režimom.



Sl. (3.1.1) Uzdužni presek posmatranog toka

Koliko je poznato, promena površine vode u toku vremena u posmatranu elementarnu deonicu mora biti ravna zapremini koja iz nje izlazi. Ukoliko razlike postoje, znači da postoje dodatni izvori ili oduzimanje vode u posmatranom elementarnom delu.

Ako se ova konstatacija izrazi matematičkom jednačinom, dobija se:

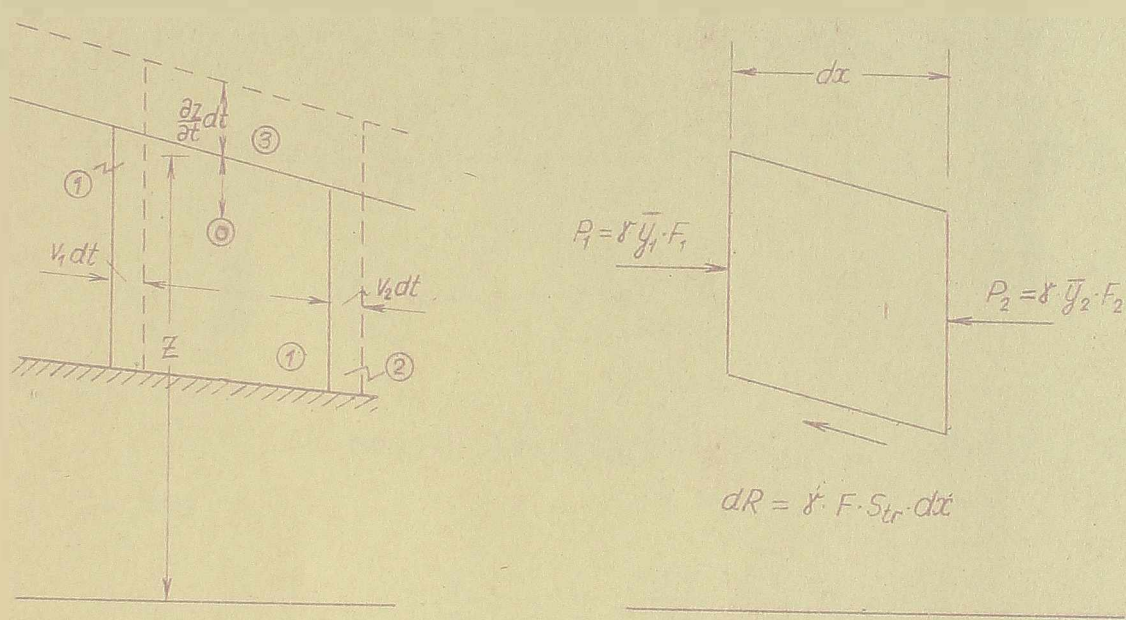
$$(\rho_1 \cdot v_1 - \rho_2 \cdot v_2) \cdot B \cdot dx = - \frac{\partial z}{\partial t} \cdot B \cdot dx \quad (3.1.2)$$

(Indeksi 1 odnosno 2, odnose se na odgovarajuće preseke na el. 3.1.1).

Jednačina (3.1.2) se može uprostiti, ako se uzme u vidu da je:

$$(\rho_1 \cdot v_1 - \rho_2 \cdot v_2) = -R(\frac{\partial z}{\partial t}) = - \frac{\partial}{\partial x} (F \cdot v) \cdot dt \quad (3.1.3)$$

čak i to se je promena protoka u toku vremena jednaka nuli (pod pretpostavkom da nema bočnog doticaja). Na ovaj način se jednačina (3.1.2) svodi na:



Sl. (3.1.7)

U toku perioda (dt), posmatrana zapremina fluide se uvećala za zapremine (2) i (3), a smanjila za zapreminu (1). Ako se suma svih radova i promena kinetičke energije izjednače sa nulom (tabela 3.1.I), dobije se izraz (3.1.8)

$$F_1 \cdot v_1 \left(z_1 + \frac{v_1^2}{2g} \right) - F_2 \cdot v_2 \left(z_2 + \frac{v_2^2}{2g} \right) - B \cdot dx \left(z + \frac{v^2}{2g} \right) \cdot \frac{\partial z}{\partial t} - F \cdot dx \left[\frac{\partial}{\partial t} \left(-\frac{v^2}{2g} \right) \right] - F \cdot v \cdot S_{tr} \cdot dx = 0 \quad (3.1.8)$$

	(1)	(2)	(3)	(4)
Vrsta promene	Oduzima se	Dodaje se	Dodaje se	Isključivo promene po vremenu
Rao spoljnjih sila	$\gamma \bar{v}_1 \cdot F_1 \cdot v_1 \cdot dt$ (pritisak) $(\gamma \bar{v}_1 \cdot v_1 \cdot dt)(\bar{z}_1 - \bar{v}_1)$ (sopstvena težina)	$-\gamma \bar{v}_2 \cdot F_2 \cdot v_2 \cdot dt$ (pritisak) $-(\gamma \bar{v}_2 \cdot v_2 \cdot dt)(\bar{z}_2 - \bar{v}_2)$ (sopstvena težina)	$-\gamma \bar{v}_2 \cdot F_2 \cdot v_2 \cdot dt$ $-\gamma \bar{v}_2 \cdot dx \cdot \frac{\partial z}{\partial t} \cdot dt$ (sopstvena težina)	$-\gamma \cdot F \cdot S_{tr} \cdot dx \cdot v \cdot dt$ (trenje)
Rad sile zemlje na težu	$(\gamma \cdot F_1 \cdot v_1 \cdot dt) \cdot \frac{v_1^2}{2g}$ (sopstvena težina)	$-(\gamma \cdot F_2 \cdot v_2 \cdot dt) \cdot \frac{v_2^2}{2g}$ (sopstvena težina)	$-\gamma \cdot B \cdot dx \cdot \frac{\partial z}{\partial t} \cdot dt$ $-\gamma \cdot B \cdot dx \cdot \frac{\partial z}{\partial t} \cdot \frac{v^2}{2g}$ (sopstvena težina)	$-\gamma \cdot F \cdot dx \cdot \frac{\partial}{\partial t} \left(\frac{v^2}{2g} \right) dt$
Gubitak kinetičke energije	$v_1 \cdot v_1 \left(z_1 + \frac{v_1^2}{2g} \right)$	$-F_2 \cdot v_2 \cdot \left(z_2 + \frac{v_2^2}{2g} \right)$	$-B \cdot dx \left(z + \frac{v^2}{2g} \right) \frac{\partial z}{\partial t}$	$-F \cdot dx \cdot \frac{\partial}{\partial t} \left(\frac{v^2}{2g} \right) -$ $-v \cdot F \cdot S_{tr} \cdot dx$
Suma učinjenog rada i gubitaka kinetičke energije, sveukupna jedinično vreme				

(kako je $\frac{\partial z_c}{\partial x} = -S_o$, to je $\frac{\partial z}{\partial x} = \frac{\partial \eta}{\partial x} - S_o$)

Jednačina (3.1.11) predstavlja dinamičku jednačinu izvedenu za korito prizmatičnog oblika.

Na sličan način se dolazi i do osnovnih jednačina za otvorene tokove pravougaonog poprečnog preseka (šematizacija kojoj se pribegava kod izrazito razvučenih profila):

jednačina kontinuiteta

$$v \cdot \frac{\partial y}{\partial x} + y \frac{\partial v}{\partial x} - \frac{\partial y}{\partial t} + \frac{1}{B} \cdot q_1 = 0 \quad (3.1.12)$$

dinamička jednačina

$$\frac{\partial y}{\partial x} \cdot v + y \cdot \frac{\partial v}{\partial x} + \frac{1}{g} \cdot \frac{\partial v}{\partial t} = S_o - S_{tr} \quad (3.1.13)$$

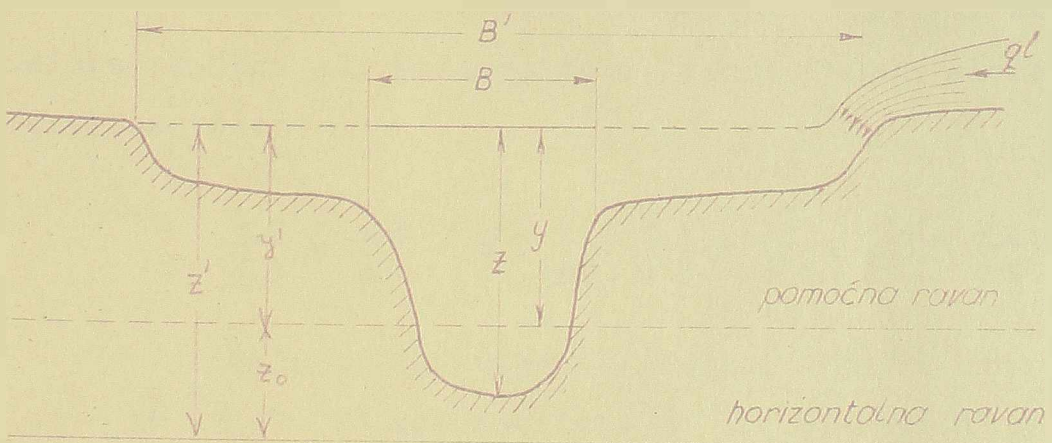
y - dubina pravougaonog profila

3.2. Nestacionarno kretanje u otvorenim tokovima složenog poprečnog preseka

Jednačine će, kako je to već pomenuto, biti izvedene za složeno rečno korito koje ima dvostruku funkciju: protočnu i retenzionu. Pri tome se ipak vrši izvesna šematizacija u odnosu na prirodno stanje. Naime, smatra se da je srednji deo korita isključivo protočni, a da inundacija ima samo retenziono svojstvo. Ova pretpostavka ne odgovara stvarnoj situaciji u prirodi. Poznato je naime da i retenzija može biti isto tako protočna. Međutim, isto tako je poznato da se u složenom rečnom profilu brzina toka ne može u svim tačkama zemeniti jednom istom srednjom brzinom; strujne slike u glavnom koritu i u inundaciji bitno se razlikuju. Kako smo međutim već ranije pomenuli, problem nestacionarnog kreta-

nje u otvorenim tokovima može biti rešen samo ukoliko važi pretpostavka o jednoj reprezentativnoj vrednosti brzine protoka u celom toku. U praksi se može dogoditi da se u toku pojave tri različite vrednosti srednjih brzina (dve u glavnom i jednoj u inundaciji) i tada bi problem bio nerešiv. Iz tog razloga možemo tačno razgraničiti svojstva pojedinih delova korita, pretpostavljajući da je tok u celosti jednostran, a inundacija pravećnom funkcijom U , ali tada se može desiti da se desi velike vode.

Korito za koje će biti izvedene osnovne jednačine prikazano je na slici (3.2.1). Ono je promenljivo duž toka.



Sl. (3.2.1) Poprečni presek slojevitog prirodnog korita

U slučaju da je inundacija relativno uska, nivoi u glavnom koritu i u inundaciji bice identični. Ukoliko je inundacija široka (regulisani tok na jakim rečanjima, inundacija na velikim vodostajima većih reka), nivoi se razlikuju. (Ova razlika zavisi od

trenutne situacije - da li je u pitanju nailazak ili povlačenje velikih voda - a proporcionalna je kvadratu brzine glavnog toka $\propto v^2$. Do razlike u nivoima može doći i usled pojave bočnog strujanja u inundaciji, pri čemu se ovo strujanje odvija od glavnog korita pri nailasku talasa, odnosno ka glavnom koritu pri povlačenju vode, i proporcionalno je nekoj funkciji intenziteta promene vodostaja u toku vremena.

Prema tome, nivo u inundaciji složenog rečnog profila može se izraziti sledećom jednačinom

$$z' = z + \alpha \cdot \frac{v^2}{2g} + \beta \left[f \left(\frac{\partial z}{\partial t} \right) \right] \quad (3.2.2)$$

Jednačina kontinuiteta

U toku jediničnog intervala vremena i na jediničnoj dužini posmatranog toka, akumulira se sledeća zapremina vode:

$$\frac{\partial z'}{\partial t} = \frac{\partial z}{\partial t} + \alpha \cdot \frac{\partial v}{\partial t} + \frac{\partial}{\partial t} \left\{ -\beta \left[f \left(\frac{\partial z}{\partial t} \right) \right] \right\} \quad (3.2.3)$$

Ako pretpostavimo da postoji i bočni doticaj, onda se jednačina kontinuiteta za složeni rečni profil u obziru na jednačine (3.2.6') i (3.2.3), može napisati u sledećem obliku:

$$\frac{\partial z}{\partial x} \cdot B' \left(\frac{\partial z}{\partial t} \right) + (B' - B) \cdot \alpha \cdot \frac{\partial v}{\partial t} + (B' - B) \cdot$$

$$\frac{\partial}{\partial t} \left\{ -\beta \left[f \left(\frac{\partial z}{\partial t} \right) \right] \right\} + q_b = 0 \quad (3.2.4)$$

Treći i četvrti član gornje jednačine zanemarljivo su mali u odnosu na ostale članove, što bi značilo da je nivo u složenom profilu jedinstven. (Ovo je evi-

dentno kada se ima u vidu činjenica da intenzitet promene brzine toka kod naših većih reka - Velika Morava na primer - ne iznosi više od 2m/s/dan, kao i to da prema izrazu kojim je definisan, intenzitet promene vodostaja predstavlja malu veličinu drugog reda u odnosu na ostale članove gornje jednačine). Nakon ovakvog rasuđivanja, jednačinu (3.2.4) možemo napisati u sledećem obliku:

$$\frac{\partial z}{\partial x} + B' \cdot \frac{\partial z}{\partial t} + q_1 = 0 \quad (3.2.5)$$

Gornja jednačina se može transformisati na sledeći način:

$$\frac{\partial}{\partial x} (F \cdot v) + B' \cdot \frac{\partial z}{\partial t} + q_1 = 0 \quad (3.2.6)$$

Pošto se površina poprečnog preseka menja usled promene vodostaja duž toka i usled promene oblika setog profile duž toka, to se jednačina (3.2.6) može razviti i dalje:

$$F \cdot \frac{\partial v}{\partial x} + B' \cdot \frac{\partial z}{\partial t} + q_1 + v \left(B \cdot \frac{\partial z}{\partial x} - \frac{\partial F}{\partial x} \right)_{z=const} = 0 \quad (3.2.7)$$

Umesto vodostaja (z) može se operisati sa dubinom (y), merenom o nekog nultog vodostaja koji odgovara nekoj malom proticaju u reci

$$v \cdot \frac{\partial x}{\partial x} + B' \cdot \frac{\partial x}{\partial t} + q_1 + v \left(B \cdot \frac{\partial x}{\partial x} - \frac{\partial F}{\partial x} \right)_{y=const} = 0 \quad (3.2.8)$$

Gornja jednačina predstavlja jednačinu konti-

nuiteta za složeni prirodni profil, sa bočnim doticajem.

Dinamička jednačina.

Jednačine će biti izvedene za elementarnu zapreminu fluida mase $m = \rho \cdot V$, iz uslova da je veličina ukupne promene količine kretanja (promena količina kretanja toka u glavnom delu korita + promena količine kretanja usled bočnog doticaja + promena količine kretanja koja otpada na retenzioni deo korita), jednaka sumi svih spoljašnjih sila koje deluju na izdvojenu elementarnu zapreminu fluida.

Od spoljašnjih sila izdvojena elementarna zapremina fluida se nalazi pod dejstvom sledećih: sile hidrostatičkog pritiska na granične ravni izdvojene elementarne zapremine, sile trenja po okvašenom obimu posmatranog elementa fluida i konačno sile zemljine teže koja izaziva ubrzanje posmatrane zapremine u pravcu toka.

Priraštaj količine kretanja:

a/ promena količine kretanja glavnog toka

$$d(\rho \cdot F \cdot v^2) = \frac{\partial}{\partial x} (\rho \cdot F \cdot v^2) \cdot dx + \frac{\partial}{\partial t} (\rho \cdot F \cdot v^2) \cdot dt =$$

$$= \frac{\partial}{\partial x} (\rho \cdot F \cdot v^2) \cdot dx + \frac{\partial}{\partial t} (\rho \cdot F \cdot v^2) \cdot dx \quad (3.2.9)$$

b/ promena količine kretanja usled bočnog doticaja

$$\rho \cdot q_t \cdot dx \cdot v \quad (3.2.10)$$

c/ promena količine kretanja izazvana akumuliranjem vode u inundacionom delu korita

$$\rho \cdot (B' - B) \cdot v \cdot dx \cdot \frac{\partial v}{\partial t} \quad (3.2.11)$$

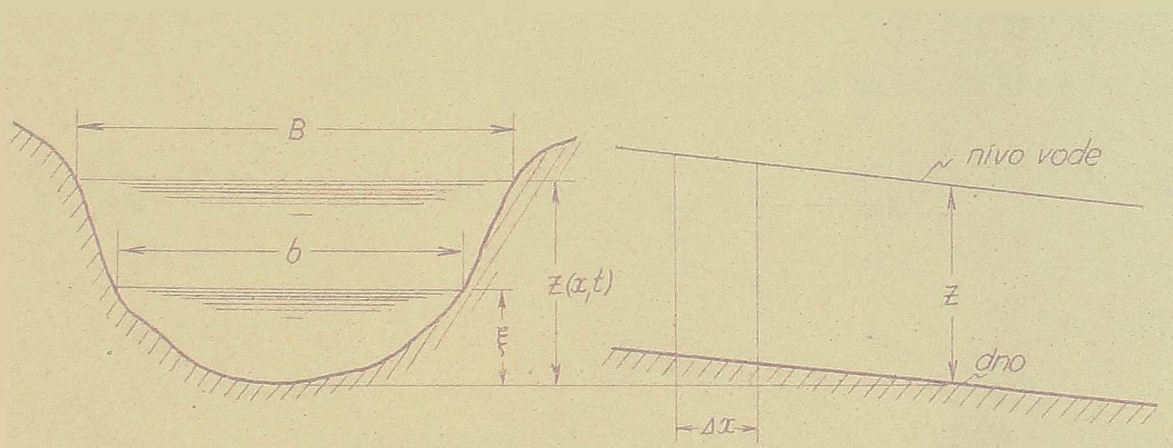
(Kod tokova sa jasno zakrivljenom trasom verovatno postoji i uticaj Coriolis-ove sile, ali je on zanemarljivo mali, te ga u daljem nećemo uzimati u obzir).

Upoljubimo sile koje deluju na elementarnu zapreminu fluida:

a/ Sila hidrostatičkog pritiska na granične ravni:

$$\int_0^z \rho g [z - \xi] b(x, \xi) d\xi \quad (3.2.12)$$

što sledi iz hidrostatičkog zakona rasporeda pritiska (vidi sl. 3.2.13).



Sl. (3.2.13) Poprečni i uzdužni profil toka

b/ Sila pritiska po okvašenom obimu posmatrane zapremine:

$$\int_0^z \rho g [z - \xi] \frac{\partial b}{\partial x} (x, \xi) d\xi$$

Rezultujuća sila pritiska projektovana na (π) osovinu će biti:

$$P_x = - \frac{\partial}{\partial x} \left\{ \int_0^z \rho g [z - \xi] b(x, \xi) d\xi \right\} \cdot \Delta x + \int_0^z \rho g [z - \xi] \frac{\partial b}{\partial x} (x, \xi) d\xi \cdot \Delta x = - \int_0^z \rho g \frac{\partial z_0}{\partial x} b(x, \xi) d\xi \cdot \Delta x = - \rho g \frac{\partial z_0}{\partial x} \int_0^z b(x, \xi) d\xi \cdot \Delta x \quad (3.2.14)$$

c/ Silu trenja po izvještenom obliku elementarne napremine fluida:

$$-\frac{v}{2} \cdot \frac{\partial v}{\partial x} \cdot \delta x = -\gamma \cdot \delta x \cdot \delta x \quad (3.2.15)$$

Uvrštavajući diferencijalnu jednačinu za komponente spoljašnje sile u pravcu (x) osovine:

$$\frac{\partial}{\partial x} (\rho \cdot v^2) \cdot \delta x + \frac{\partial}{\partial t} (\rho \cdot v) \cdot \delta x = \rho \cdot g \cdot \delta x \cdot v + \gamma \cdot \delta x \cdot \delta x \cdot \frac{\partial v}{\partial x} - \gamma \cdot \delta x \cdot \delta x \cdot \delta x \quad (3.2.16)$$

Uključujući gornje jednačine sa , dobija se:

$$\frac{\partial}{\partial x} (\rho \cdot v^2) + \frac{\partial}{\partial t} (\rho \cdot v) \cdot v + (\rho' - \rho) \cdot v \cdot \frac{\partial v}{\partial x} + \rho \cdot g \cdot v - \gamma \cdot v = 0 \quad (3.2.17)$$

Uvrštavajući jednačinu kontinuiteta (3.2.6) umnožene vrednošću brzine (v), od gornje jednačine, dobija se konačan izraz za dinamičku jednačinu složeno prirodnog korita:

$$\frac{\partial v}{\partial x} + \frac{v}{g} \cdot \frac{\partial v}{\partial x} + \frac{1}{g} \cdot \frac{\partial v}{\partial t} + S_{tr} = 0 \quad (3.2.18)$$

Ako se pređe na referentnu ravan dobija se:

$$\frac{\partial v}{\partial x} + \frac{v}{g} \cdot \frac{\partial v}{\partial x} + \frac{1}{g} \cdot \frac{\partial v}{\partial t} + S_{tr} - S_0 = 0 \quad (3.2.19)$$

Kao što se vidi, dobijena jednačina za prirodno složeno korito sa bočnim uticajem, identična je sa jednačinom (3.1.10), odnosno (3.1.11), izvještenom za pri-

natično korito bez bacnog doticaja. Drugim rečima, uticaj aproksimacije prirodnih uslova odražava se isključivo preko jednačine kontinuiteta, što se unapred nije moglo predvideti.

Uvedene jednačine (3.1.6) i (3.1.10) za prizmatično, odnosno (3.2.7) i (3.2.19) za složeno korito, predstavljaju osnovne diferencijalne jednačine nestacionarnog kretanja u otvorenim tokovima. Rešavanjem ovih jednačina dolazi se do vrednosti nepoznatih zavisno promenljivih funkcija dubine $y(x,t)$ i brzine toka $v(x,t)$, odnosno površine poprečnog preseka $F(x,t)$ i proticaja $Q(x,t)$, u zavisnosti od toga sa kojim veličinama operišemo.

Kao što se iz gornjih jednačina vidi, za njihovo rešavanje je neophodno poznavati geometrijske podatke o koritu (u bilo koje njegovom preseku, kao i podatke o padu dna i rapavosti korita duž toka.

Na odabratim tačke gledišta dobijene jednačine pripadaju grupi nelinearnih parcijalnih diferencijalnih jednačina hiperboličnog tipa, sa dve zavisno i dve nezavisno promenljive.

Se geometrijske tačke gledišta, pod pretpostavkom da je rešenje sistema osnovnih jednačina dato u obliku

$$F = F(x,t) ; \quad v = v(x,t) ; \quad (3.2.20)$$

ovo rešenje predstavlja površine u prostoru

$$(F; x; t) \text{ i } (v; x; t)$$

Kao što je već u uvodu pomenuto, sistem osnovnih jednačina nema rešenja u opštem obliku, što i predstavlja osnovni problem kod rešavanja nestacionarnih

fenomena u otvorenim tokovima.

Postavlja se na kraju pitanje u kojoj mjeri izvedene jednačine verno obuhvataju nestacionarni fenomen u otvorenim tokovima.

Ponovićemo još jednom osnovne hipoteze od kojih se pošlo pri izvođenju ovih jednačina, formalisane na nešto konkretniji način:

a/ Tečenje je dovoljno tačno definisano u slučaju kada su za svaki presek poznati nivo i proticaj.

b/ Brzina u bilo kojoj tački profila može se zanemariti srednjom brzinom.

c/ Vertikalna brzina i ubrzanje su zanemarljivo mali. odnosno zakon rasporeda pritiska u toku je hidrostatički.

Ove hipoteze, inače neophodne da bi se proračun nestacionarnog fenomena uopšte mogao izvršiti, imaju ozbiljnih zamjerki kod proračuna poplavnih talasa u prirodnim tokovima i talasa sa izraženim čelom (talasi koji nastaju pri nagloj promeni proticaja). Zamjerke su bile uglavnom sledeće:

- Stvarna strujna slika u toku ne može se aproksimirati fenomen po kojoj je brzina u svim tačkama preseka ista. Ova primedba je naročito opravdana kod proračuna nestacionarnog fenomena u prirodnim tokovima.

Jedna od mogućnosti smanjenja greške izazvane hipotezom o srednjoj brzini u prirodnom profilu jeste razgraničenje protočnog od neprotočnog del. retenzije, o čemu je već bilo reči.

- U svim slučajevima nestacionarnog kretanja, gde se javlja izrazito čelo talasa, hipoteza o hidrostatičkom rasporedu pritiska nije realna; vertikalno ubrzanje postoji i ono je znatno.

Još jednom na kraju ćemo naglasiti da smo svesni da usvojene hipoteze ne odgovaraju u potpunosti stvarnosti, ali da smo isto tako svesni da je njihovo uvođenje neophodno i da se jedino blagodareći njima problem nestacionarnog kretanja u otvorenim tokovima mogu rešavati.

4. KONTURNI USLOVI

Pod konturnim uslovima podrazumevamo početne i granične uslove. Izvedena osnovne jednačine važe za rešavanje svih slučajeva nestacionarnog kretanja za koje je važe pretpostavke učinjene pri njihovom izvođenju. Konturni uslovi su ti koje ove pojedine slučajeve diferenciraju od drugih i čine ih specifičnim.

Pravilan izbor konturnih uslova je od presudne važnosti u rešavanju nestacionarnih fenomena u otvorenim tokovima. Pogrešna formulacija konturnih uslova dovede do apsurdnih rezultata. Međutim, čak i principijski dobro utvojeni konturni uslovi, sa izvesnim matematičkim gruboćama, mogu dovesti do bitnih odstupanja u konačnim rezultatima.

4.1. Početni uslovi

Uslovi koji vladaju u rečama todu neposredno pred pojavu nestacionarnog fenomena, nazivaju se početni. To znači da je definicija početnih uslova vezana za jedan određeni trenutak.

Na teorijskoj strani definicija početnih uslova ne predstavlja problem. Početni uslovi se obično odnose u zavisnosti od toga da li operiramo sa brzinama i dubinama ili proticajima i površinama, u vidu funkcija $y = y(x)$ i $v = v(x)$, odnosno $Q = Q(x)$ i $F = F(x)$, u jednom određenom početnom trenutku (t_0). Problem je u praktičnom određivanju pomenutih funkcija, pogotovo ako je u pitanju prirodni vodotok. Neopisivo je raspoloživi materijal merfološkim i hidrološkim podacima koji može analizirati tekstom, i to sa nekoliko mogućih početnih vodostaja. S obzirom na skoro redovno

skromne raspoložive podatke za prirodne vodotoke, približno se aproksimaciji, pri čemu se duže leonice (obično između dva vodostera) tretiraju kao uniformne i se tako usvojenim aproksimativnim polaznim podacima se operiše. Posledno da aproksimaciju ove vrste dovodi do manjih ili većih grešaka u konačnim rezultatima.

4.2. Granični uslovi

To su uslovi zadati u nekoj fiksiranoj tački posmatranja rečnog toka, obično u najuzvodnijem i najnižvodnijem preseku. Količina u pitanju ta određuje inžine, granični uslov je pokretan, i vezan za ono što se zbiva u profilu do koga je nestacionarni poremećaj dopro u tom trenutku (npr. uslovi na celu kada je u pitanju strai talas). Granični uslovi su najčešće dati u vidu funkcije vremena. To znači da pored početnih uslova, koji se zadaju na osovini (x) zamišljene ravni (x, t) u kojoj rešavamo problem nestacionarnog fenomena, uvodimo i uslove na osi (x), za neku određenu vrednost druge nezavisno promenljive (x).

Granični uslovi se odnose na ekstrane profile. Uslov zdat u jednom od tih profila (najčešće uzvodnom), predstavlja jednu sastinu - sadržaj problema čije rešenje se traži. Takav granični uslov se naziva primarni, i kao što je već rečeno, izražava se u vidu sledećih funkcija $Q = Q(t)$, $z = z_1(t)$, ili veze $z = z_2(Q)$. Uslov koji se odnosi na drugi profil, naziva se sekundarni.

U izvesnim slučajevima je dovoljan samo jedan granični uslov - jednostruki granični uslov. (Ovaj slučaj imamo kod velike većine prirodnih tokova, kod kojih je režim toke nizan, pri čemu poznavanje jedne funkcije $f(t)$ u određenom trenutku, automatski povlači poznavanje i druge, što znači da je njena posebna usti-

zadaje (tj. ovaj granični uslov nepotreban). Ovo se raz-
likuje od načla prihvatanja tog pravila; u izvanrednim slu-
čajevima za potpuno deficijentnu problem neprohodac je
postrovanje tog graničnog uslova. U tom slučaju kažu da
uporišće su dvostruki granični uslovi. Iako je
dovoljan jedan granični uslov, neprohodac je postrovanje
dvostrukog početnog uslova.

Granični uslov može biti istovremeno primarni
i sekundarni, ukoliko se odnosi na presek koji je grani-
čni za dve susjedne radne deonice.

I početni i granični uslov mogu biti uzročni,
ali ne moraju. Kod uzročnih uslova primamovano gra-
nični ili početni uslov tako definisano, da uslovljava,
uzrokuje neki pojava. Na primer, kod prirodni rečnih
tokova kod kojih je šnore po pravilu rečna toka nivoa
(v_{gr}), poznavanjem dubine se poznati proticaj, uzav-
prad je definisano i promene brzine; uslov zadat u vi-
du promene dubine toka naziva se (već prema tome da li
je početni ili granični), i uzročni. Naprotiv, kod iz-
vednih periodičnih oscilacionih strujanja, periodična
nost funkciona je razmatrana bez obzira na uzročni
početni uslov. Ovakvi početni uslov nije uzročni.

4.1. Definicije konturnih uslova

Problem određivanja konturnih (naročito gra-
ničnih) uslova može biti u izvanrednim slučajevima jednozna-
čan, dok naprotiv u drugim vrlo složen i vezan za pret-
hodne proračune. Način određivanja konturnih uslova de-
vija i od prijedloga metode proračuna. Kako izlascima na-
toga proračuna sledi nekada, a prethodni poglavlje o kontur-

nih uslova su neopredeljivi za razmatranje, te zaključiti, to će problem izbora kontinuiranog uslova i izvesti (u slučaju slučajevima koji imaju u opštem slučaju).

Poplavni talasi

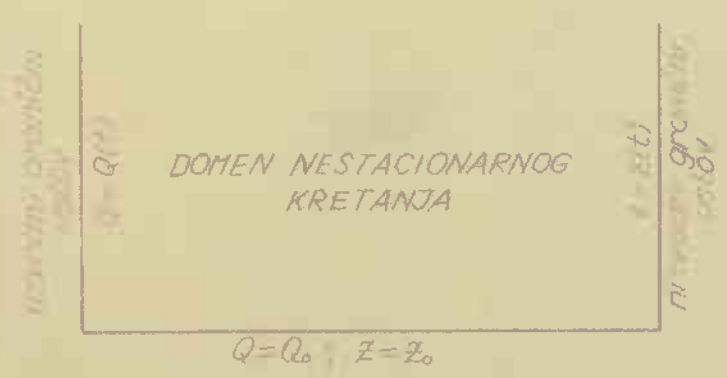
U praksi se najčešće analiziraju propagacija i transformacija poplavnih talasa u prirodnim kanalima i ekvivalentima.

Propagacija poplavnih talasa u prirodnom vodotoku.

Kontinuirni uslovi u ovom slučaju su definisani na slici (4.3.1).

a/ početni uslovi su dvostruki i njihove su karakteristične promene u toku i brzine, odnosno vodostaja i protoka, da li posmatranje deonice, u jednom određenom trenutku.

b/ granični uslovi ima dva: jedan koji se odnosi na izvodni profil, dat u vidu izvograne ili izvogramma, drugi koji se odnosi na izvovodni profil analizirane deonice. Ovaj poslednji služi za kontrolu rezultata proračuna i daje se najčešće u vidu promene vodostaja $z = z(t)$. Sematski prikaz kontinuirnih uslova vodenog toku prikazan je na slici (4.3.1)



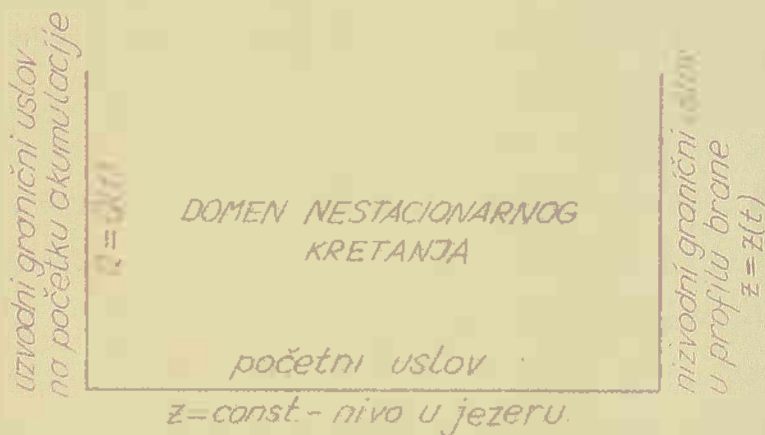
Sl. (4.3.1) Kontinuirni uslovi za slučaj analize poplavnih talasa.

Transformacija talasa u akumulaciji

Ovaj slučaj je nešto složeniji u pogledu definicije konturnih uslova u odnosu na prethodni, a zavisi od problema koji se tretira. Ako je u pitanju najjednostavniji slučaj - određivanje uticaja akumulacije na transformaciju talasa a posledice - konturni uslovi su sledeći:

a/ početni uslov je definisan nivoom u jezeru neposredno pre pojave brane.

b/ uzvodni granični uslov je definisan hidrogramom ulaznog talasa $Q = Q(t)$, a nizvodni nivokramom neposredno uzvodno od brane $z = z(t)$. Sama ova slučaj data je na slici (4.3.2.)



Sl. (4.3.2.) - konturni uslovi za slučaj analize transformaciju poplavnih talasa akumulacijama

Strmi talas

Ukoliko strmi talas nastane u neposrednoj blizini vaskane na rad hidropostrojenja i eventualno na to prilikom njenog akumuliranja (od trenutka kad se taj proces završi,

proboj nasipa, pregrada od leđa itd.)

Problemi vezani za rad hidroelektrana i tranzitniji su, a sa tim i izbor i određivanje odgovarajućih konturnih uslova.

Pojave strmog talasa u otvorenom vodotoku.

a/ kao i u većini slučajeva početni uslov je definisan elementima stacionarnog režima koji je vlastito neposredno pre pojave strmog talasa.

b/ uzvodni granični uslov je obično definisan ulaznim hidrogramom

c/ nizvodni granični uslov zavisi od toga da li je posmatrani tok ograničene ili neograničene dužine. Ukoliko je tok ograničene dužine, nizvodni granični uslov zavisi od načina završetka vodotoka; ukoliko je u pitanju potpuno zatvoren profil, dolazi do totalne refleksije talasa i pojave pozitivnog obratnog talasa, a ukoliko se reka uliva u veću reku ili u akumulacioni bazen, javlja se negativni obratni talas.

Uopšte govoreći refleksija talasa je posledica njezovog nastanka u profil sa bilo kakvim diskontinuitetom. (Diskontinuitet u posledu oblika poprečnog profila, preloma u padu, raščvanje toka itd.). Refleksija može biti totalna ili delimična, u zavisnosti od tipa diskontinuiteta, koji također može biti totalni ili delimični. Pod totalnim diskontinuitetom se podrazumeva potpuna promena uslova u toku (pregradjan tok ili ulaz u rezervoar praktično neograničenih dimenzija, u kom je nivo vode konstantan - velika akumulacija, prirodno jezero ili more). Totalni diskontinuitet izaziva i totalnu refleksiju, koja može biti pozitivna i negativna, što zavisi od tipa diskontinuiteta.

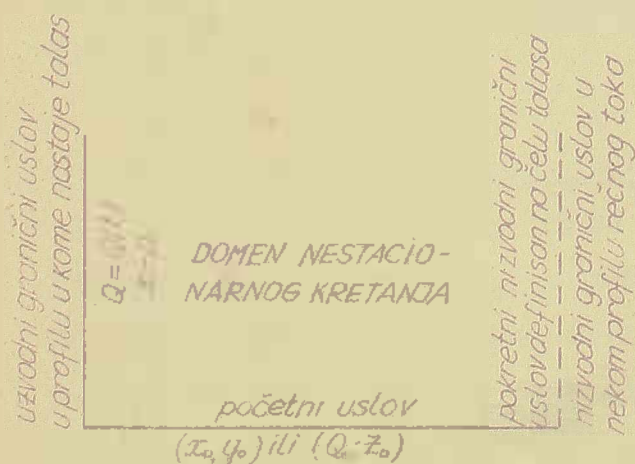
Delimični diskontinuitet izaziva kao što je već rečeno i delimičnu refleksiju - jednovremenu pojavu tranzitnog i reflektovanog talasa. Najčešći uzročnik

pojave delimične refleksije jesu nagle promene u jednom od profila toka.

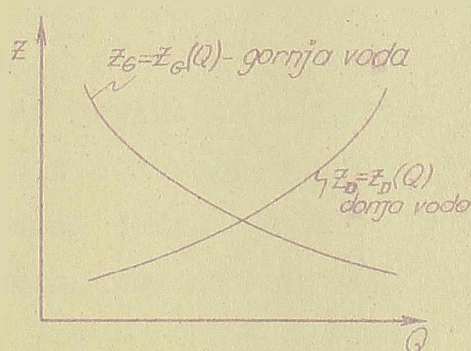
Pošto osnovne jednačine nestacionarnog kretanja ne sadrže članove koji bi bili osuđeni iznenadni diskontinuiteti u koritu, to se u slučaju pojave takvog diskontinuiteta tok mora izdeliti na deonice u tim profilima. Pri tome se moraju napisati posebne jednačine za jednu i drugu deonicu, pri čemu u zavisnosti od toga sa koje se strane posmatra, ovaj diskontinuitet može predstavljati uzvodni ili nizvodni granični uslov.

(Nakon ove kratke digresije u vezi pojma refleksije talasa, vratimo se na problem određivanja nizvodnog graničnog uslova u slučaju propagacije talasa u kanalu određene dužine).

Pošto nizvodni kraj toka nije definisan, to ne može biti definisan ni nizvodni granični uslov u klasičnom smislu. Na nizvodnom kraju granični uslov definiše delo talasa. (O ovome će donikije biti detaljnije reči). Šema ovog slučaja data je na slici (4.3.3.).



Sl. (4.3.3.) Strmi talas nastao usled ruha u



Sl. (4.3.4.) Strmi talas nastao rušenjem brane

Konturni uslovi za slučaj analize propagacije strmog talasa

U izvesnim slučajevima se granični uslov ne može definisati jednoznačnom vezom, tako da se jedan od zavisno promenljivih mora uvesti kao parametar.

Na primer, kod analize nestacionarnog kretanja na donjoj granici od prelivne potopljene brane na konstantnim uzvodnim nivoom, uzvodni granični uslov je definisan zavisnošću $Q = Q(\Delta H)$, pri čemu se kao parametar uvedi vreme (t). (ΔH) predstavlja razliku cija gornje i donje vode.

Još složeniji problem predstavljaju slučajevi kod kojih se određivanje graničnih uslova vrši prilikom rušenja.

Pod pretpostavkom da u prethodnom slučaju nivo u jezera nije konstantan, granični uslov u profilu vodomerne stanice se određuje probanjem, odnosno na taj način se određuju veličine (Q) i (ΔH). U tom slučaju se fiksira određeni trenutak vremena (t_1) i za taj trenutak se određuje probanje par vrednosti (Q_1) (H_1), koja će dati snagu postrojenja (N_1), koja u datom trenutku (t_1) odgovara snazi na zadatom dizajnerskom opterećenju elektrane.

Problem rušenja brane

Rušenje brane može biti delimično i potpuno. Kao posledica proloma i u jednom i u drugom slučaju dolazi do pojave direktnog pozitivnog talasa koji se propagira nizvodno od brane, i obratnog negativnog koji se propagira kroz jezero.

Izbor konturnih uslova zavisi od karaktera rušenja brane i način njihovog određivanja se razlikuje za jedan i drugi slučaj.

Slučaj trenutnog i potpunog ršenja brane.

a/ Početni uslovi su definisani režimom u toku i u jezera u trenutku neposredno pre problema.

Ukoliko režim u jezera nije uniforman, ili ako je trajna akumulacija $V \neq 0$, proračun početnih stanja se svodi na proračun krive naspune ili depozicije.

Za definiciju početnih uslova neoprodno je i poznavañje veličine površine preseka i proticaja u profilu brane u trenutku problema. Ove dve veličine određuju jednovremeno rešenje jednadžine koeficijenta definisane brzine propagacije čela obratnog negativnog talasa i veličine proticaja na čelu pozitivnog obratnog talasa.

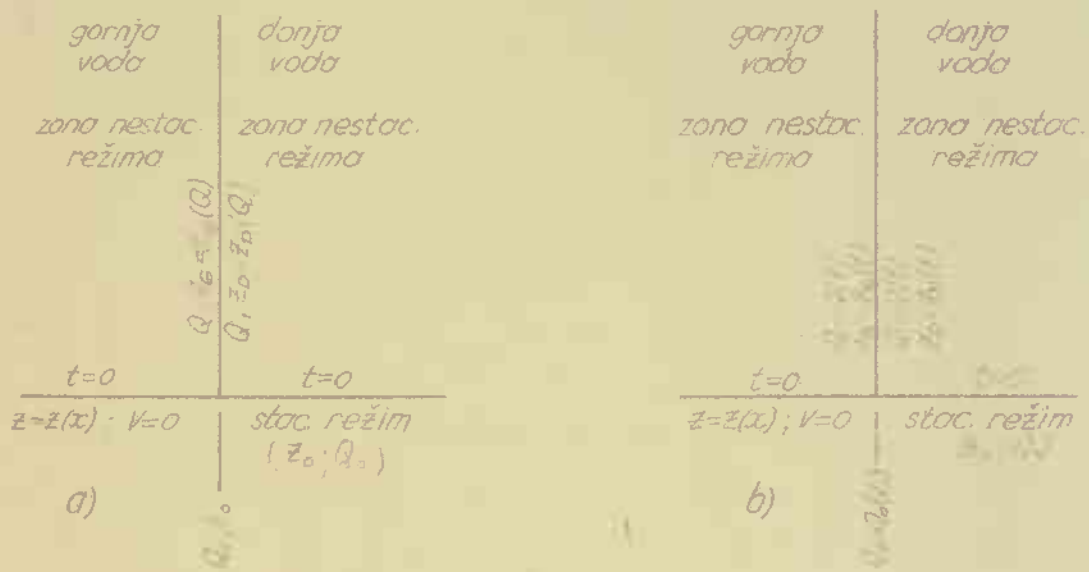
b/ Granitni uslova ima dva za gornju i donju vodu. Ako se počje od pretpostavke da je režim u toku nizvodno i uzvodno od brane poznat u jednom određenom trenutku vremena (t_1), i da je treba odrediti u sledećem trenutku (t_2), onda se za svaku vrednost proticaja može odrediti odgovarajuća vrednost vodostaja z , kako u gornjoj, tako i u donjoj vodi. Za nekoliko parova vrednosti (z, Q), mogu se konstruisati dijagrami $z = z(Q)$ za gornju i donju vodu. Veličina proticaja (Q) predstavlja prvi granitni uslov, a drugi je $z = z(Q)$. Tražene vrednosti vodostaja i proticaja nalaze se u preseku odgovarajućih kriva $z = z(Q)$ za gornju i donju vodu (vidi sl. 4.3.4)

Slučaj delimičnog ršenja brane

a/ Početni uslovi su kao u prethodnom slučaju definisani režimom u toku nizvodno od brane i u jezera u trenutku neposredno pre delimičnog ršenja brane. Pored ovih elementa, potrebno je poznavañje veličine proticaja i vodostaja u profilu brane. Po ovih veličina se određuje iz odgovarajućih veličina proticaja na čelu obratnog

$z = z(Q)$, a (ΔH) denivelaciju između nivoa poravnane i donje vode u breži brane pri jednako srednjem protoku Q], ona se u preseku ovih dveju delova dostiže tražena veličina protoka (Q_{i+1}), a trenutak (t_{i+1}). Odnosno, određena je jedna od tačaka dijagrama $Q = Q(t)$ u profilu breše, koji predstavlja prvi granični uslov.

Konturni uslovi su zadani u ovom slučaju proloma brane prikazani su detaljno na slici (4.3.6).

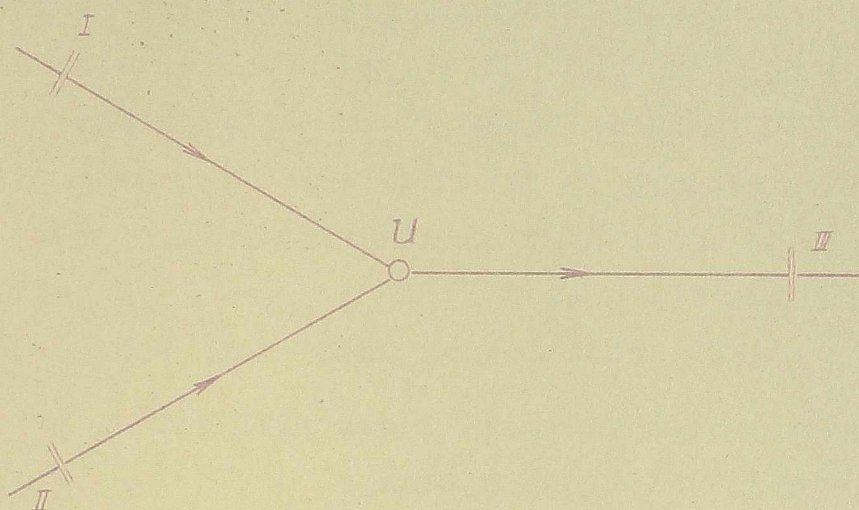


4.3.7. Prolom brane u toku poplavljanja

Pretpostavimo da se na prelomu P_1 i P_2 istovremeno javljaju poplavni talasi u profilu breše. Ovi talasi su prikazani na slici (4.3.7), koji predstavljaju poplavni talas u najizolnijem profilu breše u tački (B). Profil vodostaja stvaraju se i na ovoj režijskoj delu breše je na III.

a/ početni uslovi su zadani u režimom toku (4.3.6) i (4.3.7), pri čemu je $z_0 = z_1$.

b/ uslovi su zadani u toku proloma brane u tački (B).



Sl. (4.3.7)

Prvi granični uslov:

Tok I: prvi granični uslov sadit je u vidu ulaznog hidrograma $Q_I = Q_I(t)$

Tok II: prvi granični uslov sadit je u vidu ulaznog hidrograma $Q_{II} = Q_{II}(t)$

Tok III: prvi granični uslov se dobija iz drugog graničnog uslova za tokove I i II

Drugi granični uslov:

Tokovi I i II: drugi granični uslov se svaki od
ova dva toka čititi se na slični
misliti pod pretpostavkom da je
rečim u tokovima I i II uočavamo
u tokovima (t_1) i da se želimo
odrediti na slični granični
($t_{1,1}$) . uslova nekoliko vrsta-

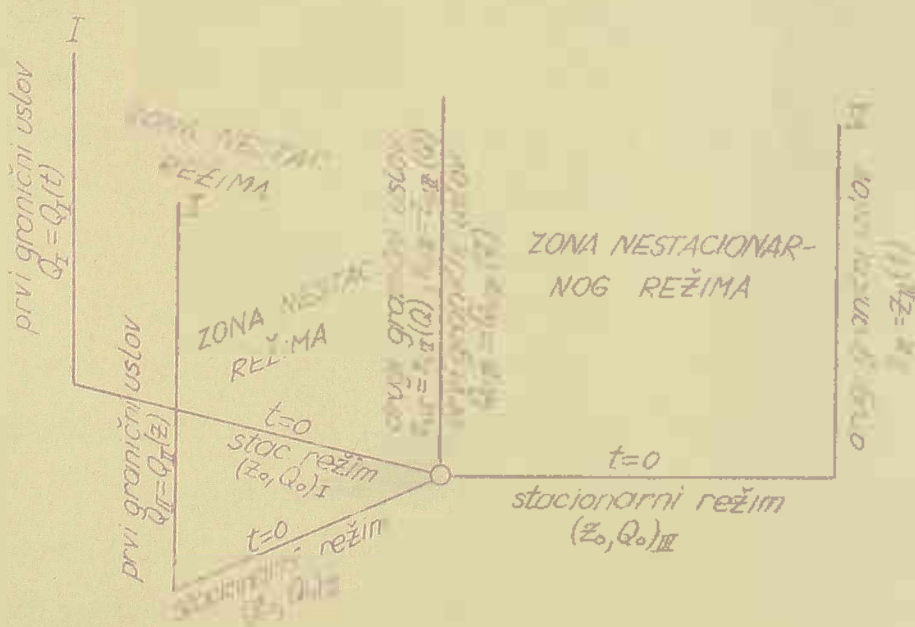
nosti za vodostaj (z_{III} u profilu ušća u tački (U).
 Grafiraju se krive $z_{III} = z_{III}(Q)$ i $z_{II} = z_{II}(Q)$,
 koje predstavljaju prvi i drugi granični uslov u tački (U).
 Sumirajući profilne očitavke sa pomoćnih dijagrama
 na jednu odredenu vrednost vodostaja, dobija se nija-
 kacija $Q_{III} = Q_{III}(z)$, koji predstavlja prvi gra-
 nični uslov u tački reka u tački (U).

Tak III: drugi granični uslov je obično poznat
 i zadaje se u vidu nivoografa

$$z_{III} = z_{III}(\pi).$$

Pređane vrednosti proticaja i vodostaja u tački
 (U) (Q_{III}) koristi se u zajedno $Q_{III} = Q_{III}(z)$,
 is uslova da odgovara jednom graničnom uslovu u tački
 tačke (U).

Sumirajući uslove za zonu ušća u tački (U) i
 uslove za zonu ušća u tački (U) sa šelatski i
 (4.1.8).



Sl. 4.1.8) Konturni uslovi za slučaj
 analize propagacije talasa
 u zoni ušća

5. OPŠTI PREGLED METODA DIFERENCIJALNE JEKNE
TREKUTNIH REKIMA

Osnovne diferencijalne jednačine nestacionarnog kretanja u otvorenim tokovima se matematske tačke gledišta predstavljaju par simultanih parcijalnih diferencijalnih nelinearnih jednačina hiperboličnog tipa, koje sadrže dve zavisno promenljive (obično v i z) i dve nezavisno promenljive (x i t).

Pomenuti sistem jednačina nije u opštem slučaju integrabilan, tako da se pri rešavanju pribegava metodama približne integracije.

5.1. Opšti pregled metoda

Može se reći da je metodologija tretiranja nestacionarnog kretanja napredovala sa razvojem modernih stremljenja u hidraulici u onoj meri u kojoj je to postignuto u drugim oblastima. Naprotiv, osnovne postavke metode karakteristika učinjene su više od 100 godina unazad. Sve što je naknadno učinjeno, predstavlja modifikaciju ovih osnovnih postavki, pa čak i grubu aproksimaciju. (Primenu elektronskih računskih mašina na probleme ove vrste ne smatramo kvalitativnim, već samo kvantitativnim doprinosom - mehanizacijom tretiranja ove materije).

Primenjivane metode su brojne, a nastajale su iz potrebe olakšanja i ubrzanja proračuna ove vrste, kao i iz potrebe rešavanja konkretnih problema (slučaj metode iznete u [4]).

Pošto ćemo se naknadno detaljno zadržati na izlaganju izvesnih metoda interesantnih za proračune nestacionarnog kretanja u otvorenim tokovima, nećemo se baviti detaljnim opisom svih metoda koje su se razvile u ovom području.

meni osnovnih jednačina koje se ne mogu integrisati jednačinama karakteristika, isto tako diferencijalnim, ekvivalentnim osnovnim. Ovako dobijene diferencijalne jednačine mogu se približno rešiti sa dovoljnom tačnošću, metodom konačnih prirastaja.

Postoje brojne varijante proračuna po metodi karakteristika, ali su sve uglavnom grafoanalitičke.

Inženjerske metode

Ovo je najbrojnija grupa metoda, i moglo bi se reći za potrebe inženjera praktičara najkorisnija; do rezultata, ne takvog kvaliteta koji se postiže prethodno pomenutim metodama, dolazi se znatno brže.

Pod inženjerskim metodama podrazumevamo sve one čija je razrada zahtevala izvesne aproksimacije u smislu uprošćavanja osnovnih jednačina radi njihovog lakšeg rešavanja.

Što se tiče dalje podele, inženjerske metode se prema svojim specifičnostima mogu deliti na sledeće tri osnovne podgrupe:

1. Metode koje se baziraju na direktnoj primeni osnovnih jednačina nestacionarnog kretanja u vidu konačnih diferencija, ili na zvezanim diferencijalnim jednačinama.
2. Metode koje se baziraju na pretpostavci o eksponencijalnom zakonu promene proticaja nakon prolaska čela talasa.
3. Približne metode proračuna u okviru koji se kretanje talasa posmatra kao niz izvođenih proticaja.

I na ovoj grupi metoda nećemo se zadržavati duže, pošto ćemo neke od njih detaljno analizirati nak-

nađno, u svetlu primene na prirodne rečne tokove.

5.2 Metoda karakteristika

Tip jednačina koje pripadaju i osnovne diferencijalne jednačine nestacionarnog kretanja u otvorenim tokovima ima dva osnovna obeležja:

a/ nije integrabilan u opštem slučaju

b/ može se zameniti ekvivalentnim sistemom karakterističnih jednačina koje se mogu rešavati po principu približne integracije.

Prema tome, rešavanje osnovnih diferencijalnih jednačina nestacionarnog kretanja u otvorenim tokovima svodi se na prelaz na odgovarajuće jednačine karakteristika i zatim njihovo rešavanje. Važno je pri tome naglasiti da ovaj postupak ima svoje puno teorijsko opravdanje.

5.2.1 Koncept rešavanja osnovnih jednačina nestacionarnog kretanja u otvorenim tokovima po metodi karakteristika.

Rešavanje osnovnih diferencijalnih jednačina nestacionarnog kretanja

$$\begin{aligned} F &= F(x,t), \quad v = v(x,t) \quad \text{ili} \\ Q &= Q(x,t) \quad \text{i} \quad z = z(x,t) \end{aligned} \quad (5.2.1.1)$$

sa geometrijske tačke gledišta predstavlja površine u prostoru definisanom koordinatnim sistemom (x, y, t) i (v, x, t) , odnosno (Q, x, t) i (z, x, t) , do kojih se može doći nanošenjem veličina (F) i (v) , odnosno (z) i (Q) na ravan (x, t) . kao što je pokazano na slici (5.2.1.2)

$$\frac{B'}{B} \cdot \frac{\partial F}{\partial t} + F \cdot \frac{\partial v}{\partial x} + v \cdot \frac{\partial F}{\partial x} = -a_L \quad (3.2.5')$$

$$\frac{1}{g} \cdot \frac{\partial F}{\partial t} + \frac{v}{g} \cdot \frac{\partial F}{\partial x} + \frac{1}{B} \cdot \frac{\partial F}{\partial x} = S_o - S_{tr} \quad (3.2.19)$$

$$\frac{dv}{dt} \cdot dt + \frac{\partial v}{\partial x} \cdot dx = dv \quad (5.2.2.1)$$

$$\frac{\partial F}{\partial t} \cdot dt + \frac{\partial F}{\partial x} \cdot dx = dF \quad (5.2.2.2)$$

Ove četiri diferencijalne jednačine saorže četiri nepoznate: $\partial F/\partial t$, $\partial F/\partial x$, $\partial v/\partial t$ i $\partial v/\partial x$.

Kao što je već objašnjeno u tački (5.2.1), jednačine karakteristika čije postojanje je uslovljeno postojanjem diskontinuiteta na konturnim krivim, određuju se iz uslova na su parcijalni izvodi zavisno promenljivih veličina neodređeni. Drugim rečima, jednačine karakteristika će se dobiti tražeći pri kojim uslovima sistem jednačina (3.2.5', 3.2.19 i 5.2.2.1 i 5.2.2.2) postaje neodređen za parcijalne izvode $\partial F/\partial t$, $\partial F/\partial x$, $\partial v/\partial t$ i $\partial v/\partial x$. Na osnovu ranije iznetog, ti uslovi su sledeći:

a/ sistem jednačina će biti neodređen ili neodređen, ukoliko je determinanta tog sistema jednačke nula:

$$\Delta = \begin{vmatrix} \frac{1}{g} & \frac{v}{g} & \frac{\partial v}{\partial t} & \frac{\partial v}{\partial x} \\ 0 & 0 & \frac{\partial F}{\partial t} & \frac{\partial F}{\partial x} \\ 0 & dt & 0 & dx \end{vmatrix} = 0 \quad (5.2.2.3)$$

rešavanjem ove determinante dobija se sledeći

*/ Jednačina (3.2.5') je napisana u nešto izmenjenom obliku u odnosu na jednačinu (3.2.5)

$$B' \cdot \frac{\partial F}{\partial t} = B' \cdot \frac{\partial F}{\partial t} - B' \cdot \frac{\partial F}{\partial t} (F/B)$$

5.1.2.3. jednačina:

$$\frac{dx}{dt} = \left(\frac{B'+B}{2B} \right) x + v \pm \sqrt{\left(\frac{B'+B}{2B} \right)^2 x^2 + \frac{F}{B} + \left(\frac{B'-B}{2B} \right)^2 x^2} \quad (5.2.2.4-3)$$

nerokus

5.1.2.3. sistem jednačina (5.1) biti neuredjen liko formiramo novu determinantu zamenujemo jedna od kolona determinante (A) članovima na desnoj strani sistema četiri diferencijalne jednačine i njima izjednačavamo sa nulom. Na taj način se dobijaju četiri determinante. Međutim, s obzirom na relaciju (5.2.2.2-3), ove četiri determinante se svode na jednu jedinu:

$$5. \begin{vmatrix} 0 & B'/B & q_1 & v \\ \sqrt{x} & 0 & \frac{B'+B}{2B}x & 1/B \\ dt & 0 & dx & 0 \\ 0 & dt & dx & dx \end{vmatrix} \quad (5.2.2.4-4)$$

5.1.2.3.4. gornje determinante dobija se sledeći par jednačina:

$$dv + \frac{v}{2} \cdot \frac{B'-B}{B} = \frac{F}{B} + \left(\frac{B'+B}{2B} \right)^2 x^2 + \left(\frac{B'-B}{2B} \right)^2 x^2 \quad (5.2.2.4-5)$$

$$\frac{dv}{v} + \frac{B'-B}{2B} \frac{v}{v} = \frac{F}{Bv} + \left(\frac{B'+B}{2B} \right)^2 \frac{x^2}{v} + \left(\frac{B'-B}{2B} \right)^2 \frac{x^2}{v} \quad (5.2.2.4-6)$$

5.1.2.3.5. gornju jednačinu je radi skraćivanja uvedena oznaka:

$$N = \sqrt{\left(\frac{B'+B}{2B} \right)^2 + \left(\frac{B'-B}{2B} \right)^2} \quad (5.2.2.4-7)$$

Sistem jednačina (5.2.2.4-5) i (5.2.2.4-7) predstavlja tražene jednačine ovog para karakteristika:

5.1.2.3.6. par pozitivnih karakteristika:

$$\frac{dx}{dt} = \left(\frac{B'+B}{2B} \right) x + v + \sqrt{\left(\frac{B'+B}{2B} \right)^2 x^2 + \frac{F}{B} + \left(\frac{B'-B}{2B} \right)^2 x^2} \quad (5.2.2.4-8)$$

$$dv + \frac{B'}{B} \cdot \frac{2g}{(B'-B) \cdot v + 2 \cdot B' \cdot N} \cdot dF = +g(S_0 - S_{tr}) + (v \cdot dF + q_L)$$

$$\frac{dF}{(B'-B) \cdot v + 2 \cdot B' \cdot N} \tag{5.2.2.10}$$

per negativnih karakteristika:

$$\frac{dx}{dt} = \left(\frac{B+B'}{2B'} \right) \cdot v - \sqrt{g \cdot \frac{F}{B'} + \left(\frac{B'-B}{B'} \right)^2 \cdot v^2} \tag{5.2.2.11}$$

$$dv + \frac{B'}{B} \cdot \frac{2g}{(B'-B) \cdot v - 2 \cdot B' \cdot N} \cdot dF = -g(S_0 - S_{tr}) - (v \cdot dF + q_L)$$

$$\frac{dF}{(B'-B) \cdot v - 2 \cdot B' \cdot N} \tag{5.2.2.12}$$

Izrazi "pozitivna" i "negativna" karakteristika usvojeni su analogo ekvivalentnim izrazima koji služe za definiciju tipa talasa; pozitivna karakteristika prikazana u ravni (x,t) ima pravac pružanja u pravcu tečenja osnovnog toka, a negativna u obratnom.

Na sličan način se dobijaju i jednačine za nešto uprošćenije oblike poprečnog profila toka, pri čemu se ne uzima konkretna slučaja koriste odgovarajuće osnovne jednačine neregularnog kretanja. Detaljni postupci neće biti izneti, pošto su identični sa prikazanim za složeno korito.

Prizmatično korito:

per pozitivnih karakteristika

$$\frac{dx}{dt} = v - \sqrt{g \cdot \frac{F}{B}} \tag{5.2.2.13}$$

$$dv + \sqrt{\frac{g}{B}} \cdot dF = g(S_0 - S_{tr}) \cdot dt \tag{5.2.2.14}$$

par negativnih karakteristika:

$$\frac{dx}{dt} = v - \sqrt{g \cdot F/B} \quad (5.2.2.14)$$

$$dv - \sqrt{\frac{g}{B \cdot F}} \cdot dF = g(S_0 - S_{tr}) \cdot dt \quad (5.2.2.15)$$

pravougaono korito:

par pozitivnih karakteristika

$$\frac{dx}{dt} = v + \sqrt{gy} \quad (5.2.2.16)$$

$$dv + \frac{\sqrt{g}}{2} \cdot \frac{dy}{\sqrt{y}} = g(S_0 - S_{tr}) \cdot dt \quad (5.2.2.17)$$

par negativnih karakteristika

$$\frac{dx}{dt} = v - \sqrt{gy} \quad (5.2.2.18)$$

$$dv - \frac{\sqrt{g}}{2} \cdot \frac{dy}{\sqrt{y}} = g(S_0 - S_{tr}) \cdot dt \quad (5.2.2.18')$$

U ovaj način, pošto od osnovnih diferencijalnih jednačina neizmjenjivosti u opštem slučaju, došlo se do novog sistema običnih diferencijalnih jednačina identičnih sa polaznim, koje se mogu rešiti metodom približne integracije.

Da su dobijene jednačine karakteristika identične sa polaznim, biće dokazano na primeru pravougaonog korita:

Prethodno će osnovne jednačine biti dovedene na simetričan oblik, što se postiže uvodjenjem pojma brzine propagacije talasa (koji će naknadno biti detaljnije analiziran)

$$c = \sqrt{g \cdot y} \quad (5.2.2.19)$$

Ako se gornja jednačina diferencira po (x) i (t) , dobija se:

$$2c \cdot \frac{\partial c}{\partial x} = \frac{\partial y}{\partial x} \quad (5.2.2.20)$$

$$2c \cdot \frac{\partial c}{\partial x} = g \cdot \frac{\partial z}{\partial t} \quad (5.2.2.21)$$

Uvođenjem jednačina (5.2.2.20-21) u osnovne jednačine nestacionarnog kretanja tekućine sa pravougaonim poprečnim presekom bez bočnog doticaja, (3.1.12 - 15), i zatim njihovim sabiranjem, dobijaju se sledeće jednačine:

$$\left[\frac{\partial}{\partial t} + (v + c) \cdot \frac{\partial}{\partial x} \right] \cdot (v + 2c) = g(S_0 - S_{tr}) \quad (5.2.2.22)$$

$$\left[\frac{\partial}{\partial t} + (v - c) \cdot \frac{\partial}{\partial x} \right] \cdot (v - 2c) = g(S_0 - S_{tr}) \quad (5.2.2.23)$$

U ove dve jednačine upoređe sa sledećim izrazom:

$$\frac{\partial A}{\partial t} = \frac{\partial A}{\partial t} + \frac{\partial A}{\partial x} \cdot \frac{dx}{dt} = \left[\frac{\partial}{\partial t} + \frac{dx}{dt} \cdot \frac{\partial}{\partial x} \right] A \quad (5.2.2.24)$$

može se videti da operatori u zagradaama u jednačinama (5.2.2.22-23) predstavljaju usmerene izvode po t , uzduž karakterističnih krivih, koje su određene sledećim diferencijalnim jednačinama:

$$\frac{dx}{dt} = v \pm c \quad (5.2.2.25-26)$$

Uz ovih karakterističnih krivih, jednačine (5.2.2.22-23) mogu da se napišu u sledećoj formi:

$$d(v \pm 2c) = g(S_0 - S_{tr}) \cdot dt \quad (5.2.2.27-28)$$

Kako što se vidi, počevši od osnovnih jednačina (3.1.12-15) i jednačina (5.2.2.20-21) dobijaju se dve jednačine (5.2.2.22-23) koje su ova dva sistema medju sobom identični. Osim toga može se takođe dokazati identičnost odgovarajućih jednačina (5.2.2.27-28) i složno rešeno korito.

5.2.3. Analiza pojedinih karakterističnih komponenta talasa i njihovih brzina

U ovoj se sekciji "Similar Waves", uvodi pojam "karakterističnih komponenta talasa", kao osnovu svake karakteristike talasa.

Kao pogledano je u prošle sekcije za karakteristike sa bilo kakvim tipom poprečnog preseka, videćemo da se mogu napisati u sledećem obliku:

par pozitivnih karakteristika

$$dx = c^+ dt \quad (5.2.3.1)$$

$$d\phi^+ + a^+ dt = 0 \quad (5.2.3.2)$$

par negativnih karakteristika

$$dx = c^- dt \quad (5.2.3.3)$$

$$d\phi^- + a^- dt = 0 \quad (5.2.3.4)$$

Izrazi c^+ , a^+ i ϕ^+ predstavljaju karakterističnu brzinu propagacije talasa, karakteristično spljoštenje talasa i karakterističnu promenljivu, a njihov oblik zavisi od tipa poprečnog preseka korita na koje se odnose.

Prema Schönfeld-u, karakteristične komponente talasa čini čitav niz tačaka talasa pri čemu se svaka tačka ovog niza kreće sa odgovarajućom brzinom c^+ (ili c^-) i ima pri tome odgovarajuću vrednost karakteristične promenljive ϕ^+ (ili ϕ^-). Veličina karakteristične komponente opada u toku vremena za veličinu karakterističnog spljoštenja a^+ (ili a^-). Prema tome, svaka karakteristika predstavlja u izvesnom smislu "istoriju" bilo koje od tačaka para karakterističnih komponenta talasa.

a/ sa bočnim doticajem i bez mrtve zapremina

$$c_{-}^{+} = v_{-}^{+} \sqrt{g \cdot \frac{y}{B}} \quad (5.2.3.8)$$

$$a_{-}^{+} = \sqrt{\frac{g}{F \cdot B}} \cdot \left(v_{-}^{+} \cdot \frac{dF}{dx} + q_{\ell} \right) + g (S_{tr} - S_0) \quad (5.2.3.9)$$

$$\phi_{-}^{+} = \int \sqrt{\frac{g}{B \cdot F}} \cdot \left(v_{-}^{+} \right) dx \quad (5.2.3.10)$$

b/ sa mrtvom zapreminom i bez bočnog doticaja članovi

(c_{-}^{+} i ϕ_{-}^{+}) su identični sa odgovarajućim izrazima u

$$a/ \quad c_{-}^{+} = \frac{2 \cdot v_{-}^{+} \cdot dr_{tr} (S_{tr} - S_0)}{(B - B') \cdot v_{-}^{+} - 2B'N} \quad (5.2.3.11)$$

Pravougaono korito

a/ sa bočnim doticajem

Članovi (c_{-}) i (ϕ_{-}) su identični sa odgovarajućim izrazima u tački b/ za složeno rečno korito

$$a_{-} = \sqrt{\frac{g}{F \cdot B}} \cdot q_{\ell} + g (S_{tr} - S_0) \quad (5.2.3.12)$$

b/ bez bočnog doticaja

Članovi (c_{-}) i (ϕ_{-}) ostaju isti kao u tački a/

$$a_{-} = g (S_{tr} - S_0) \quad (5.2.3.13)$$

Pravougaono korito

a/ sa bočnim doticajem

$$c_{-}^{+} = v_{-}^{+} \sqrt{g \cdot y} \quad (5.2.3.14)$$

$$\phi_{-}^{+} = 2 \sqrt{g \cdot y} \cdot v_{-}^{+} \quad (5.2.3.15)$$

$$a_{-}^{+} = \sqrt{\frac{g}{y}} \cdot q_{\ell} + g (S_{tr} - S_0) \quad (5.2.3.16)$$

b/ bez bočnog uticaja

Izrazi za karakterističnu brzinu (c^-) i karakterističnu promenljivu (Φ^-) isti su kao za slučaj pod tačkom

$$a_{tr}^+ = \pm g (S_{tr} - S_0) \quad (5.2.3.17)$$

Jednačine (5.2.3.5 -17) mogu se koristiti za vrlo brzo formiranje jednačina karakteristika za bilo koji od pomenutih tipova profila.

Analizom gornjih jednačina mogu se izvesti izvesni zaključci o tome od kojih parametara i u kojoj meri zavise izvanšnje veličine koje karakterišu kretanje talasa.

Karakteristična brzina (c^+)

- a/ Veličina karakteristične brzine (c^-) u svim slučajevima zavisi isključivo od srednje brzine toka i geometrijskih karakteristika poprečnog preseka toka (širine ogledala i dubine). Ovaj zaključak je interesantan, jer bi se unapred moglo očekivati da brzina propagacije zavisi od trenja ili od pada dna.
- b/ Bočni uticaj ne utiče na veličinu brzine propagacije talasa direktno. Međutim, ukoliko utiče na promenu geometrijskih karakteristika u smislu povišenja vodostaja, onda indirektno utiče i na promenu brzine propagacije talasa.
- c/ Kontinualna promena oblika profila definisana izrazom $(\frac{dP}{dx})$ ne utiče na veličinu brzine propagacije talasa. Treba naglasiti međutim (kao što je već pomenuto u tački 4.), da ovaj izraz ne obuhvata nagle lokalne promene u koritu, koje svakako da utiču na veličinu brzine propagacije.

c/ Za složene i priznatično korito član koji sadrži geometrijske karakteristike može se integrirati analitički, dok se ti isti članovi koji odgovaraju profilima koji se oblik može definirati matematički, mogu integrirati analitički. (Ova činjenica ima svog značaja u izvesnim varijantama uslova karakteristika).

5.2.4. Osnovni principi resavanja nestacionarnog kretanja u otvorenim tokovima po metodi karakteristika. Postavlja se

pitanje kako rešiti diferencijalne jednačine karakteristika za koje smo konstatovali da su ekvivalentne osnovnim jednačinama.

Treba ustanoviti mogu li se ispoljene jednačine rešavati direktno, i ako mogu u kojim slučajevima; ukoliko za izvesne slučajeve ne mogu, treba usvojiti najpogodniji postupak, prvenstveno sa stanovišta potrebne tačnosti rezultata proračuna.

Mogućnost integracije je vezana za egzistenciju jedne određene diferencijabilne funkcije četiri promenljive (x) , (t) , (ϕ^+) i (ϕ^-) , koju ćemo zvati opšta karakteristična promenljiva i obeležavati sa (ϕ_0) , koja postoji duž svake karakteristike (pozitivne i negativne)

Iskoračeno opštu karakterističnu promenljivu (ϕ_0^+) duž pozitivne karakteristike [slučajno razmatranje važi i za (ϕ_0^-) duž negativne karakteristike], jednačinu kojom se definiše totalni diferencijal opšte karakteristične promenljive duž pozitivne karakteristike, alisi:

$$d\phi_0^+ = \frac{\partial \phi_0^+}{\partial t} \cdot dt + \frac{\partial \phi_0^+}{\partial x} \cdot dx + \frac{\partial \phi_0^+}{\partial \phi^+} \cdot d\phi^+ + \frac{\partial \phi_0^+}{\partial \phi^-} \cdot d\phi^- \quad (5.2.4.1)$$

Kombinovanjem sa jednačinom pozitivnih karakteristika (5.2.3.1 - 2), gornje jednačina se može svesti na sledeći oblik:

$$d\phi_0^+ = \left[\frac{\partial \phi_0^+}{\partial t} + \frac{\partial \phi_0^+}{\partial x} \cdot c^+ + \frac{\partial \phi_0^+}{\partial \phi^+} \cdot a^+ \right] \cdot dt + \frac{\partial \phi_0^+}{\partial \phi^-} \cdot d\phi^- \quad (5.2.4.2)$$

Posto je opšta karakteristična promenljiva nepromenljiva duž jedne određene karakteristike, to se iz jednačine (5.2.4.2) dobijaju sledeće dve jednačine:

$$a/ \quad \frac{\partial \phi_0^+}{\partial \phi^-} = 0 \quad (5.2.4.3)$$

$$b/ \quad \frac{\partial \phi_0^+}{\partial t} / \frac{\partial \phi_0^+}{\partial \phi^+} + \frac{\partial \phi_0^+}{\partial x} / \frac{\partial \phi_0^+}{\partial \phi^+} \cdot c^+ - a^+ = 0 \quad (5.2.4.4)$$

Iz jednačina (5.2.4.3) i (5.2.4.4) se može zaključiti sledeće:

- opšta karakteristična promenljiva i bilo koja njena parcijalna izvodica duž negativne karakteristične promenljive (ϕ^-)
- jednačina (5.2.4.4) se može napisati u sledećem obliku:

$$a^+ = A_1 + A_2 \cdot c^+ \quad (5.2.4.5)$$

art. 3.2.4.5. na vrši funkcija sistema odnosa oznake:

$$A_1 \frac{\partial \phi_0^+}{\partial t} / \frac{\partial \phi_0^+}{\partial \phi^+} = A_2 \frac{\partial \phi_0^+}{\partial x} / \frac{\partial \phi_0^+}{\partial \phi^+} \quad (5.2.4.5)$$

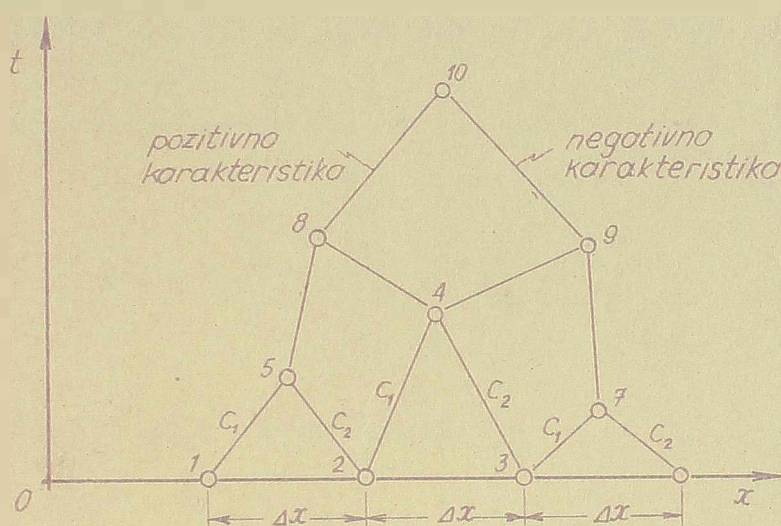
Odgovarajućim matematičkim operacijama jednašine (5.2.4.5) mogu da se dovedu na sledeći oblik:

$$\frac{\partial A_1}{\partial x} + A_1 \cdot \frac{\partial A_2}{\partial \phi^+} = \frac{\partial A_2}{\partial t} + A_2 \cdot \frac{\partial A_1}{\partial \phi^+} \quad (5.2.4.7)$$

Na osnovu jednašine (5.2.4.5) i (5.2.4.7) može se zaključiti da je egzistencija opšte zavisne promenljive (ϕ_0^+), (isto važi i za ϕ_0^-), vezane za postojeću funkciju (A_1) i (A_2) koje zadovoljavaju odgovarajuću jednašinu, a zavisno od nezavisne promenljivih (x) i (t) i karakterističnih promenljivih (ϕ^+) i (ϕ^-). Budući da funkcije (A_1) i (A_2) ne mogu definisati, ne može se odrediti ni opšta karakteristična promenljiva, a samim tim i odgovarajuće diferencijalne jednašine karakteristične ne može direktno integrirati. U ovakvim slučajevima se primenjuje metoda približne integracije - najpre se postavi konična priroda.

Sada ćemo pokušati da utvrdimo da li se diferencijalne karakteristične uvedene za obje ove tipove koniča koji se u prirodi javljaju (od pravougaonog, preko prizmatičnog, do cilindričnog), mogu ili ne mogu direktno integrirati.

S obzirom na ono što je rečeno o karakterističnom aplikovanju za obje tipove koniča i odnosa (5.2.3.6; 5.2.3.9; 5.2.3.11; 5.2.3.12; 5.2.3.13; 5.2.3.16 i 5.2.3.17), kao i s obzirom na jednašinu (5.2.4.5) i konstataciju da su veličine (A_1) i (A_2) funkcije i vezane (1), dolazi se do zaključka da se ove jednašine ne mogu izvesti u zatvoreni oblik opšte karakteristične promenljive, odnosno odgovarajuće dif. jednašine.



Sl. (5.2.4.9.) Mreža karakteristika u ravni (x, t) .

pronađenja kroz tačke (1) i (2). Ukoliko je dužina računске deonice (Δx) izabrana tako da $\Delta x \rightarrow 0$, onda se može očekivati da se računati položaj tačke (5), i njene odgovarajuće vrednosti (v_5) i (y_5) odgovarajućim vrednostima. Na sličan način mogu se odrediti nepoznati silaznici i u ostalim tačkama u (x, t) ravni koje ne leže na x osovini. Drugim rečima, cela površina se može na ovaj način potpuno rešiti uz pomoć sub-karakteristika, koja predstavljaju kompletno numeričko rešenje jednačina za zadate granične uslove, pošto se karakteristike toku u tačkama od kojih proračun nije izvršen mogu sa dovoljno tačnošću dobiti interpolacijom.

Međutim, iz praktičnih razloga proračune nije moguće vršiti sa beskonačno malim dužinama računskih deonica, već se račun sa konačnim vrednostima. S obzirom na ovo, jednačine karakteristika (5.2.3.1. - 5.2.3.4.) transformišu se na sledeće [napisaćemo ih za već poznate tačke mreže karakteristika u ravni (x, t) , 1, 2 i 5:

par pozitivnih karakteristika

$$(x_5 - x_1) = \left(\frac{c_1^+ + c_3^+}{2} \right) \cdot (t_5 - t_1) \quad (5.2.4.9)$$

$$(b_5^+ - b_1^+) = \left(\frac{a_3^+ + a_1^+}{2} \right) \cdot (t_5 - t_1) \quad (5.2.4.10)$$

par negativnih karakteristika

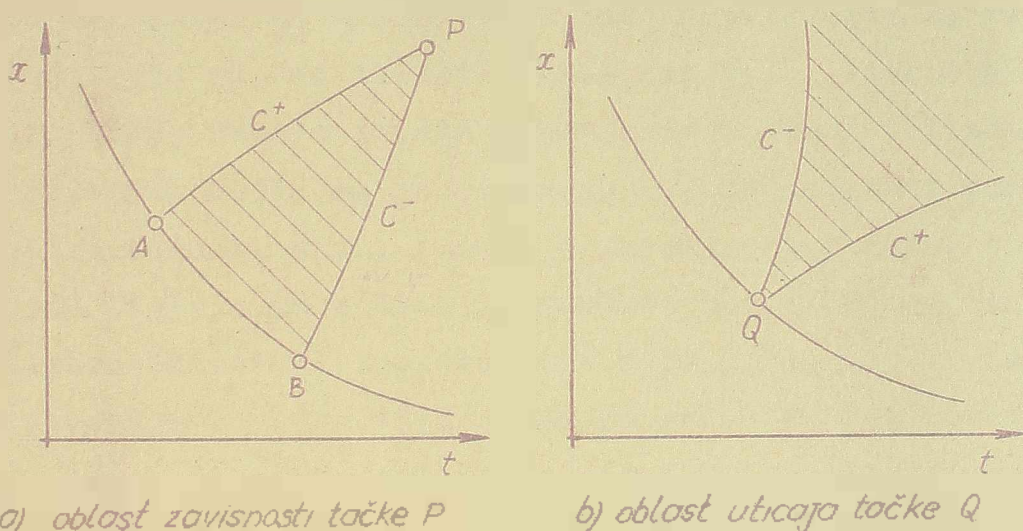
$$(x_5 - x_3) = \left(\frac{c_2^- + c_4^-}{2} \right) \cdot (t_5 - t_3) \quad (5.2.4.11)$$

$$(b_5^- - b_3^-) = \left(\frac{a_4^- + a_2^-}{2} \right) \cdot (t_5 - t_3) \quad (5.2.4.12)$$

Kao što je vidljivo, u praksi određivanje karakteristika fizičkih elemenata nepoznate, različne tačke. Za razliku od prethodnog slučaja u kome je proračun vršen direktno, s obzirom na beskonačno malu dužinu računске deonice (Δx) , u praksi u proračunima u kojima (Δx) ima neku konačnu vrednost, propisno je vršiti izračunavanje postupkom. Postupak je sledeći: pretpostavljeni su vrednosti (c_1^+) , (a_3^+) , (a_1^+) i (a_5^+) u nekoj toj vrednosti, tada (5), (u konkretnom slučaju). Koristeći jednačine (5.2.4.9 - 5.2.4.12), mogu se odrediti nepoznate vrednosti (x) , (b_1^+) , (b_5^+) i (b_3^-) u toj tački. Sada vršimo isti postupak. Pretpostavljene vrednosti (c_2^-) , (a_4^-) , (a_2^-) i (a_5^-) se zatim proveravaju. Ukoliko se odobrenje odobrenjem, proračun se ponavlja.

Ukoliko se vršilo određivanje karakteristika fizičkih elemenata za određenu dužinu intervala (Δx) u praksi, tada se može odrediti, isto tako može se postaviti da određene vrednosti fizičkih promenljivih u nepoznatoj tački (10), (slike 5.3.4.), se

zavise od početnih uslova definisanih duž cele posmatrane deonice, već samo od uslova merodavnih na delu linije među tačkama (1) i (4) prikazanim na istoj slici. Odatle sledi vrlo važna konstatacija o oblasti zavisnosti: Vrednost bilo koje od tačaka mreže karakteristika u ravni (x, t) veličina nezavisno promenljivih u bilo kojoj tački (P) (vidi sl. 5.2.4.13/a) u ravni (x, t) , zavisi od



Sl. (5.2.4.13) Definicija oblasti zavisnosti i oblasti uticaja

početnih uslova na delu (AB) ograničenom kontur - nim karakteristikama koje prolaze kroz tačku (P); vrednost u delu ravni (x, t) , (ABP), je jednodobno sa zadatim početnim uslovima, pri čemu oblast ravni (x, t) van granica karakteristika nema apsolutno nikakvog uticaja na oblast zavisnosti tačke (P). Svako od tačaka (2) na liniji u kojoj su zadati početni uslovi, odgovara jednoj određenoj oblasti uticaja, koja isto tako leži unutar graničnih karakteristika. Ova oblast uticaja tačke (Q) sadrži sve tačke (P), čija oblast zavisnosti sadrži tačku (Q). Egzistencija oblasti zavisnosti i oblasti uticaja čini mogućim rešenje diferencijalnih

načina i u slučaju kada konturni anilivi sadrže diskontinuitete prvog (ili viših) izvoda zaviseo promenljivih. Ovi diskontinuiteti se pojavljuju duž karakteristika koji prolaze kroz tačke diskontinuiteta na konturnoj krivoj. Treba naglasiti da su u pitanju diskontinuiteti izvoda a ne i funkcija, pošto se prvi propagiraju duž karakteristika i nikada se konačno ne "gase", dok se svi drugi ne propagiraju duž karakteristika, već putuju kao "udarni talasi". Sada nam je na izvestan način bliža ranije izneta tvrdnja da su karakteristike krive duž kojih se propagiraju diskontinuiteti početnih vrednosti prvog izvoda i izvoda višeg reda, pošto je u slučaju da oblast zavisnosti tačke (P) ne sadrži diskontinuitet, logično da i rešenja u vidu zavisno promenljivih isto tako imaju neprekidne prve izvode.

Analiza oblasti zavisnosti i uticaja omogućava da se još bolje osvetli pitanje brzine propagacije talasa (c^{\pm}). Pošto se nestacionarni poremećaj u početnim uslovima u nekoj tački na krivoj \bar{AB} , (s. 5.2.4.13/a), propagira uzvodno i nizvodno od te tačke sa brzinom

$$\frac{dx}{dt} = v \pm c^{\pm} \quad (5.2.4.14)$$

i pošto je prvi član desne strane gornje jednačine srednja brzina osnovnog toka, to je očigledno da je (c^{\pm}) brzina kojom se poremećaj propagira u odnosu na osnovni tok; prema tome, (c^{\pm}) zaista predstavlja karakterističnu brzinu propagacije, kako smo to već ranije rekli.

U svim metodama proračuna po metodi karakteristika koristi se (x, t) dijagram, u kome se konstruiše mreža karakteristika sukcesivno, sa napredovanjem proračuna.

Interesantno je razmotriti koji parametri utiču na pravac pražanja karakteristike u ravni (5.3.3).

kao i problem definicije granične karakteristike, koja razgraničava zonu stacionarnog i nestacionarnog režima u toku.

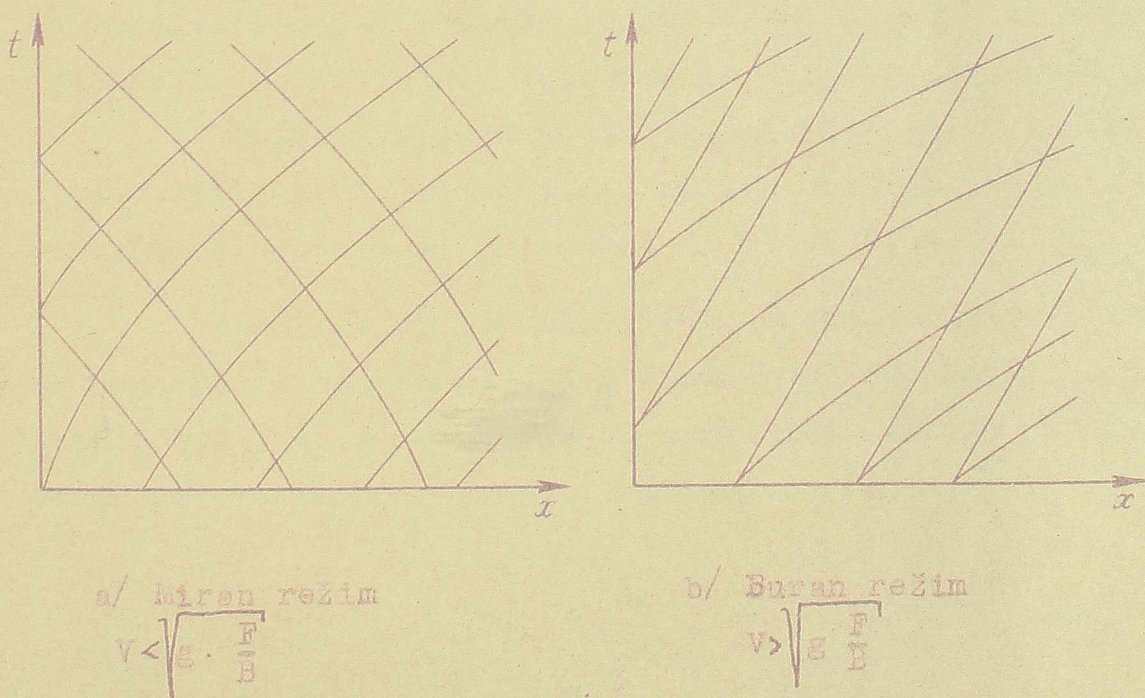
Prethodno ćemo analizirati uticaj karaktera toka na razvoj mreže karakteristike, i uzgred, na izbor graničnih uslova.

Kao što je dobro poznato, tokovi se između ostalog mogu podeliti na mirne i burne, u zavisnosti od toga da li je

$$v \lesseqgtr \sqrt{g \cdot \frac{F}{B}} \quad (5.2.4.15)$$

Kod mirnih tokova kod kojih je $v < \sqrt{g \cdot \frac{F}{B}}$, karakteristične brzine (c^+) i (c^-) će biti različite po vrednosti i znaku s obzirom na nejednačinu (5.2.4.15), kod burnih tokova karakteristične brzine (c^+) i (c^-) će biti isto tako različite, ali istog znaka.

S obzirom na ovu konstataciju, mreža karakteristika će izgledati kao na slici (5.2.4.16).



Sl. (5.2.4.16) Mreža karakteristika u zavisnosti od tipa režima toka

S obzirom da karakteristike predstavljaju krive linije duž kojih se propagiraju diskontinuiteti, to se sa slike (5.2.4.16) očigledno da se nestacionarna promena u mirnom režimu propagira uzvodno i nizvodno od tačke u kojoj je došlo do nestacionarne promene, a u slučaju burnog režim isključivo nizvodno.

U slučaju mirnog režima, kao posledica nestacionarnih promena na uzvodnom delu toka, nestaju protoci i na nizvodnom, pri čemu je za njihovo određivanje neophodno poznavanje izvajh graničnih uslova: na početku i na kraju analizirane deonice. Ovaj slučaj se najčešće javlja u prirodnim tokovima. Na primer, kod analize propagacije poplavnog talasa duž jedne rečne deonice, nepoznato je poznavanje uzvodnog graničnog uslova, najčešće datog u vidu glavnog hidrograma, a nizvodnog, najčešće datog u vidu nivograma $z = z(t)$.

U slučaju burnog režima u toku, odnosno u slučaju kada je $v > \sqrt{g F/p}$, uslovi u toku nizvodno mogu biti definisani isključivo pomoću jedneoblične karakteristike. Prilikom nisu potrebni nikakvi granični uslovi. Na uzvodnoj strani mora biti zadat granični uslov, da li može biti određeni režim na nizvodnim delovima analizirane deonice.

Oblike i pravac razvoja karakterističnih linija i od oblika korita, nepovosti, talasa i slič. Karakteristični sistem se prikazuje na slici (5.2.4.17).

Kao što se sa slike vidi, mrežu karakteristične u ravni (x, t) sa slučaj pravougaono horizontalne linije bez preseka, čiji sistem paralelnih linija puzajućih po pravcima $\sigma = z \sqrt{g/p}$ i osovini $t(t)$ osovinu.



1/100000000
1/100000000
1/100000000

1/100000000
1/100000000
1/100000000

1/100000000
1/100000000
1/100000000

Sl. (3.214.11)

U slučaju stacionarnog i neložnog režima, profil vata uglavnom ima pravilnu, krivu karakteristiku. Ova kriva se može opisati kao kriva koja je rezultat različitih sila i sila koje su povezane s neložnim i neložnim silama. U slučaju stacionarnog i neložnog režima, karakteristika se može opisati kao kriva koja je rezultat različitih sila i sila koje su povezane s neložnim i neložnim silama.

Profil je interesantna karakteristika koja se može opisati kao kriva koja je rezultat različitih sila i sila koje su povezane s neložnim i neložnim silama.

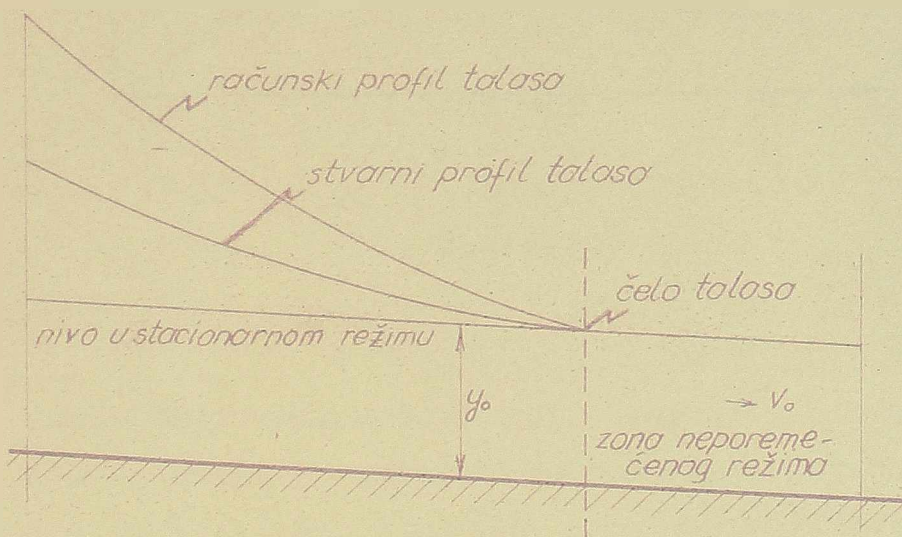
U slučaju stacionarnog i neložnog režima, karakteristika se može opisati kao kriva koja je rezultat različitih sila i sila koje su povezane s neložnim i neložnim silama.

$$z = (v_0 + c_0) \cdot t \quad (3.214.12)$$

U slučaju stacionarnog i neložnog režima, karakteristika se može opisati kao kriva koja je rezultat različitih sila i sila koje su povezane s neložnim i neložnim silama.

Osnovna masa talasa, zbog velikog otpora na trenje pri svojem kretanju kroz korito, zaostaje znatno na dnu koje "klizi" po površini osnovnog profilu.

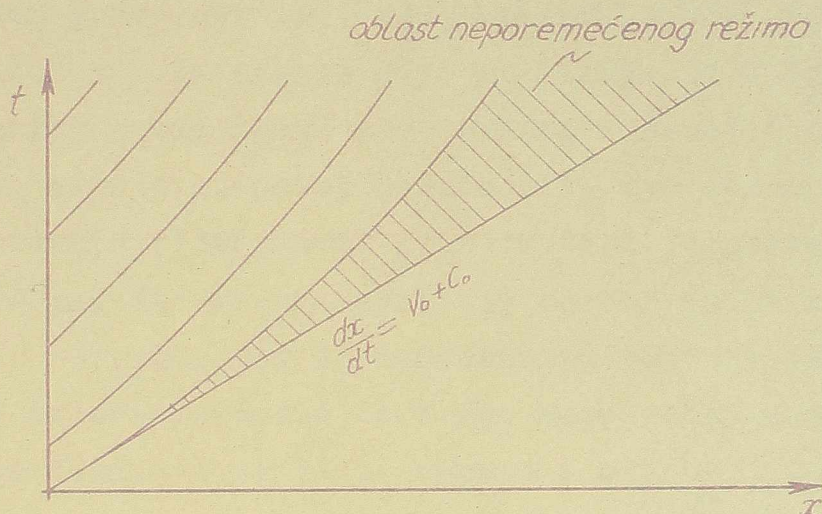
Analizom kretanja u oblasti prve karakteristike, u blizini osnovne mase talasa, konstatovano je da i se unutrašnje strane gradnja karakteristike postoji zona neporemećenog režima, odnosno da standardni proračuni daju nešto veće vrednosti za dubine od stvarnih (vidi sliku 5.2.4.19).



Sl. (5.2.4.19)

Ova, za neporemećenog režima zone neporemećenog režima, može se definisati konjugiranim funkcijama predstavljenim i red po vremenu (t) i njihovom zamenom u osnovne jednačine nestacionarno kretanja, pri čemu se uzimaju kao prvom i drugom členu reda. Način rešenja se jednostavnih matematičkih operacija dobija se diferencijalnim jednačinama osnovne koje se mogu odrediti pomoću dva prvog člana reda. Njegovim razvojem može se predstaviti dodatna zona neporemećenog režima u zoni (x, t), prikazane na slici (5.2.4.20). Postojanje ove zone neporemećenog režima je poznato od davnina i koristi se u praksi.

vremena pri proračunima, na taj način što bi se konstrukcija mreže karakteristika u toku proračuna izostavila u toj



Sl. 5.2.4.2c)

zoni. Međutim, uslovi koji vladaju u prirodnim rečnim tokovima (neravnomernost režima, usputni doticaj itd.), praktično čine ovu zonu zanemarljivo malom, tako da joj ne treba poklanjati pažnju; znatno više vremena je potrebno za definiciju granica dodatne zone, od vremena potrebnog za konstrukciju mreže karakteristika u tom delu ravni (x, t) .

5.2.5. Izbor optimalnih računskih intervala (dužine računске deonice i trajanja računskog intervala). Problem određivanja računskih intervala u proračunima po metodi karakteristika od velike je važnosti iz dva razloga: kraći računski intervali obezbeđuju veću tačnost rezultata, dok usvojeni duži intervali znatno utiču na

skraćenje vremena potrebno za obavljanje proračuna.

Interesantno je da u najzanimljivijim delima literatury koja se bavi nestacionarnim kretanjem u otvorenim tokovima [3], [20], [37], [41], problem izračunavanja računskih intervala nije tretiran. Po našem mišljenju razlog ovome treba pre tražiti u nerazumevanosti problema, nego u njegovoj nevažnosti. Tek u najnovijoj literaturi [11], [34], ovoj problematici je posvećena jedna paragraf, što se pokazalo kao sasvim opravdano.

Kao što je napomenuto, osnovni zahtevi u pogledu izračunavanja računskih deonica, nametnuta zahtevnim stepenom tačnosti sa jedne strane i obimom obavljanog rada sa druge, u kalkulaciji su. Realnost, opet, govori da izbor valjivih računskih intervala nema; moguće su samo neke opšte primedbe. Izračunavanje računskih intervala zavisi od konkretnih uslova zadatka i izvesnih karakteristika toka za koji se proračun sprovodi. Kao i primenjene metode proračuna.

U već klasičnom postupku proračuna po metodi karakteristika, u kome se proračun elemenata toka u trenutku $(t + \Delta t)$ sprovodi eksplicitno na osnovu poznatih podataka o toku u prethodnom trenutku (t) , po čemu se ovakva šema proračuna u literaturi [11] naziva eksplicitna, veza vremenske i dužinske računskog intervala date je sledećom nejednačinom:

$$\Delta x < \frac{\Delta t}{\max} \quad (3.2.5.1)$$

pri čemu smo sa (W_{\max}) obeležili maksimalnu brzinu propagacije čela talasa.

U većini slučajeva gornja nejednačina garantuje "stabilnost" proračuna. [Iskustvo, ikoliko su intervali (Δx) jako mali, čak i zadovoljavajuće nejednačine (3.2.5.1) nije dovoljna garancija].

Bao ovaj način, dat nejednačinom (1.7.2.3), jeste taj koji eksplicitnu metodu čini u izvesnim slučajevima praktično nepo-
 stojivom, u proračunima propagacije i transformacije poplavnih talasa u prirodnim koritima kojim uslov distira toliko kratke vremenske intervale, da je čak i proračun računskim elektronskim mašinama glomazan.

Inače, kod proračuna nestacionarnog kretanja u većim rekama, može se preporučiti $\Delta t = 24^h$, a u slučaju strmih talasa ovo vreme mora biti znatno kraće.

Činjenica da su potrebni računski intervale u izvesnim slučajevima izvanredno mali u odnosu na trajanje nestacionarnog kretanja, omogućuje razmišljanje na neki drugi, u ovom slučaju možda bi se ređi ekonomičniji način. Odnosno, tražen je takav postupak koji bi omogućio rad sa znatno većim vremenskim intervalima (Δt).

Sastina ove nove metode proračuna, koja se razlikuje od prethodne eksplicitne naziva implicitna, sastoji se u zameni parcijelnih izvoda po (x) u osnovnim jednačinama srednjom vrednošću konačnih diferencijalnih razlikama (t) i ($t + \Delta t$). Ovakvo usvojenje ša proračuna ne omogućava eksplicitno određivanje rezin-
 toka u narednom trenutku ($t + \Delta t$), zbog čega je i dobila naziv implicitna.

Parcijalni izvodi neke funkcije $f(x,t)$, prema ovom načinu je to može izloženo, sledeće:

$$\frac{\partial f}{\partial x} = \theta \cdot \frac{f(x + \Delta x, t + \Delta t) - f(x, t + \Delta t)}{\Delta x} + (1 - \theta) \cdot$$

$$\frac{f(x + \Delta x, t) - f(x, t)}{\Delta x} \quad (1.7.2.4)$$

$$\frac{\partial f}{\partial t} = \frac{f(x + \Delta x, t + \Delta t) + f(x, t + \Delta t) - f(x + \Delta x, t) - f(x, t)}{2 \Delta t}$$

$$\frac{f(x + \Delta x, t) + f(x, t) - f(x + \Delta x, t + \Delta t) - f(x, t + \Delta t)}{2 \Delta t}$$

(5.2.5.1)

gde θ predstavlja koeficijentni ponderisanje.

Proračun se vrši tako što se izrazi (5.2.5.2) i (5.2.5.3) uvrste u osnovne jednačine, koje se zatim rešavaju pomoću Richtmyer -ovog algoritma (R. D. Richtmyer : "Difference methods for initial value problems." Interscience Publishers, N. York, 1967).

Osnovne jednačine transformisane po ovom postupku znatno su složenije od onih arjadina koje se koriste u eksperimentalnoj metodi; sam proračun je isto tako znatno složeniji i praktično je realizabilan bez primene elektronskih računarskih mašina. Međutim, ono što je uslovalo iznalaženje i primenu implicitne metode jeste izbor relativno malog vremenskog intervala (Δt) bez ikakvih ograničenja, što sa svoje strane uslovljava znatno skraćeno vreme potrebno za izvršenje proračuna. Napominjemo da je ovaj postupak izvredno pogodan za proračune propulzivne vazdušne otvordina točovima, ali se može koristiti iz razloga iznetih u ovom.

5.2.6. Kratka preglednica primenjivanih različitih metoda proračuna po metodi

Iz literature je poznat veliki broj varijanti proračuna po metodi karakteristika. Obedeljena izlaganja biće kratko iznete kao najvažnije, posto je za praktičnu primenu svaka od njih interesantna, bilo da je u pitanju uprošćenje postupka, izbor zavisan promenljivih, itd. Posebna pažnja će se posvetiti upotrebi metoda konstante

tao, vrstanalog intervala za slobodno rečno korito koja predstavljaju originalna po ušaj; radi ojačanja daje izračunati i izvedeni detalji proračuna po ovoj metodi za jedan konkretan slučaj propozicije talasa u prirodnim koritima.

Smatrali smo da kratak prikaz već poznatih metoda neće biti na odmet radi kontinuiteta izlaganja celokupne materije.

5.2.6.1. Grafoanalitička metoda po Arhangel'skij-u*

Ova metoda između ostalog karakteriše to, što se po njoj operiše sa proticajem (Q) i vodoostajem (z) kao zavisne promenljive, za razliku od drugih metoda kojima su za zavisne promenljive usvojene brzine toka (v) i dubine (y) ili površina poprečnog preseka (F).

Metoda pripada grupi grafoanalitičkih.

Prilaz sa srednje brzine toka i dubine, na vodoostaj i proticaj, biće izvršen po postupku Maloščenko i Jakubov-a. Tretiraće se problem prizmatičnog korita bez bočnog koricanja.

Jednačine karakteristika biće napisane u sledećoj formi:

$$\frac{dx}{dt} = v \pm \sqrt{g \cdot \frac{z}{y}} = \pm, \text{ odnosno } \pm \quad (5.2.6.1.1)$$

$$dv = N \cdot dt = \pm \sqrt{\frac{g}{H.F}} \cdot dF \quad (5.2.6.1.2)$$

$$N = g (S_{tr} - S_0)$$

* Metoda predstavlja kombinaciju metode V.A. Arhangel'skij i N.T. Maloščenko-a i N.S. Jakubov-a.

Za razmatrano korito se može napisati:

$$dv = d(Q/F) = \frac{dQ}{F} - \frac{Q}{F^2} \cdot B \cdot dH \quad (5.2.6.1.1)$$

3. uzimajući jednašine (5.2.6.1.2 i 3), možemo se napisati za pozitivnu karakteristiku (s tim što je postupak identičan i za negativnu):

$$\frac{dQ}{F} = \frac{v}{K} \cdot B \cdot dH = N \cdot dt - \sqrt{\frac{g}{B \cdot F}} \cdot B \cdot dH \quad (5.2.6.1.4)$$

Ako se obe strane poraje jednašine pomnožimo (2) i ako se stavi da je

$$dt = \frac{dx}{\xi} \quad 1 \sqrt{\frac{g}{B \cdot F}} = \alpha = \frac{v}{K}$$

dobije se sledeći izraz za totalni diferencijal dužine toka:

$$dH = \frac{dQ}{N \cdot \xi} = \left(\beta_0 - \frac{v^2}{2 \cdot \xi} \right) \cdot \frac{g \cdot F}{\beta_0 \cdot B} \cdot \frac{dx}{\xi} \quad (5.2.6.1.5)$$

Posto

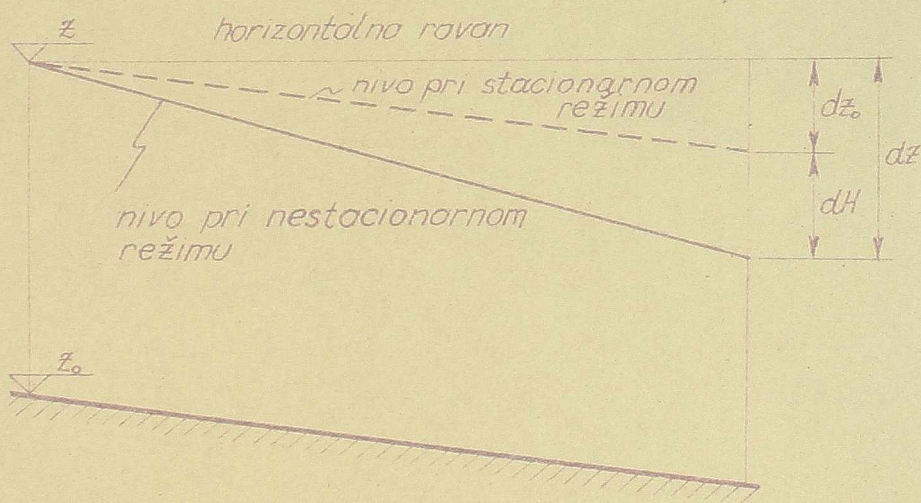
$$\frac{g \cdot F}{\beta_0 \cdot B} \cdot \frac{dx}{\xi} = \frac{\alpha^2}{(v - \alpha)(v + \alpha)} = \frac{1}{1 - (v/\alpha)^2}$$

3. pošto isto tako za većinu prirodnih tokova važi nejednačina $v/v_{kr} < 1$, to se jednašina (5.2.6.1.5) može napisati u sledećoj formi:

$$dH = \frac{dQ}{N \cdot \xi} + \left(\beta_0 - \frac{v^2}{2 \cdot \xi} \right) \cdot dx \quad (5.2.6.1.6)$$

Ako se u gornjoj jednačini dubina (H) izra-
zi pomoću vodostaja (z), i brzina sa modulom proticaja
(K) preko proticaja (Q), vodeći računa o slici
(5.2.6.1.7), dobija se konačno izraz za pozitivnu karak-
teristiku :

$$dz = \frac{1}{B \cdot C} \cdot dQ - \frac{Q^2}{k^2} \cdot dx \quad (5.2.6.1.8)$$



Sl.(3.2.6.1.7)

Prilikom izvođenja ove jednačine, treba uzeti u obzir da se za pozitivnu karakteristiku može
definisati sledeća jednačina:

$$dx = \dots \quad (5.2.6.1.9)$$

$$dz = \frac{1}{B \cdot C} \cdot dQ - \frac{Q^2}{k^2} \cdot dx \quad (5.2.6.1.10)$$

Na slici se može videti i do jednačina (5.2.6.1.10) odnosi se na pozitivnu karakteristiku:

$$dx = \check{S} \cdot dt \quad (5.2.6.1.11)$$

$$dz = \frac{1}{B \cdot \check{S}} \cdot dQ - \frac{Q^2}{K^2} \cdot dx \quad (5.2.6.1.12)$$

Izražene pomoću konačnih razlike gornje jednačine napisane za nepoznatu traženu tačku "m", i poznate, uzvodnu tačku "a" i nizvodnu "b", glase:

$$x_m - x_a = \check{S}_{1sr} (t_m - t_a) \quad (5.1.6.1.13)$$

$$z_m - z_a = \left[\left(\frac{1}{B \cdot \check{S}} \right)_{1sr} - \left(Q_a + \frac{Q_m - Q_a}{3} \right) \cdot \frac{x_m - x_a}{K_{1sr}^2} \right] \cdot (Q_m - Q_a) - \frac{Q_a^2}{K_{1sr}^2} \cdot (x_m - x_a) \quad (5.2.6.1.14)$$

$$x_m - x_b = \check{S}_{2sr} (t_m - t_b) \quad (5.2.6.1.15)$$

$$z_m - z_b = \left[\left(\frac{1}{B \cdot \check{S}} \right)_{2sr} - \left(Q_b + \frac{Q_m - Q_b}{3} \right) \cdot \frac{x_m - x_b}{K_{2sr}^2} \right] \cdot (Q_m - Q_b) - \frac{Q_b^2}{K_{2sr}^2} \cdot (x_m - x_b) \quad (5.2.6.1.16)$$

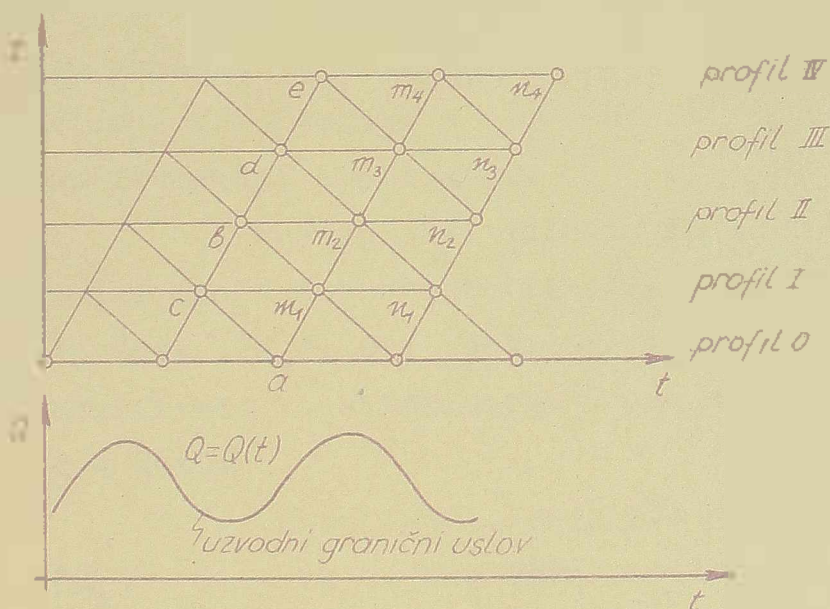
Za srednje vrednosti (\check{S}) , (\check{S}) , $\left(\frac{1}{B \cdot \check{S}}\right)$ i $\left(\frac{1}{B \cdot \check{S}}\right)$

usvajaju se one koje odgovaraju srednjoj vrednosti tih veličina na deonicama $(x_m - x_a)$ i $(x_m - x_b)$. (Indeksima 1 i 2 su označene srednje vrednosti koje se odnose na deonicu $x_m - x_a$, odnosno $x_m - x_b$).

Proračun se vrši u (x, t) ravni, a pomoću izvedenih jednačina (5.2.6.1.13 - 16). Proračun se svodi

na određene mreže jednačine sa četiri nepoznate: x , z , Q i t .

Formiramo mrežu karakteristika u ravni (x, t) , pri čemu je početni uslov definisan poznatim protokom (Q_0) i vodostajom (z_0) duž svake presečne linije deonice. Uzvodni granični uslov je dat kao $Q = Q(t)$ na početnom profilu svake deonice. Isto vreme $z = z(t)$ u navedenim profilima odredjuju deonice (vidi sl. 5.2.6.1.17).



Sl. (5.2.6.1.17)

Konstrukcija mreže karakteristika u ravni (x, t)

U tačkama $(a), (b), (c), (d)$ i (e) , koje leže u poznatim profilima konstruiranih deonica, poznate su vrednosti (Q_0) i (z_0) . U prvoj aproksimaciji pretpostavljamo da su veličine $(\bar{z}), (\bar{Q}), (\frac{1}{E \cdot \bar{z}})$ i $(\frac{1}{E \cdot \bar{Q}})$ konstantne na deonicama $(z = x_0)$ i $(x = x_0)$ i odredimo ih na osnovu poznatih (Q_0) i (z_0) u tačkama (a) i (b) . Na osnovu ovih pretpostavki možemo definisati profile pozitivne, odnosno negativne karakteristike kroz tačku (a) , odnosno (b) , prema jednačinama (5.2.6.1.1) i

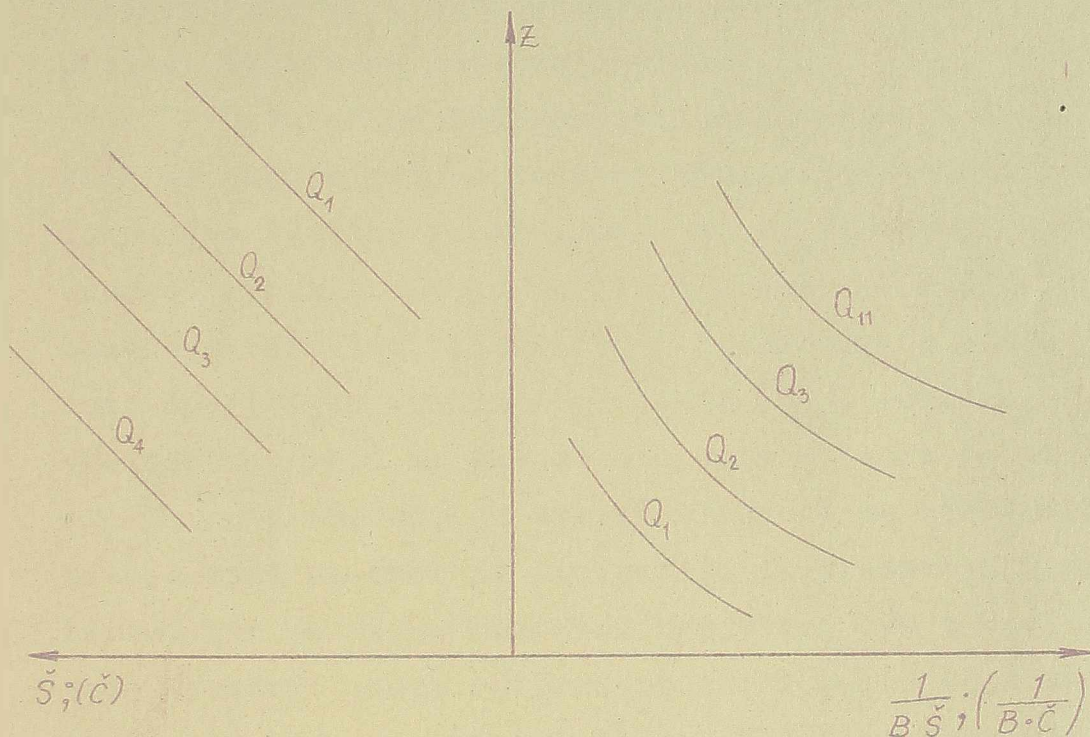
U preseku ovih dvaju pravih dobija se tražena tačka (m_1) i njene koordinate u ravni (x, t) , (x_1) i (t_1) . Koristeći formule (5.2.6.1.14 i 17) dobijamo veličine proticaja (Q_m^*) i vodostaja (Z_m^*) u nepoznatoj tački (m_1) . Ukoliko svako odredjene vrednosti (Q_m) i (Z_m) ne odgovaraju pretpostavljenoj na osnovu sa određeni polazni vrednosti (0) , (0) , $(\frac{x_0}{2})$ i $(\frac{t_0}{2})$, pretpostavljamo novu vrednost proticaja (Q_m) i vodostaja (Z_m) i postupak se ponavlja sve dotle dok pretpostavljene vrednosti proticaja i vodostaja u traženoj tački (m_1) ne odgovaraju traženim.

Postupak se obavlja postupno za uzastopne tačke mreže karakteristika (m_1) , (m_2) , (m_3) itd., i spajaju se (m_0) . Ove poslednje se računaju pomoću para negativnih i pozitivnih karakteristika (m_0) i (m_1) $Q = Q(t)$.

Nakon izračunavanja sistema tačaka (m_0) , (m_1) , (m_2) , ..., (m_n) , ove ~~se~~ tačke polaze za sistem (m_0) , (m_1) , (m_2) , ..., (m_n) itd. Ove tačke se tako polaze u ravni (x, t) po ~~ovim~~ karakteristikama.

Postupak je relativno jednostavan, ali vrlo ~~težak~~ u primeni.

U ovom primeru se ovaj postupak koristi za određivanje površine u ravni (x, t) i karakteristika sistema, na osnovu koje se dobijaju primarni hidrološki podaci na slici (5.2.6.1.1).



Sl. (5.2.6.1.18) - Pomoćni dijagrami za proračun po metodi karakteristike po Arhangel'skij-om

Puno detaljnije o ovim metodama ima postupak u knjizi [10] - u.

Početni od osnovnih diferencijalnih jednačina nestacionarne kretanja, autor dolazi do jednačina karakteristike, koje se mogu napisati pomoću konačnih vrednosti u sledećem obliku:

$$x_u = x - x_u + \check{x}_u (t - t_u) + \dot{x}_u \cdot t_u \quad (5.2.6.1.19)$$

$$v_u = v - v_u + \frac{F - F_u}{\pi \cdot \tau_u} \cdot (t - t_u) + \dot{v}_u \cdot t_u \quad (5.2.6.1.20)$$

$$x_n = x - x_n + \check{x}_n (t - t_n) + \dot{x}_n \cdot t_n \quad (5.2.6.1.21)$$

$$v_n = v - v_n + \frac{F - F_n}{\pi \cdot \tau_n} \cdot (t - t_n) + \dot{v}_n \cdot t_n \quad (5.2.6.1.22)$$

u kojima su indeksom (u) obeležene vrednosti koje se odnose na uzodnu tačku kroz koju prolazi pozitivna

karakteristika, a sa tačkom (n) niz oduš tačka kroz koju prolazi negativna karakteristika.

Autor je dao postupak sličan prethodnom, pomoću koga se gornje jednačine rešavaju, i na taj način se određuju dve zavisno promenljive (v) i (F) i dve nezavisno promenljive u traženoj tački. Pri tome se duž računskih odsečaka karakteristika, kao i u prethodnom slučaju ustalom, operiše sa vrednostima člana (N_u), odnosno (N_n), tj. vrednostima koji se odnose na poznate tačke (u) i (n).

S obzirom na veliku sličnost sa prethodnom, ove metoda sama po sebi ne bi trebalo da predstavlja veliki interes, bar sa našeg aspekta. Međutim, oš u vezi ove metode postoji veoma interesantan rad [44], u kome se tretira problem uvođenja promene člana (N) duž odsečka računске karakteristike. Koristeći mogućnost linearizacije člana koji predstavlja pad trenja, dolazi se do jednačina kojima je obuhvaćena i ta promena u prvom približavanju, što predstavlja jedan stepen više u pogledu tačnosti osnovnih jednačina. (Slična razmišljanja bi se mogla primeniti i kod postupka Arhangel'skij-a).

Znači da se polazi od činjenice da veličina (N), koja u sebi saarži i trenje nije konstantna, već se u toku vremena menja.

$$\frac{dN}{dt} = \frac{d}{dt} \left[\delta \left(\frac{v^2}{c^2} - \frac{v^2}{R} \right) \right] \quad (5.2.6.1.23)$$

odakle se dobija sledeća jednačina:

$$\frac{dN}{dt} = \frac{2 \cdot v \cdot \dot{v}}{c^2} \cdot \delta \left[\frac{2(v_t - v_o)}{v_o} - m_o (1 + \beta_o) \frac{F_t - F_o}{F_o} \right] \quad (5.2.6.1.24)$$

gde je

$$m = 1 - 2 \cdot \frac{R}{c} \cdot \sqrt{1 + m^2} \quad (5.2.6.1.25)$$

m = kotangens ugla nagiba kosine u tački ureza vode.

A o se ovde pretpostavlja da su brzina i površina poplavljenog preseka (F_0) i brzine toka (v_0) u intervalu (Δt) linearne funkcija od vremena (t), onda se umesto izraza ($N_a \cdot \Delta t_0$) u jednačini (5.2.6.1.21) može uzeti izraz:

$$\int_{t_0}^{t_1} N_a dt = g \left[S_0 \cdot \frac{v_1 + v_0}{2} + \frac{v_1^2 - v_0^2}{2 \cdot C_{ax} \cdot R_a} + \frac{H_1(1 - \beta_{a1})}{2} \right] \cdot (t_1 - t_0) \quad (5.2.6.1.26)$$

Na sličan način se može zamisliti i izraz ($N_{II} \cdot \Delta t_0$) u jednačini (5.2.6.1.21).

Ovo predstavlja sustinu korekcije razvijenih jednačina karakteristika, koja se većina slučajeva u inženjerskoj praksi izvedenja i rešavanja. Na osnovu rezultata primene ovih dopuna, autor konstatuje da se ovakav način predviđanja koriste primenom opšte poznate metode Hristoforovič-a.

5.2.6.2. Metoda konstantnog vremenskog intervala po Lj-u-a

Smisao uvođenja konstantnog računskog vremenskog intervala (Δt) leži u tome što se na taj način matematički eliminira iz problema traženje u nepoznatoj traženoj tački mreže u ravni ($x, \Delta t$).

Metoda će biti izvedena za slučaj prizmatičnog rečnog korita bez točnog doticaja.

Predložena metoda se razlikuje od standardnih na taj način što se mreža ne razvija u celoj ravni, već duž celog kanala u toku kratkih vremenskih intervala (Δt).

Unutrašnje je Dugine (1957) i (1958) u okviru ovog intervala može se puno opravdati aproksimirati pravim linijama. Odavde sledi da se promena karakteristične promenljive odigrava po linearnom zakonu. Proračun se sprovodi sa konačnim veličinama, tako da se osnovne jednačine nestacionarno kretanja u otvorenom prizmastičnom koritu može napisati u sledećoj formi:

$$\frac{\Delta x}{\Delta t} = v \pm \sqrt{g F/B} = v \pm c \quad (5.2.6.2.1)$$

gde je $c = \sqrt{g F/B}$ - brzina propagacije

$$(v \pm 2U) = g(S_0 - S_{tr}) \cdot \Delta t \quad (5.2.6.2.2)$$

gde je $U = \sqrt{\frac{g}{2}} \int \frac{dF}{BF}$

Izraz za (S_{tr}) je dobijen na osnovu polarne postavke u linearnoj promeni slova trenja, tako da se može napisati:

$$\int_t^{t+\Delta t} S_{tr} \cdot dt \approx \bar{S}_{tr} \cdot \Delta t \quad (5.2.6.2.3)$$

Na osnovu ovoga, jednačine (5.2.6.2.1-2) se mogu napisati u sledećoj formi:

$$v + 2U \approx v_u + 2U_u + M_u + M \quad (5.2.6.2.4)$$

$$v - 2U \approx v_n - 2U_n + M_n + M \quad (5.2.6.2.5)$$

pri čemu je uvedena oznaka:

$$M = g/2 (S_0 - S_{tr}) \cdot \Delta t \quad (5.2.6.2.6)$$

to stvari predstavlja polovinu proizvoda konstante
oscilacije i karakterističnog spljoštenja.

Sabiranjem i oduzimanjem jednačina (5.2.6.2.4-5)
eliminise se veličina (M) u nepoznatoj tački, šime se
proračun uprošćava u velikoj mjeri.

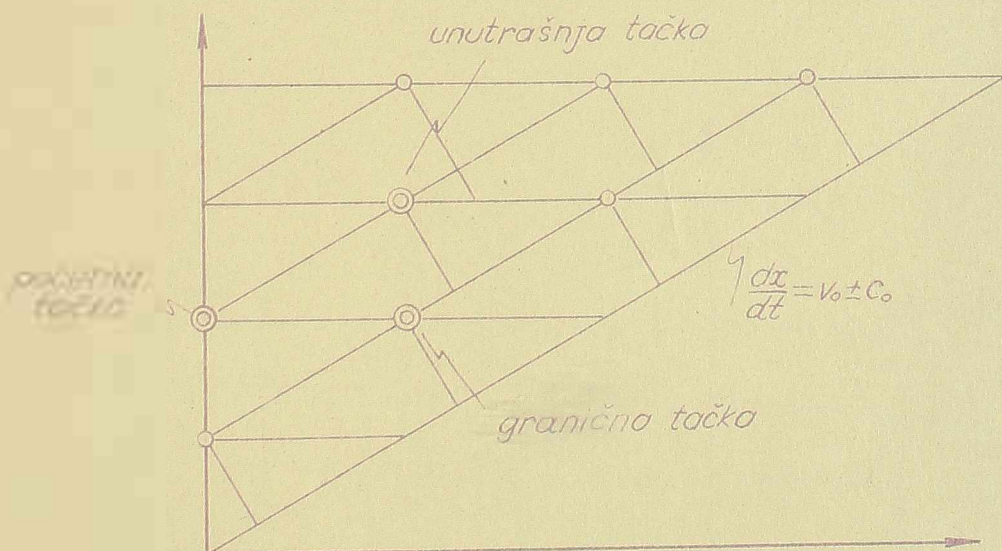
Sabiranjem se dobija:

$$v - u = \frac{1}{2} \left[(v_u + 2U_u + M_u) + (v_n - 2U_n + M_n) \right] \quad (5.2.6.2.6)$$

Oduzimanjem gornjih jednačina dobija se izraz
za proračun veličine U:

$$U = \frac{1}{4} \cdot \left[(v_u + 2U_u + M_u) - (v_n - 2U_n + M_n) \right] \quad (5.2.6.2.7)$$

Proračun po metodi Lin-a razlikuje se za unu-
trašnje i početne tačke mreže u ravni (x,t), kao što
je pokazano na slici (5.2.6.2.8)



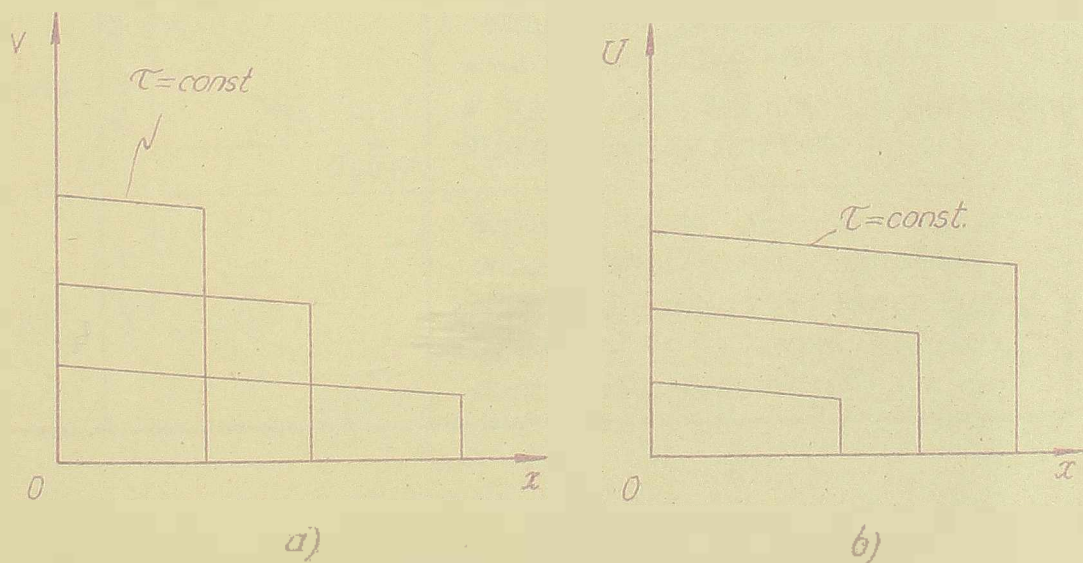
Sl. (5.2.6.2.8)

Unutar mreže i tačke se podrazumevaju one koje leže unutar mreže i ravni (x, t) , početne tačke su one koje leže na (t) osi, a na (x, t) , ravni, određeno tačke koje tako zavisi i od početnih i kraćih uslova.

Za obavljanje proračuna neophodno je poznavati detaljne morfologije terena, vertikalne i uz deonice na kojoj se analizira propagacija talasa, kao i početni uslove ravnomerno rešenja toka u trenutku $t = 0$, neposredno pre početka analiziranog fenomena.

Koristeći podatke o početnim podlozima, konstruišu se pomoću metoda neodredni za dalji proračun.


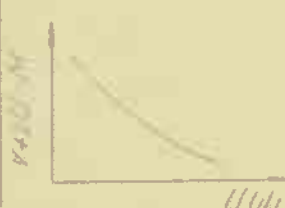

Treba pomenuti još jednu specifičnost metode konstantno vremenski intervala: sa napredovanjem u razvijanju procesa karakteristika, naporede se crtaju i dijagrami $v = v(x)$ i $U = U(x)$, što omogućava da izvršimo proračun za sledeći vremenski interval (vidi sl.



Sl. (5.2.6.2.9)
 Proračun dijagrama $v = v(x)$ i $U = U(x)$ u proračunu po metodi LIN-a

Proračun početnih tačaka.

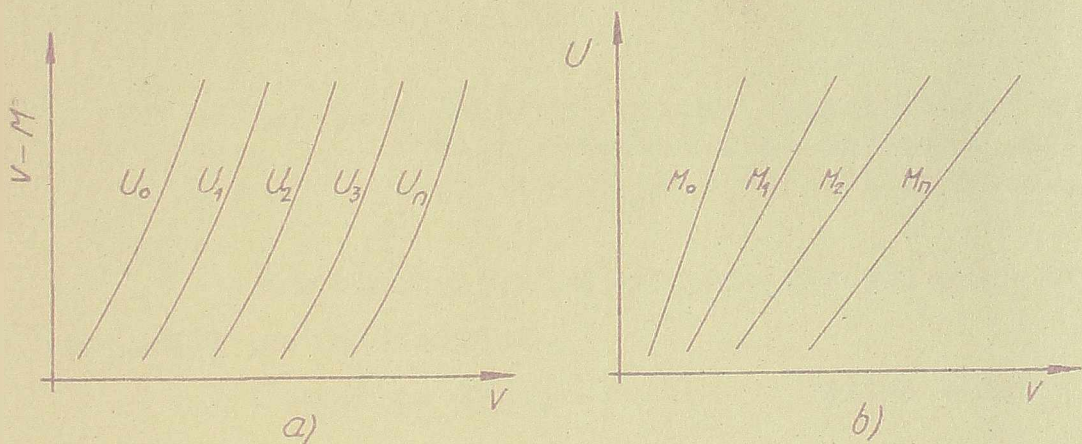
Za proračun početnih tačaka koristi se jednačina (5.2.6.2.5) i pomoćni dijagrami dati na slici (5.2.6.2.10) u zavisnosti od zadatog graničnog uslova, kao i sam početni uslov.

GRANIČNI USLOV	POMOĆNI DIJAGRAM	NAČIN PRORAČUNA
$y = y_1(t)$	—	Do rešenja se dolazi direktno iz odgovarajuće jednačine
$v = v(t)$		Do rešenja se dolazi direktno, na osnovu poznate brzine v , sračuna se U
$v = 0$	—	Do rešenja se dolazi direktnim rešavanjem jednačine $U = U_0 + (v_0/h) + [(M_0 + M)/h] \cdot \Delta t$
$Q = const$		Rešenje se dobija direktnim rešavanjem jednačine $v + 2U - M = v_0 + 2U_0 + M_0$ ili $v - 2U - M = v_0 - 2U_0 + M_0$ Sa pomoćnog dijagrama se odrede U ili v
$Q = Q(t)$		Najčešći slučaj koji se rešava probanjem. Pomoću jednačine (5.2.6.2.5) i poznatog proticaja Q , odredi se (v) , a zatim površina poprečnog preseka (F) .

31. (5.2.6.2.10)

... i ... u zavisnosti od zadatog graničnog uslova.

Proračun unutrašnjih tačaka. Pomoću jednačina (5.2.6.2.6-7) i pomoćnog dijagrama prikazanog na slici (5.2.6.2.11/a), odredi se (v) u nepoznatoj traženoj tački. Za poznato (U) i (v), a pomoću dijagrama na slici (5.2.6.2.11/b) odredi se veličina (M) u nepoznatoj traženoj tački. Kako je $M = M(F)$, to se vrlo lako nađe i vrednost površine poprečnog preseka (F).



Slika (5.2.6.2.11) Pomoćni dijagrami za proračun po metodi Lin-a

Kontrola ovako sračunatih veličina (v) i (\bar{I}) vrši se pomoću preostalog para karakteristika (5.2.6.2.1). Proračun za jednu tačku završava se onda, kada su veličine (v) i (F) sračunate pomoću jednačina (5.2.6.2.6-7), identične se vrednostima dobijenim pomoću jednačina (5.2.6.2.1).

Metoda Lin-a je vrlo praktična za primenu i kao što se vidi razrađena je za sve najvažnije slučajeve koji se u praksi mogu pojaviti s obzirom na granične uslove.

Međutim, za izvesne tačke koje ćemo nazivati granične, (one koje se nalaze neposredno uz graničnu karakteristiku i prva početna tačka mreže u ravni x, t), vremenski interval $\Delta t \neq \text{const}$, što znači da se takve tačke mogu računati po nekoj drugoj varijanti metode karakteristika, što negativno utiče na kontinuitet rada i uigranost onoga ko računa; zahteva izradu novih pomoćnih dijagrama, itd. Logično da se sve ovo negativno odražava i na strošak izračuna.

Pored toga, izloženi postupak primenljiv je samo za šematisovano prirodno korito - prizmatično.

Sve ovo, kao i praktičnost metode, navelo nas je na pomisao da pokušamo da razradimo jednu novu metodu koja bi zadržala sve pozitivne osobine originalne metode Lin-a, s tim što bi bila primenljiva za sve tačke mreže karakteristika u ravni (x, t) i za prirodna korita sa neprotočnom inundacijom.

5.2.6.3. Uopštena metoda "konstantnog" vremenskog intervala, za prirodna korita prizmatičnog oblika sa inundacijom

Ponavicećemo jednačine karakteristika za prirodno korito sa inundacijom.

Jednačine karakteristika u opštem obliku glase:

$$\frac{dx}{dt} = c^{\pm} \quad (5.2.6.3.1)$$

$$d\phi^{\pm} + a^{\pm} dt = 0 \quad (5.2.6.3.2)$$

Za slučaj prirodnog korita gornje jednačine se transformišu u sledeće:

$$\frac{dx}{dt} = \left(\frac{2R + B}{2B'} \right) \cdot v \sqrt{\left(\frac{B' - B}{B'} \right) \cdot v^2 + g \cdot \frac{F}{B'}} \quad (5.2.6.3.3)$$

$$d \left[\int \frac{2R + B' + dy}{(B' - B) \cdot v \pm 2B' \cdot N} + v \right] + g(S_{tr} - S_0) = 0 \quad (5.2.6.3.4)$$

Nešto transformisana poslednja jednačina može da se napiše u sledećem obliku

$$d \left[v + \int \frac{2R + B' + dy}{(B' - B) \pm 2B' \cdot N} \right] = g(S_0 - S_{tr}) \quad (5.2.6.3.4')$$

+/ Interesantno je da se iz ovih opštih izraza ne mogu dobiti izrazi za jednostavnije oblike korita - trapezno i pravougaono. Ovo se da objasniti time što polazne osnovne jednačine (dinamičke jednačina i jed-

Svodi se slično:

$$2 U^2 = \int \frac{2g \cdot B' \cdot dy}{(B'-B) \cdot v^2 + 2B' \sqrt{\left(\frac{B'-B}{B}\right)^2 \cdot v^2 + g \cdot F \cdot B}} \quad (5.2.6.3.5)$$

tako da se jednačine karakteristika (5.2.6.3.4) mogu napisati u konačnoj formi:

$$d(v + 2v^2) = g(S_{tr} - S_o) \cdot dt \quad (5.2.6.3.6)$$

veličina (U^2) se može napisati u još jednostavnijem obliku:

$$U^2 = \int \frac{B'}{(B'-B) \cdot v^2 + 2B' \sqrt{\left(\frac{B'-B}{B}\right)^2 \cdot v^2 + g \cdot F \cdot B}} \quad (5.2.6.3.7)$$

Gornji izraz se ne može rešiti analitički, već približno, grafoanalitički. Naime, ako se izraz

načina kontinuiteta) nisu identične za slozono i bilo koje drugo korito. Međutim, iz opštih karakterističnih izraza (orzine, spljoštenja i promenljive), mogu se odrediti odgovarajući karakteristični izrazi za dotično korito.

Pokazujemo ovo na slučaju prizmatičnog korita. Za slučaj prizmatičnog korita će biti:

$$B' = B$$

tako da se karakteristične jednačine (5.2.6.3.3-4) svode na:

$$\frac{dx}{dt} = \left(\frac{B'-B}{2B}\right) \cdot v^2 \sqrt{\left(\frac{B'-B}{B}\right)^2 \cdot v^2 + g \cdot F} + v \sqrt{\frac{g \cdot F}{B}} \quad (5.2.6.3.8 \text{ i } 14)$$

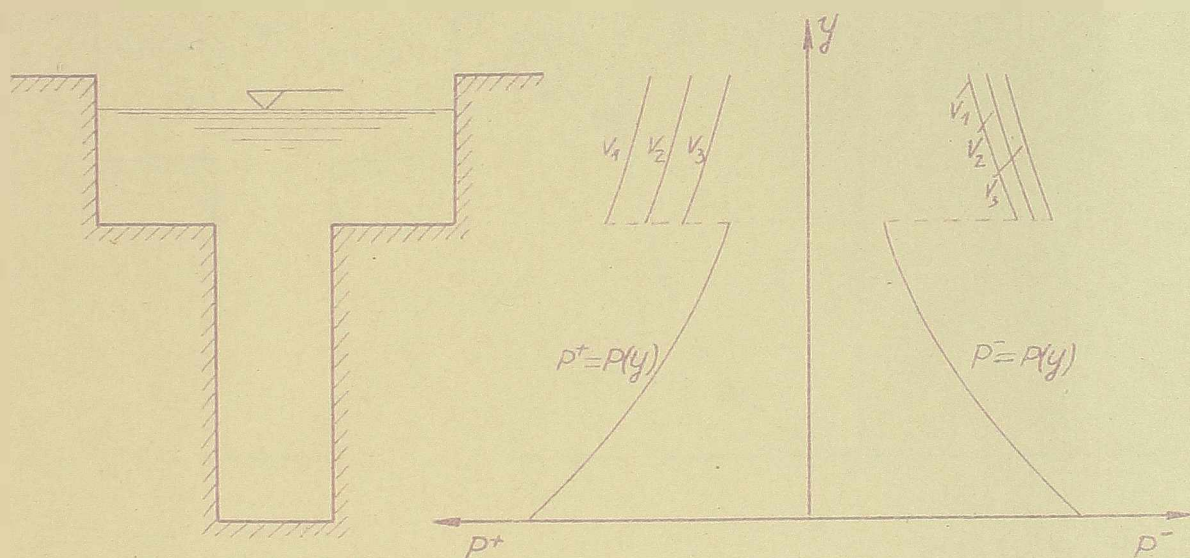
$$g \left[\int \frac{2g \cdot B' \cdot dx}{(B'-B) \cdot v^2 + 2B' \cdot N} + v \right] + g(S_{tr} - S_o) = d(v + 2v^2) \sqrt{\frac{g \cdot F}{B}} \quad (5.2.6.3.9 \text{ i } 15)$$

Kao što se vidi, dobijene su identične jednačine znima ranije izvedenim.

pod integralom obeleži ± 2 čemu je

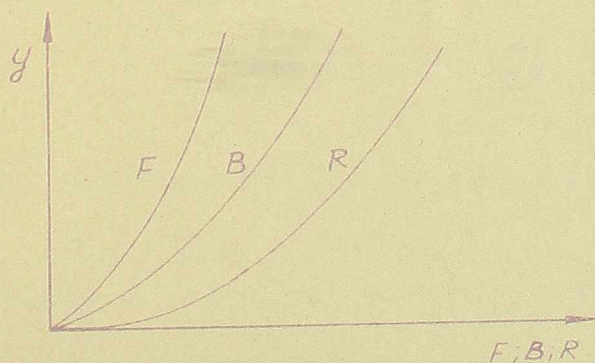
$$p^{\pm} = \frac{\epsilon \cdot B^{\pm}}{(B^{\pm} - B)^2 \cdot v^2 + g \cdot FB^{\pm}} \quad (5.2.6.3.8)$$

funkcija p^{\pm} nacrtana u koordinatnom sistemu $p = p(y)$, ima oblik kao na slici (5.2.6.3.9).



Sl. (5.2.6.3.9) - Pomoćni dijagrami

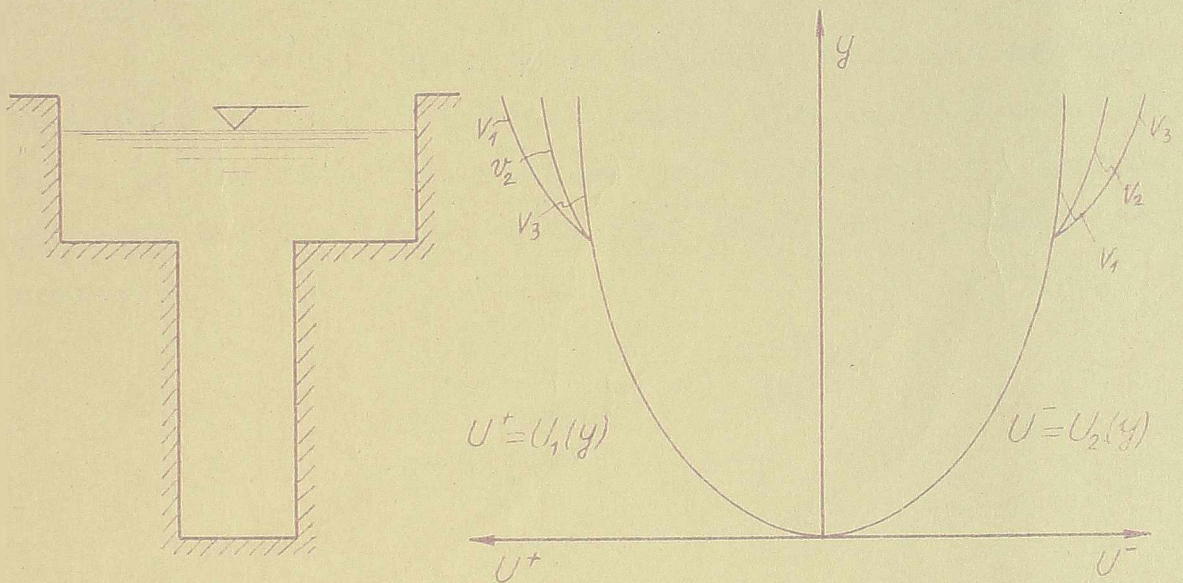
Za konstrukciju gornjeg dijagrama neophodno je poznavanje morfoloških karakteristika u funkciji dubine toka, kao što je to pokazano na slici (5.2.6.3.9^a).



Sl. (5.2.6.3.9^a)

Pomoćni dijagram sa morfološkim karakteristikama toka

Graničnim integriranjem funkcije $p = p(y)$, dobijaju se funkcije $U = U(y)$ kao što je prikazano na slici (5.2.6.3.10)



Sl. (5.2.6.3.10)

Integriranjem leve i desne strane jednačine (5.2.6.3.6), uz pretpostavku da je izabran dovoljno mali vremenski interval (Δt) , dobija se:

$$d(v_{\pm} + 2U_{\pm}^2) = (v_{\pm} + 2U_{\pm}^2) - (v_{\pm} + 2U_{\pm}^2) \quad (5.2.6.3.12)$$

$$= (v_{\pm} + 2U_{\pm}^2) \quad (5.2.6.3.13)$$

pri čemu su korišćene oznake sa slike (5.2.6.3.10) -

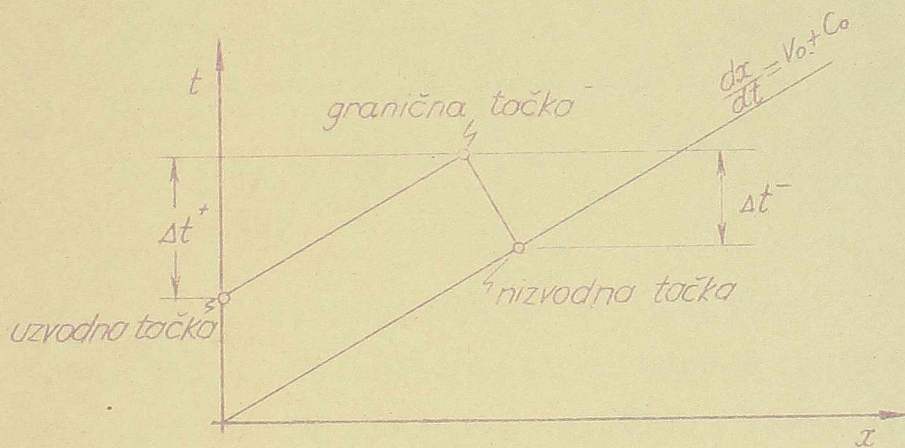
$$y \int_t^{t+\Delta t} (v_{\pm} + 2U_{\pm}^2) dt = \int_t^{t+\Delta t} (v_{\pm} + 2U_{\pm}^2) dt = \left[(v_{\pm} + 2U_{\pm}^2) \cdot \Delta t \right] \quad (5.2.6.3.14)$$

$$= \left[(v_{\pm} + 2U_{\pm}^2) \cdot \Delta t \right] \quad (5.2.6.3.15)$$



Sl. (5.2.6.3.13) elementarne mreže karakteristika u ravni (x, t)

Već je poznato da se linearni postupak ne može koristiti za tzv. "nagibane" mreže (kao jedna strana Sl. 5.2.6.3.13). Da bi se ovo izbeglo, uvodi se novi postupak, pri čemu će prosečan ostalih tačaka biti samo jedna od mogućnosti tog postupka.



Sl. (5.2.6.3.16)

Za ovaj i sličan slučaj važi je $\Delta t \neq \text{const}$, i karakteristika je parabolna. U ovom slučaju, karakteristika je (Sl. 5.2.6.3.11 i 15), samo da se integriraju prema se napinuti u sledećem obliku:

$$v + 2U^+ = v_0 + 2U_0^+ + M_0^+ + M^+ \quad (5.2.6.3.17)$$

$$v + 2U^- = v_0 - 2U_0^- + M_0^- + M^- \quad (5.2.6.3.18)$$

Veličina M zavisi u bilo kojoj tački krive (x, t) od obuhvaćara je sledećim izrazom:

$$M = g/2(S_0 - S_{tr}) \cdot \Delta t = g/2 \left(S_0 - \frac{v^2 + v_0^2}{g} \right) \Delta t \quad (5.2.6.3.19)$$

Veličina trenja u nepoznatoj ~~praktičnoj~~ tački, prikazanoj na slici (5.2.6.3.16), mora biti ista bilo da se polazi iz uzvodne (u) ili nizvodne (n) tačke.

$$M^+ = \frac{1}{2} \left[S_0 - \left(\frac{u^2 \cdot v^2}{R} \right) \right] \cdot \Delta t^+ \quad (5.2.6.3.20)$$

$$M^- = \frac{1}{2} \left[S_0 - \left(\frac{n^2 \cdot v^2}{R} \right) \right] \cdot \Delta t^- \quad (5.2.6.3.21)$$

pri čemu je $\Delta t^+ > \Delta t^-$

$$\frac{M^+}{M^-} = \frac{\frac{1}{2} \left[S_0 - \left(\frac{u^2 \cdot v^2}{R} \right) \right] \cdot \Delta t^+}{\frac{1}{2} \left[S_0 - \left(\frac{n^2 \cdot v^2}{R} \right) \right] \cdot \Delta t^-} = \frac{\Delta t^+}{\Delta t^-} \quad (5.2.6.3.22)$$

Indeksima "+" i "-" označene su uzvodna i nizvodna tačka. Veličine koje se odnose na traženu tačku noseju znakove uzvodnog i nizvodnog, dok se za tačke obelježne su znakom (+), a od nizvodne znakom (-).

Iz poslednje jednačine se dobija:

$$\Delta t^+ = \Delta t^- \cdot \frac{\Delta t^+}{\Delta t^-} \quad (5.2.6.3.23)$$

Što se poslednje jednačine tiče u jednadžbama (5.2.6.3.17 i 18), dobija se:

$$v + 2 U^+ = v_u + 2 U_u^+ = M_u^+ + \dots \quad (5.2.6.3.24)$$

$$v + 2 U^- = v_n + 2 U_n^- = M_n^- + \frac{\Delta t}{\Delta t^-} \quad (5.2.6.3.25)$$

Obratno: pri određivanju brzine u smislu predacije jedne od grupe, npr. ovla srednivanja u smislu predacije

... ..

$$\frac{1}{2} \left(1 + \frac{\Delta t^-}{\Delta t^+} \right) = \alpha; \quad \frac{1}{2} \left(1 - \frac{\Delta t^-}{\Delta t^+} \right) = \beta \quad (5.2.6.3.25)$$

Dobije se sledeći par jednačina:

$$\begin{aligned} [(U^+ - U^-) - \beta \cdot M^+] &= \frac{1}{2} \cdot [(v_u + 2U_u^+ + M_u^+) - \\ &- (v_n - 2U_n^- + M_n^-)] \end{aligned} \quad (5.2.6.3.27)$$

$$\begin{aligned} [(v - \alpha \cdot M^+) + (U^+ + U^-)] &= \frac{1}{2} [(v_u + 2U_u^+ + M_u^+) + \\ &+ (v_n - 2U_n^- + M_n^-)] \end{aligned} \quad (5.2.6.3.28)$$

Koeficijenti (α) i (β) su oni koji se
(5.2.6.3.26)

$$\beta = (2 - \alpha) \quad (5.2.6.3.29)$$

... ..

$$1/2 \leq \alpha \leq 1.0 \quad (5.2.6.3.30)$$

$$0 = \beta \leq 1/2$$

... ..
... ..
... ..
... ..
... ..
... ..
... ..

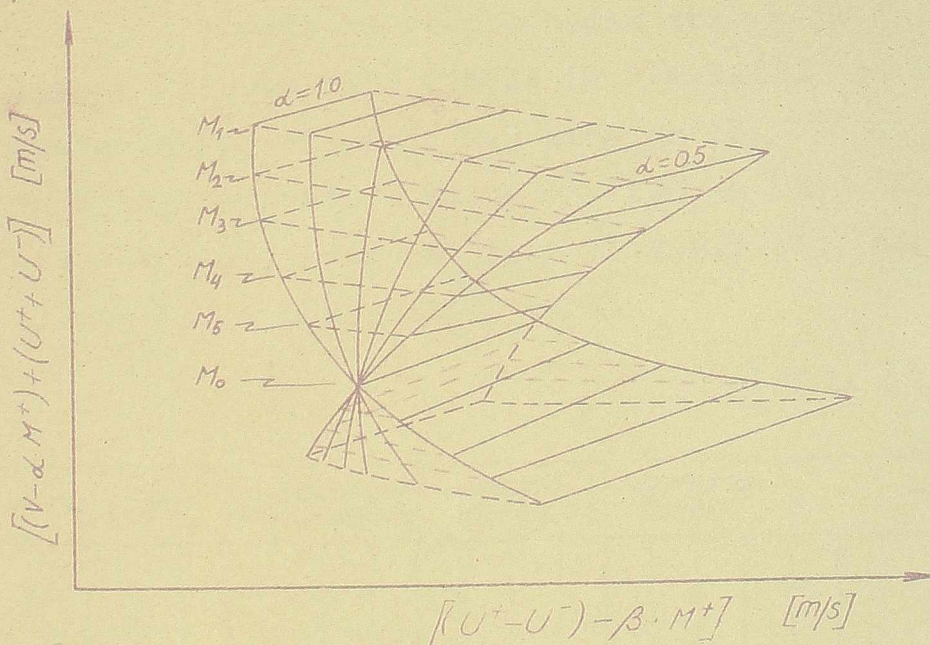
Proračun unutrašnjih tačaka

Tok proračuna će biti izložen kronološki i detaljno sa svim potrebnim pomoćnim dijagramima i tabelama.

1. Iz jednačina (5.2.6.3.27 i 28) se vidi da je za njihovo rešavanje neophodno konstituirati dijagram sa sledećom zavisnošću:

$$(v - \alpha \cdot M^+) + (U^+ - U^-) = f_1 [(U^+ - U^-) \cdot M^+] \dots \dots \dots (5.2.6.3.31)$$

Koji je prikazan na slici (5.2.6.3.32) i predstavlja "prostor" u kojem postoje u stvari dve parabole (M^+) i (L) .



Sl. (5.2.6.3.32)

Pomoćni dijagram za proračun unutrašnjih tačaka

Koncept se koristi u dijagramu 5.2.6.3.32. Takođe se koristi kao pomoćni dijagram, kao što je to prikazano tabelom (5.2.6.3.33).

M	V						V ₂		
	V ₁ -M	U ⁺ U ⁻	U [±] U ⁻	d ₁ =10 β ₁ =0,5		d ₂ =0,50 β ₂ =0,50		U ⁺ U ⁻	U ⁺ U ⁻
				W-d ₁ M	(U ⁺ U ⁻)-β ₁ M	W-d ₂ M	(U ⁺ U ⁻)-β ₂ M		

S obzirom da desna strana jednačina (5.2.6.3.II) čine poznate veličine, to znači da se mogu odrediti i leve strane tih istih jednačina.

Znači da se prethodno sračunaju vrednosti u kolonama (12) do (19) tabele (5.2.6.3.II) na osnovu pretpostavljenog položaja nizvodne tačke, i na osnovu njih, vrednosti u kolonama (20) do (25). Koristeći svi podatke i dijagram sa slike (5.2.6.3.32), odredi se veličina (W) u nepoznatoj tački.

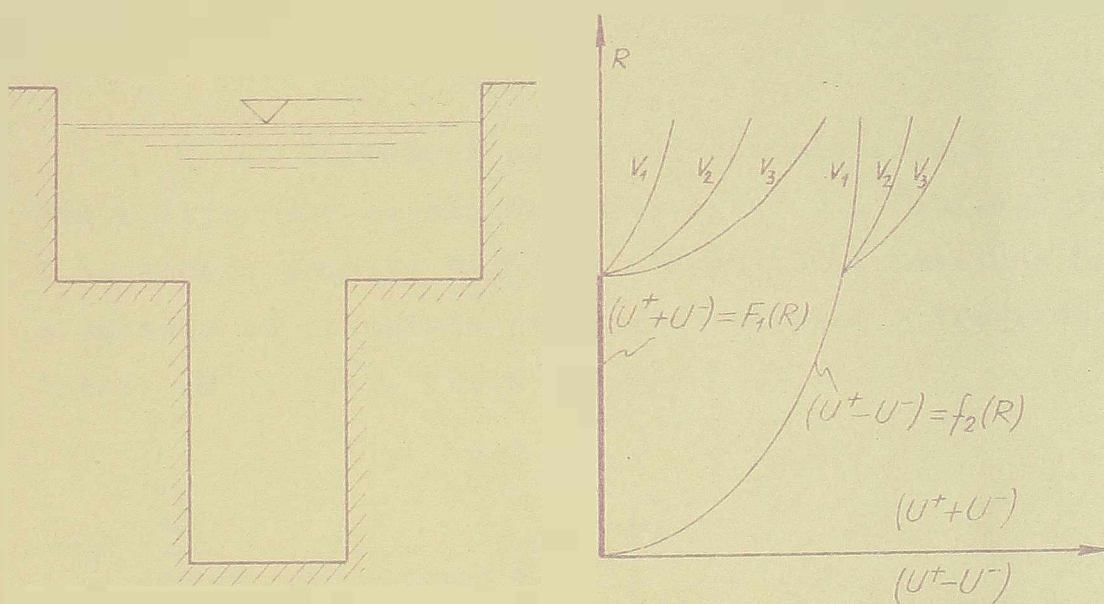
Tabela (5.2.6.3.II)

broj tačke	Tražena tačka						sročena sračunatih podataka				uzvodna tačka		nizvodna tačka										
	V	U ⁺	U ⁻	M	F	Q	(dx/dt) ⁺	(dx/dt) ⁻	(dx/dt) ⁺ _{sr}	(dx/dt) ⁻ _{sr}	V _N	U _N ⁺	M _N ⁺ (dx/dt) _N	V _N ⁻	U _N ⁻	M _N ⁻ (dx/dt) _N	V _N ⁺ +2U _N ⁺ +M _N ⁺	V _N ⁻ -2U _N ⁻ +M _N ⁻	(22)/2	(23)/2	(V-α·M ⁺)+(U ⁺ U ⁻)=[(24)+(25)]	[(U ⁺ U ⁻)-β ₁ ·M ⁺ =(24)-(25)]	
2	3	4	5	6	7	8	9	10	11	12	13	14	15	16	17	18	19	20	21	22	23	24	25

2. Na osnovu poznate veličine (m) određi se izraz $(U^+ - U^-)$, posto je veličina (β) poznata (vidi sliku 5.2.6.3.1;6).

3. Na osnovu prethodno pripremljenog dijagrama $(U^+ + U^-) = f_1(R)$ prikazanog na slici (5.2.6.3.33), koji se sračunava tabelarno (tabela 5.2.6.3.III), određi se veličina hidrauličkog radijusa (R).

4. Sa istog dijagrama i pomoću veličine (R), određi se izraz $(U^+ - U^-)$.



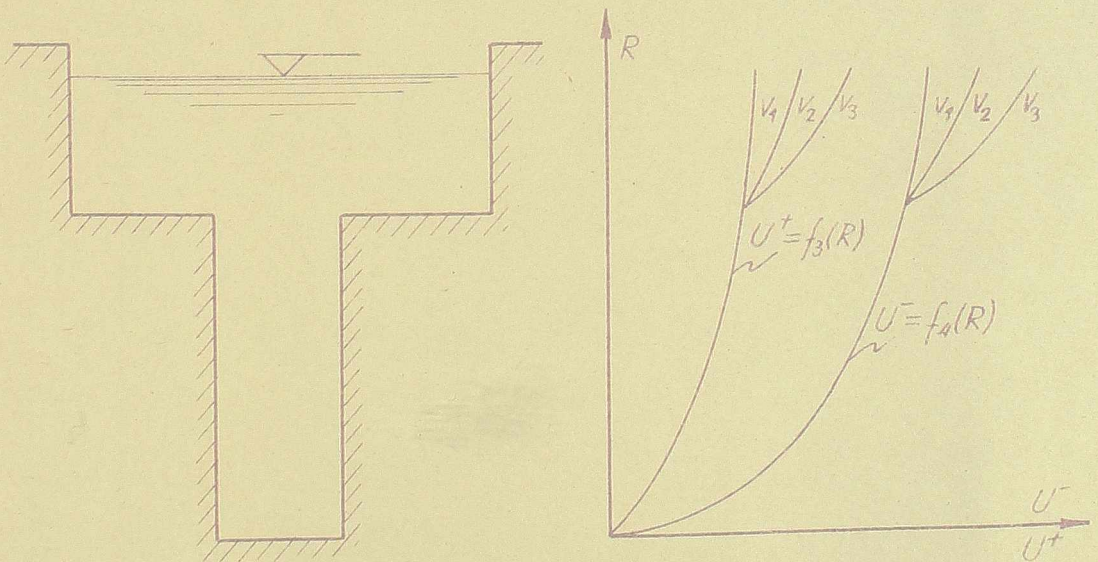
Sl. (5.2.6.3.33) Pomoćni dijagram za proračun simetričnih tačaka

2) Veličina određuje izraz $(v - \alpha \cdot B^+) + (U^+ + U^-)$ i upisuje u kolonu (2) tabele (5.2.6.3.III).

Tabela (5.2.6.3.III)

					V_1						V_2		
4	R	$2B(B'-B)$	g/α		$(B'-B)/V$	$(B'-B)/V^2$	$2[V(B'+B)]$	$(B')^2/(V)$	$(B')^2/(V^2)$	$U^+ (U^+U)$	$U^- (U^-U)$		
1	2	3	4	5	6	7	8	9	10	11	12		

6. Koristeći podatke iz tabele (5.2.6.3.III), kao i dijagrame na slikama (5.2.6.3.32) i (5.2.6.3.34), i na osnovu poznate veličine hidrauličkog radijusa (R), određuju se proučeni napumični koeficijenti u traženoj tački: (U^+), (U^-), (F) i konačno (Q).



Sl. (5.2.6.3.34) Pomoćni dijagram za proučavanje unutrašnjih tačaka

Proračun početnih tačaka.

Položaj bilo koje početne tačke mreže karakteristika u ravni (x, t) definisan je negativnom karakteristikom.

$$v + 2U^- - \xi \cdot M^+ = v_{21} - 2U_{21}^- + M_{21}^- \quad (5.2.6.3.35)$$

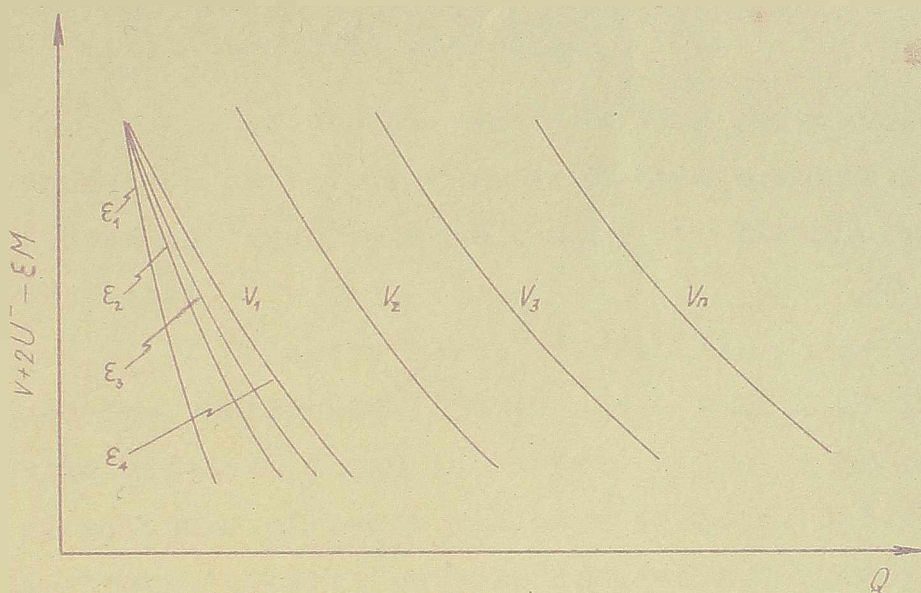
pri čemu je $\xi = \frac{\Delta t^-}{\Delta t^+} ; 0 \leq \xi \leq 1,0$

Za proračun početnih tačaka prethodno se konstruiše pomoćni dijagram prikazan na slici (5.2.6.3.36), obračunat u tabeli (5.2.6.3.IV).

Dijagram na slici (5.2.6.3.36) obračuna se samo za početna vrednost proticaja za nekoliko vrednosti koeficijenta (ξ) . Za ostale vrednosti proticaja (Q) , obračuna se sa $\xi = 1,0$

Tabela (5.2.6.3.IV)

v	Q	F	R	$R^{4/3}$	$V^{2/3}/R^{4/3}$	S_{tr}	$(S_0 - S_{tr})$	H	U^-	$V - cM^+$	$V + 2U^- - cM^+$
1	2	3	4	5	6	7	8	9	10	11	12



Sl. (5.2.6.3.36) Pomoćni dijagram za proračun početnih tačaka

Tov proračuna je sledeći:

1. Za polazne elemente (v_0) i (U_0) sračuna se izraz ($v_n - 2U_n^- + M_n^-$).
2. Na osnovu gornjeg podatka, za usvojeno (ϵ) (s obzirom da se usvaja i položaj nizvodne tačke), i poznat polazni proticaj (Q_0), iz dijagrama na slici (5.2.6.3.36) očita se veličina srednje brzine toka i upiše u kolonu (2) tabele (5.2.6.3.II).
3. Iz proticaja i srednje brzine sračuna se veličina poprečnog preseka (\bar{F}), (kolona 6) iste tabele.
4. Koristeći dijagram na slici (5.2.6.3.34) i (5.2.6.3.36), odrede se (U^+) i (U^-). [Postavlja se pitanje kako proračuna nizvodne tačke, koje (U) treba uzeti: (U^+) ili (U^-). Medjutim nije bitna vrednost (U), ako ne veđ raspolaže veličinom hidrauličnog radijusa, pošto na osnovu njega i dijagrama $U = U(R)$, veđ prema potrebi, možemo odrediti bilo (U^+) ili (U^-)].

Kontrola proračuna

Kao što je već više puta pomenuto, teškoća proračuna po metodi karakteristika sastoji se u tome što se do rešenja ne može doći direktnim putem, već probanjem.

U konkretnom slučaju, bilo da je u pitanju početna, unutrašnja ili granična tačka, mi pretpostavimo nazvodnu tačku i elemente u njoj i na osnovu njih odredjujemo elemente režima u traženoj tački. To znači da treba izvršiti proveru dobijenih rezultata.

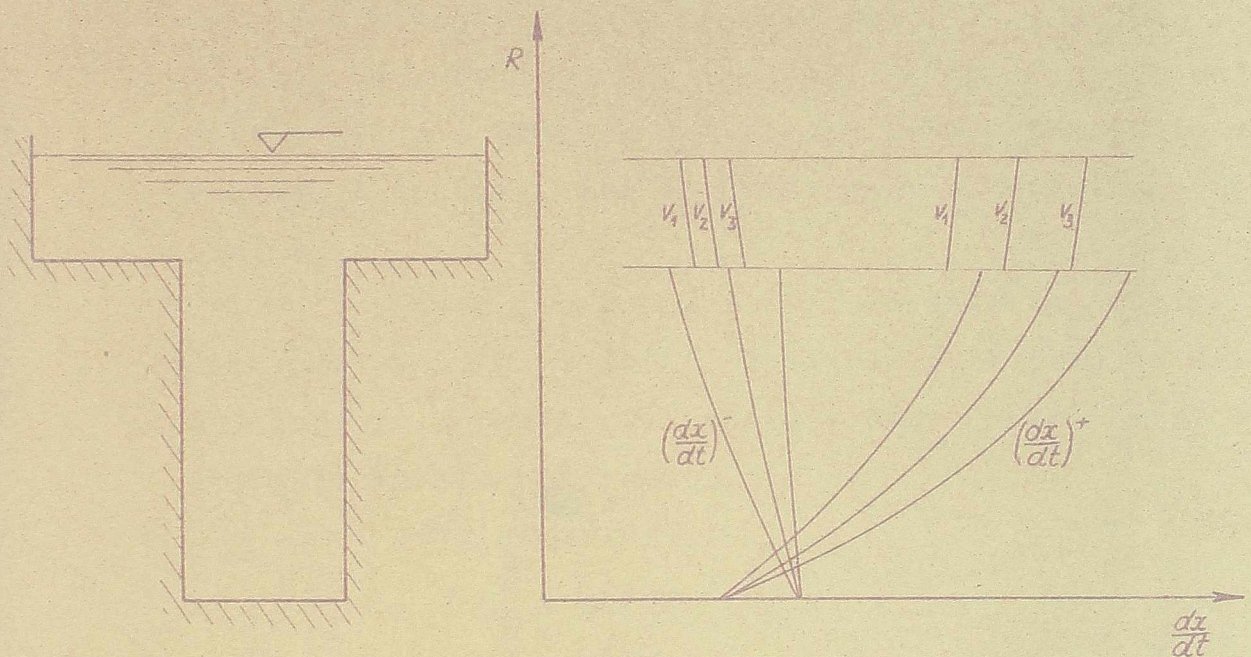
Za potrebe kontrole koristimo drugi par jednačina karakteristika, kao što je već pomenuto:

$$\left(\frac{dx}{dt}\right)_{\pm} = \left(\frac{B'+B}{2B'}\right) \cdot v \pm \sqrt{\left(\frac{B'-B}{2B'}\right) \cdot v^2 + g \cdot F/B'} \quad (5.2.6.3.37)$$

Za razliku od Lin-ove metode, gde se provera vrši direktno pomoću gorajih jednačina napisanih za pramatično korito, za složeno prirodno korito smo morali formirati pomoćni dijagram prikazan na slici (5.2.6.3.35), do koga se dolazi tabelarnim proračunom (tabela 5.2.6.3.V) a po jednačini (5.2.6.3.37).

Tabela (5.2.6.3.V)

y	B'	B	$\frac{B'+B}{2B'}$	B'-B	$\frac{B'-B}{B'}$	g·F	$\frac{g \cdot F}{B'}$	V ₁				$\frac{dx}{dt} = (9) \pm (12)$	V ₂
								$\left(\frac{B'+B}{2B'}\right)v$	(9) ²	(8)+(10)	$\sqrt{(11)}$		
1	2	3	4	5	6	7	8	9	10	11	12	13	



Sl. (5.2.6.3.38)

Pomoćni dijagram za proračun vlačnih vrednosti

Pravura se vrši na sledeći način:

Na osnovu vlačnih veličina (R) i (v) za jednu određenu tačku, određene se veličine $(\frac{dx}{dt})^+$ i $(\frac{dx}{dt})^-$ pomoću dijagrama (5.2.6.3.38). Tako dobijene vrednosti se uporede sa vlačnim

$$\left(\frac{dx}{dt}\right)_{sr}^+ = \frac{(\frac{dx}{dt})^+ + (\frac{dx}{dt})^-}{2} \quad (5.2.6.3.39)$$

Ukoliko se veličine $(\frac{dx}{dt})^+$, sračunate na jedan i drugi način podudaraju, pretpostavljena vrednost je ispravna i proračun teče dalje. Ukoliko to nije slučaj, pretpostavljamo nove elemente u traženoj tački i sa njima ponavljamo postupak.

Da bi omogućili proračun za svaki sledeći trenutak (t_{i+1}) na osnovu poznatih elemenata toka u

vrjednost ovoj uopštenoj metodi koja je naročito pogodna za proračune vezane za prirodne rečne tokove.

Naša želja je bile, i u tom smislu smo vršili proračune, ali na ovaj način ova metoda i promeni oblika profila duž toka, koja je jednačinom kontinuiteta obuhvaćena na sledeći način:

$$\left. \frac{\partial F}{\partial x} \right|_y = \text{const} \quad (8.2.6.3.42)$$

Ne s obzirom na moguće nepravilnosti prirodnih profila ovaj pokušaj nije doveo do rešenja, tako da se proračun mora vršiti od osevanja do osevanja, gde dubina su definisane uniformnošću oblika i veličine poprečnog profila, pri jednom istom protoku - vodostaju.

Pomoću ovog postupka se može izvršiti i proračun kada je $\alpha > 1$ (odnosno $\beta < 1$), tj. za različite vrednosti računskog intervala (Δt) . Ova mogućnost je veoma korisna kada se ima u vidu činjenica o potrebi povećanja računskog intervala (Δt) preza intervalima promene protoka da bi se omogućilo korišćenje $Q = Q(t)$. [U ovom intervalu gde je protok proticaja relativno blage - podjednaki i ovaj računski, odnosno računski, interval (Δt) može biti veća od intervala koji je usvojen za određene delove talasa]. Ovakav način proračuna zahtevao bi istinu pomoćnih dijagrama i za jednu i za drugu vrednost vremenskog intervala (Δt) , što bi znatno opteretilo i onako obiman proces proračuna.

5.2.6.4 Grafička metoda proračuna propagacije talasa sa strmim čelom kroz prirodno korito po metodi karakteristika po Re-u

Primenjena metoda karakteristika na proračune ove vrste ima svojih specifičnosti, tako da je interesantna i za inženjere i za naučnike. **S** obzirom na dva veoma važna aspekta: trećinski računski način i proračunima ove vrste, ova metoda u izvешajnom delu može se predstavljati anahronizam. Međutim, s obzirom na velike uslove, kao i ceste potrebe praktičnih brzih studija, smatrano je još uvek korisna, te se kao takva i ti i izložena. (Njene praktična primena sa detaljnijim proračunima biće izneta u sledećoj glavi disertacije).

Poznato je da se po uklonjanju pregrade iza koje su se nakupile vodene mase (konkretno rušenje brane), u prvom trenutku jedan deo ogromne potencijalne energije pretvara u kinetičku energiju i vodena masa počinje da se kreće. Kao posledica naglog pražnjenja akumulacije dolazi do pojave ove vrste strmih talasa: direktnog pozitivnog koji se propagira nizvodno i indirektnog negativnog koji se propagira uzvodno. Ove dve pojave usko povezane nastaju skoro istovremeno i obratno: negativni talas nastaje zbog odvajanja vodnih masa iz akumulacije, koje su brzo strukturno razbijene.

Konačno, koja sledi nakon ovog brzog uvoda, razmatranje je za slučaj pravougaonog korita; ova aproksimacija naprednog profila toka ima opravdanje, pošto ogromni protoci koji se propagiraju niz dolinu zapre-

maju profile velikih površina koji se mogu tretirati kao jedinstveni i pravougaoni.

Za talase sa strmin čelom, kojima pripadaju i talasi nastali prolomom brane, ne važe jednačine karakteristika date jednačinama (5.2.2.16 - 18), već na neki način mora biti obuhvaćen i uticaj strmenitosti čela.

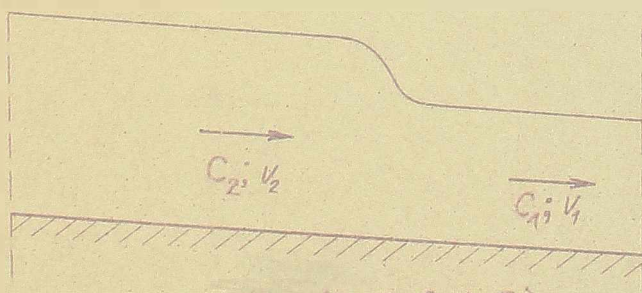
Brzina propagacije čela talasa data je jedna-

$$v = v_1 + \frac{v_2}{C_1} \cdot \sqrt{\frac{C_1^2 + C_2^2}{2}} \quad (5.2.6.4.1)$$

koje se odigravaju na samom čelu, definisane su sledećim izrazima:

$$\frac{v_2 - v_1}{C_2 - C_1} = \frac{2 \frac{C_2 + C_1}{2} \cdot \sqrt{\frac{C_2^2 + C_1^2}{2}}}{C_2 \cdot C_1} \quad (5.2.6.4.2)$$

pri čemu su sa indeksom (1) obeležene veličine koje se odnose na režim pre usilaska talasa, a sa indeksom (2) veličine u toku prolaska talasa (vidi sliku 5.2.6.4.3)



Sl. (5.2.6.4.3)

Uz ovaj način brzina propagacije izvodi se iz jednačine količine kretanja i jednačine kontinuiteta, pri čemu se uticaj sile trenja zanemaruje, tako da se na spoljašnjih sila uzima u obzir samo sila hidrostatičkog pritiska.

U slučaju da se dva telesna kreću brzinom v u suprotnim smerovima, brzina svetlosti u odnosu na njih je $c \pm v$.

$$c \pm v = c \sqrt{1 - \frac{v^2}{c^2}} \quad (5.2.6.4.2)$$

U slučaju da se dva telesna kreću brzinom v u istom smeru, brzina svetlosti u odnosu na njih je $c \pm v$.

U slučaju da se dva telesna kreću brzinom v u istom smeru, brzina svetlosti u odnosu na njih je $c \pm v$.

$$v + c \sqrt{1 - \frac{v^2}{c^2}} \quad (5.2.6.4.3)$$

U slučaju da se dva telesna kreću brzinom v u istom smeru, brzina svetlosti u odnosu na njih je $c \pm v$.

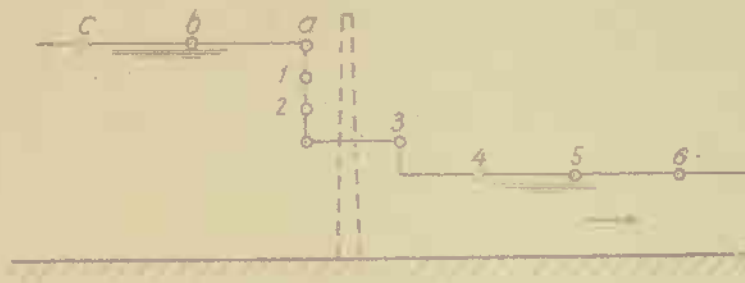
U slučaju da se dva telesna kreću brzinom v u istom smeru, brzina svetlosti u odnosu na njih je $c \pm v$.



U slučaju da se dva telesna kreću brzinom v u istom smeru, brzina svetlosti u odnosu na njih je $c \pm v$.

Radi lakše interpretacije fizičke strane ovog problema autor uvodi tzv. posmatrače - pokretne tačke, koje imaju to svojstvo da smišljaju uslove koji vladaju u talasu na određenoj tački i u određenom trenutku.

Posmatrači se "postavljaju" uzvodno i nizvodno od brane, a s obzirom na bitne razlike koje se između njih postoje, razlikujemo ih različitom tačke uzvodno od brane obeležavamo slovima, a nizvodno od brane brojevima, kao što je to pokazano na slici (5.2.6.4.7.)



Sl. (5.2.6.4.7.) Uzdužni profil toka sa obeleženoj položajima posmatrača "brojeva" i "slova".

Posmatrači postavljeni nizvodno od brane kreću se uzvodno brzinom $(v - c)$, a posmatrači "slova" postavljeni uzvodno od brane kreću se brzinom $(v + c)$, i tako ostaju na mestu.

Posmatrači $a, 1, 2, 3, \dots$, (broj posmatrača označava tačku u toku), imaju specifičnu ulogu, tako da ćemo ih odvojeno i posmatrati. Posmatrače u profilu brane nazivamo granični, i njima odgovarajuće tačke granične.

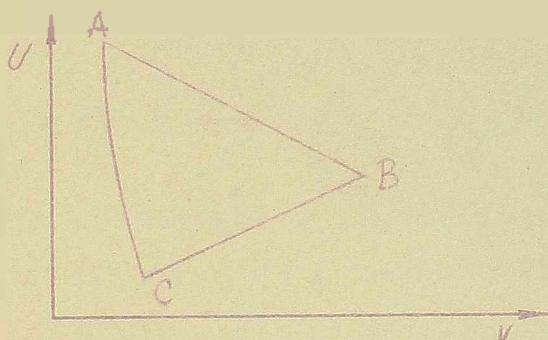
Između graničnih tačaka izdvaja se tačka (a), koja se nalazi u samom profilu brane, dok su ostale granične tačke raspoređene na čelu talasa.

Tačka (a) se kreće zajedno sa čelom, čija brzina je definisana izrazom (5.2.6.4.1.). Nju susiže sledeća tačka, kojoj tačka (a) predaće svoje karakteri-

pri čemu je $\tan \alpha = U/v$, a $\tan \beta = \dots$

Nagib karakteristika iznosi približno 1:2.

U ravnini (U,v), polodijeljena poznatim trendom, efektivno se na taj način, te polaznu tačku iz koordinate vučemo karakteristiku, pomeramo za veličinu \dots (vidi sliku 5.2.6.4.9.).



Sl. (5.2.6.4.9)

Ukoliko je veličina \dots se iznosi uvek od \dots na tačke u ravni \dots generacije \dots

Ukoliko je \dots ove visine \dots

5.2.6.5. Ukoliko je \dots

Ukoliko je \dots i ubrzanje procesa \dots

Ukoliko je \dots [4], kao se \dots

U ovom slučaju \dots standardna; umesto da se određuje elementi reči \dots

u nepoznatoj, traženoj tački mreže karakteristika u ravni (x, t) , na osnovu poznatih elemenata u odgovarajućoj uzvodnoj i nizvodnoj tački, prvo se bira položaj jedne od poleznih tačaka. (Položaj uzvoda je poznat) tako da se dobije ispravno rešenje.

Postupak je razradjen za korito parabolično, preseka čija površina je definisana jednačinom

$$F = a \cdot h^m \quad (5.2.6.5.1)$$

gde je (a) neka konstanta, (h) dubina toka, a (m) eksponent čija vrednost varira u zavisnosti od oblika profila

Jednačine karakteristika izvedene iz osnovnih jednačina nestacionarnog kretanja za ovaj tip korita glase:

$$\frac{dx}{dt} = v \pm \sqrt{\frac{g \cdot F'}{m}} \quad (5.2.6.5.2)$$

$$\frac{d}{dt} (v \pm \sqrt{g \cdot m \cdot h}) = g (S_0 - S_{tr}) \quad (5.2.6.5.3)$$

Sličan postupak se može sprovesti i za prirodno rečno korito (npr. prizmatično), a tada što se kao druga zavisno promenljiva uvodi površina (F)

$$\frac{dx}{dt} = v \pm \sqrt{g \cdot F/B}$$

$$d(v \pm 2U) = g(S_0 - S_{tr}) \cdot dt; U = \frac{\sqrt{g}}{2} \int \frac{dF}{\sqrt{BF}}$$

Integrirajući na diferencijale

$$x_2 \pm x_1 = \left(\frac{V_t + V_u \cdot n}{g} \right) \pm \sqrt{\frac{g}{2B}} (F_t \pm u \cdot n)$$

Ako se diferencijeli zamene diferencijama, pod pretpostavkom pravilno izabranih računskih intervala (Δx) i (Δt), gornje jednačine dobijaju sledeći oblik:

$$x_t - x_u = \left(\frac{v_t + v_u}{2} + \sqrt{\frac{g}{2m}} \cdot \sqrt{h_t + h_u} \right) (t_t - t_u) \quad (5.2.6.5.4)$$

$$x_t - x_n = \left(\frac{v_t + v_n}{2} + \sqrt{\frac{g}{2m}} \cdot \sqrt{h_t + h_n} \right) (t_t - t_n) \quad (5.2.6.5.5)$$

$$v_t - 2\sqrt{g \cdot m \cdot h_t} - v_u - 2\sqrt{g \cdot m \cdot h_u} = g \left(S_0 - \frac{v_{tr_t} + v_{tr_u}}{2} \right) (t_t - t_u) \quad (5.2.6.5.6)$$

$$v_t - 2\sqrt{g \cdot m \cdot h_t} - v_n - 2\sqrt{g \cdot m \cdot h_n} = g \left(S_0 - \frac{v_{tr_t} + v_{tr_n}}{2} \right) (t_t - t_n) \quad (5.2.6.5.7)$$

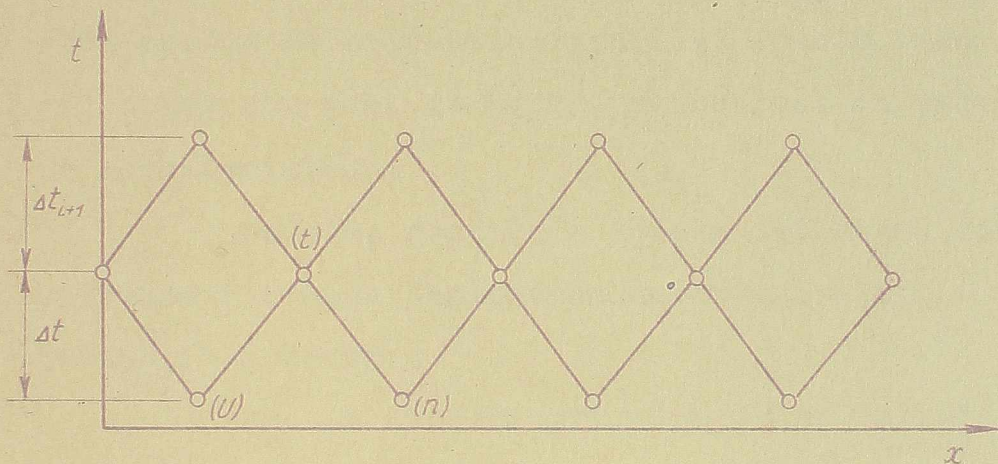
Ko i obično indeksi (t), (u) i (n) označavaju trenutnu, izvornu i nizvodnu tačku.

Proračun se svodi na određivanje elemenata rešenja u poznatoj tački [tri poznate promenljive (v_t , v_u i S_0) i dve nezavisno promenljive (x_t i t_t)] pomoću četiri dopoljujuće jednačine (5.2.6.5.4 - 7). Zbog njen konstantnog računskog vremenskog intervala (Δt), u svakom koraku proračuna, koliko se uprošćava postupak, zbog čega se sve tačke mreže (x, t) nalaze na jednoj pra-

$$v_t - 2U_t - v_u - 2U_{u,n} = g \left(S_0 - \frac{S_{tr_t} + S_{tr_u,n}}{2} \right) (t_t - t_u)$$

Veličine U_u i U_n se odnose na prethodno pripremljenih dijagrama $U = U(F)$. Restovak postupka je identičan sa izloženim za parabolno korito

voj (vidi sliku 5.2.6.5.8)



Sl. (5.2.6.5.8) - Kruža karakteristika u ravni (x,t)

Karakteristika ove metode jeste u korišćenju prethodno pripremljenih nomograma u proračunima, u čije detalje konstrukcije nećemo ulaziti.

Ako u jednačine (5.2.6.5.4-7) uvedemo uslov da je $\Delta t = \text{const.}$, oduzimanjem prve od druge i treće od četvrte, dobijamo sledeće dve jednačine.

$$\left(\frac{x_n - x_u}{\Delta t} + \frac{v_n - v_u}{2} \right) \sqrt{\frac{2\eta}{g}} = \sqrt{h_t + h_n} + \sqrt{h_t + h_u} \dots \quad (5.2.6.5.9)$$

$$4 \cdot \sqrt{g \cdot \eta \cdot h_t} = (v_u + 2 \sqrt{g \cdot \eta \cdot h_u} - \frac{g}{2} \cdot \Delta t \cdot S_u) - (v_n - 2 \sqrt{g \cdot \eta \cdot h_n} - \frac{g}{2} \cdot \Delta t \cdot S_n) \dots \quad (5.2.6.5.10)$$

U ovoj jednačini poznato je brojeva nepoznatih u istom stepenu od svih članova. Po to je i veličina (Δt) poznata, to znači da se može odrediti veličina svake od ove $(v_u \text{ i } x_n)$, ako se i jeste sig sig.

Ovako transformisane jednačine koriste se za izradu nomograma, koji od jednostavnih postaju složeni, ako se od jednostavnih formi poprečnog preseka koriste uvećaje na nepravilne profile. Pomoću tako dobijenih nomograma vrši se proračun unutrašnjih tačaka mreže karakteristika.

Položaj graničnih tačaka definisan je samo pozitivnom ili samo negativnom karakteristikom i zadatim graničnim uslovom.

Ako je uzvodni granični uslov definisan ulaznim hidrogramom $Q = Q(t)$, za parabolino korito se može napisati

$$Q = C_s a h^m, \quad C_s = \frac{1}{n} \cdot \frac{h^{1/6}}{m^{1/6}} \quad (5.2.6.5.11)$$

Jednačine negativnih karakteristika u tom slučaju glase:

$$\frac{x_t - x_n}{\Delta t} = \frac{Q_t}{2a \cdot h_t^m} - \frac{Q_n}{2a \cdot h_n^m} = - \sqrt{g/2m} (h_t + h_n) \quad (5.2.6.5.12)$$

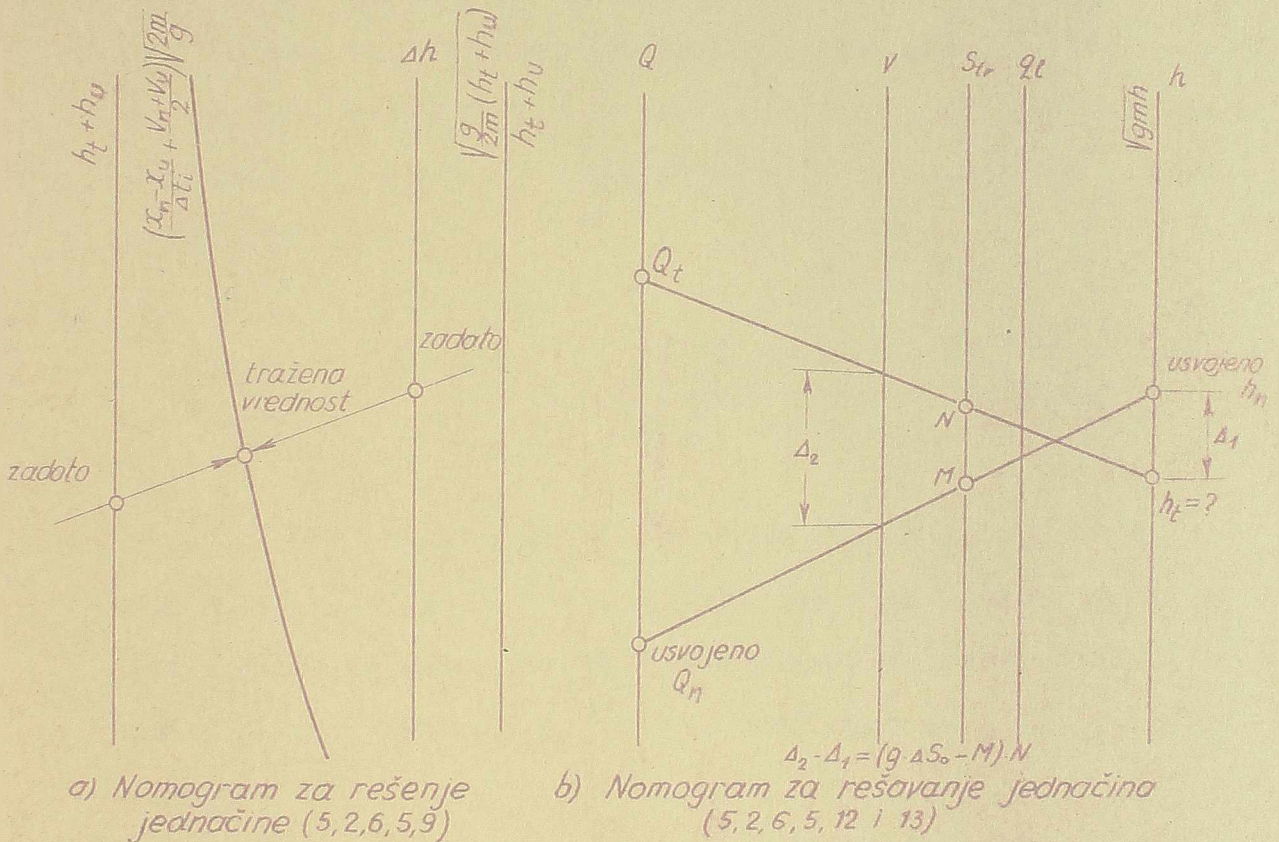
$$\left(\frac{Q_t}{a \cdot h_t^m} - 2 \sqrt{g \cdot m \cdot h_t} \right) - \left(\frac{Q_n}{a \cdot h_n^m} + 2 \sqrt{g \cdot m \cdot h_n} \right) =$$

$$= E \cdot \Delta t \cdot g = \frac{Q_t^2 \cdot E}{2m + 1,33} - \frac{Q_n^2 \cdot E}{2m + 1,33} \quad \text{gde je}$$

$$E = \frac{m \cdot \Delta t \cdot m^{4/3} \cdot a^2}{2 \cdot m^2} \quad (5.2.6.5.13)$$

Koristeći pravilo o izradi nomograma, iskoristi se jednačina (5.2.6.5.9), (5.2.6.5.10), (5.2.6.5.12) i (5.2.6.5.13).

Šema nomograma za slučaj paraboličnog korita prikazana je na slici (5.2.6.5.14), sa ucrtanim tokom proračuna.



Sl. (5.2.6.5.14) - Nomogrami za proračun propagacije talasa po metodi E-Panžu-a.

Izložena metoda je vrlo privlačna u slučajevima kada se zavisnosti $v = v(h)$ i $Q = Q(h)$ mogu izraziti analitički, odnosno kada je u pitanju korito relativno pravilnog oblika. Isto tako postupak se u znatnoj meri uprošćava u slučaju kada se veza između hidrauličkih elemenata toka (v), (h) i (x) može izraziti analitički.

U protivnom slučaju, kada je u pitanju složenije nepravilno rečno korito gde se pomenute zavisnosti mogu definisati samo grafički, izloženi postupak je u znatnoj meri komplikovan.

Prema našem iskustvu, izrada pomoćnih nomogra-

ma uz činjenicu da se i pomoću njih proračun mora vršiti probanjem a ne direktno, zahteva skoro isti utrošak vremena kao proračun po bilo kojoj od standardnih metoda. Iz tog razloga najemo preimuštvo metodi Lin-a, koji se ovom metodom ima zajedničku optu certu - uvođenje pomoćnih dijagrama - nomograma u cilju ubrzanja i uprošćavanja postupka.

5.2.6.6 Proračun po metodi konačnih priprema, pomoću unapred definisane pravougaone mreže u ravni (x,t)

Strogo uzevši, ova metoda ne pripada ni jednoj varijanti metode karakteristika. Međutim, kako se pri njenoj primeni koriste i izvesne osnovne postavke metode karakteristika, to smo smatrali da joj je ovde mesto.

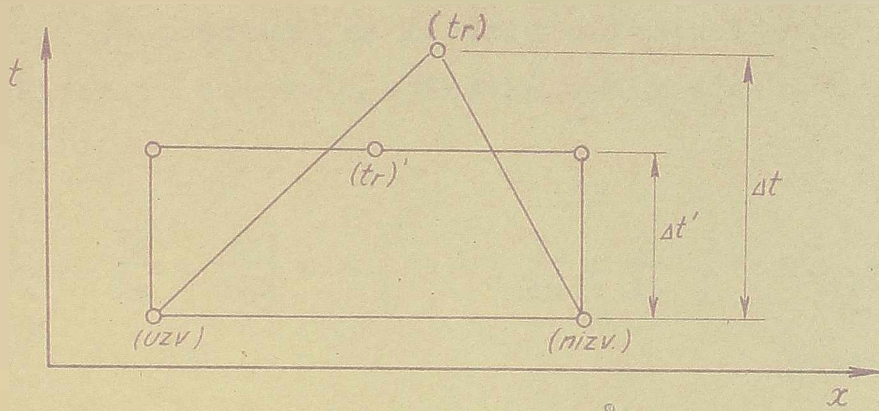
Sve do sada izložene varijante proračuna po metodi karakteristika baziraju se na formiranju mreže karakteristika u ravni (x,t) , po tzv. "trougonoj šemi", na osnovu poznatih elemenata režima toka u dve tačke mreže, određuju se elementi u nepoznatoj traženoj tački.

Za razliku od trougona šeme razređjena je i šema proračuna po unapred definisanoj pravougaonoj mreži u ravni (x,t) . Suštinska razlika između ove metode i metode karakteristika i jeste u tome što se mreža definiše unapred, dok se kod proračuna po metodi karakteristika razvija postepeno se napredovanjem proračuna.

Uglasićemo odmah da je proračun po ovoj metodi bez primene računskih mašina znatno obimniji, što

✓ Radi kratkoće pisanja metodu ćemo nazvati "pravougaona".

je odigledano sa slike (5.2.6.6.1)



Sl. (5.2.6.6.1) - Uporedjenje računskih šema
 razvijanjem mreže karakteristika po trouglu i po
 pravougaoniku

Naime, vremenski računski interval je znatno veći kod
 proračuna po metodi karakteristika, ako se uzme u obzir
 činjenica što je rečeno o oblasti zavisnosti bilo koje od
 tačke u ravni (x,t) , to opteređuje postupak proračuna.
 Kod proračuna elektronskim računskim mašinama ova činje-
 nica nije od bitnog značaja, s obzirom da se najviše vre-
 menski utroši na programiranje, dok se sam proces proračuna
 odvija brzo.

Kako proračun po unapred fiksiranoj pravouga-
 onoj šemi ima i svojih bitnih prednosti, to ga za slučaje-
 ve analize nestacionarnih fenomena sa relativno malim
 trajanjem možemo primeniti, pa smatramo da svakako treba
 izložiti osnovne koncepcije.

Za razliku od metode karakteristika, kod prime-
 ne pravougaone metode se kao nepoznate veličine javljaju
 samo srednje brzina toka (v) i brzine propagacije (c) .
 Koordinate pojedinih tačaka u ravni (x,t)

*/ Metoda se bitni izložiti za slučaj pravougaonog korita,
 ko... je $c = \sqrt{2}v$

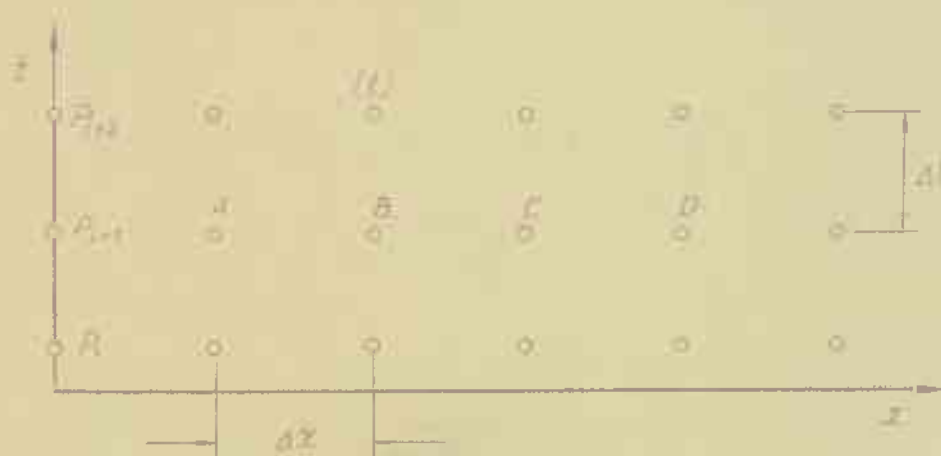
se jeno na un pravi, tako da se ne treba odraživati kao u metodi karakteristika.

Za proračun se koriste diferencijalne jednačine dobijene iz osnovnih, njihovim sabiranjem i oduzimanjem:

$$2 \left\{ (c + v) \frac{\partial}{\partial x} + \frac{\partial}{\partial t} \right\} c + \left\{ (c+v) \frac{\partial}{\partial x} + \frac{\partial}{\partial t} \right\} v + g(S_{tr} - S_o) = 0 \quad (5.2.6.6.2)$$

$$-2 \left\{ (-c + v) \frac{\partial}{\partial x} + \frac{\partial}{\partial t} \right\} c + \left\{ (-c+v) \frac{\partial}{\partial x} + \frac{\partial}{\partial t} \right\} v + g(S_{tr} - S_o) = 0 \quad (5.2.6.6.3)$$

U proračunima se polazi od pretpostavke da su elementi režima toka (v) i (c) poznati u tačkama (A), (B) i (C), pravougaone mreže (vidi sliku 5.2.6.6.4), i da treba odrediti odgovarajuće elemente u traženoj tački (tr). Jednačine (5.2.6.6.2-3) ćemo napisati u nešto izmenjenom



Sl. (5.2.6.6.4) - Pravougaona mreža za proračun po metodi konačnih proraštaja

obliku, zamenjujući parcijalne izvode po (x) i (t) diferencijama i to na sledeći način:

$$\frac{\partial v}{\partial t} = \frac{v_t - v_B}{\Delta x}; \quad \frac{\partial c}{\partial t} = \frac{c_t - c_B}{\Delta x} \quad (5.2.6.6.5)$$

$$\frac{\partial v}{\partial x} = \frac{v_B - v_A}{\Delta x}; \quad \frac{\partial c}{\partial x} = \frac{c_B - c_C}{x} \quad (5.2.6.6.6)$$

$$\frac{\partial v}{\partial x} = \frac{v_C - v_B}{\Delta x}; \quad \frac{\partial c}{\partial x} = \frac{c_C - c_B}{\Delta x} \quad (5.2.6.6.7)$$

pri čemu jednačine (5.2.6.6.6) odgovaraju jednačini (5.2.6.6.2), a jednačine (5.2.6.6.7) odgovaraju jednačini (5.2.6.6.3).

Ako stavimo da je $M = g(S_{tr} - S_0)$, i uvedemo izraze kojima smo parcijalne izvode zavisno promenljivih (v) i (c) zamenili diferencijama, dobićemo polazne jednačine u takvoj formi u kojoj nepoznate veličine (v_t) i (c_t) izrazimo kao linearno, tako da se mogu direktno izraziti

$$v_t = v_B + \frac{\Delta t}{\Delta x} \left[(c_B + v_B) \left(\frac{1}{2} v_A - \frac{1}{2} v_B + c_A - c_B \right) - (c_B - v_B) \left(\frac{1}{2} v_B - \frac{1}{2} v_C - c_B + c_C \right) - \Delta x E_B \right] \dots (5.2.6.6.8)$$

$$c_t = c_B + \frac{1}{2} \frac{\Delta t}{\Delta x} \left[(c_B + v_B) \left(\frac{1}{2} v_A - \frac{1}{2} v_B + c_A - c_B \right) + (c_B - v_B) \left(\frac{1}{2} v_B - \frac{1}{2} v_C - c_B + c_C \right) \right] \quad (5.2.6.6.9)$$

$$E = g(S_{tr} - S_0)$$

Pomoću gorejih jednačina sračunaju se elementi toka u nizu tačaka koji je u odnosu na početni pomer u ravni (x, t) za vremenski interval (Δt). Pomoću ovako sračunatog niza tačaka računamo elemente za sledeći niz, itd.

Nacin proračuna tačaka koje leže u početnom profilu $x = 0$, zavisi od zadatih graničnih uslova (tač-

nije rečeno od prvog graničnog uslova). Kako je već dobro poznato, uzvodni granični uslov može biti zađat bilo u vidu nivograma $y = y(t)$, bilo u vidu promene brzine $v = v(t)$, koja sa površinom poprečnog preseka toka daje proticaj.

Ako nam je zađat baš ovaj poslednji slučaj, i pod pretpostavkom da su elementi Δx toka poznati u tačkama (P_{i+1}) i (A) , po početku sa tačku (P_{i+2}) , (vidi sl. 5.2.6.6.4), dođićemo isključivo na osnovu jednačine (5.2.6.6.3.), koja je vezana za negativnu karakteristiku ($\partial x / \partial t = v - c$). Konkretno, na osnovu poznatih vrednosti $v_{P_{i+1}}$, (v_A) , $(c_{P_{i+1}})$ i (c_A) i na osnovu poznate vrednosti $(c_{P_{i+2}})$ ili (c_{A+2}) , pomoću pomenute jednačine sračuna se tražena veličina $(v_{P_{i+2}})$, odnosno $(c_{P_{i+2}})$, u zavisnosti od toga u kakvom je obliku zađat granični uslov.

Još jednom treba pođvući da pri izboru računskih intervala (Δt) i (Δx) treba voditi računa o tome da tražena tačka bude u okviru trougla definisanog pravim, povučenim kroz tačke na osnovu čijih podataka sračunavano elemente tražene tačke. Ugao nagiba ovih pravi jednak je nagibu karakteristika, a zavisi od elemente poznatih tačka, što znači da ga je lako sračunati.

5.3. Inženjerske metode na računskim ovzgor na metodu trenutnih režima

Primenom elektronskih računskih mašina znatno se skraćuje vreme potrebno za proračune nestacionarnih fenomena u otvorenim tokovima. Međutim, ova metoda još uvek nije postala svakidašnja praksa, ne samo u nas, već i u tehnički razvijenijim zemljama. Razlozi su uglavnom sledeći:

- vreme potrebno za programiranje i prethodnu obradu podloga može biti znatno duže od vremena potrebnog za same proračune, tako da prednosti rada sa računskim mašinama u pogledu brzine nisu onolike koliko se to na prvi pogled čini.

- relativno visoka cena koštanja elektronskih računskih uređaja još uvek ih čini dostupnim samo najvećim stručnim i naučnim organizacijama.

Iz navedenih razloga, a s obzirom na teškoće na koje se nailazi u toku proračuna po metodi karakteristika, tzv. inženjerske metode, čija primena zahteva izvesne aproksimacije čak i u osnovnim jednačinama od kojih se proračun i započinje, još dugo neće izgubiti svoj veliki značaj u rešavanju problema koji se javljaju u svakodnevnoj praksi inženjera hidrotehničara.

Pod inženjerskim metodama podrazumevano sve one kod kojih se izvesni članovi u osnovnim diferencijalnim jednačinama zanemaruju manje ili više opravdano, čime se omogućava njihovo rešavanje.

Ove metode se prema vidu usvojene aproksimacije mogu podeliti u tri osnovne grupe:

- a/ Metode kod kojih se aproksimacija sastoji u zameni dinamičke jednačine Chezy-jevom

jednačinom za ravnomerno tečenje.

- b/ Metode koje se baziraju na pretpostavci o eksponencijalnom zakonu promene proticaja nakon prolaska čela vala.
- c/ Približne metode proračuna u okviru kojih se kretanje talasa posmatra kao niz izvođenih proticaja.

Ođ tri navedene grupe inženjerskih metoda, najozbiljniju teorijsku podlogu ima prva, čiju osnovu čini metoda trenutnih režima. Iz tog razloga ćemo se na njoj uglavnom i zadržati.

5.3.1. Metoda trenutnih režima i njene varijante. - Suštinu ove metode čini uvo-

đenje konačnih diferencija u osnovne jednačine, i njihovo rešavanje za čitav niz vrednosti $t = \text{const.}$ Kao rezultat integracije dobijaju se dijagrami promene proticaja i visostaja (ili brzine i dubine) duž posmatranog toka, u onim vremenskim trenucima za koje je proračun sproveden.

Ne ulazeći u istorijat razvoja ove metode koja je nastala 80-tih godina prošlog veka, iznecemo neke prednosti proračuna po metodi trenutnih režima, za koje smatramo da su osobito korisne za praktične proračune, koji će nam između ostalog poslužiti kao baza za izradu nomograma za proračun propagacije talasa u prirodnim vodotocima.

5.3.1.1. Sve jednačine osnovnih jednačina su u obliku u kome se koriste kod proračuna po metodi trenutnih režima

hipoteka od koje se pri proračunima ov-

u telu telesa, koje je inače kontinualna pojava u vremenu, može tretirati kao niz stacionarnih stanja. Pod trenutnim režimom, (otuda i naziv ove grupe metoda), podrazumeva se rešenje osnovnih jednačina nestacionarnog kretanja u određenom trenutku vremena $t = \text{const.}$

Ponovićemo dinamičku jednačinu za koju smo ranije konstatovali da je ista za otvorene tokove bilo kakvog poprečnog preseka. Jednačina će biti napisana za slučaj kada su kao zavisne promenljive usvojene dubina toka (y) i srednja profilska brzina (v):

$$\frac{\partial y}{\partial x} + \frac{v}{g} \cdot \frac{\partial v}{\partial x} + \frac{1}{g} \cdot \frac{\partial v}{\partial t} = s_0 - s_{tr} \quad (5.3.1.1.1)$$

Vodeći računa o slici (3.1.12) i jednačini (3.1.13), gornja jednačina može da se napiše u nešto izmenjenom obliku:

$$-\frac{\partial z}{\partial x} = \frac{v^2}{C_s^2 \cdot R} + \frac{v}{g} \cdot \frac{\partial v}{\partial x} + \frac{1}{g} \cdot \frac{\partial v}{\partial t} \quad (5.3.1.1.2)$$

Rečima iskazana jednačina (5.3.1.1.2) glasi: pad linije vodnog ogledala

$$\left(\frac{\partial z}{\partial x} \right) \quad (5.3.1.1.3)$$

jednak je padu potrebnom za savladavanje trenja

$$\left(\frac{v^2}{C_s^2 \cdot R} \right) \quad (5.3.1.1.4)$$

uvećanom za deo pada koji se troši na račun stvaranja brzinske visine na deonici elementarne dužine

$$\frac{\partial}{\partial x} \left(\frac{v^2}{2g} \right) \quad (5.3.1.1.5)$$

plus pad koji je potreban za promenu brzine toka u jednom te istom poprečnom profilu u toku elementarnog pro-

menskog intervala

$$\left(\frac{1}{g} \frac{d w}{d t} \right) \quad (5.3.1.1.6)$$

Posmatrajući jednačinu (5.3.1.1.2), vidimo da ukoliko se desnoj strani zadržimo samo prvi, prva dva ili sve tri člana, pomenute jednačine vidi se ravnomerno, neravnomerno i konačno za nestacionarno kretanje.

Postavlja se pitanje međusobnog odnosa članova na desnoj strani jednačine (5.3.1.1.2), koji se još zovu pad trenja, pad brzinske visine i inercioni član, od kojih su poslednja dva člana posledica dejstva inercionih sila.

Važno je znači utvrditi značaj svakog od ova tri člana ponaosob, posto bi eventualno (opravdano) isključenje ma i jednog od njih znatno olakšalo rešavanje osnovnih jednačina.

U tom smislu analizirani su poplavni talasi registrovani na nekim našim najvećim ravničarskim tokovima. Na osnovu podataka o hidrometrijskim merenjima u periodu najske povodnje, konstatovano je da intenzitet prozane srednje brzine toka ni u kome slučaju nije veći od 2,0 m/sec/dan. To bi značilo da veličina inercionog člana, izražena u $\%$ iznosi svega

$$\frac{2}{9,81} \cdot \frac{210}{86.400} = 0,00236 \%$$

ako se ova vrednost uporedi sa srednjim padom reke Save u njenom ravničarskom delu, reke Velike Morave, Drine ili Dunava, onda se dobijaju odnosi dati u tabeli (5.3.1.11).

Tabela (5.3.11I)

Naziv reke	Pad pri velikim vodama ‰	Veličina inercionog člana u ‰	Učefeća inercionog člana
Sava	0,05 - 0,06	0,00236	4,70 - 3,90
V. Morava	0,30 - 0,40	0,00236	0,79 - 0,59
Bunav (Djerđap)	0,067 - 0,26	0,00236	3,50 - 0,91
Drina (B. Basta)	1,29	0,00236	0,18

Na osnovu podataka iz gornje tabele bez izvornih izračuna se može reći da je zanemarenje inercionog člana u proračunima vezanim za poplívne talase u prirodnim tokovima opravdano. Međutim, ovo se ne može prihvatiti kao pravilo, u slučajevima gde su promene proticaja, a samim tim i brzina, u toku vremená velike, (npr. pri naglom manevrisanju zatvarača ili turbina pri radu hidroelektrana), veličina inercionog člana ($\frac{1}{g} \cdot \frac{2v}{3t}$) se ne može zanemariti u odnosu na pad trenja, tako da proračun morano sprovesti sa kompletnim osnovnim jednačinama.

Analiza veličine dela pada koji se troši na formiranje razlike u brzinskoj visini, $[\frac{3}{2} (v^2/2g)]$, pokazuje da se i ovaj član dinamičke jednačine može zanemariti kod tokova sa blago promenljivim režimom, koji je karakterističan za ravničarske vodotoke. Pored toga, analiza izvora ne ukazuje na čestice koje se u toku neprekidno propagiraju talasi, pri čemu kroz jedan isti profil protiče različitno brzo i laka talasna obzira na stalno promenljive padove, manje se i srednja profilske brzine, pri čemu je ova promena čas pozitivna (u slučaju pada) i čas negativna (u slučaju stagnacije) i može biti uzrokovana uticajem promena brzine talasa.

zak nuli.

Na osnovu gornje analize konstatujemo da se članovi dinamičke jednačine, čija egzistencija je uslovljena dejstvom inercionih sila, mogu kod blago promenljivih tokova, što znači u svim analizama poplavnih talasa, zanemariti.

Ova činjenica je vrlo interesantna sa matematske tačke gledišta, pošto se zanemarivanjem dejstva inercionih sila menja tip diferencijalnih jednačina sa hiperboličnog na parabolični. Ovaj podatak je vrlo važan, pošto uslovi stabilnosti proračuna nisu isti za probleme definisane osnovnim jednačinama hiperboličnog ili paraboličnog tipa. Baš na stabilnosti proračuna možemo utvrditi značaj članova dinamičke jednačine, uslovljenih postojanjem inercionih sila. Kao što je već poznato, uslov stabilnosti pri rešavanju parcijalnih diferencijalnih jednačina hiperboličnog tipa po eksplicitnoj metodi, definisan je nejednačinom $\Delta t \leq \frac{\Delta x}{c+v}$. Međutim, isto tako je poznato da ovaj uslov nije dovoljan, ukoliko dužina ćelionice Δx nije dovoljno mala. Pošto je gornji uslov stabilnosti posledica postojanja inercionih članova, a kako vidimo taj uslov nije uvek i dovoljan, to možemo i po ovoj liniji konstatovati da je značaj članova $\left[\frac{\partial}{\partial x} \left(\frac{v^2}{g} \right) \right]$ i $\left[\frac{1}{g} \cdot \frac{\partial v}{\partial t} \right]$ u dinamičkoj jednačini zaista zanemarljiv. Još jednom treba naglasiti da gornje rezonovanje ima smisla samo kod blago promenljivih tokova.

Zanemarivanjem članova koji definišu neravnomerno i nestacionarno kretanje, dinamička jednačina se svodi na Chezy-jevu, što nam otvara niz praktičnih mogućnosti za rešavanje nestacionarnih pojava u prirodnim to-

kovima.

Konačno možemo napisati:

$$-\frac{\partial z}{\partial x} = \frac{v^2}{g \cdot R} \quad (5.3.1.1.7)^+$$

Kako što je već poznato, jednačina kontinuiteta za složeno prirodno korito glasi:

$$\frac{\partial z}{\partial x} + B' \frac{\partial z}{\partial t} + \sigma_1 = 0 \quad (5.3.1.1.8)$$

Ako je poznata brzina protoka Q u bočnom protoku Q_1 u istom preseku, može se proračunati σ_1 po neznanim, pri čemu se uzima seonice jednake profilom u koritu (videti na slici bočni profil), a u obziru na proizvod $(B' \frac{\partial z}{\partial t})$ koji je promena zapremine u koritu, jednačina kontinuiteta može se pisati u sledećem obliku:

$$\frac{\partial z}{\partial x} + \frac{\partial V}{\partial t} = 0 \quad (5.3.1.1.8)$$

Dinamička jednačina (5.3.1.1.7) kombinovana sa jednačinom kontinuiteta (5.3.1.1.8), čini par parcijalnih diferencijalnih jednačina paraboličnog tipa.

Iz jednačine (5.3.1.1.8) je vidljivo da je

+/ Jednačina (5.3.1.1.7) predstavlja vezu između brzine protoka Q i visine vode z u koritu. Ova jednačina se može koristiti za određivanje brzine protoka Q u koritu ako je poznata visina vode z u koritu. Ispod ovog koda koji odgovara ovom paragrafu, postoji isto tako izveštaj o visini vode z u koritu. Uspostaviti vezu između protoka Q i zapremine korita, čije grafičke prestatve u koritu i taom sistema (2, V) nosi naziv kriva zapremine. Poznavao je kriva zapremine ima velikog značaja u praksi, posebno nestacionarnom protoku u otvorenim kanalima, tako da će ovom pitanju biti posvećeno posebno predviđanje u ovoj disertaciji.

stoji principiijelna razlika u proračunima za prirodna korita i korita pravilnog geometrijskog oblika; razliku u sebi sadrži član kojim je obuhvaćena promena zapremine toka.

Ponovljeno još jednom osnovne hipoteze koje leže u osnovi metode trenutnih režima:

- ukupno vreme trajanja nestacionarne pojave, koja je kod blago promenljivog režima kontinualna, može se "razbiti" na kratke vremenske intervale (Δt).
- promena elementarne režima u toku kratkih vremenskih intervala može se smatrati linearnom.

Gledano kroz prizmu prirodnih tokova, ove korisne postavke se mogu tolerisati; promene režima toka relativno su blage, tako da se ceo proces može tretirati kao niz kratkih procesa, pri čemu izabran dovoljno kratak vremenski interval (Δt), opravdava pretpostavku linearne promene elementarne režima.

Uzimajući u obzir učinjene pretpostavke kao i redukcije izvršene na osnovnim jednačinama, kada se diferencijali zamene diferencije, iste se mogu napisati u sledećoj formi:

dinamička jednačina

$$\frac{(z_u)_0 + (z_u)_1}{2} = \frac{\bar{K}}{\sqrt{\Delta t}} \sqrt{(z_u)_2 - (z_i)_2} \quad (5.1.1.19)$$

jednačina kontinuiteta

$$\left(\frac{Q_1 + Q_2}{2}\right)_0 \Delta t - \left(\frac{Q_1 + Q_2}{2}\right)_1 \Delta t = V_2 - V_1 \quad (5.1.1.20)$$

Gornje jednačine su napisane za rečnu meonicu

dužine (Δl), pri čemu se smatra da su elementi toka poznati u trenutku (1), a da na osnovunjih treba odrediti elemente u ~~sljedećem~~ trenutku(2). Veličina intervala vremena $t_2 - t_1$ mora biti dovoljna mala, tako da budu zadovoljene hipoteze učinjene u vezi sa tim. Indeksima "u" i "i" obeleženi su elementi toka koji se odnose na ulazni, odnosno na izlazni profil posmatrane deonice dužine (Δl). Zapremina korita na ovoj deonici se određuje pomoću sledeće jednačine

$$V = \int_0^{\Delta l} w \cdot dl \approx \bar{w} \cdot \Delta l$$

pri čemu je srednja vrednost površine određena na osnovu vodostaja $\bar{w} = \frac{Z_u + Z_i}{2}$ na sredini posmatrane deonice dužine (Δl).

Pošto se, s obzirom na nepravilne forme poprečnih preseka kod prirodnih tokova, veza vodostaja i površine popreka ne može izraziti matematičkim izrazom, to odražavajući činjenicu da se vodostaj može predstaviti $\bar{w} = \bar{w}(z)$, tako prikazane veze se promenu mognu predstaviti $\bar{w} = \bar{w}(z)$ i zapremine $V = V(\bar{z})$.

Koristeći vezu promene geometrijskih karakteristika toka i vodostaja na sredini rečne deonice, osnovne jednačine (5.3.1.1.9) i (5.3.1.1.10) mogu svesti na dve jednačine sa četiri nepoznate $(Q_u)_0$, $(Q_i)_0$, $(Z_u)_0$ i $(Z_i)_0$.

Da bi se ove jednačine mogle rešiti, neophodno je da budu poznati pojedini i pojedinačni veličnosti (konstante i nizovi). Počevši od poznatog njegovog profila u konačnom trenutku od uslova w u ulaznoj deonici (upotrebivši koji se broj nepoznatih redukuje na tri, upravo ovaj problem može tok, usvajajući za osnovu od preostale

tri nepoznate veličine neku određenu vrednost (neka to bude talostaj u uzvodnom profilu u zadanom trenutku vremena). Problem se na taj način svodi na rešavanje dve jednačine sa dve nepoznate i sa jednim parametrom. Zadatim nizvodnim graničnim uslovom definišemo stvarnu vrednost parametra za koji vršimo proračun duž celog toka, naravno sukcesivnom apskrimacijom.

Postoji veliki broj varijanti trenutnih režima, od kojih svaka ima svoje dobre i manje dobre strane. Mi ćemo izložiti samo dve za koje smatramo da su najpogodnije za proračune propagacije talasa u prirodnim tokovima (metodu trenutnih režima po Arkangelakij-u i tzv. "kvazi-stacionarnu" metodu).

5.3.1.2. Problem definicije krivih zapremine $V = V(Q)$. Određivanje brzine i vremena propagacije nestacionarnih promena u otvorenim tokovima

Pod krivom zapremine podrazumeva se veza proticaja i zapremine dela korita ispod od o arajućeg nivoa.

Funkcija $V = V(Q)$, kako se najčešće matematički izražava kriva zapremine, predstavlja jedan od osnovnih parametara neophodnih za proračune propagacije i transformacije poplavnih talasa u prirodnim tokovima. Od toga koliko funkcija $V = V(Q)$ verno odražava stvarno stanje u prirodi, zavisi tačnost naših proračuna. Iz tog razloga krivoj zapremine treba posvetiti ozbiljnu pažnju.

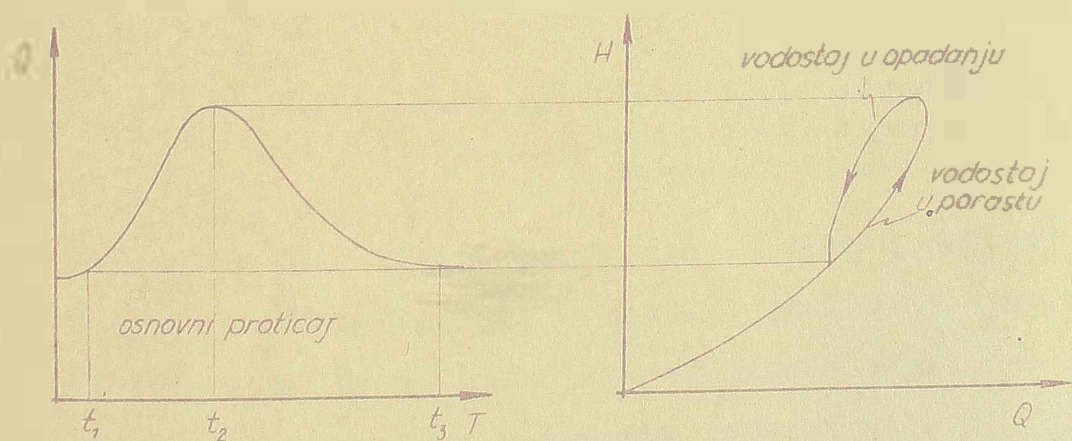
Strogo teorijski, veličina zapremine korita može se odrediti samo pomoću detaljnih morfoloških karakteristika rečnog toka. Teorijski, samo u onim slučajevima u ko-

jima je veze vodostaja i proticaja jednodobna, protivno
 može biti verilo valjanost osnovne osnovne koriste.

Jednodobna zavisnost $Q = Q(H)$ za velike vode
 u prirodnom koritu vrlo je retka. (Kod akumulacija se
 može smatrati da je funkcij. $Q = Q(H)$ jednoznačna, po-
 što je oticaj kroz nizvodni profil taj koji diktira pro-
 mene vodostaja u jezera).

Brojni su primeri uticaja na povećanje jed-
 nodobne veze proticaja i vodostaja u prirodnom tokovima,
 od kojih je za nas najinteresantniji uticaj nestacionar-
 nosti režima toka.

Diјаgram $Q = Q(H)$ pokazuje u svom donjem de-
 lu karakterističan oblik petlje. Uticaj nestacionarnosti
 režima na formiranje petlje otigledan je sa slike
 (5.3.2.1), u kojoj su prikazane krive proticaja $Q = Q(H)$
 i hidroerem vodostaja $H = H(Q)$ za dva slučaja: a) za
 ustaljeni, b) za nestaljeni tok. U slučaju a) krive su
 jedna i ista, a u slučaju b) krive su različite. U slučaju
 b) krive su različite, a u slučaju a) krive su jedna i ista
 u zoni dolje do opadanja vodostaja.



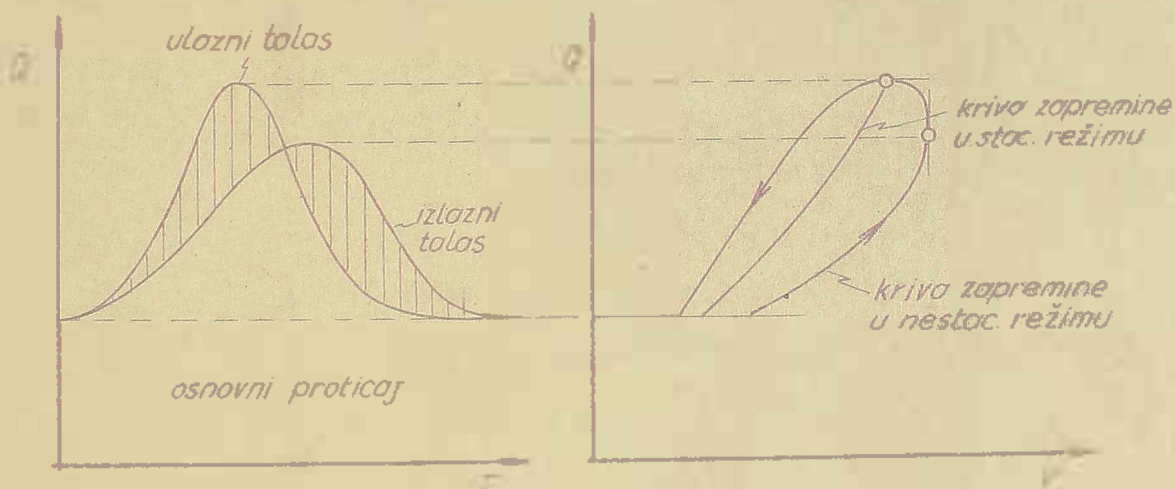
a/ Talas

b/ Krive proticaja

Sl. (5.3.2.1) Uticaj nestacionarnosti na
 oblik krive proticaja

Na sličan način bi se mogla objasniti i pojava petlje kod krivih zapremine usled povećanih padova protiču veće količine (odnosno usled smanjenih padova pri povlačenju talasa manje količine), od onih koje bi proticale pri uniformnom režimu.

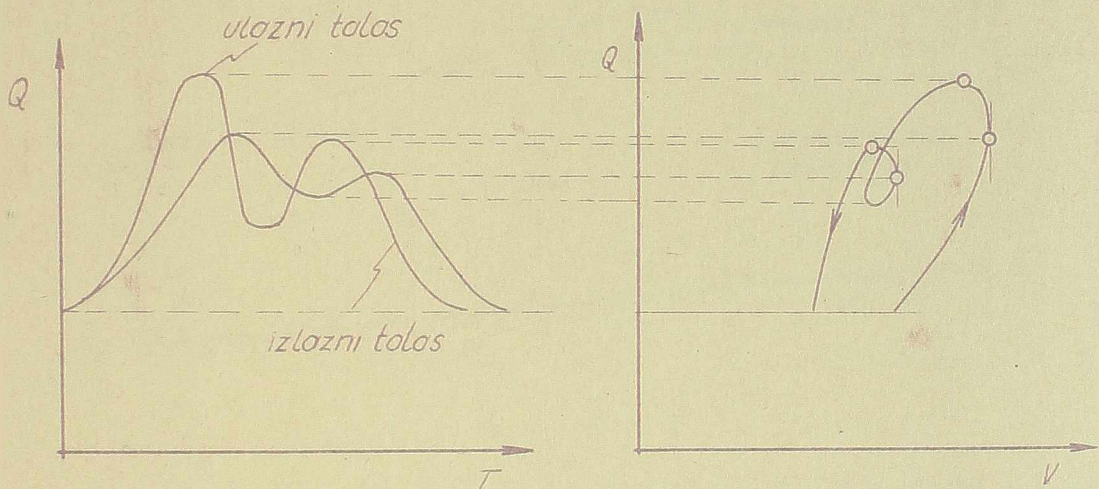
Veća odnosno manjim količinama odgovaraju i veće odnosno manje zapremine korita (vidi sliku 5.3.1.2.2) i pored toga što je manja dubina toka obratno srazmerno odnosu padova pri istom te istom proticaju. Dakle, uticaj povećanja (smanjenja) pada znatno je veći u pogledu promene proticaja nego u pogledu promene vodostaja.



Sl. (5.3.1.2.2) Uticaj nestacionarnosti na oblik krive zapremine kod prirodnih tokova

Zapremina cela korita pod vodom je veća u periodu nailaska poplavnog talasa, a manja u periodu njegovog povlačenja, pri čemu maksimalna vrednost zapremine odgovara i maksimalnoj vrednosti proticaja na hidrograma. Petlja može imati vrlo složen oblik, što zavisi od oblika hidrograma (kao što će se naknadno videti, oblici hidrograma su u prirodnim tokovima veoma raznovrsni,

tako da pored jedinstvenih - usamljenih talasa, ima i složenih - sukcesivnih, koji nailaze jedan za drugim). Oblik krive zapremine za jedan ovakav talas prikazan je na sl. (5.3.1.2.3).



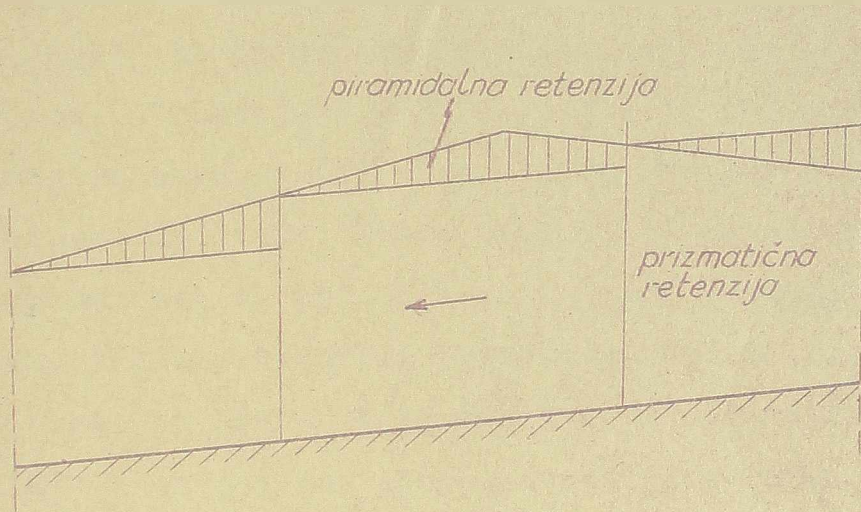
Sl. (5.3.1.2.3) Oblik krive zapremine za poplavni talas složenog oblika

Postoji pretpostavka [6] da je petlja posledica toga što se retenzija ne puni po celom frontu obale duž reke, već samo na određenim uvalama i nižim mestima, koja su u suštini uska grla i dovođe do zakašnjenja u punjenju (i pražnjenju), odnosno do razlike u kotama u koritu i retenziji. Pri tome je pri porastu nivoa voda u retenziji niže, a pri opadanju više od nivoa u glavnom koritu.

Po našem mišljenju ova hipoteza o uticaju nekoincidencije nivoa u reci i inundaciji nije osnovni faktor koji utiče na formiranje petlje. Dokaz za ovu tvrdnju je činjenica da se petlja javlja i u jedinstvenom rečnom koritu, pod uslovom da je kretanje nestacionarno.

U američkoj literaturi [26], [37] je vrlo od-

prizmatične i piramidalne retenzije, kao što je to prikazano na sledećoj slici (5.3.1.2.4)



Sl. (5.3.1.2.4) Uzdužni profil reke sa ucrtanim nivoom pri prolasku poplavnog talasa

Kao što se sa gornje slike vidi, ukupnu zapreminu korita čini suma piramidalnog i prizmatičnog dela. Prizmatični deo odgovara zapremini koju bi korito imalo pri uniformnom režimu, dok je piramidalni deo posledica nestacionarnosti fenomena. Ako ovako shvaćenu ukupnu vrednost zapremine uporedimo sa zapreminom koju bi korito imalo pri uniformnom režimu, onda je očigledno da je zapremina korita pri nestacionarnom režimu veća od ove prethodne za veličinu piramidalne retenzije pri nailasku talasa, odnosno manja za veličinu piramidalne pri povlačenju talasa.

Objašnjenje pojave petlje uvođenjem piramidalne i prizmatične retenzije u potpunoj je saglasnosti sa onim što smo u početku rekli o uticaju njenog postojanja.

Već je pomenuto da se tačna kriva zapremine može efikasno isključivo preciznim morfometrijskim merenjima. Drugim rečima, neophodno je poznavanje tačnih linija nivoa vodnog ogledala duž cele posmatrane seonice, i funkcije $F = F(z)$, gde je (F) površina poprečnog preseka, a (z) vodostaj za sve poprecne profile snimljene duž toka. Treba poavuci da su nam pri tome neophodni svi ti podaci i za najveće proticaje. Koliko staju, i kakvu tehničku poteškoću predstavljaju merenja ove vrste ne treba ni spominjati. U literaturi [16], smo našli ne samo jedan slučaj kompletnog snimanja rečnog toka za potrebe studija nestacionernog kretanja, što je inače prava retkost.

S obzirom na sve ovo sa jedne strane, a sa druge s obzirom na veliki značaj koji krive zapremine imaju u proučavanju nestacionarnih pojava u otvorenim tokovima, u praksi se pribegava ranje rešenju, ali zato znatno je jednostavnijoj metodi određivanja krive zapremine nazvanoj "metoda bilansiranja".

Za obradu se koristi jednačina kontinuiteta, koja se može zapisati u sledećem obliku: $Q_1 = Q_2 + \Delta V$, gde je Q_1 i Q_2 proticaji, i ukoliko postoji, porivavanje bočnog doticaja, razlika zapremine koje uđe na jednu seonicu i zapremine vode koje iz te seonice iziđe, u jednom određenom intervalu vremena, predstavlja se kao promena zapremine u koritu. To znači da se na osnovu rečije registrirane u određenom vremenu, može odrediti razliku proticaja, kao što je pomenuto na slici (3.3.1.2.2). Obrada se vrši tabelarno. Veličina računskog intervala (Δt) treba da je što kraća u intervalima male promene proticaja, da bi tačna kriva zapremine bila dobijena.

čini je određena.

Veličina zapremine dobijena na jednoj istoj rečnoj liniji varira od slučaja do slučaja, što se odražava na određeni popis svih talasa po veličini, obliku, intenzitetu, itd. To znači da se može konstatovati da se u svakom slučaju može konstatovati zaključiti da se na jednoj zapremine na određenu rečnu liniju može koristiti za određivanje istovremene talasa, koje karakteristično je za određenu rečnu liniju. Analize (i analiza) ovakvih talasa velikih, dotle još neopaženih, talasa, karakteristične su, što su oblik, zapremine (talasa), merimo (ovakvi talasi).

Analizirajući se radi o malih do malih voda, može se razlikovati celokupna retenzija u posmatranju talasa.

Imajući na umu ovaj način, možemo li reći da se, ni sad, određuje veličinu zapremine. Pošto se može konstatovati da se u svakom slučaju može konstatovati zaključiti da se na jednoj zapremine na određenu rečnu liniju može koristiti za određivanje istovremene talasa, koje karakteristično je za određenu rečnu liniju. Analize (i analiza) ovakvih talasa velikih, dotle još neopaženih, talasa, karakteristične su, što su oblik, zapremine (talasa), merimo (ovakvi talasi).

Imajući na umu ovaj način, možemo li reći da se, ni sad, određuje veličinu zapremine. Pošto se može konstatovati da se u svakom slučaju može konstatovati zaključiti da se na jednoj zapremine na određenu rečnu liniju može koristiti za određivanje istovremene talasa, koje karakteristično je za određenu rečnu liniju. Analize (i analiza) ovakvih talasa velikih, dotle još neopaženih, talasa, karakteristične su, što su oblik, zapremine (talasa), merimo (ovakvi talasi).

to jedino ispravno sa aspekta proračuna nestacionarnih fenomenâ u otvorenim tokovima.

Ako razmotrimo fizičku stranu problema, onda je jasno da zapremina vode na jednoj rečnoj deonici konačne dužine, zavisi od uzvodnih i nizvodnih graničnih uslova. Zaprevo, uslovi doticanja i oticanja su ti koji definišu koji deo zapremine vode je u jednom odredjenom trenutku akumuliran u koritu dotične deonice.

Ovaj način smo došli do suštine problema: postavlja se pitanje po kome zakonu. Kao što se u svim slučajevima, gde problem nije dovoljno jasno definisan, bi se mogao analizirati teorijski, pribegava empirijskim razmatranjima, tako je učinjeno i ovde. Naime, da bi se na neki način obuhvatio uticaj i piramidalne i prizmatične retenzije, uvedena je sledeća empirijska jednačina za krivu zapremine:

$$V = \frac{b}{a} X(Q_1)^{m/n} + (1 - X)Q_1^{m/n} \quad (5.3.1.2.5)$$

gde (a) i (n) karakterišu tip krive proticaja $Q = a \cdot h^n$; (b) i (n) karakterišu tip krive zapremine $V = b \cdot h^m$, dok (h) predstavlja dubinu.

Koeficijent (X) predstavlja odnos uticaja (Q₁) i (Q₂) na formiranje zapremine korita. Velicine koeficijenta (X) varira u granicama $0 \leq X \leq 1$, a određuje se probanjem na osnovu ranije konstatovanih talasa na deonici za koju se vrše ispitivanja. (X) predstavlja odnos zapremine i proticaja vode, a u suštini to je vreme propagacije. Koeficijent (b/a) se u većini slučajeva zamenjuje koeficijentom (K), tako da se jednačina (5.3.1.2.5) može napisati u sledećem obliku:

$$v = K[X \cdot Q_u + (1 - X) Q_1] \quad (5.3.1.2.6)$$

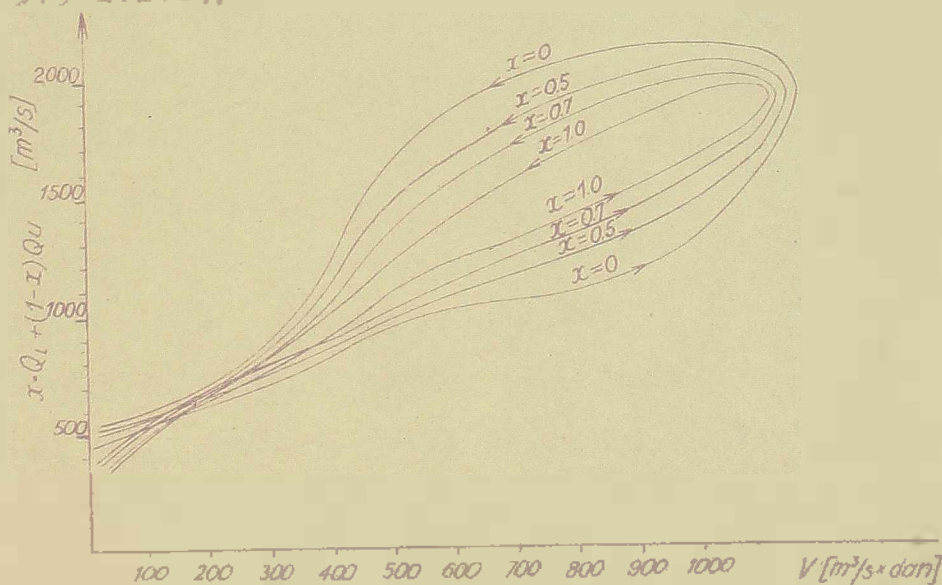
Kao što je rečeno, veličina koeficijenta (X) se određuje probanjem, pri čemu se konstruise dijagram

$$v \sim X \cdot Q_u + (1 - X) \cdot Q_1 \quad (5.3.1.2.7)$$

na osnovu stvarnih podataka registrovanih u prirodi.

Vrednost koeficijenta (X) se varira sve dotle dok zavisnost $v = v(Q)$ koja ima oblik petlje, ne postane jednoznačna

Međutim, u izvesnim slučajevima ovo se ne može postići ni za bilo koju od vrednosti (X), što ukazuje na nedovoljnu teorijsku podlogu osnovne ideje (vidi sliku 5.3.1.2.8).



Sl. (5.3.1.2.8) Krive zapremine na deonici Čuprija - Bagraan, za talas u decembru 1955. godine

Grubo uzevši, obrazac (5.3.1.2.6) može da posluži kao pokazatelj u kojoj mери koji od proticaja utiče na formiranje zapremine, odnosno da li treba uzeti u obzir i ulazni i izlazni proticaj, ili samo jedan od njih.

U slučaju kada se su analize krivih zapremine proticajnih tokova u nekim delovima reke vrše na osnovu rezultata ovih analize prikazani su delimično u tabeli (5.3.1.2.I).

Rezultati iz pomenute tabele nedvosmisleno pokazuju, i to za sve analizirane slučajeve, da izlazni proticaji ostaju u potpunosti bez formiranja zapremine talasa, tako da promena zapremine talasa koristeći se u funkciji od talasnog proticajnog talasa se ne može upotrebiti, ali skoro sigurno se može tvrditi da važi za ravničarske reke sa širokom inundacijom i malim uzdužnim padovima).

Ove konstatacije je značajna kada se ima u vidu činjenica da je proračun sa krivama zapremine proticajnih tokova $V = V(Q)$, za tri nedovoljni i od strane autora ovog obzira uslova i uticaja uslova proticajnog talasa.

U ovom slučaju se može reći da je jednačina (5.3.1.2.6). Naime, smisao ovog jednadžbe je da se postavi mogućnost definicije funkcije $V = V(Q)$ pomoću nekog matematskog izraza. Posmatrano sa ovog aspekta, pomenute jednačina gubi svoj značaj, postoje veštačko transformisane krive zapremine na ono što nam iz nekih razloga konvenira, nema nikakvog smisla. Potrebna za uvođenjem jednadžbi drugih oblika postoji, ali pod pretpostavkom da se to postoji neka teorijska osnova.

U tom smislu interesantna je ideja o uvođenju tzv. karakteristične teorije [21] koja ima tu osobinu da je kriva zapremine te teorije jednodimenzionalna funkcija proticajnog talasa.

Kao što je dobro poznato, u slučaju stacionarnog toka važi neprékidna, jednoznačna funkcionalna zavisnost

$$Q = Q(V) \quad (5.3.1.2.9)$$

Isto tako se može napisati da je

$$V = V(Q) \quad (5.3.1.2.10)$$

Pošto izvod $\frac{dV}{dQ}$ ima pozitivnu vrednost, može se napisati sledeća jednačina:

$$W = \tau \cdot dQ \quad (5.3.1.2.11)$$

Parametar (τ) ima razmeru vremena i predstavlja ono vreme u toku koga kroz bilo koji poprečni profil rečne deonice protokne zapremina vode jednaka zapremini vode akumuliranoj u toj deonici. Izraženo pomoću konačnih priraštaja, vreme (τ) se može izraziti na sledeći način:

$$\tau = \frac{\Delta V}{\Delta Q} \quad (5.3.1.2.12)$$

Iz ove jednačine se može zaključiti da je (τ) vreme koje je neophodno za prelaz toka iz jednog u drugi stacionarni režim.

Pošto je proces transformacije povezan sa jednom rečnoj deonici sličan onome u akumulaciji, a znamo da u slučaju akumulacije važi jednoznačna zavisnost $V = V(Q)$, postavlja se pitanje može li se na neki način odrediti deonica takve dužine, čiji uticaj će biti identičan uticaju akumulacije. Drugim rečima, može li se odrediti deonica takvih karakteristika za koju se između vooostaja na sredini i proticaja kroz nizvodni granični profil važi jednoznačna veza?

REKA I POTEZ		N ^o	Godina izdavanja ve talasa	Odnos uticaja ulaznog i izlaznog protoka K
Velika Morava	ĆUFRIJA- BAGRAN	1	1954	0.00
		2	1955/II	0.00
		3	1955/XII	0.00
		4	1957	0.00
		5	1958	0.00
- " -	BAGRAN- MARKOVAČKI MOST	6	1954	0.00
		7	1955/II	0.00
		8	1955/XII	0.00
		9	1957	0.00
- " -	MARKOVAČKI MOST- LJUBIČEVSKI MOST	10	1958	0.00
		11	1954	0.30
		12	1955/II	0.30
		13	1955/XII	0.70
		14	1957	0.20
Drina	FOČA- BAJINA BASTA	15	1958	0.00
		16	1948	0.00
		17	1955/II	0.00
		18	1955/XII	0.00
- " -	BAJINA BASTA- ZVORNIK	19	1957	0.00
		20	1940	0.00
		21	1948	0.00
		22	1955/XII	0.00
- " -	SR. MIROVICA	23	1957	0.00
		24	1940	0.10
		25	1955/XII	0.10
Sava	LONJSKO-POLJE ST. GRADIŠKA	26	1957	0.20
		27	1925	0.00
		28	1937	0.00
		29	1940	0.00
		30	1947	0.00
		31	1952	0.10

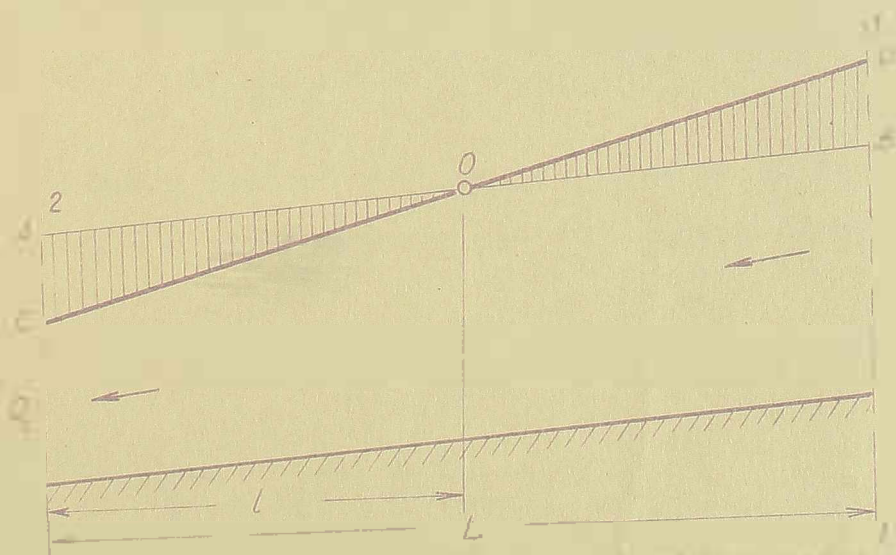
Ukoliko takva jedna deonica postoji, za nju bi morala znači, da važi jednoznačna zavisnost proticaja i vodostaja i u uslovima nestacionarnog režima, data sledećom jednačinom:

$$Q = Q_{STAC.} + Q_{DOP.} = \frac{E}{T} (V_{STAC.} + V_{DOP.}) \quad (5.3.1.2.13)$$

gde su sa indeksom "STAC." obeležene vrednosti koje bi bile u stacionarnom režimu, a sa indeksom "DOP.", veličine za koje se vrednosti proticaja, odnosno zapremine u stacionarnom režimu, razlikuju od onih u nestacionarnom.

Već smo naglasili da ovakva zavisnost praktično ne postoji u prirodnim tokovima. Ukoliko međutim budemo neki način odredili dužinu deonice za koju se važi jednačina $v = V = V(Q)$, onda se takva deonica pod istim uticajem transformaciju povodnja, kao i njoj pripadajući površini akumulacioni basen. Ovakva rečna deonica bi se nazvala karakteristična.

Karakteristična deonica bi se mogla predstaviti kao na slici (5.3.1.2.14), odakle se vidi da je na



Slika 5.3.1.2.14 Karakteristična deonica

izvesnom odstojanju od nizvodnog profila nivo vode pri nestacionarnom režimu je jednak nivou pri stacionarnom režimu. S obzirom na ovo, veza proticaja u nizvodnom profilu i vodostaja u profilu na odstojanju (1), mora biti jednoznačna. Pošto su šrafirane površine (ACC) i (BDO) jednake po veličini, a s obzirom na jednoznačnu vezu proticaja u profilu (2) i vodostaja u profilu na odstojanju (1), to između proticaja u nizvodnom profilu i brzine na rečnoj seonici dužine $L = 2 l$, mora biti jednoznačna.

Jedna rečna seonica će biti karakteristična ukoliko su ispunjeni sledeći uslovi:

a/ dužina karakteristične seonice mora biti konstantna bez obzira na veličinu proticaja za koji se računava;

b/ dužina karakteristične seonice ne sme zavistiti od parametara nestacionarnog režima.

Iz Chezy-jeve jednačine za proticaj može se lako pokazati da je odnos proticaja u stacionarnom i nestacionarnom režimu pri jednom istom nivou jednak odnosu drugih korenova odgovarajućih padova:

$$Q/S_{STAC} = S^{1/2}/S_{STAC}^{1/2} \quad (5.3.1.2.15)$$

Pada u nestacionarnom režimu može se izraziti kao zbir pada u stacionarnom režimu i nekog dopunskog pada

$$S = S_{STAC} + S_{DOP} \quad (5.3.1.2.16)$$

odnosno

$$\sqrt{S} = \sqrt{S_{STAC} + S_{DOP}} \quad (5.3.1.2.17)$$

Kod ravničarskih tokova, vrednost pada (S_{DOP})

je zanemarljive mala u odnosu na (S_{STAC}), tako da se koristeći metode približnog računanja izraz (5.3.1.2.17) može napisati:

$$\sqrt{S} = \sqrt{S_{STAC} + S_{DOP}} \approx \sqrt{S_{STAC}} \cdot \left(1 + \frac{1}{2} \cdot \frac{S_{DOP}}{S_{STAC}}\right) \quad (5.3.1.2.18)$$

Na osnovu gornje jednačine izraz za proticaj

lasi:

$$Q = C_s \cdot \sqrt{H} \cdot \sqrt{S_{STAC}} \cdot \left(1 + \frac{1}{2} \cdot \frac{S_{DOP}}{S_{STAC}}\right) \quad (5.3.1.2.19)$$

Prema tome, dopunski proticaj uslovljen nestacionarnošću pojave dat je sledecim izrazom:

$$S_{DOP} = \frac{1}{2} S_{STAC} \cdot \frac{S_{DOP}}{S_{STAC}} \quad (5.3.1.2.20)$$

Pod pretpostavkom da se kriva proticaja u bilo kome profilu posmatrane deonice ne menja, kao i da se veza priraditaja vodostaja i odgovarajucih proticaja u stacionarnom i nestacionarnom režimu može izraziti sledećom jednačinom

$$\frac{\Delta Z}{\Delta Z_{STAC}} = \frac{\Delta Q}{\Delta Q_{STAC}} \quad (5.3.1.2.21)$$

dobijano izraz za veličinu promene vodostaja u nestacionarnom režimu:

$$\Delta Z = \frac{1}{2} \cdot \frac{Q_{STAC}}{S_{STAC}} \cdot \frac{\Delta Z_{STAC}}{\Delta Q_{STAC}} \cdot S_{DOP} \quad (5.3.1.2.22)$$

Posto je

$$\Delta Z = 1 \cdot \Delta S_{DOP} \quad (5.3.1.2.23)$$

to se dobija konačno za polovinu širine karakteristične deonice

$$1 = \frac{Q_{STAC}}{S_{STAC}} \cdot \frac{\Delta z_{STAC}}{\Delta Q_{STAC}} \quad (5.3.1.2.24)$$

odnosno, dužina cele deonice iznosi:

$$L = 2l = \frac{Q_{STAC}}{S_{STAC}} \cdot \frac{\Delta z_{STAC}}{\Delta Q_{STAC}} \quad (5.3.1.2.25)$$

Na ovaj način je definisana deonica poredjene dužine, za koju važi jednoznačan odnos između protoka i zapremine korita.

Postavlja se pitanje šta se dešava ukoliko se konačno usvojena dužina karakteristične deonice ne podudara sa računskom (npr., profil u kome nas interesuje stacionarna brzina da se odnosi na profil računске karakteristične deonice).

Dužina karakteristične deonice može uticati na tačnost proračuna isključivo preko krive zapremine - ukoliko odstupimo od tačno sračunate dužine karakteristične deonice, neće važiti pretpostavka o jednoznačnosti krive $V = V(Q)$.

Ukoliko se usvoji kraća dužina karakteristične deonice od sračunate, kriva zapremine V imati bitiju, što znači da se naš proračun bitije, s obzirom da radimo sa jednoznačnom zavisnošću, odnosi na veću vrednost brzine. A to bi značilo, da pri proračunu većnog silišnog u području nultog valjivosti naše brzine lokijakog odnosa veće vrednosti, a pri opadaju nešto niže. Na taj način bi se greške donekle kompenzirsale. Pretpostavimo da je naša računске deonice dva puta manja od stvarne. U svakom slučaju greške bi bile svakako u rasponu greške do koje bi došlo kada bi se proračun odvijao na nekoj drugoj krivoj $V = V(Q)$.

Na sličan način se može pokazati da usvajanje veće dužine karakteristične deonice od stvarne ne bi

dovelo do znatnih odstupanja.

U zaključku se može reći da odstupanje od sračunatih dužina karakterističnih deonica ne utiče bitno na tačnost rezultata. Isto tako, ukoliko je neophodno iz nekih specifičnih razloga menjati dužinu karakteristične deonice za razne proticaje, od ovoga ne treba *a priori* odustati. Postupak je nešto obimniji, ali je tačnost u svakom slučaju zadovoljavajuća.

Kada je već reč o krivoj zapremine, treba pomenuti i mogućnost određivanja vremena propagacije poplavnih talasa duž neke deonice pomoću zavisnosti $V=V(Q)$. Kriva zapremine je kao što je već receno, definisana zavisnošću $V = V(Q)$ koja nacrtana u koordinatnom sistemu (Q, V) predstavlja obično krivu liniju u vidu petlje. Tangenta na liniju zapremine određuje vreme propagacije, pošto je

$$\tau = \frac{V}{aQ} \quad (5.3.1.2.26)$$

Pošto linija zapremine korita sadrži u sebi uticaje i protočnog i neprotočnog dela korita, to je ovako definisano vreme propagacije ispravno.

Brzina propagacije se dobija kao tangenta na krivu proticaja*, i data je sledećim izrazom

*/ Ovaj izraz se dobija na osnovu uprošćenih teorijskih analize u kojima se talas posmatra kao uniformno-progresivni fascikel, u čijem toku vladaju stacionarni režim. Iz takvu tematizaciju iz jednodimenzionalne kretanja dobija se izraz za brzinu propagacije talasa.

(117-117-117)

$$d_H = \frac{d}{H} = \frac{d}{H}$$

gde je B - širina korita, H - srednja dubina toka, a d - srednja propagacija.

I ovaj za izraz krive... i vreme, odnosno brzina propagacije, ukazuje na to da kriva... pa.

Može se tako vreme propagacije... se može nezavisno od krivih zapreine definisati i pomoću... i pojedinačnih profila... vodotoka.

Ukratko, pošli smo od pretpostavke da se oblik... vrhu može dovoljno tačno aproksimirati parabola... četiri tačke, u vidu Lagrangeovog interpolacionog polinoma. Na ovaj način je omogućena... definicija trenutka pojave vrha talasa u jednom... profilu rečnog toka. Vreme koje protekne između pojave vrha... i dva različita rečna profila... vreme propagacije, dok rastojanje tih dva... podeljeno sa vremenom propagacije, daje brzinu propagacije.

Opšta funkcija $y = f(t)$, gde $y_0, y_1, y_2, \dots, y_n$ predstavljaju relativne vodostaje, a t_0, t_1, \dots, t_n vreme u časovima, u momentu pojave odgovarajućih vodostaja, ima sledeći oblik:

$$z = f(t) = \frac{(t - t_1)(t - t_2) \dots (t - t_n)}{(t_0 - t_1)(t_0 - t_2) \dots (t_0 - t_n)} Y_0 + \frac{(t - t_0)(t - t_2) \dots (t - t_n)}{(t_1 - t_0)(t_1 - t_2) \dots (t_1 - t_n)} Y_1 + \dots + \frac{(t - t_0)(t - t_1) \dots (t - t_{n-1})}{(t_n - t_0)(t_n - t_1) \dots (t_n - t_{n-1})} Y_n \quad (5.3.1.2.28)$$

Pri tome je:

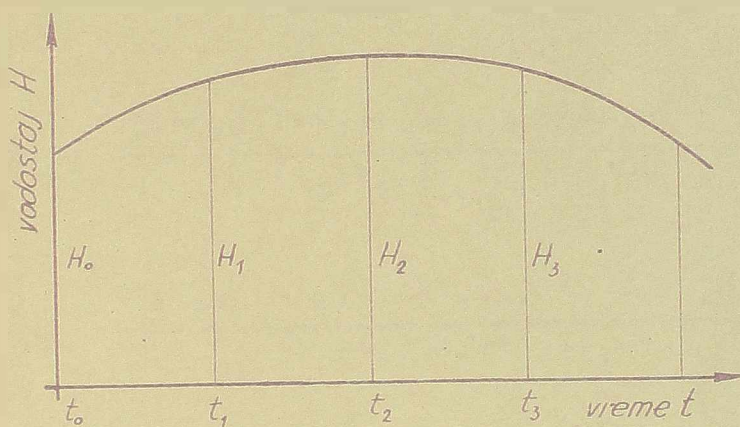
$t_0 = 0.00$ h	$Y_0 = H_0 - H_0 = 0$
$t_1 = 24.00$ h	$Y_1 = H_1 - H_0$
$t_2 = 48.00$ h	$Y_2 = H_2 - H_0$
$t_3 = 72.00$ h	$Y_3 = H_3 - H_0$

Oznake su date na slici (5.3.1.2.29)

Jednačinu diferenciramo po(t) i izjednačujemo sa nulom, da bi dobili traženu vrednost - moment prolaska vrha talasa kroz profil vodomerne stajke. U opštem obliku ta jednačina glasi:

$$= \frac{(t - t_2)(t - t_1) + \dots (t - t_{n-1})(t - t_n)}{(t_0 - t_1)(t_0 - t_2) \dots (t_0 - t_n)} Y_0 + \frac{(t - t_0)(t - t_n) + \dots (t - t_{n-1})(t - t_n)}{(t_1 - t_0)(t_1 - t_2) \dots (t_1 - t_n)} Y_1 + \dots + \frac{(t - t_0)(t - t_2) \dots (t - t_{n-2})(t - t_n)}{(t_n - t_1)(t_n - t_2) \dots (t_n - t_{n-1})} Y_n \quad (5.3.1.2.29)$$

Kao što smo napomenuli, u našoj aproksimaciji
 vodostaja H na polinomu trećeg stepena:



Sl. (5.3.1.2.29) Aproksimacija temena
 talasa parabolom

$$\begin{aligned}
 Y_0 &= \frac{(t - t_2)(t - t_3) + (t - t_1)(t - t_3) + (t - t_1)(t - t_2)}{(t_0 - t_1)(t_2 - t_2)(t_0 - t_2)} \\
 + & \frac{(t - t_2)(t - t_3) + (t - t_0)(t - t_3) + (t - t_0)(t - t_2)}{(t_1 - t_0)(t_1 - t_2)(t_1 - t_3)} \\
 + & \frac{(t - t_1)(t - t_3) + (t - t_1)(t - t_0) + (t - t_0)(t - t_3)}{(t_2 - t_0)(t_2 - t_1)(t_2 - t_3)} \\
 + & \frac{(t - t_0)(t - t_2) + (t - t_1)(t - t_2) + (t - t_0)(t - t_3)}{(t_3 - t_0)(t_3 - t_1)(t_3 - t_2)} \quad Y_3
 \end{aligned}$$

(t.311.2.31)

Kada uvrstimo vrednost t u Y_0

$$\begin{aligned}
 H' = (H_0 - H_0) \cdot & \frac{(t - t_2)(t - t_3) + (t - t_1)(t - t_3) + (t - t_2)(t - t_1)}{(t_2 - t_1)(t_3 - t_2)(t_3 - t_1)} \\
 - (H_1 - H_0) \cdot & \frac{(t - t_2)(t - t_3) + (t - t_0)(t - t_3) + (t - t_0)(t - t_2)}{(t_2 - t_0)(t_3 - t_2)(t_1 - t_3)} \\
 + (H_2 - H_0) \cdot & \frac{(t - t_1)(t - t_3) + (t - t_1)(t - t_0) + (t - t_0)(t - t_3)}{(t_2 - t_0)(t_2 - t_1)(t_2 - t_3)} \\
 + (H_3 - H_0) \cdot & \frac{(t - t_0)(t - t_1) + (t - t_1)(t - t_2) + (t - t_0)(t - t_2)}{(t_3 - t_0)(t_3 - t_1)(t_3 - t_2)}
 \end{aligned}$$

(5.3.1.2.32)

i sredimo ovu jednačinu, dobićemo kvadratnu jednačinu koja u opstem obliku glasi:

$$A \cdot t^2 + B \cdot t + C = 0 \quad (5.3.1.2.33)$$

Gde su A, B i C konstante date izrazima:

$$A = H_3 - 3H_2 + 3H_1 - 5H_0$$

$$B = 408 \cdot H_0 + 264 \cdot H_1 - 192 \cdot H_2 - 48 \cdot H_3 \quad (5.3.1.2.34)$$

$$C = 6.528 \cdot H_0 - 5.184 \cdot H_1 - 1.728 \cdot H_2$$

$$t = \frac{-B \pm \sqrt{B^2 - 4AC}}{2A}$$

Prema tome uošlo se do rešenja jednačine (5.3.1.2.33) koje je predstavljeno jednačinom (5.3.1.2.34) i (5.3.1.2.35) u zavisnosti od toga da li se radi o jednoj ili dve stanicama.

U ovom načinu se relativno lako dolazi do rešenja jednačine (5.3.1.2.33) i (5.3.1.2.34) i (5.3.1.2.35) u zavisnosti od toga da li se radi o jednoj ili dve stanicama, na osnovu elemenata konkretnih, oštećenih ta-

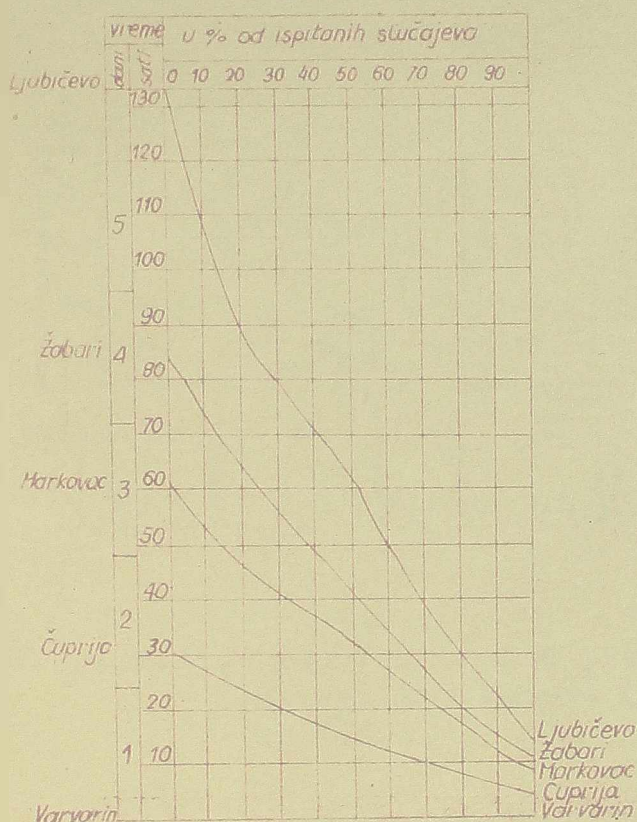
Ovaj podatak može biti vrlo interesantan i može se iskoristiti za izradu neke vrste nomograma, pomoću kojeg bi se za određene karakteristike talasa moglo razmatrati vreme i brzina propagacije talasa, kao neophodan element kratkoročnih prognoza.

Na reku Veliku Moravu ispitani su ekstremni talasi velike vode u proteklom periodu od 1930-1955. godine, u koje su opažani vodostaji za svih razmatranih slučajeva.

Dobijeni podaci o vremenu propagacije talasa u odnosu na veličinu izlaska izvan normalnog vodostaja, sredjeni su po veličini i određena im je učestalost pojave u odnosu na ukupan broj posmatranih slučajeva. Na osnovu ovih podataka izrađeni su dijagrami koji predstavljaju učestalost pojave talasa u Velikoj Moravi.

Rečima iskazan dijamant na sl. (5.3.1.2.36) glasi: za jednu određenu deonicu vreme propagacije talasa u $x\%$ slučajeva je veće, odnosno u $(100-x)\%$ slučajeva manje od x u konkretnom slučaju. Pri tome treba voditi računa da ovako dobijeni dijagrami predstavljaju vreme propagacije nekog imaginarnog talasa, pošto jednoj istoj učestalosti na rečnom toku, ne odgovara isti

Na slici (5.3.1.2.36) vidi se da su granice u kojima se kreće vreme propagacije talasa vrlo široke (ekstremne vrednosti se razlikuju za deset i više puta). Ovo je međjutim logično kada se ima u vidu činjenica da su analizirani obuhvaćeni svi talasi u periodu od 1930 do 1955 godine, što znači da su do-



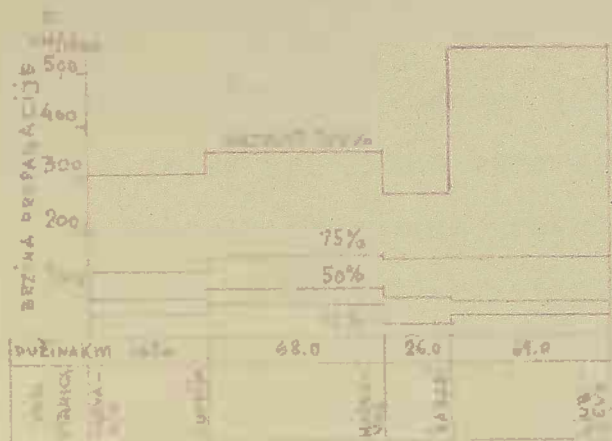
Sl. (5.3.1.2.36) Vreme propagacije poplavnog talasa na Velikoj Moravi (obrađen period od 1930. do 1955. godine)

bijenim dijagramima obuhvaćeni i veliki i mali talasi, koji se između ostalog razlikuju i po brzini kretanja.

Iz dijagrama vremena propagacije talasa može se konstruisati i dijagram brzine propagacije talasa duž rečnog toka, za slučajeve različite učestalosti pojave.

Vrednost ovog dijagrama delimično je umanjena time što ne odgovara stvarnim talasima, tako da se brzina propagacije ne može povezati sa ostalim konkretnim karakteristikama rečnog toka (veličinom proticaja npr.)

I pored ove primedbe, dijagram na sl. (5.3.1.2.36) može se praktično iskoristiti u sledeće svrhe: za prognoziranje trenutka vremena u kome se može očekivati pristizanje bilo kog talasa u bilo koji nizvodni profil. Drugim rečima, sa sigurnošću se može očekivati da brzina kretanja poplavnog talasa neće biti manja, niti veća od jedne određene vrednosti.



31. (5.3.1.2.37) Dijagram brzine propagacije talasa na Velikoj Moravi (period od 1930. do 1955.)

5.3.1.3. Metoda trenutnih režima po Arhangelskom

Ova metoda se ne razlikuje bitno od izvorne metode Bernadskog. Razlika je uglavnom ta što je ova grafoanalitička i vrlo pogodna za proračune vezane za prirodne tokove. To je bio isključivi razlog da smo se na njoj zadržali nešto duže.

Polazimo od osnovnih jednačine izvedenih u prethodnoj tački:

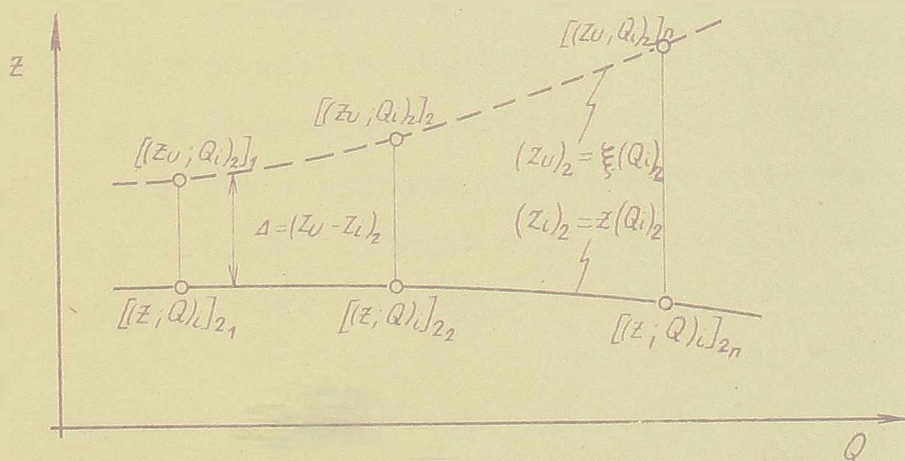
$$\frac{(Q_u)_2 + (Q_u)_1}{2} = \frac{S}{\sqrt{\Delta t}} \cdot \sqrt{(z_u)_2 - (z_u)_1} \quad (5.3.1.19)$$

$$\left(\frac{Q_u}{2}\right)_2 \Delta t - \left(\frac{Q_u}{2}\right)_1 \Delta t = S_2 - S_1 \quad (5.3.1.1.10)$$

koje predstavljaju dve algebarske jednačine sa jednim parametrom, koje se približno rešavaju grafoanalitički.

Za potrebe proračuna prethodno se konstruišu pomoćni dijagrami $z = z(Q)$. Pretpostavimo da je u pitanju računska deonica dužine (Δl) , za koju na osnovu poznatog uzvodnog graničnog uslova datog u vidu ulaznog hidrograma i na osnovu poznatih elemenata režima toka u prethodnom trenutku $(t)_1$, treba odrediti odgovarajuće elemente u sledećem trenutku $(t)_2$.

Kao što je već rečeno, prethodno konstruišemo pomoćne dijagrame; na osnovu uzvodnog graničnog uslova $(Z_u)_2$, koji odgovara trenutku $(t)_2$, i za nekoliko vrednosti parametra $(Z_l)_2$, rešimo osnovne jednačine. Kao rezultat, u krajnjem profilu posmatrane deonice dobija se nekoliko pari vrednosti za nivo $(Z)_2$ i proticaj $(Q)_2$. Svakom paru ovih vrednosti odgovara po jedna tačka u ravni (z, Q) , koje spojene daju krivu sračunatih režima (puna linija na slici 5.3.1.3.1).



Sl. (5.3.1.3.1) Pomoćni dijagram za proračun po metodi Arhangel'skog

U istoj ravni može se konstruisati na osnovu parametara $(Z_u)_2$ i odgovarajućih sračunatih vrednosti $1, 2, 3, \dots, n$

osti $(Q_i)_2$, kriva mogućih režima

$$(Z_U)_2 = \left\{ (Q_1)_2 \right. \quad (5.3.1.3.2)$$

prikazana na sl. (5.3.1.3.2) crtičastom linijom. Razlike

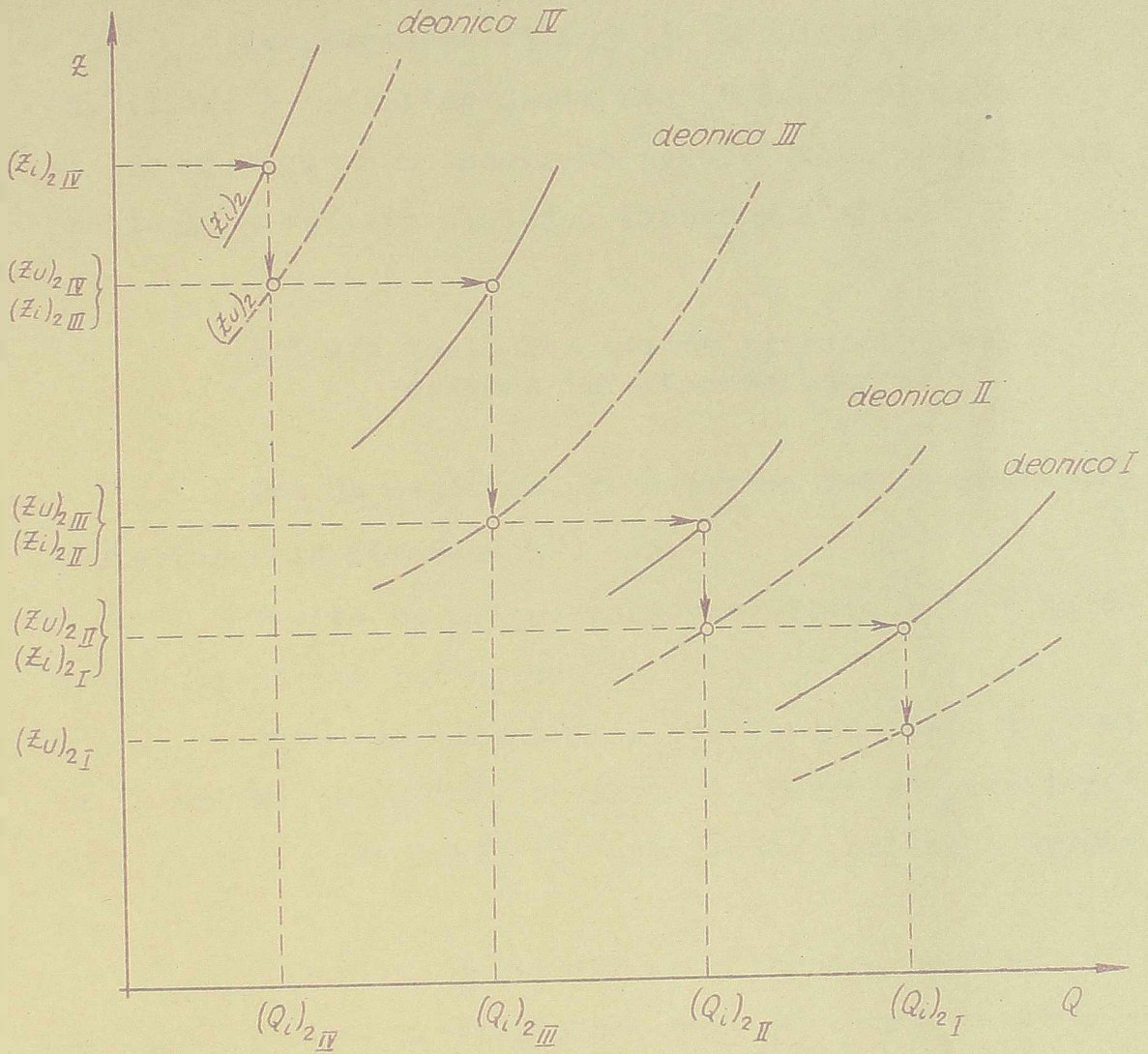
$$\left\{ (Q_1)_2 - Z \cdot (Q_1)_2 \right.$$

razlike se mogu računati za različite reži-
me proticaja u nizvodnom profilu.

U ovom slučaju nizvodni reži-
me je u vidu nivoograma $Z = Z(t)$, i prethodno pripre-
mljene tabele izračuna za sve deonice $1, 2, 3, \dots, n$ posma-
trane rečne deonice dužine (L) , počevši od najizvodni-
jeg profila mogu se sukcesivno, idući od jedne do druge
deonice, odrediti elementi režima rečnog toka, kao što je
to pokazano na slici (5.3.1.3.3). Pri tome je izlazni
profil prethodne deonice ulazni za sledeću. Isto važi
i za sračunate vodostaje, odnosno proticaje; izlazni
hidrogram, odnosno nivoogram prethodne deonice identičan
je ulaznom hidrogramu odnosno nivoogramu sledeće deonice.

S obzirom na isključenje uticaja sile inerci-
je, odnosno ograničenja člana $\frac{v^2}{g \cdot R}$ u rečnim tokovima,
ograničen je domeni primene metode trenutnih režima. Da
bi se na neki način izbegao ovaj nedostatak, razrađen
je postupak proračuna kojim se uzima u obzir i iner-
cija člana $\frac{v^2}{g \cdot R}$ u rečnim tokovima. Ova metoda je
primenjena u rečnim tokovima u kojima je
inercija člana $\frac{v^2}{g \cdot R}$ koja je veličina inercionog člana
ne može da se zanemari u odnosu na član $\left(\frac{v^2}{g \cdot R} \right)$.

Ako se pretpostavi da su dužina računске deo-
nice (Δl) i računskog intervala (Δt) izabrani tako da
važi sledeća približna jednakost:



Proračun nestacionarnog rešnja za reonu deonicu izabrjenu na Z i Q pomoću pomoćnih dijagrama.

$$\left(\frac{1}{v}\right) \frac{\partial v}{\partial e} \approx \frac{1}{2} \cdot \frac{\partial}{\partial e}$$

onda je d ... z ... u ...

$$Y_{20V} = (Y_{20V})_1 - \frac{1}{100} \cdot \frac{1}{1} \cdot \frac{1}{2} \cdot \frac{(Y_{20V})_1 - (Y_{20V})_d}{\Delta}$$

Jednovremeno rešenje je jednačina kontinuiteta (5.3.1.10) i dinamičke jednačine (5.3.1.3.5) može se predstaviti u vidu nomograma pomoću kojih se rešavaju problemi sa velikim uticajem inercionih sila.

5.3.1.4 Varijanta metode trenutnih rešima nazvana "kvazi-stacionarna"

Ovo je najčešće primenjivana metoda proračuna nestacionarnih fenomena kod nas.

Bezira se na osnovnim postavkama koje važe za metodu trenutnih rešima uopšte.

Bitna karakteristika ove metode jeste ta, što se jednačina svedena na Chezy-jevu, zanemarenjem uticaja inercionih sila, zamenjuje krivom zapreminu

U pogledu jednačine kontinuiteta ne cine se nikakve dopunske pretpostavke, tako da zadržava svoju punu važnost.

Ponovićemo osnovne jednačine:
dinamička jednačina

$$Q = Q(V) \tag{5.3.1.4.1}$$

jednačina kontinuiteta*

$$\left(\bar{Q}_1\right) - \left(\bar{Q}_2\right) = \frac{\Delta T}{\Delta t} \tag{5.3.1.4.2}$$

* Ukoliko postoji bočni doticaj (Q_b), on se dodaje ulaznom proticaju (Q), tako da zbir $(Q + Q_b) = (Q_u)'$, predstavlja novi ulazni proticaj (Q_u) za posmatranu seonicu. Ukoliko ne postoji koincidencija ulaznog i bočnog proticaja (nepodudarenje pojave talasa na ističnoj reci i pritoci), ovo se mora uzeti u obzir, vodeći računa o vremenu propagacije talasa od ulaznog profila do ušća pritoke.

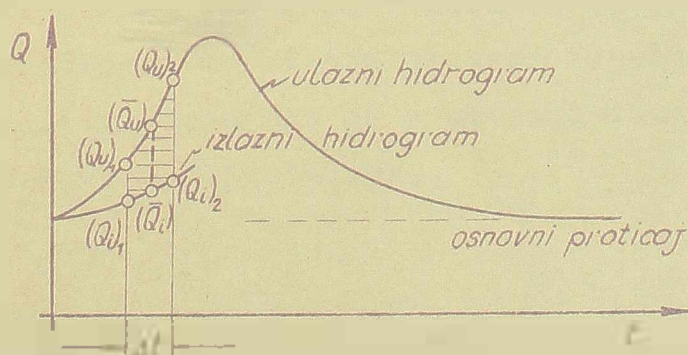
pri čemu je sa (ΔV) obeležena razlika zapremine ($V_1 - V_2$).

Proračun se vrši u kratkim vremenskim intervalima (Δt), čija dužina je uslovljena intenzitetom nestacionarne promene; blaže promene dozvoljavaju primenu dužih računskih vremenskih intervala i obratno.

Proračun počinje sa stacionarnog stanja (obično niskog vodostaja i odgovarajućeg proticaja) i na njemu se i završava.

S obzirom da u pogledu jednačine kontinuiteta nisu vršene nikakve aproksimacije, tačnost proračuna po ovoj metodi zavisi isključivo od tačnosti krive zapremine $V = V(Q)$, odnosno od toga koliko verno ova zavisnost predstavlja dinamičku jednačinu; ukoliko si osnovne hipoteze bliže stvarnosti, utoliko je i tačnost rezultata biti veća.

Postupak oko proračuna je relativno jednostavan: na osnovu poznatih elemenata toka u uzvodnom profilu (proticaja i odgovarajuće zapremine) u prethodnom i sledećem trenutku, i veličine proticaja i zapremine u uzvodnom profilu u prethodnom trenutku, i pretpostavljene veličine proticaja u nizvodnom profilu u sledećem trenutku, vrši se zadovoljenje leve i desne strane jednačine (5.3.1.4.2). Proračun se vrši sukcesivno i grafički; napredovanje proračuna se prati jednakovremeno i u ravni (Q, t) , kao što je prikazano na slici (5.3.1.4.3).



Sl. (5.3.1.4.3). Detalj proračuna po kvazi-stacionarnoj metodi

6. PROBLEMI KOJI SE NAJČEŠĆE JAVLJAJU
U ANALIZIRANIM REČNIM TOKOVIMA I
U OTVORENIM TOKOVIMA

U toku projektovanja hidrotehničkih objekata obavezno se srećemo sa problemima proračuna nestacionarnih fenomena bilo u otvorenim tokovima, bilo u vodovima pod pritiskom.

U otvorenim tokovima najčešće se javljaju sledeći problemi: analiza propagacije i transformacije poplavnih talasa; promene režima toka uzvodno i nizvodno od brane kao posledica rada hidroelektrane; propagacija strmih talasa nastalih usled naglog uklanjanja pregrade iz rečnog toka (prolom brane); naglo ispuštanje većih zapremina vode iz akumulacionih basena ili rečnih tokova u okviru njihove eksploatacije (rad brodskih prevodnica, propuštanje leda preko brane, ispiranje nanosa, korišćenje vode za potrebe navodnjavanja, snabdevanja naselja vodom).

Analiziraćemo neke od ovih problema na konkretnim slučajevima koji su rešavani u našoj praksi.

6.1. Analiza propagacije i transformacije
poplavnih talasa

Do transformacije poplavnih talasa može doći u prirodnim tokovima i akumulacijama. I u jednom i u drugom slučaju se kao problem najčešće postavlja iznalaženje hidrografa izlaznog talasa (u nekom profilu rečnog toka ako je u pitanju propagacija duž toka, odnosno u profilu brane ako je u pitanju uticaj akumulacije na transformaciju talasa).

6.1.1. Propagacija poplavnih talasa u prirod-
nim koritima. - Do transformacije pop-

lavnih talasa u prirodnim tokovima dolazi iz vise razlo-
ga, od kojih je svaki za sebe specifičan i interesantan
i kao takav biće analiziran:

- transformacija talasa u toku propagacije kroz
prirodno korito

- transformacija talasa usled isključenja inun-
dacionih područja na većoj dužini rečnog toka (izgradnja
nasipa).

- transformacija poplavnih talasa usled isklju-
čenja većih lokalnih inundacionih područja

Svrha prorsčuna je u sva tri slučaja ista: kon-
statovati promene koje će pretrpeti talas određenih ka-
rakteristika, bilo pod uticajem prirodnih faktora, bilo
pod uticajem rada čoveka.

Osnova postupka u rešavanju ovih problema takođe je
ista u sva tri slučaja: kombinacijom hidrološko-hidra-
ulitič studije dolazi se do elemenata hidrograma poplav-
nog talasa u bilo kom profilu rečnog toka za zadate kon-
turne uslove. Posledice međjutim nisu iste, što će se
jasno uočiti iz konkretnih primera koji će biti izloženi
ni.

6.1.1.1 Transformacija poplavnih talasa pod
uticajem prirodnog rečnog toka na reci
Drini.

Analizi uticaja drinskih akumulacija na
njenje velikih voda na ušću Drine u Savu i na Savi niz-
vodno, prethodila je analiza poplavnih talasa u prirod-
nom koritu reke Drine, da bi se došlo do kriterijuma o
veličini uticaja.

Ovom studijom je obuhvaćena analiza poplavnih
talasa na potezu od Foče na Drini do Sremske Mitovice
na Savi. Ovo ukupno rastojanje je bilo podeljeno prema
položaju vodomernih stanica na sledeće međuseonice:

Foča - Bajina Bašta (dužina 134 km)

Bajina Bašta - Zvornik (dužina 97 km)

Zvornik - Sr. Mitrovica (dužina 130 km)

Analizom je ustanovljeno nekoliko opaženih najvećih talasa u proteklom periodu.

Ne ulazeći u probleme čiste hidroloske prirode (nepouzdanost utvrdjenih proticaja, produljeno vrijeme površina neregistrovanog sliva u odnosu na ukupni, itd.), trebalo je konkretno dati odgovor na sledeća pitanja:

- definisati krive zapremine korita na pojedinim deonicama
- konstatovati stepen transformacije konkretnih talasa
- odrediti prosečnu brzinu propagacije talasa

Kriva zapremine za deonicu Foča - Bajina Bašta određena je autogramom bilana. Izlazni hidrogram je bio definisan talasom u profilu vodomerne stanice Bajina Bašta. Definicija ulaznog hidrograma bila je nešto složenija; na deonici između vodomernih stanica Foča i Bajina Bašta reka Drina prima nekoliko značajnih pritoka, što znači da je pri bilansiranju trebalo i njih uzeti u obzir.

Koristeći podatke o proticajima sa vodomernim stanicama Foča na Drini, Vikoš na Cetini, Mesići na Prači i Rado na Linu za definiciju ulaznog talasa, i podatke za vodomernu stanicu Bajina Bašta za definiciju izlaznog talasa (prilog 6.1.A), izvršeno je bilansiranje proticaja (tabela 6.1.B). Na osnovu ovih elementarnih podataka moguće je konstruisati osrednjenu krivu zapremine na deonici Foča - Bajina Bašta, neophodnu za dalje prora-

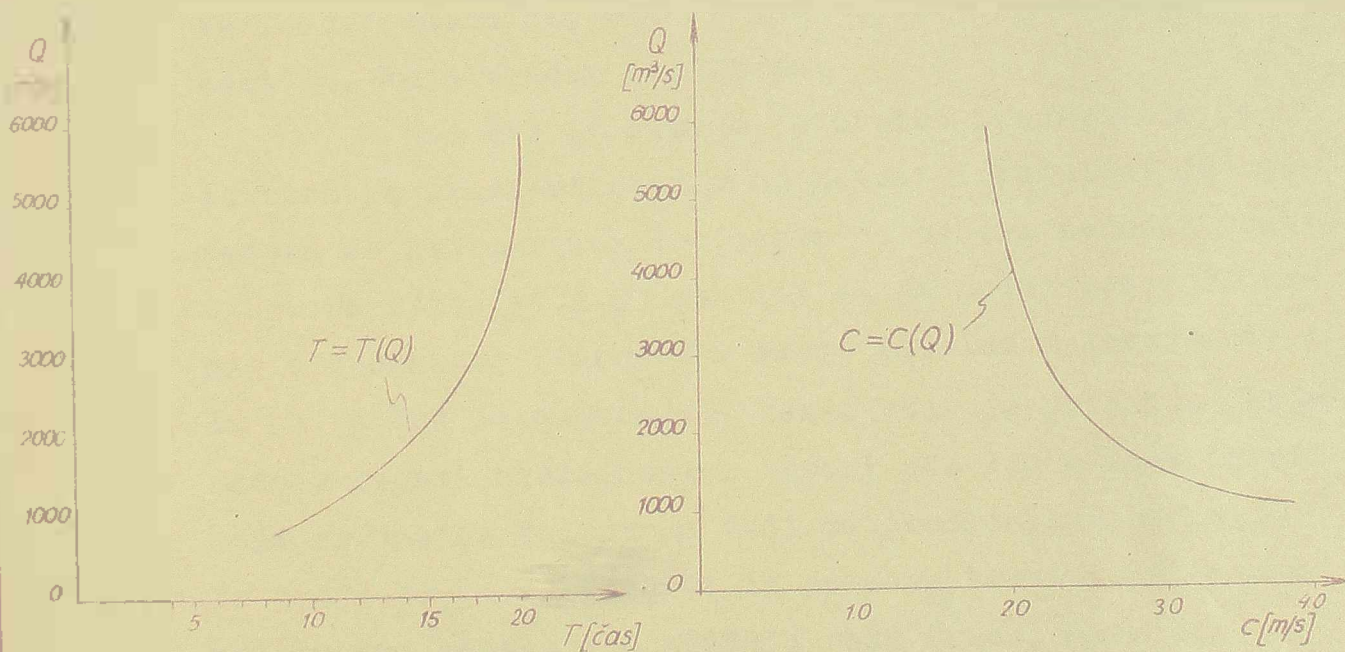
* S obzirom na karakter izlaza, iznešeno podatke samo za deonicu Foča - B. Bašta, i to za talas iz decembra meseca 1952. godine.

seca (prilog 6.1.1.).

U cilju procene mogućnosti primene kvazi-stacionarne metode u analizi propagacije poplavnih talasa u prirodnim tokovima u uslovima jakvi vladaju na reci Drini, izvršen je odgovarajući proračun (tabela 6.1.2 u prilogu), a rezultati proračuna prikazani su u prilogu (6.1.3).

Dobijene krive zapremine (prilog 6.1.6), imaju karakterističan oblik petlje, sa jednom manjom "sekundarnom" petljom, koje je uslovijena složenim oblikom talasa.

Vreme i brzina propagacije poplavnog talasa određeni su preko krive zapremine, pri čemu tangenta na najmanju krivu određuje vreme propagacije. Rezultati su pokazani na slici (6.1.1.1.1)



a/ Vreme propagacije

b/ Brzina propagacije

Sl. (6.1.1.1.1) Vreme i brzina propagacije poplavnih talasa od XII 1964. godine, na reci Drini, na deonici Foča - Bajinska Bašta.

Sa priložene slike se vidi da je vreme propagacije najveće za proticaj od $Q = 1000 \text{ m}^3/\text{sek}$, odnosno brzina propagacije najmanja. Još jednom je potvrđjena činjenica da se najmanje vreme propagacije i maksimalna brzina propagacije, što se objašnjava malim padovima u zoni temena talasa.

Deonica Foča - Bajina Bašta svojom zapreminom izaziva deformaciju poplavnog talasa (slika 6.1.E u prilogu). Veličina spljoštenja je najevidentnija u zoni temena talasa, pošto su vrhovi ulaznog i izlaznog talasa lako uočljivi, pošto se zna da tački koja predstavlja vrh hidrograma ulaznog talasa odgovara tačka u vrhu hidrograma izlaznog talasa. (Pošto svaki proticaj mora da ima, pored brzine ili vremena propagacije i spljoštenje, to se ne može a priori utvrditi koji proticaj na izlaznom hidrogramu odgovara jednom odredjenom proticaju na ulaznom hidrogramu.)

Veličina spljoštenja u temenu osnovnog talasa iznosi $400 \text{ m}^3/\text{s}$, što svakako izaziva i sniženje visokostaja, koje iznosi oko 25 cm.

Što je rečeno, proračun propagacije je izvršen po kvazi-stacionarnoj metodi i rezultat je upoređen sa hidrogramom dobijenim na osnovu merenih podataka. Sa slike (6.1.E) se vidi da je podudaranje stvarnog i računatog hidrograma skoro idealno u gornjem delu (u temenu je najbolje). Neslaganje je prividno najveće u osnovi hidrograma i iznosi oko $100 \text{ m}^3/\text{sek}$ (proticaji računatog talasa su veći od proticaja opazenog). Iz ovoga se da zaključiti da primena kvazi-stacionarne metode ima smisla i u slučaju reke Drine, mada ova u

* Za ovo odstupanje kažemo da je prividno, pošto je ono posledicu toga što se radi uštede u vanjskim izdatcima, zbog malog značaja određivanja tačnih vrednosti proticaja u osnovi hidrograma, sa proračunom koji polazi tačno od trenutka u kome kriva koncentracije izlaznog hidrograma tangira osnovni proticaj.

svom gornjem delu (npr. deonice Foča - D. Bašta) ima znatne padove i ne može se tretirati kao izrazito ravninarski tok.

6.1.1.2. Transformacija poplavnih talasa usled isključenja inundacija

Regulacioni radovi na rečnim tokovima obuhvataju izmedju ostalog i zaštitu ili isključenje inundacionih površina. Ovi radovi dovode do značajnih promena režima oticanja velikih voda, pri čemu veličina ove promene zavisi od stepena isključenja inundacionih područja, koji će pak zavistiti od merodavnih uslova uzvodno, a i deonice koja se regulise i nizvodno od nje.

Upste govoreći, posledice isključenja plavnih površina zavise od funkcije dotičnih inundacija, njihovog rasporeda duž toka i naravno veličina.

Kao što je već pominjano, prema funkcionalnosti inundacije se mogu podeliti na sledeća tri osnovna

tipa:

- protočna inundacija koja u stvari predstavlja povećanje proticajnog profila pri nailasku velikih voda.

- mrtva, neprotočna inundacija, koja ima ulogu retenzijske

- kombinacija protočne i mrtve inundacije, koja se javlja kao najčešći slučaj u prirodi.

Isključenje bilo koga od ova tri tipa inundacionih površina izaziva i odgovarajuće posledice, koje će biti posebno i razmatrati.

1.- Regulacioni radovi obuhvataju isključenje protočne inundacije. - Inundacija nastaje u slučaju glavnog rečnog korita, pri čemu se postupna samo velikim vodama. Sa druge strane protočna inundacija može

... i nastirati u vidu pobočnih rečnih rukavaca, kojim protoku tako tako samo nalaze vode.

Uo posledice isključenja protočne inundacije, možemo do povećanja vodostaja ali ne i povećanja protoka, uzvodno od poteza na kojem je izvršeno zatvaranje korita*. Ovo povišenje vodostaja dovodi do povećanja uzvodnog i sniženja nizvodnog nivoa, pad nivoa vodnog ogledala.

2.- Regulacioni radovi obilovataju isključenjem samo protočne inundacije. Ovaj slučaj je čest u praksi, naročito pri osvajanju novih poljoprivrednih površina, koje u nivoima neregulisanog toka nisu mogle biti podvrgnute većim intenzivnim poljoprivredama.

U ovom slučaju stvariti posledice isključenja ove vrste inundacionih površina, prethodno ćemo pomenuti njihov uticaj na deformaciju poplavnih talasa:

- smanjenje protoka pri nastupu velikih voda, odnosno povećanje pri opadanju

- sniženje vodostaja uzvodno i nizvodno od postatone deonice pri nastupu velikih voda, i obratan proces pri njihovom povlačenju.

- povećanje uzvodnih padova i smanjenje nizvodnih pri nastupu velikih voda i obratno pri povlačenju.

Isključenje protočnih inundacionih površina dovodi do povećanja uzvodnih protoka pri nastupu velikih voda i smanjenju protoka pri opadanju. Povišenje nivoa uzvodno od poteza na kojem je izvršeno zatvaranje korita dovodi do povećanja vodostaja ali ne i povećanja protoka, uzvodno od poteza na kojem je izvršeno zatvaranje korita. Ovo povišenje vodostaja dovodi do povećanja uzvodnog i sniženja nizvodnog nivoa, pad nivoa vodnog ogledala.

*Pri ovome se misli na promene koje će se odigrati neposredno posle sprovođenja regulacionih radova.

važi za vodostaje konstatovane neposredno pred kulminacijom, što se objašnjava time da je u trenutku kulminacije doticaj u inundaciju jednak nuli.

Određivanje transformisanog hidrograma je relativno jednostavno; povišeni talas predstavlja zbir ulaznog proticaja registrovanog u glavnoj reci neposredno uzvodno od inundacionog područja i doticaja pritoka ukoliko se iste uliveju u zoni retenzije koja se isključuje. Ovaj novi, sumirani talas je merodavan za date analize stanovitih deonaca. (Izloženi postupak važi za slučaj kada u profilu neposredno uzvodno od inundacionog područja nije se isključenje predviđja, postoji hidrometrijski profil i tačno definisane krive proticaja). U slučaju da se hidrometrijski profil nalazi nizvodno od inundacionog područja, povišeni talas se mora konstruisati na osnovu izlaznog hidrograma i poznate zapremine retenzije utvrdjene ranije. Postupak je sledeći: izlaznom proticaju (Q_1), merodavnom za vremenski interval (Δt), dodaje se prirastaj proticaja koji je jednak prirastaju zapremine inundacije u tom istom intervalu, svedenom na proticaj, a prema jednačini

$$Q_p = Q_1 + \frac{\Delta V}{\Delta t} \quad (6.1.1.2.1)$$

(Proračun treba sprovesti za neto zapreminom inundacionog područja; od bruto zapremine koja se dobija od strane izvornog toka oduzeti zapreminu glavnog korita).

Kao što je već pomenato, kao posledica isključenja retenzije dolazi do povećanja proticaja i povišenja vodostaja u odnosu na prirodno stanje, pri čemu su ove promene najintenzivnije na deonici nizvodno od retenzije. Prema tome, nizvodni uslovi su ti koji definišu stepen isključenja retenzije. Drugim rečima, ukoliko nizvodni uslovi ne dopuštaju isključenje 100% zapremine retenzije, jedan deo te retenzije se mora

definitivno zaštititi od velikih voda, a drugi planirano koristiti za sniženje ekstremnih velikih voda. Na taj način bi se postigao kompromis u pogledu efekta isključenja retenzionih površina i negativnih posledica na deonicama nizvodno.

3.- Treći slučaj obuhvata kombinaciju prva dva, pa je i efekat kombinovan; pojavu uspora usled isključenja protočne inundacije koji se prostire uzvodno od mesta suženja prati povišenje vodostaja. Pri tome se konstatuje povećanje proticaja na deonicama nizvodno od poteza na kome su izvršeni regulacioni radovi.

Postupak u okviru proračuna posledica na transformaciju talasa bio bi sledeći: prethodno se spor izazvan suženjem, analizirana deonica se izdeli na kraće međudeonice na kojima se neravnomerni režim može aproksimirati ravnomernim, a zatim se izvrši proračun transformacije.

Posledice isključenja inundacionih površina zavise i od njihovog rasporeda duž toka:

- Kontinualnim isključenjem inundacionih površina duž celog toka izazivaju se promene na celoj dužini posmatrane deonice, što znači da se ista mora "razbiti" na više kraćih deonica i ove promene se moraju računati sukcesivno idući od jedne do druge.

- Isključenje velikih inundacionih površina u pojedinim tačkama rečnog toka (niski tereni vezani za glavni tok uzanim prolazima koji bivaju zavijeni pri nailasku velikih voda), izazivaju promene uglavnom nizvodno od tih površina.

- Kombinacija prva dva slučaja predstavlja treći i najčešći. U ovom slučaju do promena dolazi duž celog toka, s tim što one nisu ni približno ravnomerne kao u prvom slučaju; na delovima gde postoje veća inun-

daciona područja koja se isključuju i promene režima su znatnije.

Problem analize posledica isključenja inundacionih površina ilustrovaćemo konkretnim proračunima izvršenim za reku Savu (isključenje Lonjskog Polja, što predstavlja karakterističan primer inudacije sa retenzionim svojstvom) i za reku Veliku Moravu (isključenje protočne retenzije podizanjem nasipa duž celog toka).

Povišenje poplavnih talasa na reci Savi usled isključenja inundacionih površina u oblasti Lonjskog Polja.-

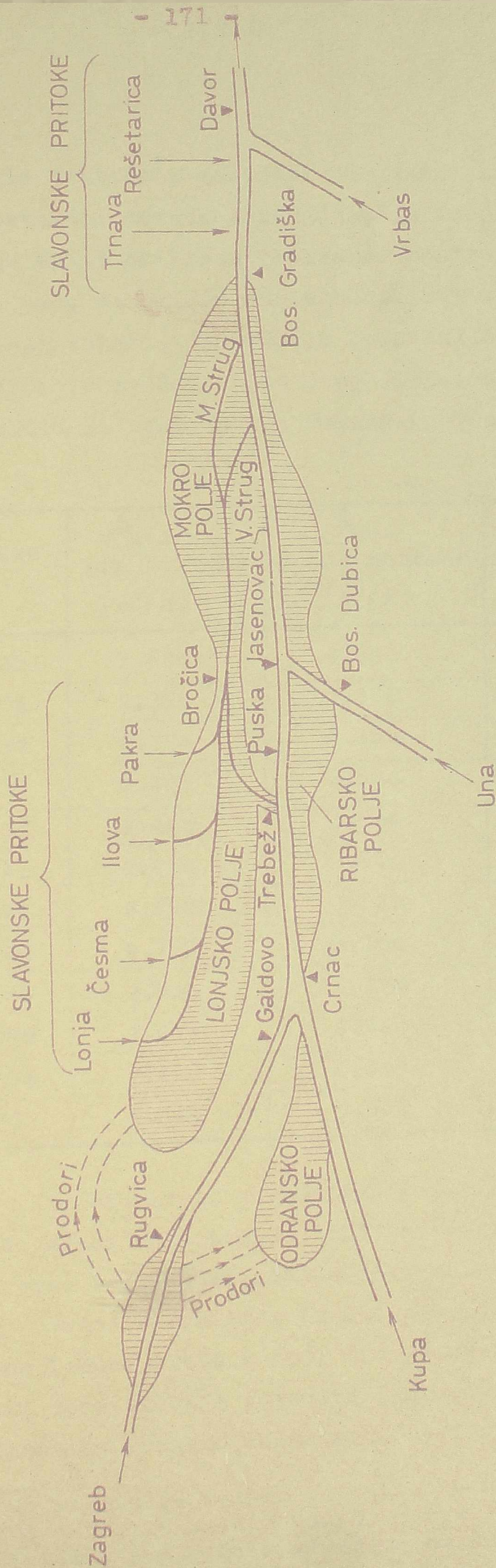
Svrha ove studije je iznalaženje uticaja isključenja Lonjskog polja, koje predstavlja tipičan primer neprotočne retenzije, na povećanje proticaja, odnosno povišenje vodostaja na nizvodnim deonicama.

Da bi se mogle pratiti osnovne koncepcije studije, prilažemo skicu situacije doline reke Save u zoni Lonjskog Polja (sl. 6.1.1.2.2)..

Da bi se došlo do osnovnih podloga neophodnih za sprovođenje ove studije, izvršena je analiza nekoliko talasa katastrofalno velikih voda. Na osnovu ove analize učinjene su izvesne korekcije krivih proticaja koje se metodom bilansa pokazalo da postoje odstupanja, i konačno, konstruisane su kriva zapremine Lonjskog Polja za svaki od posmatranih talasa, u funkciji od izlaznog proticaja u profilu vodomerne stanice Bosanska Gradiska. Oveko dobijene bruto zapremine retenzije Lonjsko Polje umanjene su za veličinu zapremine glavnog korita reke, pošto ova utiče na transformaciju talasa i nakon isključenja retenzije.

Sami anjem proticaja koji se odnose na istodan, konstatovanih u profilima vodomernih stanica Gross (Sava), Bosanska Dubica (Una), i proticaja koji otpada

ŠEMATSKI PRIKAZ SAVE OD ZAGREBA DO DAVORA



Sl. (6.1.1.2.2)

na preostale pritoke, dobijeni su ulazni hidrogrami, pod pretpostavkom totalnog isključenja Lonjskog Polja (Na prilogu 6.1.F prikazan je ovako konstruirana talasa iz 1952/53 god. Na sličan način obrađjeni su i svi ostali posmatrani talasi). Povisenje ovih talasa, nastalo kao posledica isključenja Lonjskog Polja, u prvom nizvodnom profilu na reci Savi u Bosanskoj Gradskoj, iznosi:

Tabela (6.1.1.2.1)

Redni broj	Godina	Q_{max} pre odbrane (m ³ /s)	Q_{max} posle odbrane (m ³ /s)	Priraštaj proticaja (m ³ /s)
1	1925	2.680	4.550	1.870
2	1931	2.390	3.230	840
3	1932	2.790	4.110	1.320
4	1937	2.455	3.500	1.045
5	1939	2.440	3.900	1.460
6	1940	2.600	3.510	910
7	1942	2.652	3.920	1.268
8	1944	2.755	3.700	945
9	1947	2.930	3.790	860
10	1952	2.670	4.000	1.330
11	1954	2.610	4.700	2.090
12	1955	2.540	3.830	1.290

Kao što se iz gornje tabele vidi, nakon eventualnog totalnog isključenja Lonjskog Polja došlo bi do izvanredno velikog povećanja maksimalnih proticaja u profilu Bosanska Gradiška (u slučaju talase iz 1954. godine ono iznosi 2.090 m³/s), što je svakako nedopustivo. Ova konstatacija automatski nameće drugu isključenje retenzije Lonjske Polje može biti samo delimično,

maksimalne proticaja, rečnih pritoka, konstruisanih u istom danu, ima smisla posto su dva vodostaja u rečnici približno podjednako udaljena od profila Bosanska Gradiška.

a nikako potpuno. U konkretnom slučaju je kao granični proticaj, do koga ima smisla dozvoliti povišenje maksimalnog proticaja u profilu Kosanska Graurata, uzimajući u obzir i nizvodne uslove, usvojen onaj od 3.000 m³/s (vidi prilog 6.1.G, na kome je prikazano limitiranje jednog od analiziranih talasa). Onaj ostatak zapremine povišenog talasa između limitiranog proticaja od 3.000 m³/sec i konture hidrograme, morala bi da primi to specijalno pripremljena retenzija, raspoređena negde u zoni Lonjskog Polja. Predstava o tome koliko se zapremine retenzije u ovim uslovima sačuva od plovljenja, može se dobiti iz sledeće tabele:

Tabela (6.1.1.2.II)

Redni broj	Godina	Zapremina retenzije Lonjsko Polje pre odorane m ³ . 10 ⁻⁶	Potrebna retenzija nakon isključenja i limitiranja na 3000 m ³ . 10 ⁻⁶	Δ m ³ . 10 ⁻⁶
1	1925	1.690	717	973
2	1931	1.400	45	1.355
3	1932	1.900	562	1.338
4	1937	1.500	190	1.310
5	1939	1.470	334	1.136
6	1940	1.650	358	1.292
7	1942	1.720	337	1.383
8	1944	1.380	320	1.560
9	1947	2.100	552	1.548
10	1952	1.740	789	951
11	1954	1.660	504	1.156
12	1955	1.520	346	1.174

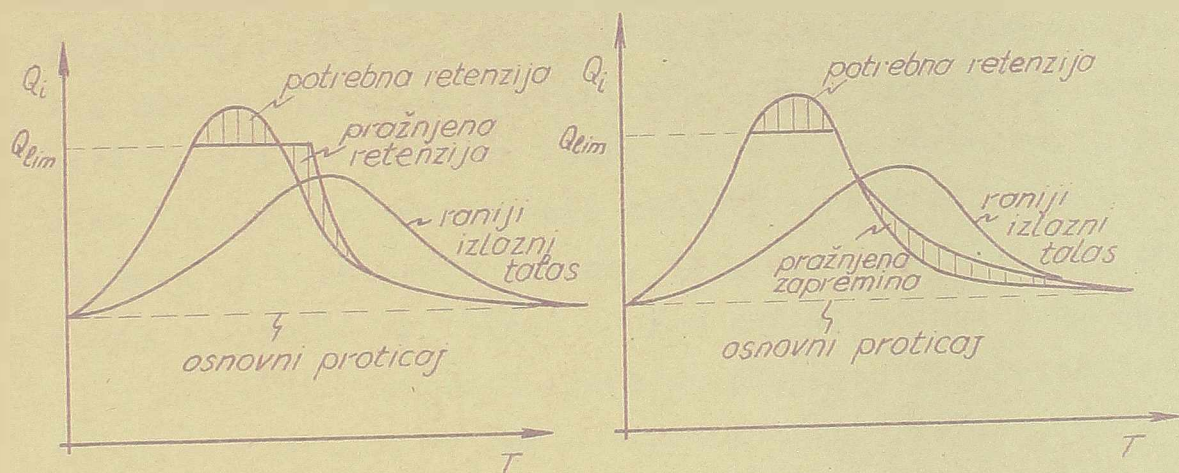
Nakon deficijencije povišenih i potop limitiranih talasa (kao što je onaj prikazan u prilogu 6.1.H) naišlo se na problem deficijencije načina pr...

trolisanih retenzionih područja. Kao što je poznato, za rešenje ovog problema postoje dve mogućnosti:

- pražnjenje počinje onog trenutka kada proticaj na povišenom hidrogramu izlaznog talasa padne ispod Q_{lim}

- pražnjenje počinje nešto docnije, pošto proticaji opadnu ispod limitiranog.

Jedan i drugi slučaj šematski su prikazani na slici (6.1.1.2.2).



a/ Sa pražnjenjem se počinje od proticaja koji je jednak Q_{lim}

b/ Sa pražnjenjem se počinje od proticaja koji je manji od Q_{lim}

Sl. (6.1.1.2.2) Mogućnosti planiranog pražnjenja retenzije

Kao što se sa gornje slike vidi, pražnjenje koje počinje u trenutku kada proticaj na silaznoj strani povišenog talasa dostigne vrednost Q_{lim} nema mnogo opravdanje, pošto su u tom slučaju pogoršani uslovi oticanja velikih voda u odnosu na prirodne.

Iz ovog razloga, u konkretnom slučaju pražnjenje je predviđeno tek kada proticaji opadnu za $500 - 1000 \text{ m}^3/\text{s}$ ispod limitiranog, što traje nekoliko dana. Na ovaj način je postignuto to, da su

znatno smanjeni proticaji na otklonnoj strani izlaznog talasa (vidi sliku 6.1.1.2.2 i prilog 6.1.G).

Promene hidrografa talasa katastrofalno velike voda konstatovane u profilu Bosanska Gradiška, do vešće i do promena na deonicama nizvodno, koje su praktično od još većeg značaja. S obzirom na o to, izvršena je analiza propagacije i transformacije karakterističnih poplavnih talasa na potezu od Bosanske Gradiške do Ranceva. Proračun je izvršen pomoću već standardne, kvazistacionarne metode, uz korišćenje prethodno propremljenih krivih zapremine korita. Pri o ome, trebalo je obratiti pažnju na sledeće: pošto promene izazvane isključenjem Lonjske retenzije neće uticati na efekat nizvodnih pritoka na formiranje talasa, to je konstrukciju hidrografa povišenog talasa u bilo kom nizvodnom profilu, bilo neophodno izvršiti proračun propagacije povišenog i opaženog talasa do pomenutog nizvodnog profila, naći razliku ova dva hidrografa u profilu neposredno uzvodno od nizvodnog, i tu razliku dodati na hidrogram prirodnog talasa u nizvodnom profilu. Na taj način je konstruisan povišeni talas u nizvodnom profilu. Ovaj postupak je ponovljen za sve hidrometrijske profile na Savi od Bosanske Gradiške do Ranceva. Rezultati ovih proračuna prikazani su u tabeli (6.1.1.2.III).

Pošto nas praktično interesuju ne proticaji, već odgovarajući vodostaji, to su ovi određeni na osnovu krivih proticaja i sračunatih povećanih proticaja. Povišenje vodostaja iznad dosadašnjeg nivoa vrlo velike vode nakon odbrane Lonjskog Polja prikazano je u tabeli (6.1.1.2.IV). Na taj način dat je odgovor i na pitanje da li će se isključenje retenzije Lonjsko Polje odraziti na vodostaje u tokovima nizvodno od njega.

Табела (6.2.2.2.11)

Redni broj	S T A N I C E												
	D O D O B R E				M I T R O V I C A				P A I Č K O				
	POSLE OPRANE Q_{max} m^3/s	PRIRAST PROTICAJA ΔQ m^3/s	POSLE OPRANE Q_{mix} m^3/s	PRIRAST PROTICAJA ΔQ m^3/s	POSLE OPRANE Q_{max} m^3/s	PRIRAST PROTICAJA ΔQ m^3/s	POSLE OPRANE Q_{max} m^3/s	PRIRAST PROTICAJA ΔQ m^3/s	POSLE OPRANE Q_{max} m^3/s	PRIRAST PROTICAJA ΔQ m^3/s	POSLE OPRANE Q_{max} m^3/s	PRIRAST PROTICAJA ΔQ m^3/s	
1	2.970	540	3.400	4.110	720	3.400	4.110	4.270	5.410	1.050	1.200	10.615	1.815
2	3.340	520	3.850	4.280	210	3.850	4.280	4.260	4.720	530	10.250	11.230	80
3	3.010	540	3.550	4.110	290	3.550	4.110	5.080	5.200	120	11.100	13.970	570
4	2.610	410	3.020	3.760	—	3.020	3.760	4.710	5.210	450	12.500	13.400	900
5	3.170	300	3.450	4.820	370	3.450	4.820	5.170	5.280	110	10.750	12.100	330
6	3.140	400	3.910	4.160	370	3.910	4.160	4.870	5.300	430	11.500	14.350	880
7	3.250	360	3.610	—	—	3.610	—	5.110	5.220	50	11.150	13.350	500
8	3.360	300	3.610	3.850	320	3.610	3.850	4.270	4.730	460	11.050	13.960	910
9	3.130	170	3.300	4.580	970	3.300	4.580	4.960	5.800	540	10.250	11.410	290
10	3.060	460	3.510	4.200	690	3.510	4.200	4.450	5.240	190	10.100	11.510	1.240
11	2.980	480	3.430	3.620	270	3.430	3.620	4.180	4.540	160	11.900	12.710	810

Tabela (6.1.1.2.IV)

Profil	Povišenje vodostaja (cm)	Povišeni vodostaj (cm)	Kota povišenih vodostaja vrlo velikih voda (m)
Beograd	44	756	75,79
Sabac	56	632	78,91
Sremska Mitrovica	56	824	80,46
Brčko	47	947	86,65
Isparanja	40	1.051	86,86
Sovbanski Brod	26	890	90,70
Dovor	19	875	92,66
Bosanska Gradiska	0	855	93,94

Transformacija poplavnih površina na reci Velikoj Moravi, kao posledica izgradnje nasipa

U cilju zaštite niskog priobalja reke Velike Morave predviđena je izgradnja nasipa duž toka na jednoj i drugoj obali.

Kako inundacione površine na reci Velikoj Moravi predstavljaju značajan deo rečnog korita kojim se evakušu velike vode, to će njihovo isključenje, kao što nam je poznato, izazvati izvesno povećanje proticaja i povišenje vodostaja u odnosu na prirodne uslove.

Problem isključenja inundacionih površina u konkretnom slučaju je ekonomskog karaktera, koji zahvata dimenzija i razmaka nasipa utoliko veših posledica koje to isključenje sa sobom povlači. Prema tome, suština problema se svodi na iznalaženje stepena isključenja inundacionih površina i povećanja proticaja, odnosno povišenja vodostaja. Ovim podstakom se utdva tsi

dobija odgovor na pitanje o tome koje su dimenzije nasipa potrebne.

Da bi se mogle konstatovati posledice isključenja inundacionih površina, prethodno je izvršena analiza prirodnog stanja. Ovom prethodnom analizom je obuhvaćeno određivanje krivih zapremine prirodnog korita, i veličine spljostenja karakterističnih poplavnih talasa u pojedinim profilima duž korave, isto tako u prirodnim uslovima.

Rezultati analize provedene na talasima registrovanim 1955. godine (februar i decembar) i 1958. godine (mart i maj), izneti su u tabeli (6.1.1.2.V).

Analiza uticaja isključenja inundacionih površina prethodilo je određivanje geometrijskih i hidrauličkih karakteristika regulisanog korita, uključujući i odgovarajuće krive zapremine.

Na osnovu ovih podataka, kao i podataka o ulaznim hidrogramima**, za čiju promenu u najuzvodnijem profilu toka u odnosu na prirodno stanje nije bilo razloga, izvršen je proračun propagacije konkretnih talasa velikih voda, a rezultati za talas registrovan u februaru 1955 godine, prikazani su u prilogu (6.1. F)

*/ Sam izbor dimenzija i raznaka korita nije izvršen pošto to nije bila svrha studije, ali su rezultati poslužili projektantima kao jedan od osnovnih parametara prilikom projektovanja.

**/ Pošto je veličina inundacionih površina na najuzvodnijem položaju toka Velike korave od Savarinske do Šaprije konstantna, to je za opravdanje ova deonica izostavljena sa dalje analize. Na taj način je ulazni hidrogram registrovan u profilu Šaprija tretiran kao merodavan za ceo tok nizvodno.

U cilju određivanja uticaja razmaka na veličinu spljoštenja, za izvesne talase sproveden je proračun za tri širine korita za veliku vodu (B = 400, 500 i 600 m).

Rezultati ovih proračuna, za širinu B = 500 m, prikazani su u tabeli (6.1.1.2.V).

Tabela (6.1.1.2.V)

VODOMERNE STANICE	PROTICAJ Q (m^3/sec)											
	Maksimalni opažani proticaj				Maks proticaj posle isključenja inunda- cijskog područja				Maks povećanje proticaja u odnosu na maks opazani proticaj			
	1955	1955	1955	1958	1955	1955	1958	1958	1955	1955	1958	1958
ĆUPRIJA	2140	2150	2020	2535	2140	2150	2020	2535	-	-	-	-
BAGRDAN	2120	2130	1960	2420	2135	2135	2000	2520	15	5	40	20
MARKOVAČKI MOST	2100	2115	1940	2475	2125	2125	1970	2485	25	15	30	10
IJUBICEVSKI MOST	1826	1995	1830	2275	2040	2055	1940	2435	214	60	110	160

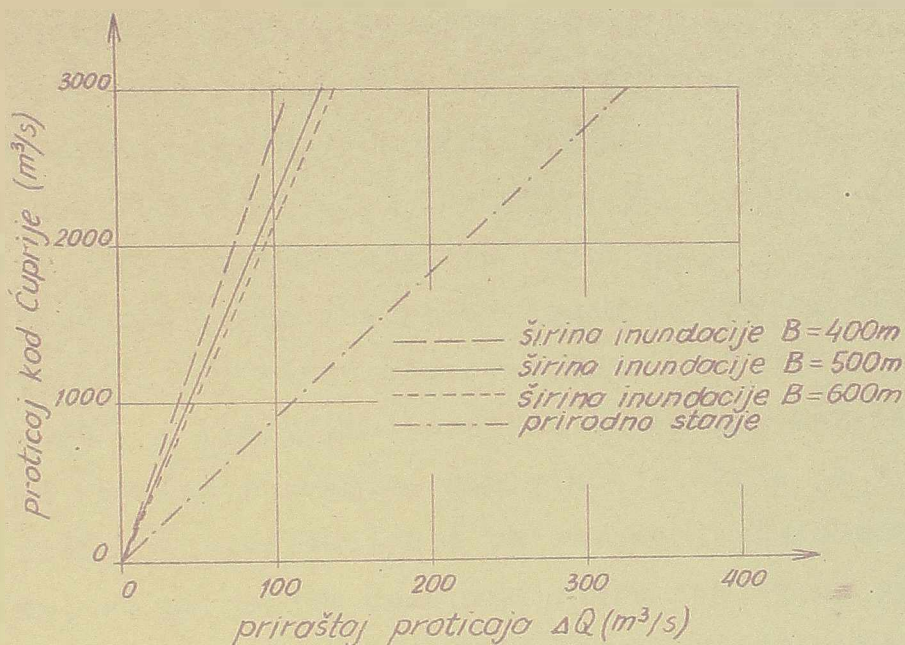
Na osnovu podataka iz tabele (6.1.1.2.V), koji se odnose na korito širine B = 500 m, kao i podataka za korita širine B = 400 i 600 m, konstruisan je dijagram spljoštenja u funkciji od maksimalnog proticaja na hidrogramu ulaznog talasa, i prikazan na slici (6.1.1.2.V).

Analizirajući tabele (6.1.1.2.V) i dijagram na sl. (6.1.1.2.3), dolazi se do sledećih zaključaka:

- veličina spljoštenja raste sa porastom maksimalnog ulaznog proticaja.

- uticaj veličine širine korita za veliku vodu (bar za one vrednosti za koje je analiza izvršena), vrlo je mali.

- veličina rasplinjavanja u uslovima regulisanog korita varira u granicama od 50% - 30% od odgovarajuće vrednosti konstatovane u prirodnim uslovima.



SL. (6.1.1.2.3) Dijagram veličine spljostenja i razlika u veličini rasplinjavanja duž toka u slučaju prirodanog vodotoka i u slučaju vodotoka u akumulacionim bazenima. Širina inundacionih površina.

- razlika u veličini rasplinjavanja duž toka je prvenstveno zbog razlika u veličini rasplinjavanja u slučaju prirodanog vodotoka i u slučaju vodotoka u akumulacionim bazenima. Jedan od osnovnih parametara o kome se mora voditi računa pri projektovanju akumulacija jesu veličine i veličine rasplinjavanja u slučaju velikih voda.

6.1.2 Transformacija vodotoka u akumulacionim bazenima

U cilju optimalnog korišćenja voda jednog prirodnog vodotoka pribegava se izradi veštačkih akumulacionih basena. Jedan od osnovnih parametara o kome se mora voditi računa pri projektovanju akumulacija jesu veličine i veličine rasplinjavanja u slučaju velikih voda.

velikih voda se nizvodno asonicama toka. Velicina akumulacije zavisi od vrste i broja parametara, od kojih su najvažniji: veličina rezervne zapremine rezervisane za prijem dela poplavnih talasa, tip evaluacionog organa i nizvodni uslovi.

Velicina rezervne zapremine zavisi od veličine korisne zapremine akumulacije. Kada je u pitanju korisćenje akumulacije i za smanjenje talasa velikih voda, sa planiranom rezervnom zapreminom treba početi tek nakon što doticaj pređe jednu određenu vrednost. Na ovaj način se rezervna zapremina koristi za primanje vrhova talasa. Ovakav način transformacije poplavnih talasa naziva se limitiranje, što znači da su proticaji sredno nizvodno od brane ograničeni na jednu određenu vrednost.

Što se tiče tipa evaluacionih organa (misliti se na prelive), oni mogu biti izvedeni u vidu slobodnih prelive ili kao prelive kontrolisane ustavama. Prelivi sa ustavama pružaju znatno veće mogućnosti kontrolisanog uticaja na poplavne talase; slobodnim prelivima nije moguće izvesti limitiranje talasa, već se i rezervna zapremina puni od samog početka nailaska talasa.

Problem ublaženja posledica nailaska velikih voda u donjem toku reke Drine i na Savi nizvodno od ušća Drine, vrlo je ozbiljan i obzirom na planirano iskorišćenje velikih inundacionih područja u slivu jeane i druge reke (Mačve i Semberije u slivu Drine i Lonjskog polja u slivu Save).

S obzirom na ovo, izvršena je studija mogućnosti smanjenja katastrofalno velikih voda Drine i

mulacijama u slivu, i uticaj na proticaje na reci Savi u profilu Sr.Mitrovica.

Studiji uticaja akumulacija je prethodila analiza najkarakterističnijih talasa velikih voda, opaženih u profilima vodomernih stanica na reci Drini. Na osnovu nekoliko izabranih talasa sračunata je njihova verovatnoća pojave po zapremini iznad proticaja $Q_{lim} = 1.500$ i $2.000 \text{ m}^3/\text{s}$ (proticaj je usvojen kao parametar, da bi se mogao oceniti uticaj veličine Q_{lim} na izbor rezervne zapremine).

Svi proračuni transformacije talasa, bilo u akumulacijama ili na deonicama između dve akumulacije, izvršeni su po kvazi-stacionarnoj metodi. Postupak je bio sledeći: ulazni talas, registrovan u uzvodnom profilu, propagiran je do prve nizvodne akumulacije. Transformacije talasa u akumulaciji računata je ukoliko je na dotičnoj brani predviđena slobodna preliv ili je izvršena limitirajuća, ukoliko je preliv, suscepuvan, uslovljena.

Analizirane su sledeće najvažnije akumulacije u slivu Drine:

Tabela (6.1.2.1)

NO	Ime akumulacije	Korisna zapremina Q_{lim}	Tip akumulacionih organa
1.	Kokina brod na Uvcu	225,5	Slobodan preliv
2.	Zaton na Limu	492,0	Prelivna brana
3.	Brodarevo na Limu	200,0	"
4.	Vaskovo na Tari	300,0	"
5.	Taraj na Tari	280,0	"
6.	Čvrsti na Savi	250,0	"
7.	Bratunje na Savi	500	Slobodan preliv

8. Buk Bijela na Drini	1.160	Preliv sa ustavom
9. Bajina Bašta na Drini	218	"
10. Dubrovica na Drini	1.450	"

i to u vidu pet kombinacija istovremenog funkcionisanja:

Tabela (6.1.2.II)

Oznaka varijante	Akumulacije koje su uzete u obzir u pojedinim varijantama
D	Dubrovica
B	Bajina Bašta
BB	Bajina Bašta i Buk Bijela
S	Sve akumulacije iz tabele (6.1.2.I)

Kao finalni proizvod ove analize izrađen je dijagram $Q_{lim} = f(V_R)$, (vidi prilog 6.1.I), na kome je za svaku od analiziranih varijanata i za svaki od posmatranih telasa, naneta veličina ukupnih potrebne rezervne zapremine u funkciji od proticaja u Zvorniku. Na osnovu pomenatog dijagrama konstatovano je vrlo važna činjenica, po kojoj veličina limitiranog proticaja nizvodno od Zvornika praktično ne zavisi od položaja akumulacije u odnosu na Zvornik, već od veličine potrebne rezervne zapremine. S obzirom na veličinu potrebne rezervne zapremine, kao posledicu razvoja je granični proticaj $Q_{lim} = 1.500 \text{ m}^3/\text{s}$.

Uticaj postojećih i budućih arapskih akumulacija na režim velikih voda kod Sr. Nitrovice na reci Savi, analiziran je na sledećim slikama:

- uticaj drinskih akumulacija na proticaj u rodnom rešima na reci Savi
- uticaj drinskih akumulacija na proticaje na Savi kod Sr. Mitrovice pri odbrani Lonjskog polja
- uticaj drinskih akumulacija na proticaje na Savi nizvodno od ušća Drine, pri isključenju Lonjskog Polja, Kačve i Semberije.

Kao zajednički reper u sve tri navedene analize usvojen je maksimalni, do sada opaženi proticaj na Savi u Sremskoj Mitrovici, koji iznosi $5.200 \text{ m}^3/\text{sec}$. Na osnovu ovih analiza, na ključnom dijagramu (prilog 6.1.J), razlika sračunatih proticaja u profilu vodomerne stanice Sr. Mitrovica i maksimalnog opaženog proticaja $Q_{\text{max}} = 5.200 \text{ m}^3/\text{sec}$, obeležena sa (Q), odnosi se na funkciji rezervne zapremine drinskih akumulacija.

Na ključnom dijagramu (6.1.J) se vidi da su potrebne rezervne zapremine u slučaju isključenja inundacionih površina na Savi i Drini znatne, tako da je definitivno usvajanje stepene regulacije ovih površina moguće tek nakon odgovarajuće ekonomske analize.

6.2. Analiza talasa

Problem pojave nestacionarnih fenomena u zoni uzvodno i nizvodno od brane obavezno prati rad hidroelektrane.

Analiza posledica rada hidroenergetskog postrojenja od velikog je praktičnog značaja (uslovi plovidbe, funkcionisanje pristaništa ukoliko se nalazi u zoni intenzivnih promena proticaja i nivoa, stabilnost rečnih nasipovina i deformacija rečnog korita).

Problemi slične vrste rešavani su i u toku projektovanja postrojenja HE Djerdap. Ovom analizom obuhvaćena su i izljudive promene nivoa od brane u blizini buduće pristanište u Kladovu, uslove plovidbe ita.

Hydrauličke studije nestacionarnih promena idzvodno od brane trebalo je da se elemente za tehničko - ekonomsko sniženje, sa osnovu koga su se odredile dijagrama opterećenja izabrao onaj koji pruža dovoljnu bezbednost za normalno funkcionisanje i ostalih vodoprivrednih brana u blizini brane, vezanih za eksploataciju reke Dunava.

Na potrebu ovog rada korišćen su podaci o snimanjima rečnog korita izvršenim u periodu od 1957 do 1959 godine.

Pored morfoloških podataka raspolagalo se i podacima o linijama nivoa vodnog ogledala pri različitim proticajima, uz posmatrane deonice.

U okviru analize raznih varijanti eksploatacije postrojenja HE Djerdap, usvojeno je sedam različitih karakterističnih hidrograma, čiji su osnovni elementi prikazani u tabeli (6.2.1).

Proračun je izvršen po metodi Kalinina-a i Miljukov-a*, koja spada u grupu približnih inženjerskih metoda, i to iz sledećih razloga:

Tabela (6.2.I)

N ^o	Varijanta	Kota nivoa u profilu brane	Maks. proticaj Q_0 (m ³ /s)	Minimalni proticaj (m ³ /s)
1	I	68.00	3.000	2.000
2		"	1.000	2.000
3		"	5.000	2.000
1	II	68.00	2.000	1.000
2		"	3.000	1.000
3		"	4.000	1.000
4		"	5.000	1.000

a/ i pored izvesnih aproksimacija (osnovna je pretpostavka o eksponencijalnom zakonu promene proticaja) rezultati proračuna po ovoj metodi vrlo dobro se

*/ Proračun se vrši za deoniku karakteristične dužine, koja se određuje po jednačini

$$L = \frac{v_{10} \Delta t}{S_{10} \Delta c} = \frac{\Delta}{\Delta c}$$

gde je v_{10} brzina proticaja u deonici karakteristične dužine, S_{10} površina poprečnog preseka deonice, Δ dužina deonice, Δc razlika koncentracija između dva preseka deonice.

$$Q_t = Q_{i0} + (Q_0 - Q_{i0}) \left(\frac{t}{L} \right)^2$$

slučaj su rezultati proračuna po metodi karakteristika.

b/ raspoloživi morfološki i hidrološki podaci, kao i činjenica da je studija preliminarnog karaktera, a s obzirom da se u nas još ne primenjuju elektronske računске mašine za proračune ove vrste, uticala je na izbor ove približne, ali dovoljno tačne i dovoljno jednostavne metode.

Analizirana je deonica dužine 60 km nizvodno od brane. Proračun je vršen za karakteristične deonice, čija dužina je sračunata pomoću obrascu (5.3.1.2.25), a konačno usvojene dužine i oznake su određene prema (6.2.II).

Tabela (6.2.II)

Broj deonice	Stacionarna nizvodnog profila mereno od brane (km)	Dužina deonice (km)	Oznaka karakteristične deonice	Usvojena dužina karakteristične deonice (km)	Vreme propagacije $T = \frac{\Delta V}{\Delta Q}$ (čas)
1	12,00	12,00	I	12,0	2,0
2	24,00	24,00	II	24,0	4,0
3	63,00	51,00	III	51,0	11,0

*/ Sa rumunske strane proračun je izvršen po metodi karakteristika i dobijeni rezultati su skoro identični. Nažalost, ove rezultate i pored brojnih pokušaja nismo uspeli da dobijemo, tako da nisu priloženi.

Svi proračuni su rađjeni se linearnom zavisnošću $V = V(Q)$, a za određivanje nivoa preko deonice III koristeći se zavisnošću. Rezultati ovih preciznijih proračuna su prikazani u tabeli (6.2.III) gdje se proračunima izvedenim na osnovu deonice III znači da ova aproksimacija nema bitnog uticaja na rezultate u konkretnom slučaju. Osnovni podaci za konačno usvejene krive proticaja su prikazani u tabeli (6.2.III).

Do oscilacija nivoa, koje su bile od primarnog značaja u ovoj studiji, došlo se preko prethodno sračunatih hidrografa; promene proticaja računate su pomoću jednačine (6.2.1).

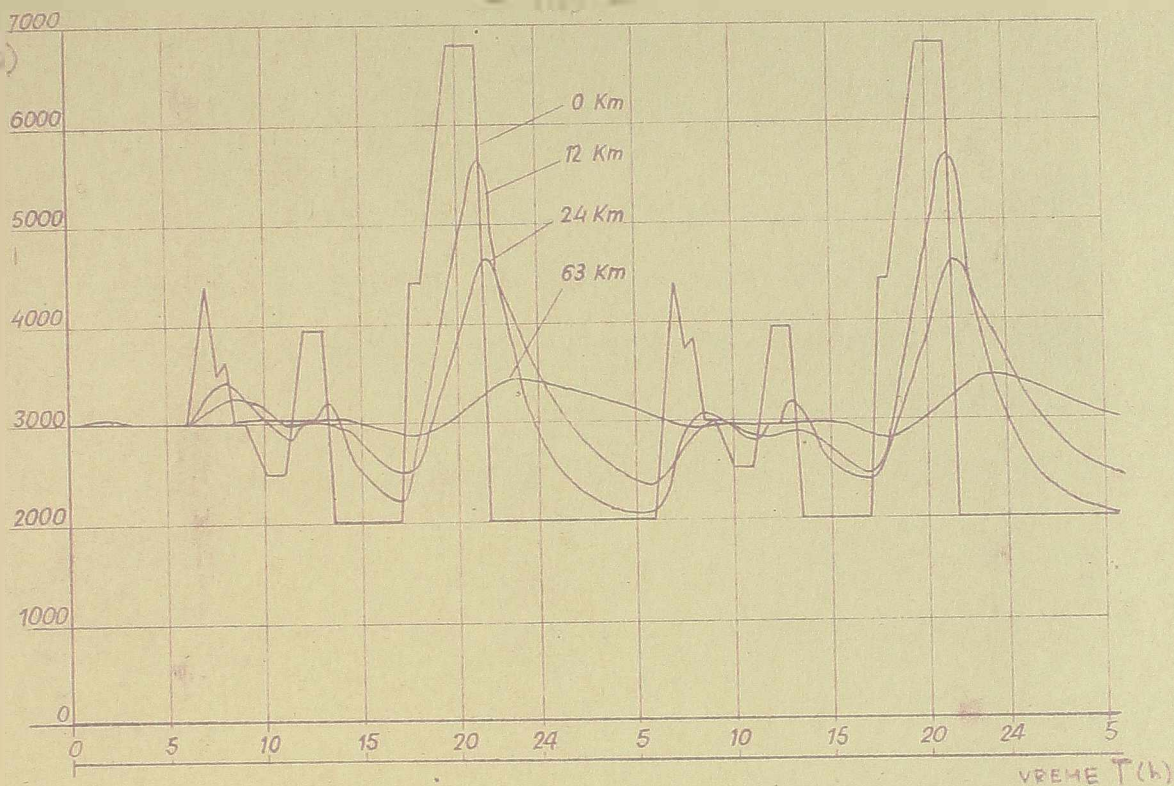
Tabela (6.2.III)

Deonica	Izvodine jedinice u funkciji od proticaja $m^3 \cdot 10^6$				
	0-1000 m^3/s	3000	5000	7000	9000
I	15	35	50	55	75
II	30	70	102	125	150
III	90	190	265	329	385

Rezultati proračuna prikazani su na slici (6.2.8).

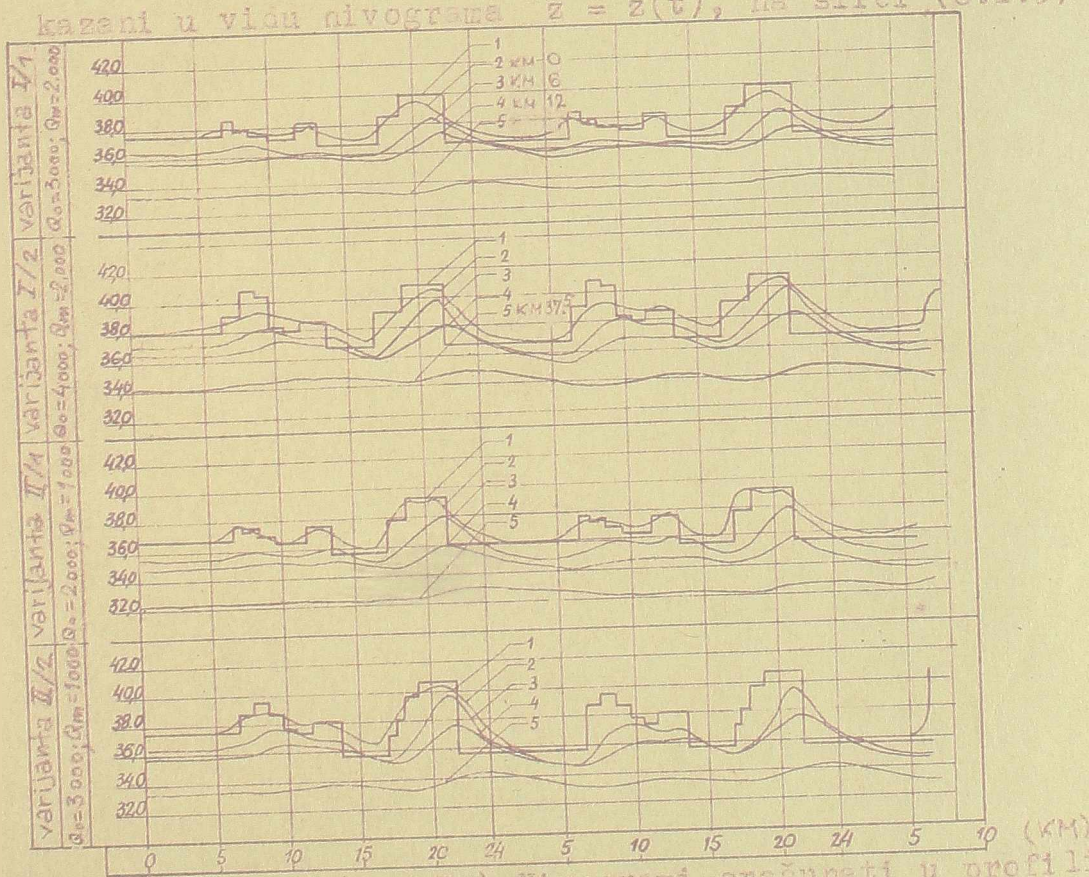
Posto po definiciji karakteristične deonice, između proticaja u nizvodnom profilu i nivoa u težištu karakteristične deonice postoji jednodušna funkcionalna zavisnost, to je bilo moguće na osnovu poznatog proticaja u nizvodnom profilu, koristeći veze $T = \frac{\Delta V}{\Delta Q}$ i $z = z(V)$, odrediti promenu vodostaja (Δz), odnosno prirast vodostaja za određeni pri rastu proticaja (ΔQ).

U obziru na karakteristike nivoa hidrografa pokazalo se da dovoljno tačno za računski vremenski interval bude $\Delta t = 0,5$ h. (U proračunima propagacije poplava



Sl. (6.2.2) Ni rograni u profilima km 0, km 12, km 24 i km 63,0. Varijanta I/1 ($Q_0 = 3000 \text{ m}^3/\text{s}$; $Q_{\text{min}} = 2000 \text{ m}^3/\text{s}$)

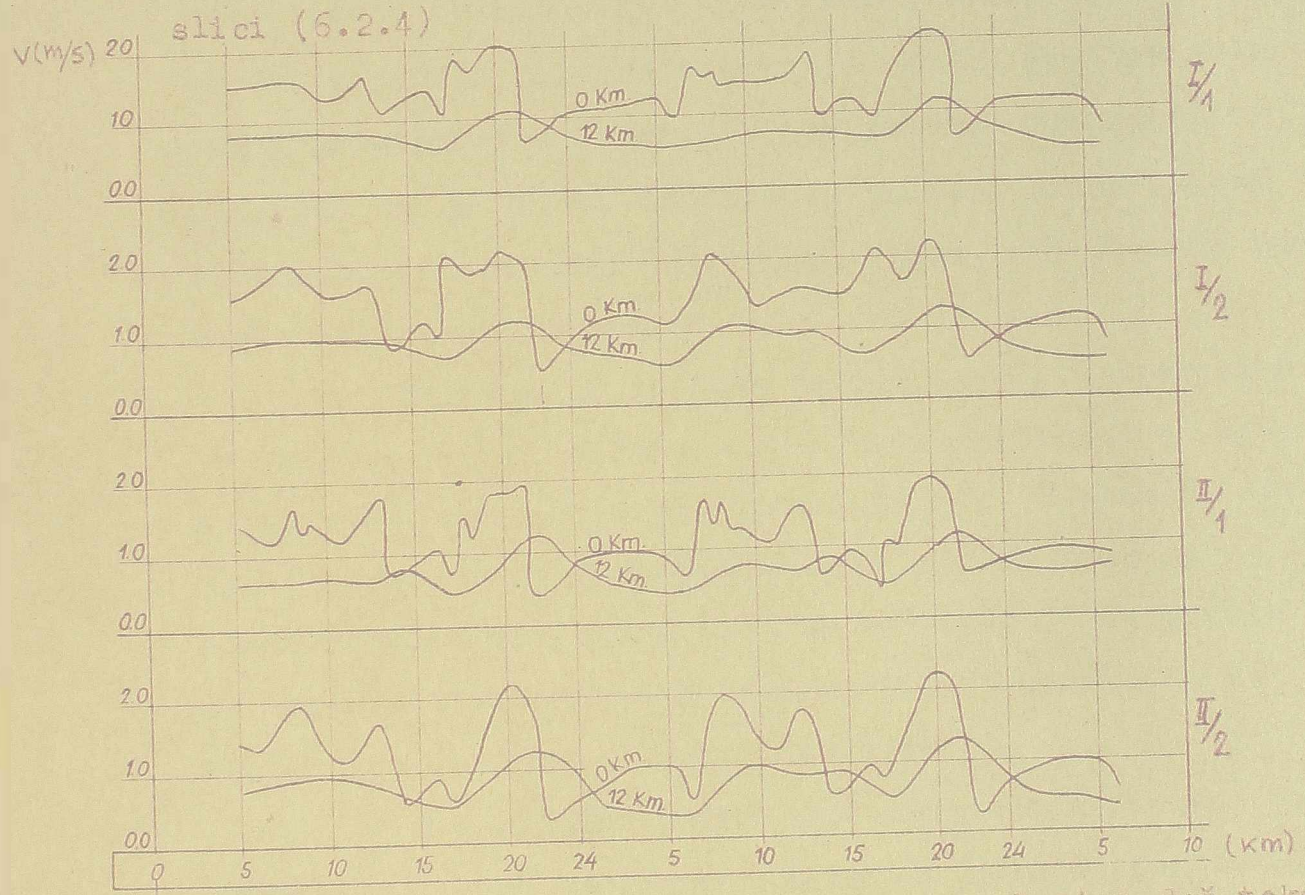
nih talasa ovaj interval bi mogao biti znatno duži (24 h). Proračun je vršen tabelarno, a rezultati su prikazani u vidu nivograma $z = z(t)$, na slici (6.2.3)



Sl.(6.2.3.) Nivogrami sračunati u profilima km 0, km 6, km 12 i km 37,50.

Na osnovu geometrijskih karakteristika toka, nivoa i proticaja, sračunate su veličine srednjih brzina duž celog toka. Ovaj podatak je interesantan jer sa aspartus, izostavljen, 7.20 i 8.00 izvukla analizu uformacije 50% zita silosom na brzini 100% brzine protoka. Nivoi su na

slici (6.2.4)



Sl. (6.2.4.) Dijagram promene brzina duž toka

... karakteristika toka, nivoa i proticaja, sračunate su veličine srednjih brzina duž celog toka. Ovaj podatak je interesantan jer sa aspartus, izostavljen, 7.20 i 8.00 izvukla analizu uformacije 50% zita silosom na brzini 100% brzine protoka. Nivoi su na

... nivoa i proticaja, sračunate su veličine srednjih brzina duž celog toka. Ovaj podatak je interesantan jer sa aspartus, izostavljen, 7.20 i 8.00 izvukla analizu uformacije 50% zita silosom na brzini 100% brzine protoka. Nivoi su na

guće proizvodnje električne energije.

Amplitude oscilacija vodostaja, kao što se i očekivalo, najveće su u profilu brane, s tim što opadaju izdajući strukom. Na km 12 (potez na kome se predviđa izgradnja budućeg pristaništa), maksimalna amplituda iznosi 4,50 m (slika 6.2.3 - varijanta II/2), na šta treba obratiti pažnju pri projektovanju rečnih građevina i samog pristaništa. Promene nivoa postaju zanemarljivo male već na km 37,50. Intenzitet promene nivoa iznosi 2,50 m/km, što ne može ometati plovidbu, ali svakako može ocašavati pri izgradnji pristaništa.

Maksimalna srednja brzina u reci u nestacionarnom režimu iznosi 2,35 m/s neposredno iznad brane, a na mestu budućeg pristaništa 1,35 m/s. U proseku srednje brzine u reci u nestacionarnom režimu veće su od odgovarajućih u stacionarnom za 30%, što je interesantno zbog veće stabilnosti režimnog režima, smanjivanja rečnih građevina i uslova plovidbe.

U zaključku ponovimo još jednom osnovne postavke na kojima se zasniva izložena metoda proračuna, što je interesantno s obzirom na specifičnost analiziranog problema.

Osnovne aproksimacije koje se čine jesu sledeće:

- zanemarenje inercionih članova u dinamičkoj jednačini
- promene proticaja odvijaju se po eksponencijalnom zakonu

Što se tiče konturnih uslova neophodno je definiciji proticaja (u vidu početnog nivoa) i intenziteta

ziron. Bilo v kakšnem ovom konkretnom slučaju nije
to definisano, to izvorni prelični uslov praktično se

Rezultati proračuna vrlo dobro se slažu sa re-
zultatima dobijenim po metodi karakteristika u konkretnom
slučaju, što znači da uvođenje pomenutih aproksimacija
ne predstavlja bitno odstupanje od stvarnih uslova.

U zaključku treba napomenuti da u principu ne
treba izbegavati ove tzv. inženjerske metode, već da re-
zultate (ako ne za sve varijante proračuna a ono bar za
karakterističnu), treba uporediti bilo sa osmatranjima u
prirodi, bilo sa rezultatima tačnog proračuna; ukoliko
konstatujemo zadovoljavajuće slaganje rezultata, metodu
treba smatrati punovažnom u svim sličnim slučajevima
kao takvu je koristiti.

6.3 Talasi iznenadnog rušenja brane skupulacije. Prolom brane

Usled naglog rušenja brane dolazi do pojave
katastrofalno velikih voda na deonicama nizvodno, gde se
propegira direktni pozitivni talas. Uzvodno od brane se
javlja obratni negativni, koji isto tako može dovesti do
neželjenih posledica.

U cilju procene veličine poplavnog talasa koji
bi nastao usled eventualnog rušenja jedne brane, i u ci-
lju demonstracije primene metode karakteristika i na ova
vid nestacionarnog kretanja u otvorenim tokovima, izvrše-
na je analiza jednog takvog slučaja (brana HE Djerdap).

Pošlo se od pretpostavke da rekon protiče rel-
tivno veliki proticaj od 14.000 m³/s (povratni period

zu ovaj proticaj iznosi $Q = 0,000$ u trenutku proloma brane.

Uvedena vrednost proticaja je (za brane iz koje izlazi tako za pri velikim vodostajima, tj. pri većoj ispunjenosti korita), veća od veće apsolutne kote vodostaja izazvanog poplavljenim talasom, nego pri manjim vodostajima. Sa druge strane, ona je veća i od nekakog katastrofalni osnovni proticaj pošto je verovatnoća koincidencije jednog tako velikog proticaja i proloma brane, mala. Uprkos tome relativna visina poplavnog talasa računata od osnovnog proticaja sve više opada ukoliko osnovni proticaj raste, tako da rušenje brane relativno uzev postaje sve manje verovatno ukoliko se osnovni proticaj povećava.

U proračunu je izvršena pretpostavka o momentalnom rušenju brane, što znači da se i po toj liniji nije na ekstremni slučaj koji bi se vrlo teško mogao ostveriti u praksi. Međutim, kako je cilj stu i je bilo iznalaženje krajnje katete i tih vodostaja proloma brane, to ova pretpostavka ima smisla.

U proračunu su uzete i karakteristike, s obzirom na karakteristike strujanja u preliminarnu, usvojenom je neuniformno pravougaono korito duž cele posmatrane deonice širine $B = 1300$ m.

Uticao bočnih dolina na amortizaciju poplavnog talasa zanemaren je, s obzirom da je njihov kapacitet relativno mali.

Uzdužni profil analiziranog toka pokazuje prelom približno na mestu bušave brane, dok je uzvodno i nizvodno od nje uniformno strujanje pri usvojenom od brane iznosi $0,26\%$, a u nizvodnom sektoru $0,067\%$. Usvo-

janje uniformnog ponašanja opravdano je s obzirom na činjenicu da u vrtacima kojih ima znatan broj u koritu, praktično nema strujanja. Drugim rečima ova vrtaca pripadaju neaktivnom delu rečnog korita.

Srednja dubina toka nizvodno od brane iznosi- la je okruglo 11,0 m, a uzvodno od brane računata je od usporednog nivoa do osrednjenog dna i menjala se, normalno, od profila do profila. Dubina u profila brane sa uzvodne strane iznosila je pri koti normalnog uspora 30 m.

Proračun obrezivanja i propagacija katastrofalnog talasa računat je po metodi Re-a, čiji su osnovni principi izneti u tački (6.3.A) klasifikacije.

Proračun je vršen grafoanalitički. Dužina računskih reonaca iznosila je 2 km do km 10 (mereno od profila brane), 5 km do km 30 i 10 km preko km 30. Rezultati proračuna su pokazali da su dužine računskih reonica usvojene suviše velike, što se svakako odrazilo na tačnost rezultata.

Poljarni dijagrami u ravni (U, t) i mreža karakteristika u ravni (x, t) , prikazani su na priložnim (6.3.A-a i b)

Poljarni dijagrami u ravni (U, t) koji odgovaraju ovom te istom posmatraču, predstavljaju ustvari zakon karakteristika tog posmatrača. Na osnovu dijagrama u ravni (U, v) moguće je u sv. koj. zoni nestacionarnog kretanja odrediti brzinu i dubinu toka.

U ravni (x, t) prikazana je mreža karakteristika, pri čemu svaka presečna tačka predstavlja mesto u vremenu i prostoru dva posmatrača ("slova" i "broja").
Iz ovog ravni (x, t) može se definisati mesto i trenutak

tog susreta.

Rezultati proračuna prikazani su na prilogu (6.3.B.), u vidu dijagrama $y = y(t)$, za šest profila teka: km 0, 10, 20, 30, 50 i 100, pri čemu (y) predstavlja dubinu iznad vodostaja koji odgovara osnovnom proticaju $Q = 14.000 \text{ m}^3/\text{s}$.

Maksimalne visine talasa iznad ovog nivoa u pomenutim profilima teka, prikazane su u sledećoj tabeli:

Tabela (6.3.I)

Odstojanje nizvodno od brane (km)	Max. visina poplavnog talasa (m)
0	10,50
10	9,10
20	8,20
30	7,50
50	6,20
70	5,00
100	3,80

i grafički na dijagramu /6.3.C/.

Na crtežu (prilog 6.3.B) vidi se i trajanje poplavnih talasa. Tene talase traje relativno kratko, dok manje dubine traju znatno duže. Na analiziranoj daljini reonice dužine 100 km talas još nije nestao.

Što se tiče čela, ono se praktično gubi već na km 30, što znači da se nizvodno od ovog profila ne mogu očekivati toliko katastrofalne posledice koje su uslovljene izvanredno velikim brzinama čela.

Brzina čela je najveća neposredno nizvodno od profila brane (oko 75 km/čas), da bi se u profilu na km 30 smanjila na 40 km/čas.

Na ovaj način su dati odgovori na sva važnija pitanja postavljena pred ovu studiju.

7. NOMOGRAMI ZA PRORAČUNE PROPAGACIJE I
TRANSFORMACIJE TALASA U OTVORENIM
TOKOVIMA

Smisao uvođenja nomograma u analize nestacionarnih fenomena u prirodnim tokovima jeste potreba za jednostavnom, brzom i dovoljno tačnom mogućnošću proračuna. Izradom nomograma bila bi omogućena analiza nestacionarnih fenomena ne samo u izuzetno važnim, već i u svim ostalim problemima, što se inače izbegava zbog složenih i dugotrajnih računskih operacija.

7.1. Analiza nestacionarnih fenomena za proračun
nestacionarnih pojava u prirodnim tokovima

Nomogrami razradjeni kao metoda proračuna nestacionarnih pojava u otvorenim tokovima, vrlo su retki u literaturi. Tačnije rečeno, nema su poznate ove dve metode: metoda E. Pančur-a (14) i metoda Geze Bate (4) nazvana "Opšte numeričko rešenje propagacije talasa u otvorenim tokovima".

I ako se i jedna i druga metoda baziraju na proračunu po metodi karakteristika, između njih postoji suštinska razlika: metoda E. Pančur-a predstavlja samo varijantu proračuna po metodi karakteristika, pri čemu nomogrami predstavljaju vid pomoćnih dijagrama. Nomogrami po G. Bati, međutim, predstavljaju rešenje problema transformacije i propagacije pozitivnih talasa sa strmim čelom, za određene početne uslove i intenzitet promene proticaja u funkciji vremena, i to sve izraženo pomoću bezdimenzionalnih izraza.

Ovakav tip nomograma, na osnovu kojih se uz poznavanje izvaenih polaznih parametara mogu trenutno bez ikakvih dopunskih proračuna definisati odbojne karakteristike nestacionarnog fenomena koji se analizira (npr. talasa), predstavlja osnovu naše ideje o generalizaciji rešenja propagacije poplavnih talasa.

U radu (4) razmatrani su samo direktni pozitivni talasi sa strmim delom, što znači da se i pored uopštenosti ovi nomogrami ne mogu koristiti za analizu poplavnih talasa u prirodnim tokovima.

2. Izbor metode za proračun nomograma

Ako se zna i osnir činjenica da nomogrami koje želimo da sračunamo treba da služe kao osnova proračuna u brojnim konkretnim slučajevima, što znači da se ne sme uopšte postavljati pitanje njihove tačnosti, onda od svih postojećih metoda za njih o proračun dolaze u obzir na prvom mestu metode karakterističnog, a zatim metode trenutnih režima.

Dovoljno puta smo naglasili da se metodi karakteristike bazira na preciznoj, matematički ispravnoj teoriji, što znači da su istog kvaliteta i rezultati proračuna dobijeni po ovoj metodi. Tačnost rezultata međutim, zavisi ne samo od metode, već i od tačnosti polaznih parametara. Njih je za uslove koji vladaju u prirodnom računom toku nemoguće jednovremeno tačno definisati i prikazati u uopštenoj formi, da bi se mogli primeniti u bilo kome konkretnom slučaju. Postavlja se zato pitanje zašto primene jedne tako tačne metode kao što je metoda karakteristika, koja zahteva ulaganje velikog truda, a pri tome polazni podaci nemeju odgovarajuću tačnost. Međutim, svakom rezonovanju bi se mogao staviti prigovor: ako su već polazni podaci netačni, ima li smisla konačne rezultate opterećivati netačnostima koje za sobom povla-

či metoda proračuna? Ako se ima u vidu izbor metoda za koje smo rekli da dolaze u obzir za proračun nomograma, onda ovaj prigovor otpada; u tački (5.3.1.4) ove disertacije je konstatovano, (a ove konstatacije se baziraju na brojnim primerima proračuna ne samo u nas već i u stranoj literaturi, [3], [6], [22]), da za proračune veoma brze za propagaciju poplavnih talasa u prirodnim tokovima pomoću metode trenutnih režima, aproksimacije usvojene pri razradi ove metode ne utiču bitno na tačnost rezultata. A poznata je isto tako činjenica, da je proračun po metodi trenutnih režima znatno jednostavniji i brži od proračuna po metodi karakteristika.

Još jednu veoma važnu činjenicu ne smemo smetnuti sa uma: složeni rečni profil ima protočno i retenzijsko dejstvo. Jednačine (3.2.8) i (3.2.19) izvedene za prirodno korito, važe samo za složeni profil kod koga inundacija ima isključivo retenzijsko svojstvo. Usled nejednakosti brzina u inundaciji i glavnom koritu, osnovne jednačine ne mogu biti izvedene za taj najopštiji slučaj, što znači da bi se pri primeni metode karakteristika moralo pribеći aproksimaciji dejstva retenzije na poplavi. U slučaju rečnog režima, inundacija bi bila tretirana kao isključivo retenzijski deo korita.

Uvodjenjem krive zapremine umesto dinamičke jednačine u proračune po kvazi-stacionarnoj metodi, obuhvaćeno je složeno dejstvo retenzije, što predstavlja prednost u odnosu na metodu karakteristika.

Ne uzimajući u obzir i mogućnost definicije parametara čije poznavanje je neophodno za primenu jedne ili druge metode, na osnovu ovih opštih razmatranja se može zaključiti da metodi trenutnih režima treba dati preimstvo. Analiza pomenutih parametara treba međjutim

da da konačan odgovor.

7.3. Analiza i izbor parametara od kojih zavise propagacija i transformacija tela u prirodnim tokovima

Na osnovu svega što je sada rečeno o propagaciji i transformaciji poplavnih tela u prirodnim tokovima, može se zaključiti da je za potrebe proračuna neophodno poznavanje sledećih veličina:

a/ parametri koji figurisu u osnovnim jednačinama nestacionarnog kretanja:

- dužina puta (x) i vreme (t), kao nezavisne promenljive veličine

- srednja brzina toka (v) površina poprečnog preseka (F), širina vodnog korita (B) i srednja dubina toka (y)

- pad dna korita (S_c)

- subitak energije na trenje $\sigma_{tr} = \frac{v^2}{C_x \cdot R}$

(po Seziju).

- ubrzanje zemljine teže (g), kao karakteristike fluida.

b/ parametri koji služe za definiciju početnih uslova:

Polazeći se od pretpostavke da u koritu vladaju stacionarno-ravnomerno rešim, što znači da moraju biti poznati sledeći elementi:

- početni proticaj (Q_0)

- početna srednja dubina toka (y)

- ostale geometrijske karakteristike korita

vezane za početni proticaj (F_0, S_0)

c/ parametri neophodni za definiciju graničnih uslova.

Od graničnih uslova u slučaju propagacije poplavnih talasa najčešće se operiše sa uzvodnim, zadatim u vidu hidrograma $Q = Q(t)$. To znači da za potrebe definicije graničnih uslova moramo uvesti kao jedan od parametara i zakon promene proticaja u funkciji od vremena, u najuzvodnijem profilu.

Gledano kroz mogućnost primene metode karakteristika, neophodno je poznavanje svih ovih parametara. Za potrebe proračuna po metodi trenutnih režima (varijanta nazvana "kvazi-stacionarna" metoda), neophodno je poznavanje dvaju elemenata: ulaznog hidrograma i krive zapremine korita $V = V(Q)$.

Za korita pravilnog geometrijskog oblika moguće je izraziti promene geometrijskih karakteristika toka u funkciji od vodostaja, analitičkim izrazima. Za prirodna korita ovo je nemoguće; ove funkcije se mogu prikazati isključivo grafički. S obzirom na osobine prirodnih tokova, ove zavisnosti su izrazito nepravilnog karaktera i nemoguće ih je definisati sa jednim razumnim brojem parametara.

Problem definicije početnih uslova javlja se samo u slučaju primene metode karakteristika (naravno u okviru poređenja metode karakteristika i metoda trenutnih režima), što povećava broj parametara koje treba uzeti u obzir pri proračunima. (Definicija početnih uslova u proračunima po kvazi-stacionarnoj metodi nije neophodna; početni uslovi su indirektno sadržani u krivama zapremine korita, koje se konstruišu za deo korita iznad osnovnog proticaja).

Uzvojni granični uslov u vidu ulaznog hidrograma mora biti uveden kao parametar bez obzira po kojoj od pomenute dve metode se račun.

Izvodni granični uslov se najčešće ne uzima, a ako za to postoje uslovi, onda se zadaje u vidu nivoograma. To znači da se izvodni granični uslov čuva vezati za hidrometrijski profil - vodomernu stanicu.

Konačno, za razliku od velikog broja parametara čija definicija je neophodna za proračun pomoću metoda, a čije upštavanje je prilično nepoželjno s obzirom da su u pitanju prirodni tokovi, za proračun po kvazi-stacionarnoj metodi su neophodna samo dva elementa: ulazni hidrogram $Q = Q(t)$ i kriva zapremine korita $V = V(t)$.

Na osnovu svega izloženog, a s obzirom na mogućnost definicije parametara neophodnih za kvazi-stacionarnu metodu, kao i s obzirom na relativno jednostavan postupak proračuna, odlučili smo se da nivoograme računamo pomoću kvazi-stacionarne metode.

(Radi potpunosti ovog razmatranja valjalo bi istaknemo da je izvršen pokušaj uvođenja bezdimenzionalnih izraza pomoću dimenzionalne analize slično kako je to uradjeno u [4], međutim s obzirom na specifične uslove koji važe za prirodne tokove i poplavne talase, nije se došlo do praktičnih rezultata).

Pošto je kvazi-stacionarna metoda usvojena kao najpogodnija, treba izvršiti konačnu analizu dvaju osnovnih parametara (krivih zapremine i hidrograma poplavnih talasa) i izvršiti po mogućstvu njihovo upštavanje.

7.3.1 Izbor kvalitativnih izraza za definiciju
oblika poplavnih talasa u prirodnim so-
kovima, na primaru na Deci reki u
Jugoslaviji

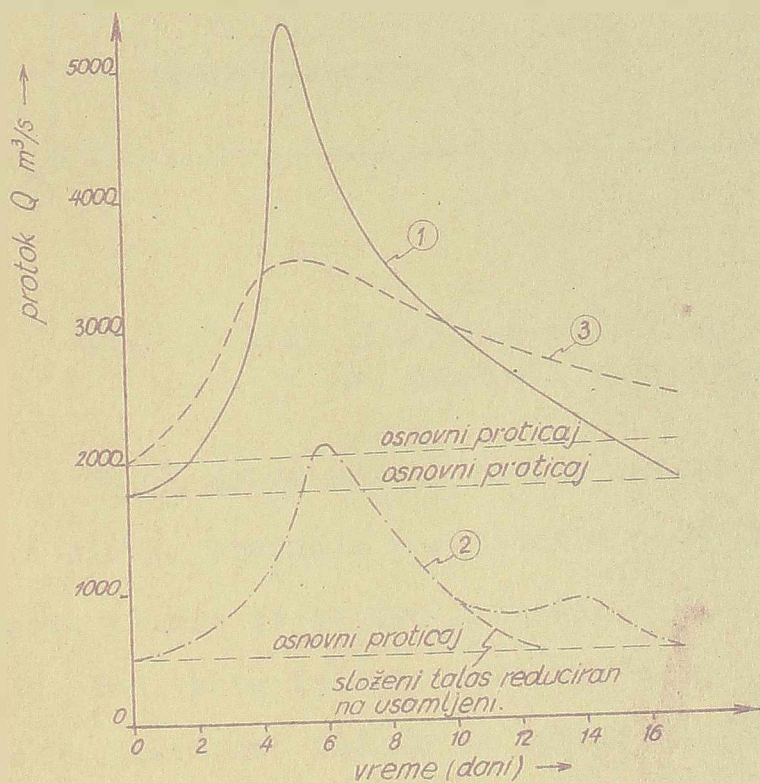
Mogućnost definicije karakteristika poplavnog talasa predstavlja prvi osnovni parametar u zemaljenoj šemi izrade nomograma.

Poplavni talasi nastaju kao posledica nailaska velikih voda izazvanih intenzivnim padavinama u slivu u vidu kiše, topljenjem snega ili kombinacijom jednog i drugog.

Oblik hidrograma poplavnih talasa u prirodnim koritima zavisi od više činilaca, (da nabrojimo samo najvažnije: površina, oblik, strmenitost i pošumljenost sliva; trajanje, intenzitet i raspored padavina; debljina snežnog pokrivača; visina temperature i intenzitet promene; veličina koeficijenta oticanja; raspored i veličina pritoka; oblik i dimenzije rečnog korita itd.), između kojih je vrlo teško uspostaviti zavisnost, kao i proceniti pojedinačni uticaj svakog od ovih činilaca na formiranje talasa. Iz tog razloga mi smo u okviru disertacije analizirali isključivo oblik poplavnih talasa (ne i veličinu kao što će se docnije videti), kao definitivni rezultat zajedničkog uticaja svih pomenutih faktora, a ne svaki od njih i njihov posebni uticaj pojedinačno.

Analizom su obuhvaćeni najveći usamljeni talasi registrovani u profilima vodomerne stanice na Deki, Tavi, Drini i Velikoj Moravi (slika 7.3.1.1), u periodu u kome je vršeno opažanje vodostaja i za koji se raspolože sa tačnim krivama proticaja u profilima vodomerne stanice. Treba podvući da su posmatrani samo usamlje-

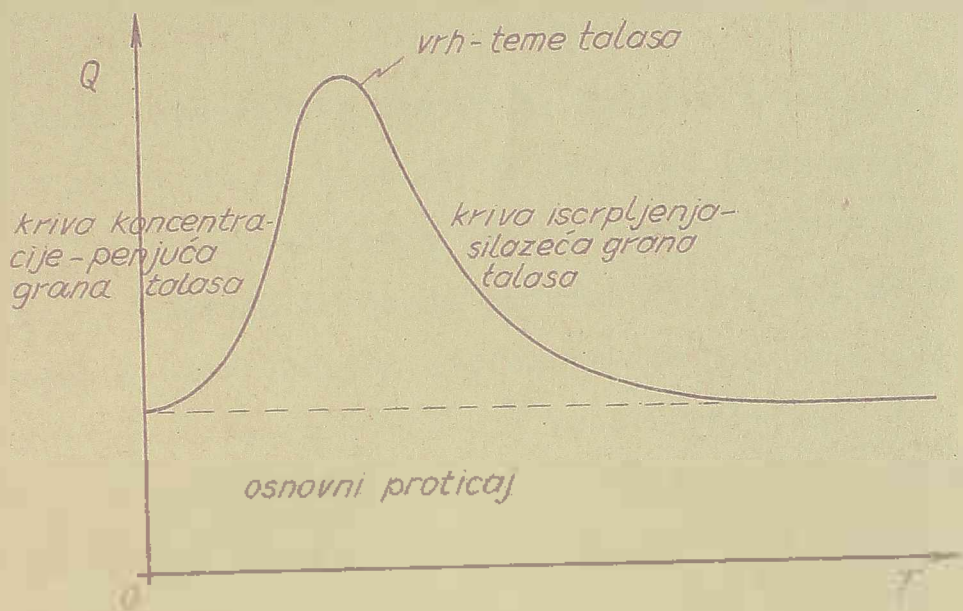
ni talasi, posto oblici složenih talasa, s obzirom na raznovrsnost njihove forme, ne bi mogli biti obuhvaćeni ovakvom analizom. (U slučajevima gde je to bilo moguće, iz složenog talasa izdvajan je osnovni-usamljeni talas, što je pokazano na pomenutoj slici).



Slika (7.3.1.1) Karakteristični oblici poplavnih talasa na Drini, V. Moravi i Savi.
1. Drina u Zvorniku (I, 1948. god.);
2. V. Morava u Supriji (II, 1955. god.);
3. Sava u Sr. Mitrovici (II-III, 1957. god.).

Za ovako odabrane talase analiziran je samo oblik dela talasa koga čine deopunski proticaji, a za koji se prepostavlja da "klizi" po liniji vodnog ogledala osnovnog proticaja.

Hidrogrami poplavnih talasa imaju karakterističan oblik, pri čemu su osnovni elementi jednog talasa njegova koncentracija ili uzlazna grana, vrh talasa ili vrh, i kriva iscrpljenja ili silazna grana (slike 7.3.1.2).



Sl.(7.3.1.2) Hidrogram poplavnog talasa sa osnovnim elementima

Oblik krive koncentracije zavisi od površine i oblika sliva, trajanja i rasporeda padavina. Ovaj deo hidrograma talasa je obično konkavan.

Pod vrhom talasa podrazumeva se deo hidrograma između prevojnih tačaka na penjućoj i silaznoj grani, uključujući i tačku kojoj odgovara maksimalna vrednost proticaja. Položaj vrha talasa u odnosu na ukupno trajanje zavisi od vremenskog rasporeda kiša po trajanju; u slučaju uniformnog rasporeda kiše, vreme pojave vrha nastaje nakon završetke kiše. Ukoliko su kiše neuniformne, one izazivaju talas čiji vrh nastaje pre njihovog završetka. Vrhova može biti više (tzv. složeni talasi), koji su posledica pojave sukcesivnih kratkotrajnih kiša.

Kriva iscrpljenja ili silazna grana hidrograma talasa predstavlja zakon po kome se prazni akumulirana voda u rečnoj mreži, i to nakon pristizanja ukupnog doticaja, što znači da oblik ove krive zavisi od va-

rijacije intenziteta padavina. Fizičke karakteristike rečne mreže su te koje utiču na krivu iscrpljenja.

Vreme trajanja penjuće grane talasa znatno je kraće od vremena trajanja silazni grane, što se objašnjava sporim iscrpljenjem zapremine korita, za razliku od relativno brzog doticanje vode u početku.

U hidrološkoj literaturi poznat je veliki broj različitih izraza, (s teorijskom podlogom ili bez nje), koji se koriste za efikasniju oblike poplavnih talasa. Mi ćemo izvršiti analizu mogućnosti primene nekih od njih na talase pomenute tri reke i na osnovu dobijenih rezultata ćemo izvršiti izbor izraza kojim se najbolje reprodukuju prirodni talasi.

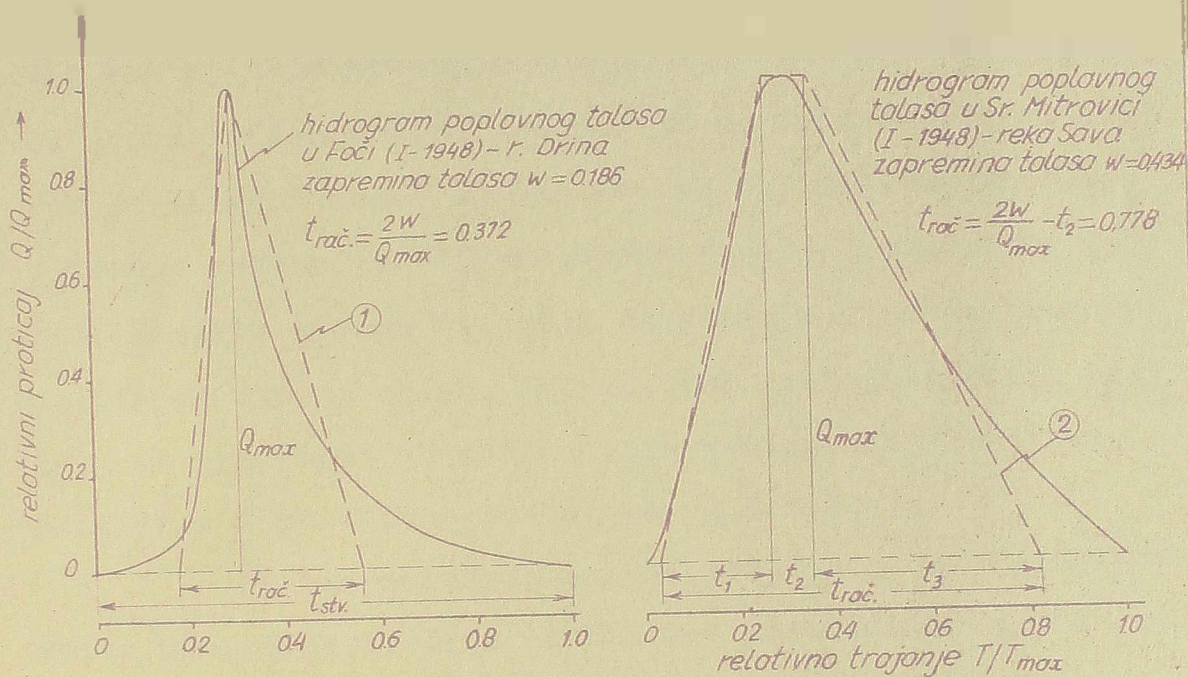
Svi ovi izrazi mogu se podeliti u dve osnovne grupe: oni kod kojih su penjuća i silazna grana ponašanje aproksimirane pravim linijama, i oni kod kojih je usvojen krivolinijski zakon promene proticaja u toku vremena.

U prvu grupu spadaju izrazi po kojima se praviliji talasi aproksimiraju trouglom a razvučeniji trapezom (7.3.1.5).

Princip shematizacije sastoji se u tome da stvarni i shematizovani talas imaju istu zapreminu i maksimalnu ordinatu Q_{max} .

Metod takvog načina prikazivanja talasa leži u tome što zakon promene proticaja s vremenom u silaznoj grani talasa, kako za penjuću tako i za silaznu granu, nije linearan, što pri radu s ovim izrazima dovođi do netačnih vrednosti za trajanje talasa.

Drugu grupu izraza za aproksimaciju oblika talasa čine dve podgrupe: u prvu spadaju izrazi kod kojih je zakon promene proticaja s vremenom dat jednom jedna-



Sl. (7.3.1.3) Aproksimacija oblika talasa (1) trouglom i (2) trapezom

činom za ceo talas, a izrazi druge podgrupe posebno se nose na rastuću i posebno na silaznu stranu talasa.

Češki autor Bratranek [8], izvršio je aproksimaciju oblika talasa Gauss-ovom krivom verovatnoće u

$$-0.5 \cdot x^2$$

$$(7.3.1.4)$$

u kome je

$$y = \frac{Q}{Q_{max}} \text{ relativni proticaj,}$$

$$x = \frac{T}{T_{max}} \text{ relativno trajanje}$$

Upotrebiš vajudi ovaj izraz Bratranek je suncuo vrednosti relativnog vremena (x) u zavisnosti od relativnog proticaja (y) (tabela 7.3.1.I).

Primer privedba ovoj tabeli r salva se na sluzbenici, kao to je već rečeno, da se koristi poplav-

nih talasa u prirodnim koritima u većini slučajeva imaju nesimetričan oblik: penjuća grana talasa je strmija, dok je silazna nešto blaža, što se objašnjava uticajem prirodne retenzije. (Opravdanost Bratranekovog postupka leži čonekle u tome što cilj njegovog rada nije bilo iznalaženje tačnog oblika talasa, već dimenzioniranje preliva na prelivnoj vodojaži preko zavisnosti relativne retenzije i relativnog rešukovanog proticaja).

Oblik prirodnih talasa podseća na nesimetričnu krivu učestalosti, čiji se oblik u praksi vrlo često aproksimira nesimetričnom krivom učestalosti logaritamske raspodele po Galton-u.

Tabela (7.3.1.I)

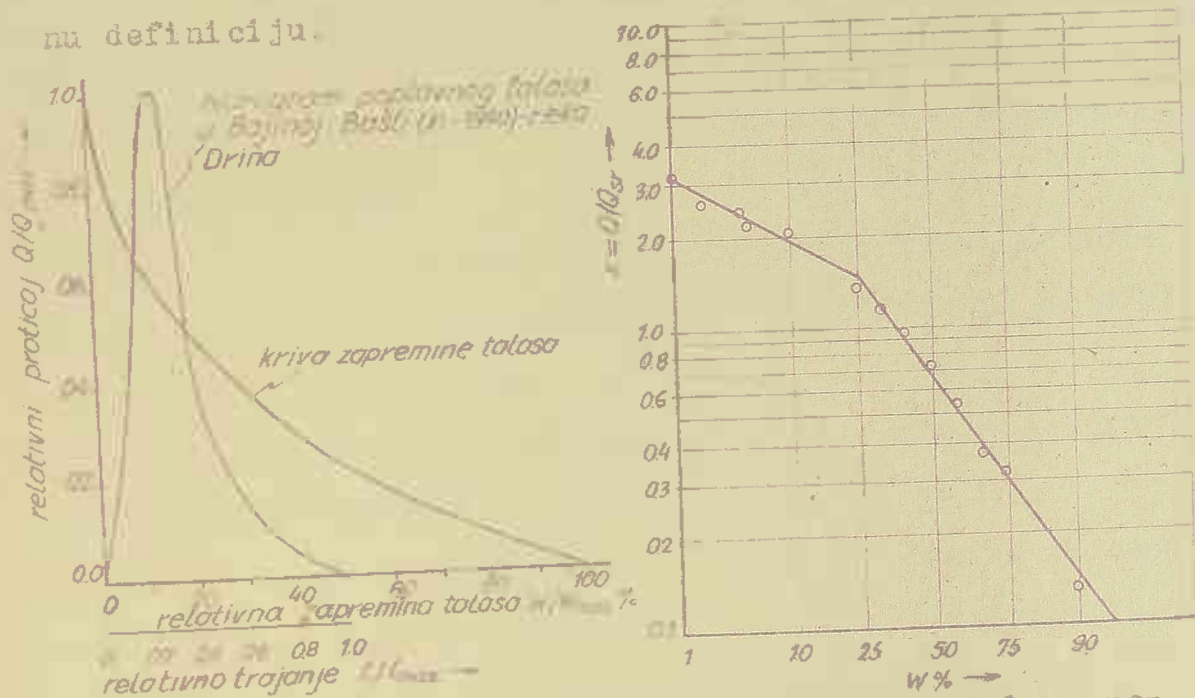
$y = \frac{Q}{Q_{max}}$	$x = \frac{t}{t_{max}}$
1,0	0,0000
0,9	0,1831
0,8	0,2665
0,7	0,3370
0,6	0,4032
0,5	0,4697
0,4	0,5401
0,3	0,6191
0,2	0,7158
0,1	0,8561
0,01	1,0000

$$y = \frac{1}{G_n \sqrt{2\pi}} \cdot e^{-\frac{(\log x - x_n)^2}{2 \cdot G_n^2}} \quad (7.3.1.II)$$

G_n - srednje kvadratno odstupanje logaritama,

x_n - srednja vrednost logaritama

Kriva učestalosti nata jednačinom (7.3.1.4) ima tu osobinu da je njena integralna kriva linija u koordinatnom sistemu s logaritamskom razmerom na jednoj osi, a s razmerom verovatnoće na drugoj, predstavljena pravom linijom, te su dovoljna dva parametra (x_n) i (β_n) za njenu definiciju.



31. (7.3.1.5) Aproximacija oblika poplavnog talasa nesimetričnom krivom logaritamske raspodele po Galtonu.

Što znači da bi oblik poplavnog talasa mogao biti aproksimiran jednačinom (7.3.1.4.), pod uslovom da je kriva zapremine talasa, naneta u koordinatni sistem s pomenutom razmerom, prava linija.

Ovaj postupak je primenjen na posmatrane talase, i pokazalo se, (7.3.1.5), da se krive zapremine talasa pomenutej razmeri ne mogu prikazati jednom pravom, već sa dve prave koje se sijeku, što znači da linija zapremine poplavno talasa odstupa od logaritamskog zakona učestalosti.

Neki autori (2) uvode pri analizi oblika poplavnih talasa Piersonovu krivu tipa III, u vidu

$$y = x \cdot e^{\alpha(1-x)} \quad (7.3.1.6)$$

(α) je parametar koji zavisi od odnosa $\frac{Q_m \cdot t_p}{W}$

Na sl. (7.3.1.7) prikazan je jedan od talasa čiji je oblik aproksimiran jednačinom (7.3.1.6), a koji važe primedbe koje su karakteristične i za ostale posmatrane talase:

a/ Odstupanja odgovarajućih ordinata računarski i stvarnog talasa znatna su, što ukazuje na nedovoljnu "osetljivost" metode.

b/ Trajanje silazne grane hidrograma neopravdano se produžava za niže vrednosti proticaja.

Za talase s izduženim vrhom i razvučenom osnovom dobijaju se dobri rezultati aproksimacijom u vidu dve parabole, koju je predložio Sokolovski. Parabolom n-tog reda aproksimira se penjuća grana talasa od osnovnog proticaja Q_{max} , a parabolom n-tog reda silazna grana od Q_{max} do osnovnog proticaja (slika 7.3.1.8).

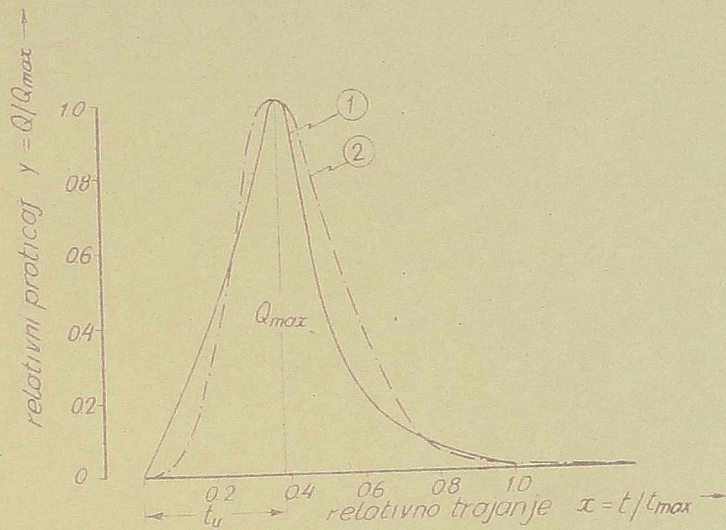
Vrednost eksponentata (m) i (n) iznosi prema Sokolovskom (2), odnosno (3), a dobijena je na osnovu analize oblika prirodnih talasa.

Ako se penjuća grana talasa aproksimira jednačinom

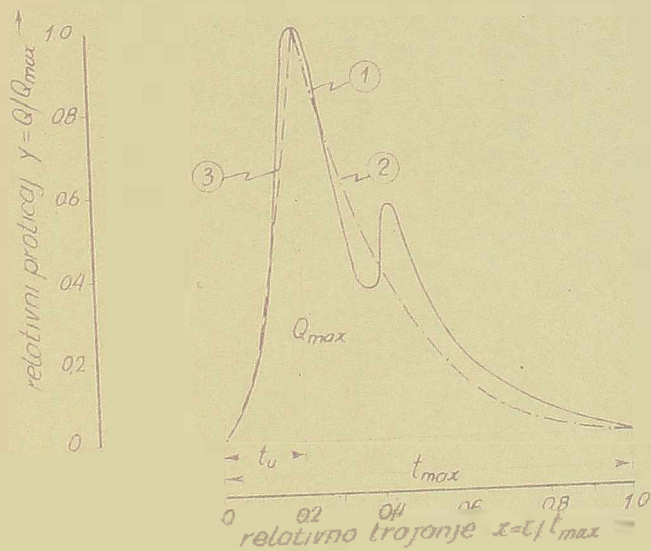
$$y = x^m, \quad 0 \leq x \leq 1 \quad (7.3.1.9)$$

a silazna jednačinom

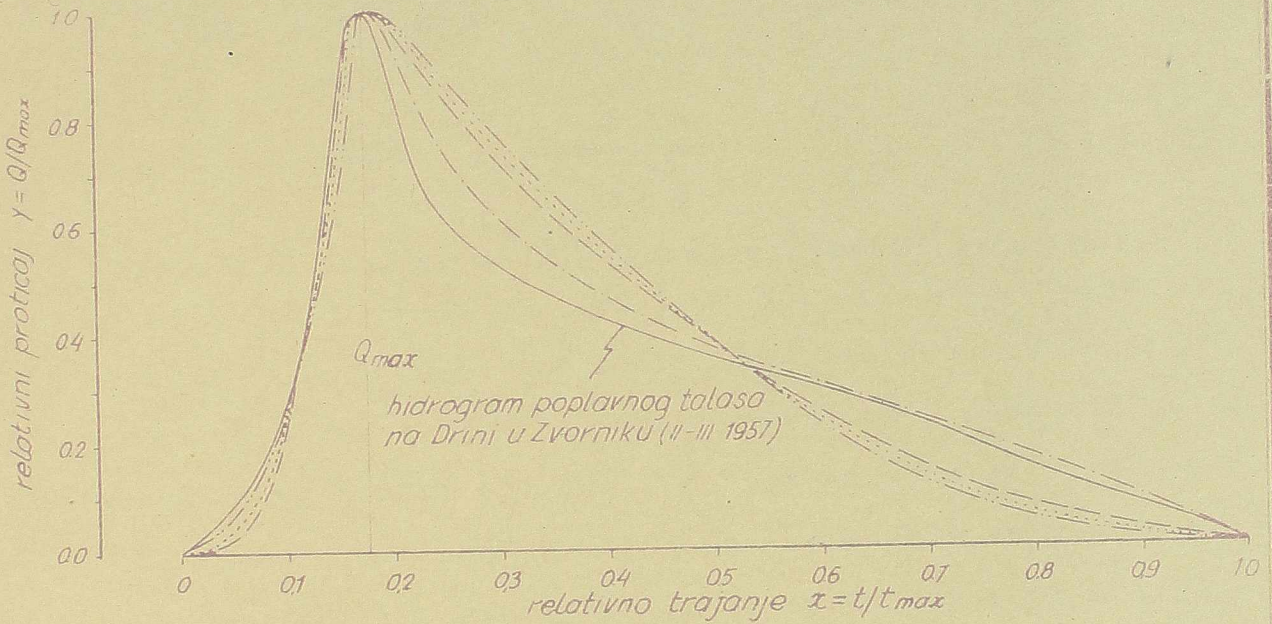
$$y = \left(\frac{\tau - x}{\tau - 1}\right)^n, \quad 1 \leq x \leq \tau \quad (7.3.1.10)$$



Sl. (7.3.1.7) Aproximacija oblika poplavnog talasa na rivom asimetrične učestalosti po Pearsonu (tip III). 1.- hidrogram poplavnog talasa na Zvonici u Kupriji (1955. g.); 2.- isti talas aproksimiran jednačinom (7.3.1.6) za veličinu odnosa $\frac{Q_{max}}{t_u} = 1,14$



Sl. (7.3.1.8) Aproximacija oblika poplavnog talasa na rivu Zvonici (XII, 1952. god.) dvema parabolama, preko jednačina (7.3.1.6) i (7.3.1.7) za veličinu odnosa $\frac{Q_{max}}{t_u} = 1,14$ i $\frac{Q_{max}}{t_{max}} = 1,14$ za drugu granu talasa.



11. (7.3.1.20) Analiza uticaja vrednosti koeficijenta "m" na oblik talasa, prema jednačinama (7.3.1.20) i (7.3.1.21). Penjuća grana prema jednačini (7.3.1.20) --- m = 1,0 p; --- m = 2,0 p; --- m = 2,5 p. Opadajuća grana: prema jednačini (7.3.1.20) --- m = 1,0 p; --- m = 2,0 p; i prema jednačini (7.3.1.21) --- m = 1,0 p; --- m = 2,0 p.

211

$$Y = \frac{Q}{Q_{max}}$$

relativni proticaj,

$$x = \frac{t_p, s}{t_{max}}$$

relativno vreme trajanja porasta, odnosno opadanja povodnja

$$t_{max}$$

ukupno vreme trajanja celog povodnja

$$T = \frac{t_{max}}{x}$$

relativno ukupno vreme trajanja povodnja

onda velicine zapremine tako aproksimiranog talasa (w),

graničena parabola prema jednačinama (7.3.1.9) i (7.3.1.10), iznosi:

$$= Q_{\max} \cdot t_p \left(\frac{1}{m+1} + \frac{t-1}{n+1} \right) = Q_{\max} \cdot t \cdot S. \quad (7.3.1.11)$$

$$\frac{1}{m+1} + \frac{t-1}{n+1} = \frac{1}{m \cdot x \cdot t_p} \quad (7.3.1.12)$$

Prema Sobolovu, izraz $1/S$ se naziva koeficijent oblika. Prema (7.3.1.8) i (7.3.1.12) prikazuje se koeficijent oblika silazne grane talasa i veća parabola. Za talas koji se pojavljuje u silaznoj grani talasa, koeficijent oblika je manji od jedinice. Ovo je zbog toga što je površina pod krivom talasa u silaznoj grani manja od površine pod krivom talasa u penjućoj grani. Ovo se odražava na koeficijent oblika, koji je u silaznoj grani manji od jedinice. Ovo je odgovor stvarnom obliku prirodnih talasa.

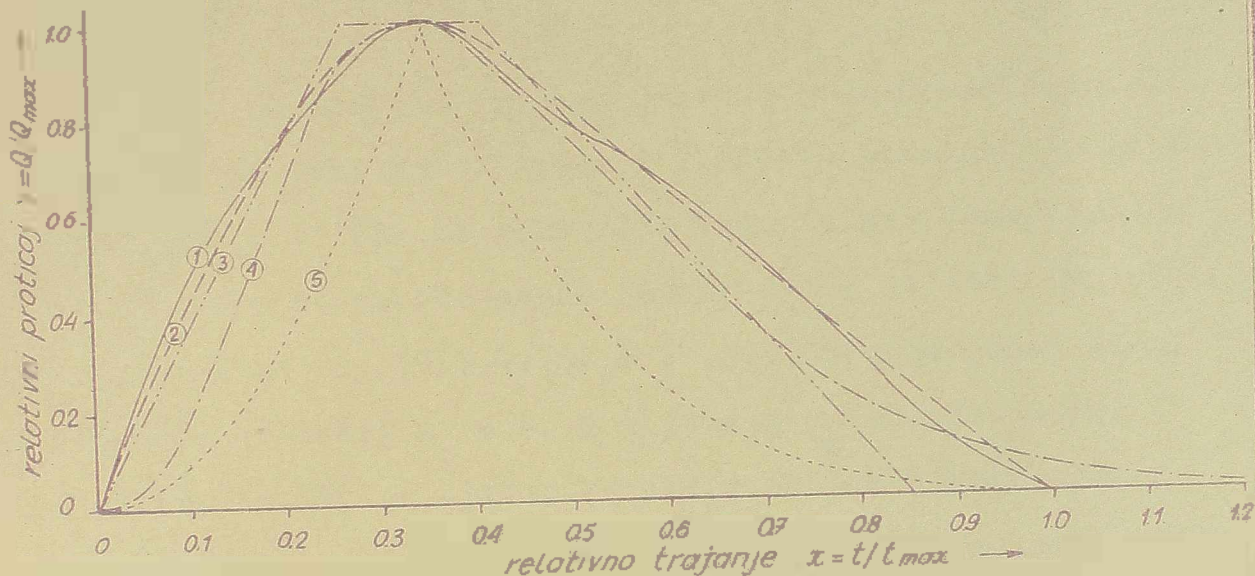
V.G. Andrejanov uvodi za aproksimacija oblika penjuće i silazne grane talasa analitički izraz:

$$y = (n+1) \cdot x^n - n \cdot x^{n+m}, \quad \min \geq 0 \quad (7.3.1.14)$$

$x = \frac{t}{t_{\max}}$ za penjuću, odnosno $x = \frac{t_{\max} - t}{t_{\max}}$ za silaznu granu talasa (vidi sliku 7.3.1.13)

Površina hidrografa, odnosno zapremine sedimenata, koja se nalazi pod krivom linijom date izrazom (7.3.1.14), može se izračunati kao površina stvarnoj zapremini tog sedimenata, odnosno kao površina stvarne zapremine (uzimajući u obzir relativne vrednosti vremena trajanja i sedimentacije):

$$\int_0^1 y \cdot dx = \int_0^1 [(n+1) \cdot x^n - n \cdot x^{n+m}] dx = 1 - \frac{1}{(n+m+1)} = \frac{n}{n+m+1} \quad (7.3.1.15)$$



Sl. (7.3.1.18) Aproximacije oblika poplavnog talasa u Bos. Gradinski (1925. god.) i prirodni talas; 2.- aproksimacija jednom činom (7.3.1.14); 3.- aproksimacija trapezom; 4.- aproksimacija jednom činom (7.3.1.16); 5- aproksimacija dvema parabolama preko jednog čina (7.3.1.10) i (7.3.1.10).

Tu je: (n) eksponent u jednačini (7.3.1.14); (m) stepen potpune krivine duž krive date jednačinom (7.3.1.14); (t_1) deo z prethodne jednačine koji odgovara početnoj brzini, odnosno silaznoj fazi talasa; (t_2) vreme od osova penrice, odnosno silazne faze talasa; (p) koeficijent oblika talasa.

(7.3.1.15) po (n) dobij

$$n = \frac{1}{p} + \frac{1}{m} - 1$$

+/ Koeficijent (p) koji odgovara obliku talasa, odnosno koeficijent oblika talasa, koji se određuje po tabeli 1.

Konstatovano je da između parametara (m) i (p) postoji zavisnost:

$$m = 2p \quad (7.3.1.17)$$

Detaljna analiza prirode jednačine (7.3.1.14) na talase reke Save, Drine i V.Morave pokazala je da zavisnost $m = f(p)$ ne samo nije ista za sve reke, već da nije ista ni za obe grane jednog istog talasa. Kao što se vidi na sl. (7.3.1.13) i (7.3.1.18), penjućoj grani talasa odgovara $m_p = 2$, a silaznoj $m_s = 0$. Međutim, sl.(7.3.1.13) je ujedno karakterističan primer koliko je jednačina (7.3.1.14) malo osetljiva na promenu koeficijenta (m) , tako da u cilju uopštavanja rezultata ima smisla uopštiti zavisnost $m = f(p)$ zajedničku za sve talase.

U tablici (7.3.1.II) dat je pregled zavisnost (m) i (p) za pomenute tri reke, kako za penjuću tako i za silaznu granu povodnja:

Tabela (7.3.1.I)

R e k e	Penjuća grana	Silazna grana
Sava	$m = 2p$	$m = 2p$
Drina	$m = 2p$	$m = 0$
V.Morava	$m = 2p$	$m = 0$

Oblik povodnja za pomenutim rekama definisano je sledešim jednačinama:

Reka Sava

penjuća i

silazna grana

$$y = (n + 1) \cdot x^n - n \cdot x^{n + m}; \quad m = 2p \quad (7.3.1.19)$$

Reka Drina

penjuša grana $y = (n + 1) \cdot x^n - n \cdot x^{n+m}$; (7.3.1.20)

$m = 2p$,

silazna grana $y = x^{n+x-0.6}$; $m = 0$ (7.3.1.21)

Reka V. Morava

penjuša grana $y = (n + 1) \cdot x^n - n \cdot x^{n+m}$; (7.3.1.22)

$m = 2p$,

silazna grana $y = x^n$; $m = 0$ (7.3.1.23)

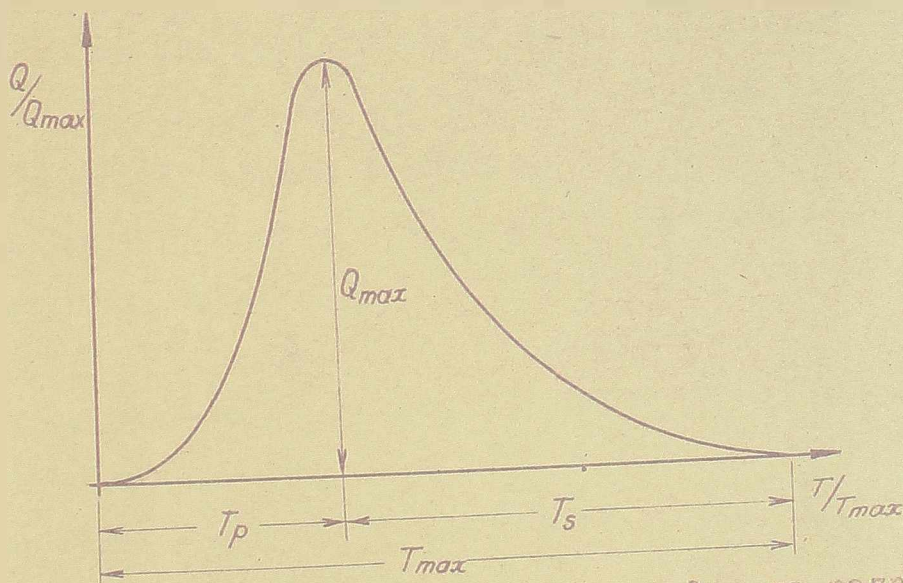
Kao što se vidi iz jednačine (7.3.1.21), specifičnost oblika silazne grane Drinskih talasa uslovlila je donekle specifičan oblik osnovne jednačine. Treba reći i naglasiti da se jednačina (7.3.1.21) može vrlo dobro zameniti jednačinom (7.3.1.23), pri čemu se za vrednosti $x < 0,60$ dobijaju vrednosti ordinata nešto manje od stvarnih, odnosno, za $x > 0,60$ nešto veće.

Podaci iz tablice (7.3.1.IV) kao i jednačine (7.3.1.21) i (7.3.1.22) pokazuju da je silazna grana talasa najbolje aproksimirana parabolom koja u prešelu zonu daje nešto niže vrednosti od stvarnih. S obzirom na to da se ovaj ostepanje a nose na jedanu vrlo usku zonu u blizini maksimalne ordinata, kao i na to da je ostali deo hidrograma vrlo dobro aproksimiran, (što se ne može u potpunosti reći za slučaj aproksimacije parabolom po jednačini (7.3.1.10), sl. (7.3.1.13), možemo smatrati da rezultati dobijeni prema jednačinama (7.3.1.21) i (7.3.1.22) u potpunosti zadovoljavaju.

Irena tobo, u zaključku se može reći da je oblik penjuće grane najbolje aproksimiran jednačinom u kojoj je $m = 2p$, dok za silaznu granu važi odnos $0 < m < 2p$, tako da u daljoj analizi odnos koeficijenta (m/p) treba tretirati kao parametar.

Da bi se olakšala primena jednačina (7.3.1.19 - 7.3.1.23), izrađene su tabele (7.3.1.24). (Ovim tabelama obuhvaćene su vrednosti koeficijenta oblika p , konstatovane na analiziranim talasima - vidi tabelu (7.3.2)).

Na osnovu izloženog, parametri pomoću kojih se može izraziti jednačina oblika jediničnog talasa (vidi sliku 7.3.1.24), jesu sledeći:



Sl.(7.3.1.24) Redukovani talas sa naznačenim osnovnim elementima

(p) - koeficijent oblika penjuće, odnosno silazne grane
(p/p_s) - odnos koeficijenta oblika za penjuću i silaznu granu talasa.

(t_p/t_s) - odnos trajanja penjuće i silazne grane talasa

(m/p_s)

Da bi se sa ovako definisanog jediničnog talasa prešlo na stvarni, potrebno je raspolagati sledećim podacima:

(Q_{max}) - maksimalni proticaj kome odgovara maksimalna ordinata hidrografa.

(T_{max}) - ukupno trajanje talasa.

Množeći ordinate jediničnog hidrografa sa Q_{max} i apscise sa T_{max} , dobija se hidrogram prirodnog talasa.

7.3.2 Analiza i izbor krivih zapremine. - Na prvi pogled, s obzirom na izvanredno složene forme krivih zapremine koje se dobijaju za uslove koji vladaju u prirodnim tokovima, upštavanje ovih krivih izgleda nemoguće, a da se pri tome ne učini gruba aproksimacija.

U cilju pojednostavljenja oblika krivih zapremine prirodnih korita činjeni su brojni pokušaji, (vidi tačku 5.3.1.2 disertacije), ali je po našem mišljenju sa teorijske tačke gledišta jedino ispravan postupak uvođenja karakteristične deonice, čime se postize jednodušna zavisnost proticaja u nizvodnom profilu i zapremine. Na taj način se forme krivih zapremine izvanredno uprošćene u jednostavne oblike koje smo navikli u analizama deonica proizvoljnih dužina.

S obzirom na sve što je do sada izneto, usvajamo karakterističnu deonicu kao računsku.

Postavlja se pitanje na koji način odrediti pravu krivu zapremine, nakon što je određena dužina karakteristične deonice.

U idealnom slučaju trebalo bi raspolagati nivoima pri raznim proticajima i tačnim snimanjima pro-

fila korita duž toka. Ukoliko ne raspoložemo sa ovim po-
 dacima (kao je najčešće slučaj), proračun krivih zapre-
 mine treba izvršiti bilansiranjem ulaznih i izlaznih pro-
 ticeja, kao što je to već objašnjeno. Međutim, u prime-
 ni ovog poslednjeg postupka postoji jedna smetnja: može
 se desiti da ne možemo karakteristično deonice na padu-
 ra sa dužinom rečne deonice između dve vodomerne stani-
 ce. U tom slučaju moramo pribeci aproksimaciji, i proračun
 zapremine izvršiti sa nekim srednjim geometrijskim ka-
 rakteristikama poprečnih profila toka.

Promena geometrijskih karakteristika prirodnog
 korita duž toka (širine i površine poprečnog profila, kao
 i zapremine korita) sa vodostajem, može se prikazati is-
 ključivo grafički, pri čemu se operiše sa srednjim vred-
 nostima.

Pomenute veličine vezane su medju sobom slede-
 oim zavisnostima:

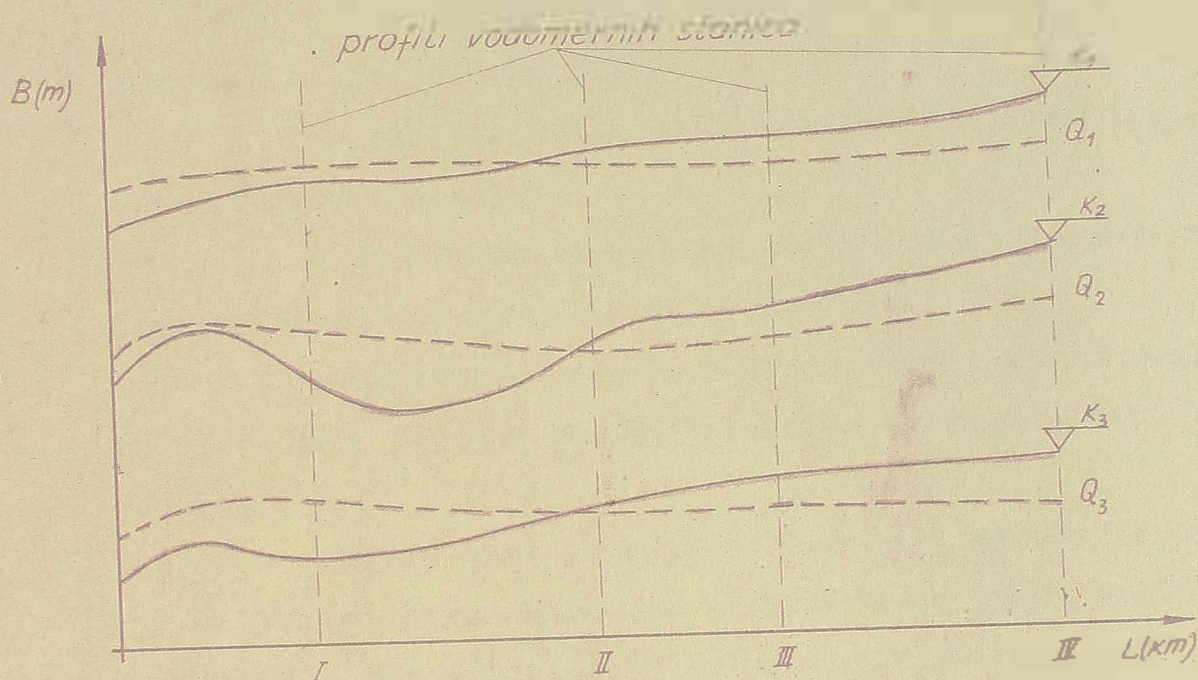
$$F = \int_{z_0}^z B \cdot dz \quad (7.3.2.1)$$

$$v = \bar{v} \cdot B \quad (7.3.2.2)$$

što znači da je za definiciju svih ostalih, dovoljno po-
 znavanje samo zavisnosti $B = B(z)$.

Da bi došli do ove funkcije moramo raspolaga-
 ti podacima o krivama proticeja u izvesnim profilima na
 jednoj dužoj deonici, koja sadrži i našu karakterističnu.
 Isto tako potrebno je i situacija koline ponašane re-
 ke. Koristeći podatke sa situacije mogu se konstruisati
 dijagrami na slici (7.3.2.3), koji predstavljaju razmak
 između dve susedne izohipse sa istom kotom. Koristeći
 podatke o kotama nivoa u izvesnim profilima i prethodno
 konstruisane dijagrame, mogu se na istom crtežu konstru-

isati dijagrami promene širine vodnog ogledala sa vodostajem.



Sl. (7.3.2.3) Dijagrami promene širine korita

- dijagram promene razmaka između dve susedne izohipse sa istom kotom
- dijagram promene širine vodnog ogledala duž toka pri jednom određenom proticaju

Koristeći ove dijagrame vrlo lako se dolazi do srednje veličine širine vodnog ogledala na posmatranoj deonici (\bar{B}), zatim do površine (\bar{F}), srednje dubine toka (H_{st}) i konačno veličine zapremine korita pri jednom određenom vodostaju.

Oveko sračunate krive zapremine upoređuju se sa krivama na osnovu kojih su sračunati nomogrami, i konačno se konstatuje ona računaska kriva zapremine koju najviše odgovara prirodnoj. U slučaju potrebe može se izvršiti i interpolacija.

Pri izboru računskih krivih zapremine za proračun nomograma, pošli smo os sledećih pretpostavki:

- veza proticaja u nizvodnom profilu i zapremine korita je jednoznačna

- prirodni rečni profil se može aproksimirati širokim pravougaonim.

- pad nivoa vodnog ogledala u stacionarnom režimu približno je konstantan za sve proticaje.

Samo drugu i treću pretpostavku treba "braniti", pošto je prv. evidentna iz definicije karakteristične deonice.

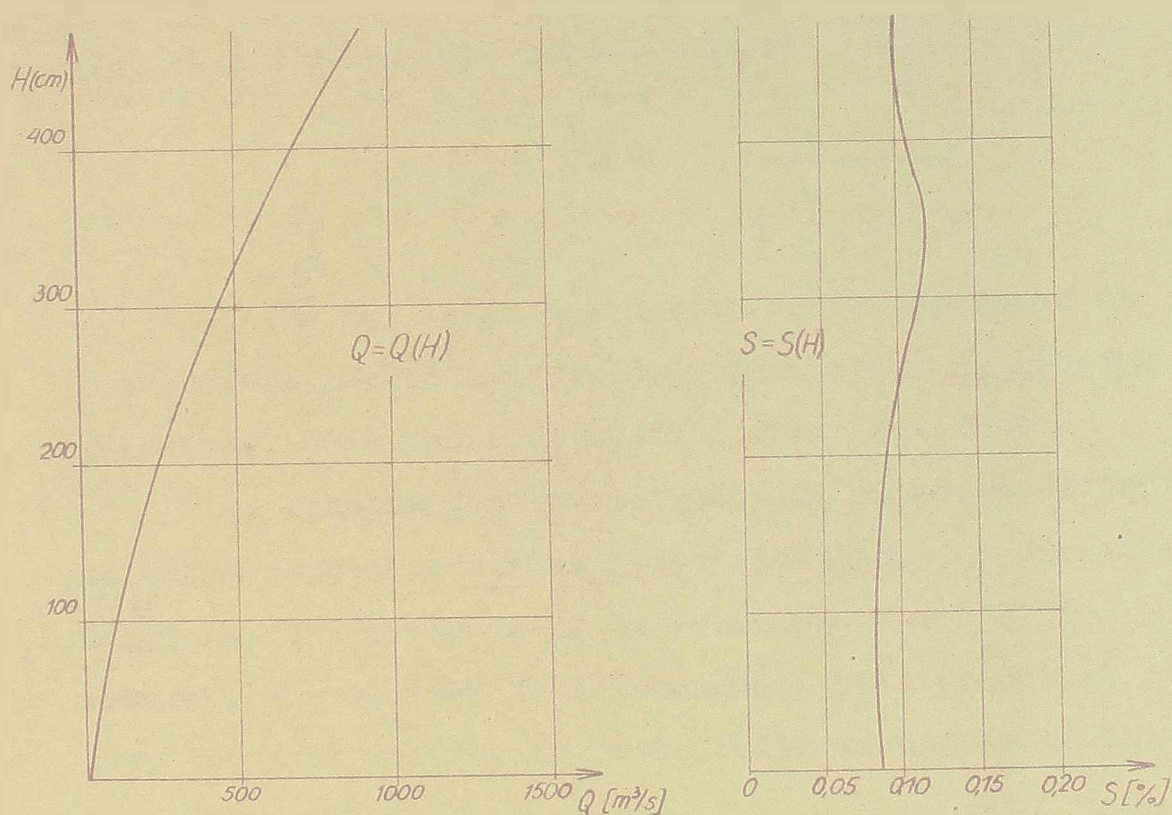
Ako se uzme u obzir da ~~deo glavnog~~ korita, od nivoa koji odgovara osnovnom proticaju do punog korita, predstavlja procentualno mali deo (bilo po površini, bilo po propusnoj moći) od ukupnog proticajnog profila, onda se prirodno korito globalno može zameniti širokim pravougaonim^{+/}, sa nekom urednjom dubinom $H_{gr} = F/B$.

Što se tiče treće pretpostavke, poznato je da se pad nivoa vodnog ogledala na jednoj rečnoj deonici menja tako sa promenom proticaja u stacionarnom režimu, tako i usled nestacionarnih promena režima.

Uvodjenjem karakteristične deonice uticaj promene pada usled nestacionarnosti pojave se eliminiše

+/ Nomogram bi se mogli konstruisati i za karakteristični oblik složenog rečnog profila sa inundacijom, samo bi u tom slučaju potreban broj n stepena za definiciju krivih zapremine bio neuporedivo veći i nomogrami bi bili neuporedivo komplikovaniji za upotrebu

Zakon promene uzdužnog pada nivoa vodnog ogledala sa proticajem u stacionarnom režimu ne može se izraziti analitički; veličine pada zavisi od više parametara, a uticaj svakog od njih pojedinačno različit je u raznim slučajevima. Iz tog razloga smo pribegli analizi konkretnih podataka dobijenih merenjima u prirodi. Npr., snimanja padova pri raznim vodostajima - proticajima na V. Moravi (vidi sliku 7.3.2.4), pokazuju da praktično



Sl. (7.3.2.4) Promena pada nivoa vodnog ogledala sa promenom proticaja u u profilu lugavčina na reci V. Morava.

promene pada sa promenom proticaja nema, što se može smatrati karakterističnom pojavom za reke ravničarskog karaktera sa relativno malim padom. Ovom konstatacijom obrazložena je i treća pretpostavka od koje se pošlo pri konstrukciji računskih krivih zapremine.

Uzimajući u obzir pretpostavke od kojih smo pošli, jednačinu zapremine deonice karakteristične dužine (L) možemo definisati počevši od jednačine za proticaj kroz široko pravougaono korito, izražene pomoću Chezy-jevog koeficijenta:

$$Q = \frac{\sqrt{s_{tr}}}{n} \cdot \frac{1}{B^{2/3} L^{5/3}} \cdot v^{5/3} = a \cdot v^{5/3} \quad (5.3.1.5)$$

gde je radi skraćenja uvedena oznaka

$$a = \frac{\sqrt{s_{tr}}}{n} \cdot \frac{1}{B^{2/3} L^{5/3}}$$

Na taj način smo uspeli krive zapremine da predstavimo parabolama, za čiju definiciju je potrebno poznavanje samo veličine koeficijenta (a).

Može se staviti primedba da su ovako definisane krive zapremine suviše pojednostavljene i veštačke. Međutim, činjenica je da je zavisnost $V = V(Q)$ tog karaktera, a s obzirom da će nomogrami biti sračunati za snop ovakvih krivih, to postoji široka mogućnost interpolacije.

Pošto su računski talasi, (tačka 7.3.1 disertacije), definitivno svedeni na jedinične redukovanjem ordinata i apacisa hidrograma maksimalnom vrednošću proticaja i trajanja, to je bilo neophodno da se i odgovarajuća kriva zapremine redukuje u istom smislu. Na taj način je definitivno dobijena jednačina redukovane

krive zapremine:

$$Q/Q_m = \frac{(Q_m \cdot t_{max})^{5/3}}{Q_m} \cdot \frac{\sqrt{s_{tr}}}{n} \cdot \frac{1}{B^{2/3} L^{5/3}} \cdot \left(\frac{V}{Q_m \cdot t_{max}}\right)^{5/3} \quad (7.3.2.6)$$

odnosno

$$Q_m = b \cdot v_r^{5/3} \quad (7.3.2.7)$$

gde je

$$b = \frac{\sqrt{s_{tr}}}{n} \cdot q_m^{2/3} \cdot \left(\frac{t_{max}}{I}\right)^{5/3}$$

$$v_r = \frac{v}{Q_m \cdot t_{max}} \quad - \text{redukovane zapremina korita}$$

Što se tiče vrednosti koeficijenta (b), ona može da varira u veoma širokim granicama (vidi tabelu 7.3.2.1)[†]:

Tabela (7.3.2.1)

Naziv reke	Drednji pad ni-voa o/oo	Srednja vrednost koef.rapavosti	Srednja sirina poloja (m)	Duzina karakteristične deonice (m)	$\frac{Q_m}{l_0}$ (m ³ /s)	UKUPNO trajanje talasa t (dan)	(b)
Dunav	0,073	0,035	1300	68.000	14	55	137
Sava	0,055	0,035	4.000	78.000	4	18	2
V.Morava	0,25	0,035	400	9.000	2	10	5.250
Drina	1,29	0,035	200	2.100	3,5	6	65.900

Na osnovu gornje tabele usvajamo za izradu nomograma sledeće vrednosti koeficijenta (b):

$$b = 1 \quad - \quad 1.000 \quad - \quad 50.000 \quad - \quad 100.000$$

[†] Podaci su ravnopravni za potpuno deonice

7.4 Izrada nomograma i korišćenje

Nakon izbora metode za proračun nomograma i analize parametara koji su neophodni za proračun po usvojenoj metodi, treba definisati i parametre za koje ćemo izvršiti proračun nomograma.

Kao što je ranije pomenuto, redukovani jedinični talas može se definisati parametrima (p_p), odnosno parametara (p/p_s), (t_p/t_s) i (m/p_s - vidi str. 219). Veličina ovih parametara sračunata je i prikazana u već pomenutoj tabeli (7.3.1. C).

Teorijski, koeficijenti (p_p), odnosno (p_s), mogu da variraju u granicama od 0-1, a njihov odnos u granicama od 0-∞. Na osnovu analize veličine ovih parametara na talasima opaženim na nekim našim većim rekama, veličina koeficijenta oblika (p) varira u granicama od 0,15-0,60, a odnos ovih koeficijenata za penjuću i silaznu granu talasa u granicama od 1,0-2,50.

Odnos trajanja krive koncentracije i krive iscrpljenja na hidrogramu (t_p/t_s), teorijski takođe može da varira u granicama od 0-∞, dok je za analizirane talase konstatovano da je $0,20 \leq t_p/t_s \leq 2,00$. (Odnos 1,70 konstatovan je samo za moravske talase, dok su najčešće vrednosti 0,30 - 0,50).

Što se tiče odnosa (m/p), analiza je pokazala da za penjuću granu važi $m/p = 2$ za sve tipove talasa, kao i za silazeću granu za nizvodne delove izrazi-

*/ Ovo na prvi pogled nije očigledno, pošto je

$$p_p/p_s = \frac{w_p}{w_s} \cdot \frac{t_p}{t_s} \cdot \frac{t_s}{t_p} \cdot \frac{t_p}{t_s} \cdot \frac{t_s}{t_p}, \text{ pri čemu je } \frac{w_p}{w_s} < 1, \text{ a}$$

$$\frac{t_p}{t_s} > 1.$$

to ravničarskih tokova velike slivne površine, sa pritokama bogatim vođom i kontinualnim dotokom (reke Sava i Dunav npr.), kod kojih se kriva iscrpljenja odlikuje velikim trajanjem. Za reke manje slivne površine, kod kojih su talasi posledica padavina u jednoj užoj zoni sliva (V. Morava i Drina npr.), odnos $m/p = 0$, što znači da je i trajanje nizvodne grane hidrograma poplavnog talasa kraće nego u prethodnom slučaju.

Konačno, na osnovu svih ovih razmatranja, za izradu nomograma su odabrane sledeće vrednosti parametara potrebnih za definiciju talasa:

$$p_p = 0,05 - 0,30 - 0,70 - 1,00$$

$$\frac{p}{p_m} = 1,00 - 1,50 - 2,50$$

$$\frac{t}{t_p} = 0,25 - 0,50 - 1,50$$

$$\frac{m}{p} = 2 \text{ (za penjuću granu) i } 0 \text{ i } 2 \text{ (za silaznu granu)}$$

Drugi osnovni parametar neophodan za proračun nomograma jeste, kao što nam je poznato, kriva zapremine, za čiju definiciju je potrebno poznavanje veličine koeficijenta

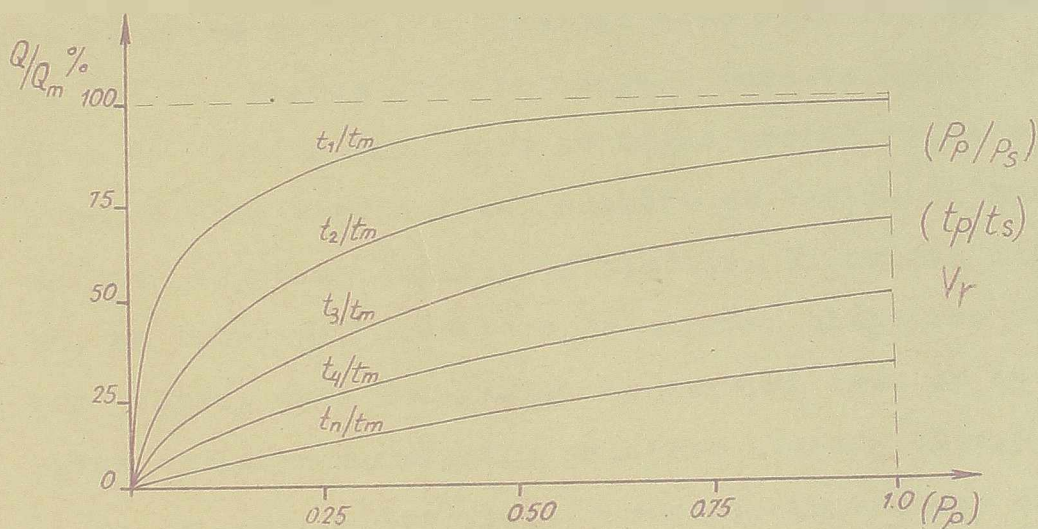
$$b = \frac{\sqrt{S_0}}{n} \cdot \frac{2}{3} \cdot \left(\frac{\tan \alpha}{3} \right)^{5/3}$$

Nomogrami će biti sračunati za vrednosti ovog koeficijenta:

$$b = 1 - 1000 - 5000 - 100.000$$

Definisani talasi i krive zapremine, izvršen je proračun nomograma.

Rezultati proračuna prikazani su u prilogu nomogramu za približan proračun propagacije talasa u prirodnim tokovima, a u vidu dijagrama prikazano na slici (7.4.1).



Sl. (7.4.1) Veličina ordinata transformisanih talasa u zavisnosti od tipa ulaznog talasa

Treba napomenuti da je relativno trajanje t/t_{\max} na nomogramu na slici (7.4.1) figurise kao parametar, izraženo u % od vremenske osnove ulaznog talasa. Ovo je učinjeno stoga što se silazna grana izlaznog talasa asimptotski približava apscisnoj osovini - nivou koji odgovara početnom proticaju, te stoga nije moguće tačno definisati trajanje izlaznog talasa. Ostatak silazne grane izlaznog talasa nema nikakvog praktičnog značaja, te se može opravdano zanemariti. U slučaju

* Tabelarni proračun nije zbog obimnosti priložen, već se nalazi u našoj dokumentaciji i ukoliko je potrebno može biti stavljen na uvid.

potraže, povratak silazne grane talasa je lako ekstrapolovati].

Korišćenje nomograma je jednostavno, što je uostalom i jedan od osnovnih uslova.

Za konkretni ulazni talas određuje se veličine (p_p) , (p_s) , (p_p/p_s) , (t_p) , (t_s) i (t_p/t_s) . Definise se kriva zapremine određivanjem veličine koeficijenta (b) . Na osnovu ovih podataka i poznate krive zapremine za seonicu kroz koju se talas propagira, izražene u relativnim vrednostima, odabere se varijanta nomograma koja odgovara konkretnom slučaju. Na osnovu nomograma, na istom priložnom kome je nacrtan hidrogram ulaznog talasa, crta se izlazni talas, pri čemu se za trenutak veličina maksimalne ordinate ulaznog talasa usvaja za jednu jedinicu. U određenim tačkama na vremenskoj osovini hidrograma nanesu se ordinate (Q/Q_{max}) očitane sa nomograma, izražene u(%) od maksimalne ordinate (Q_{max}) ulaznog talasa. Položaj maksimalne ordinate izlaznog talasa određen je tačkom na silaznoj grani ulaznog talasa u kojoj je proticaj jednak (Q_{max}) . Na taj način definisan "jedinичni" izlazni hidrogram ujedno predstavlja stvarni izlazni talas ako se ponovo vratimo na razmeru u kojoj je nacrtan ulazni hidrogram.

P O G O V O R

Želeo bih na kraju da izrazim zahvalnost svima onima koji su mi pružili bilo moralnu ili stručnu podršku da okončam svoj trogodišnji rad na izradi disertacije.

Zahvaljujem svome profesoru Relji Popoviću, koji me je od prvih dana stupanja na dužnost asistenta pri Građevinskom fakultetu upućivao na rad na usavršavanju i izradi teze, i koji je imao izvanredno mnogo razumevanja za obaveze koje su mi ovim radom nametnute.

Ogromnu zahvalnost dugujem pokojnom profesoru Dr inž. Gezi Bati na stručnoj pomoći i uvodjenju u materiju koja čini suštinu moje teze.

Profesoru Dr Milanu Popadiću dugujem zahvalnost za vrlo korisne savete iz oblasti matematskog tretmana teorije nestacionarnog kretanja.

I na kraju, što ne odgovara značaju pomoći koja mi je pružena, najtopliju zahvalnost izražavam kolektivu Hidrauličke laboratorije Instituta za vodoprivredu "Jaroslav Čerai", koji mi je bez ikakvih ograničenja omogućio rad, kako na praktičnim i teorijskim problemima analize nestacionarnih fenomena u prirodnim tokovima, tako i na izradi same teze.

Beograd, oktobra 1964. god.

Dr Dragutin Muskatirović
Inž. Dragutin Muskatirović

SPISAK KRAĆICE I KORISNIH OZNAKA

- A - simbol za obelježavanje izvedenih parametara
ravna toka
- α - karakteristično spljoštenje talasa
- B - širina vodnog ogledala
- B' - širina vodnog ogledala složenog prirodnog
poprečnog profila
- C_s - Šezijev koeficijent
- $c = g \cdot \sqrt{F/B}$ - brzina propagacije malih talasa u
prizmatičnom koritu
- F - površina poprečnog preseka toka
- g - ubrzanje zemljine teže
- H - dubina toka
- K - moduo proticaja po Bahmeteev-u
- L - dužina karakteristične deonice; dužina deonice
- l = L/2
- $M = g/2 \cdot (S_0 - S_{tr}) \cdot \Delta t$
- m - eksponent u jednačini oblika talasa
- $n = (m+1) \left(\frac{1}{p} - 1 \right)$
- koeficijent rapavosti po Manning-u
- p - koeficijent oblika talasa
- p_F - koeficijent oblika penjuće grane talasa
- p_S - koeficijent oblika silazeće grane talasa
- Q - proticaj
- Q_p - povišeni proticaj
- Q_{lim} - limitirani, ograničeni proticaj
- q_1 - točni doticaj
- R - hidraulički radijus
- S_0 - pad dna ili nivoa vodnog ogledala u ravnomernom
režimu

- δ_{tr} - gubitak pada na trenje
- T - trajanje talasa
- T_{max} - ukupno trajanje talasa
- t - vreme
- t_p - trajanje penjuće grane talasa
- t - trajanje silazeće grane talasa
- U - $\frac{\sqrt{g}}{2} \int \frac{dF}{dF}$ - za prizmatično korito
- V - zapremina korita; retenzija
- v - srednja profilska brzina
- v_{kr} - kritična brzina
- z - vodostaj
- W - $c = \sqrt{\frac{E}{35}}$ maksimalna brzina propagacija čela talasa
- W - zapremina talasa
- X - odnos uticaja ulaznog i izlaznog proticaja na formiranje zapremine
- x - odstojanje mereno duž toka
- y - dubina toka
- α - koeficijent proporcionalnosti
- β - koeficijent proporcionalnosti
- γ - zapreminska težina vode
- Δ - konačni prirastaj neke veličine
 - determinanta sistema
- δ - determinanta sistema
- θ - koeficijent ponderacije
- λ - koeficijent trenja
- ξ - dubina u na kojoj tački toka
- ρ - gustina
- τ - vreme propagacije
- ϕ - karakteristična promenljiva
 - oznake u eksponentu:
- (+; -) veličine koje se odnose na pozitivnu, odnosno negativnu karakteristiku
 - oznake u indeksu:
- (i) - izlazni profil

(m) - izvodna tačka na mreži karakteristika u ravni
(x,t).

(sr) - srednja vrednost

(~~sr~~) - tražena tačka na mreži karakteristika u ravni
(x,t)

0 (nula) - oznaka elemente početnog režima

L I T E R A T U R A

1. Alekseev G.A.: Približnne metode račeta transformaciji porodka vodohraniličami. Trudzi gosudarstvenogo gidrologičeskogo instituta br.52. Gidrometeoizdat, Leningrad, 1956.
2. Andrianov: V.G.: Gidrologičeskie rascety pri proektirovanii malih i srednih gidroelektro-stancii. Gidrometeoizdat, Leningrad, 1957.
3. Arhangel'skiĭ V.A.: Rasčet neustanovivšegosja dviženija v otkrytykh vodotokah. Izd. Ak.Nauk. SSSR, 1947.
4. Bata G.: Opšte numeričko rešenje propagacije talasa u otvorenim tokovima, Doktorska disertacija Beograd, 1962.
5. Bata G. i Ašković N.: Povišenje poplavnih talasa na Savi posle zaštite poplavnih površina. Saopštenja instituta za vodoprivredu "Jaroslav Černi", br. 29, Beograd
6. Bata G.: Prolazak poplavnih talasa u prirodni tokovima. Saopštenja Instituta za vodoprivredu "Jaroslav Černi", br. 20-21, Beograd, 1960
7. Bata G. i Lučestirović J.: Korišćenje akumulacija u cilju smanjenja poplavnih velikih voda (u štampi)
8. Bratranek A.: Economic dimensions of a reservoir spillway with regard to the natural retention of the highest flood. Fourth Congr. on Large Dams, New Delhi, 1951.
9. Ginger B.H.: Transformacija maksimalnih rashodov vodohraniličami. Trudzi gosudarstvenogo gidrologičeskogo instituta, br. 52. Gidrometeoizdat, Leningrad, 1956.
10. Craya: Calcul graphique des regimes variables dans les canaux. La Houille blanche. 89 1, Nov.1945.
- 11.unge J.A. Wegner K.: Integration numerique des equations d'ecoulement de barre de Saint-Venant par un schema implicite de differences finies. La Houille Blanche, N° 1/1964.
12. Martousov A.L.: Specialnii kurs gidravliki. Gosenergoizdam. Moskva, 1947.

13. Egiazaran O.B.: Približenný spôsob nahoždenia rashoda vode pri prohoždení pramoú volna . Izd. Akad.nauk Armanskej SSR, Erevan, 1955.
14. E Pan-ŭ: Rasčet neustanovivsegosa dviženia v otkrutykh vodotokakh po metodě karakteristik. Izv. Akad.Nauk SSSR, br. 4, Moskva, 1956.
15. Faure J., Nahas N.: Etude numerique et experimentale d'intumescences a forte courbure du front. La Houille Blanche, N° 5, oct. 1961.
16. Fedorov N.N. i ostali: Issledovaniia neust. dviženia vode na reke Sviri v zimnih i letnih usloviah. Gidrometeoizdat. Leningrad, 1963.
17. Guyot J.F., Nougare J., Thirriot Cl.: Etude numerique des regimes transitoires dans les canaux.
18. Henry M.: Propagation des intumescences dans un canal rectangulaire. Rev.gen. d'hydraulique, N° 19, 20.
19. Holsters H.: Le calcul du mouvement non permanent dans les rivières par la methode dite des "liques d'influence". La Houille Blanche, br. 4, VIII-IX 1953.
20. Nazarijč S.A.: Neustanovivseesja dviženie v kanalakh i rekah, Moskva, 1938
21. Kalinin G.P. i Miljukov P.I.: O rasčete neust. dviženia v otkrutykh ruslah. Gidrometeoizdat, br. 10. Leningrad, 1957.
22. Kalinin G.P. i Miljukov P.I.: Približenný rasčet neustanovivšegosa dviženia vodnykh mass. Gidrometeoizdat, br. 66. Leningrad 1958
23. Kalinin G.P. i Kakarova T.T.: Issledovanie nekotorykh voprosov stoka vesennoro polovoda . Gidrometeoizdat, br. 94, Leningrad, 1959
24. Klabo H.: Movement of flood-waves. Assemblée generale de Bruxelles, tome IV, 1951.
25. Levin L.: Eksperimentalna hidraulika, B-0, 1951.
26. Linsley and Kohler: Applied Hyrology Mc Graw-Hill Book Comp. London, New York, 1949.
27. Masse P.: Hydrodynamique fluviale regimes variables. Edit. Hermann, Paris, 1935.
28. Muskatirović D.: Karakteristike poplavnih talasa u nekim rekama Jugoslaviji. Gidrometeoizdat, br. 6, Zagreb, 6-1963.

30. metode rasprostranene v SSSR
... ..
... .. teozmet, br. 94. Lenin rad, 1959.
30. Nougere ... Methode graphique pour le calcul de
... .. Le Genie
... .., br. 12, 1955.
31. Petrov s castabni
... ..
... .., 12, 12. st. lit,
... ..
32.
... .. rusleh. Gosnergoizd, 1960.
33. analytical analysis of continuous
... .. Transaction,
Vol. 33, No. 2, 1955.
34. Calcul des intumescences
... .. Ninth Convention. AIRH,
Dubrovnik, 1961
35.
... ..
La Houille Blanche, 4-1946.
36. Rockwood Columbia basin streamflow routing
by computer. Journal of the Waterways and
Harbors Division, Vol. 84, No. 5, XII 1958,
part 2.
37.
... ..
38., Graves Q.B., Snyder F.F.: Flood
routing. Proc. of the American Society of
Civil Eng.- R.S., Vol. 64, No. 2, 11-1935
39. mathematical computation of tidal
propagation in estuarine rivers. Journal of
the Central Board of Irrigation and Power,
vol. 15, No. 1, 1-1958.
40. Schofield J.C.: Propagation of tides and similar
waves. Delft 1950. Holland.
41. Stoker J.J.: Water waves. Interscience, New York,
1957.
42. Vedernikov V.V.: Osobennosti dvizheniya zhidkosti v
otkrytom rusle. Doklady Akad. nauk SSSR,
tom. 52, No. 3. Izd. Akad. nauk SSSR-Moskva,
1946.
43. Vedernikov V.V., Mastichin N.V., Potapov L.V.:
Neustanovivshiesya dvizhenie vodnogo potoka
v otkrytom rusle. Izd. Akad. nauk SSSR,
Moskva 1947.

44. Federmatkov, G.V.: K račeta neust. dvizheniya
sistemi v tkrom rusle.
Doklady Akad. Nauk SSSR, 1946,
tom. LII, № 3.
45. Galvash I.A.: O tochnosti priklonnykh transformatsii
mekhanizma v shodov reguliruyemykh
sostavakh avtomobilov.
Izv. Akad. Nauk Ukrainy SSR, Kiev,
1975.
46. Galvash I.A.: K račeta neust. dvizheniya
voda po letomu kalibru var. i
Kalkova P.I. dlya nizhnego besfa
sostava s 3 v sutochakh var. i
dli. Trudy kontrolnogo instituta
sposobov Girotehnizmat 26.
Moskva 1960.

